

С. А. ЕЛЬЯШКЕВИЧ

ТЕЛЕВИЗОРЫ



МАССОВАЯ
РАДИОБИБЛИОТЕКА

Выпуск 841

С. А. ЕЛЬЯШКЕВИЧ

ТЕЛЕВИЗОРЫ

(Справочные материалы)



«ЭНЕРГИЯ» • МОСКВА • 1974

РЕДАКЦИОННАЯ КОЛЛЕГИЯ

БЕРГ А. И., БОРИСОВ В. Г., БУРДЕЙНЫЙ Ф. И., БУРЛЯНД В. А.,
ВАНЕЕВ В. И., ГЕНИШТА Е. Н., ДЕМЬЯНОВ И. А., ЖЕ-
РЕБЦОВ И. П., КАНАЕВА И. П., КОРОЛЬКОВ В. Г.,
КУЛИКОВСКИЙ А. А., СМИРНОВ А. Д., ТАРАСОВ Ф. И.,
ШАМШУР В. И.

Ельяшкевич С. А.

Е 56 Телевизоры (Справочные материалы), М., «Энер-
гия», 1974.

112 с. с ил. (Массовая радиобиблиотека. Вып. 841).

В книге приведены основные данные о телевизионных при-
емниках черно-белого изображения, выпущенных советской ра-
диопромышленностью с 1969 по 1972 г. включительно (принци-
пиальные схемы, описания, указания по настройке, электриче-
ские и эксплуатационные характеристики).

Книга рассчитана на подготовленных радиолюбителей.

Е 0345-001
051(01)-74 306-74

6Ф3

© Издательство «Энергия», 1974 г.

САМУИЛ АБРАМОВИЧ ЕЛЪЯШКЕВИЧ
ТЕЛЕВИЗОРЫ

Редакторы: *Г. В. Бабук, Г. М. Фицогеев*
Редактор издательства *В. А. Абрамов*
Художественный редактор *Д. И. Чернышев*
Обложка художника *А. А. Иванова*
Технический редактор *Л. В. Иванова*
Корректор *Н. В. Лобанова*

Сдано в набор 21/V 1973 г. Подписано к печати 23/XI 1973 г. Т-17675.
Формат 84×108/16. Бумага типографская № 2. Усл. печ. л. 11,76.
Уч.-изд. л. 14,50. Тираж 130 000 экз. Зак. 390. Цена 60 коп.

Издательство «Энергия» 113114, Москва, М-114, Шлюзовая наб., 10.

Владимирская типография Союзполиграфпрома
при Государственном комитете Совета Министров СССР
по делам издательства, полиграфии и книжной торговли.
Гор. Владимир, ул. Победы, д. 18-б.

ПРЕДИСЛОВИЕ

В этой книге читатель найдет принципиальные схемы и основные сведения о приемниках черно-белого изображения, выпущенных советской радиопромышленностью с 1969 по 1972 г. включительно. Поскольку настоящий выпуск «Массовой радиобиблиотеки» является продолжением книги «Телевизоры», изданной в 1971 г., в нем полностью сохранен принятый ранее порядок изложения материала и графического оформления схем.

В связи с широкой унификацией приведены описания основных типов телевизоров. Какой модели соответствует тот или иной телевизор, указано во введении.

В книге приведены материалы о телевизорах УЛПТ-61-II-21, УЛПТ-61-II-23 («Электрон-206А», «Электрон-207А») и УЛПТ-61-II-22, УЛПТ-61-II-24 («Электрон-206», «Электрон-207»), которые помещены в приложение.

В заключение укажем, что в телевизор в процессе его выпуска постоянно вносятся изменения, связанные с заменой тех или иных комплектующих изделий, стремлением улучшить качество и повысить надежность продукции. По этой причине приводимые нами схемы могут несколько отличаться от схем, прилагаемых заводами-изготовителями к паспорту телевизора.

Книга рассчитана на подготовленных радиолюбителей.

Отзывы и замечания просьба направлять по адресу: 113114, Москва, М-114, Шлюзовая набережная, 10, издательство «Энергия», редакция «Массовой радиобиблиотеки».

Автор

ВВЕДЕНИЕ

При пользовании схемами нужно помнить о следующем.

Принципиальные схемы в большинстве случаев переработаны таким образом, чтобы они легко читались. По своему начертанию они могут несколько отличаться от схем, прилагаемых заводами к паспорту телевизора, но нумерация деталей, частотные характеристики, напряжения и осциллограммы соответствуют заводским данным.

Напряжения на электродах ламп и транзисторах измерены высокоомным вольтметром при номинальном напряжении сети (отклонения от указанных величин не должны превышать $\pm 20\%$).

Детали, помеченные звездочкой, подбираются при регулировке.

Цифрами в рамке указаны ориентировочные значения частот настройки контуров в мегагерцах, поскольку окончательная настройка их производится по результирующей частотной характеристике (исключение составляют режекторные контуры).

Буквами O_1 , O_2 , O_3 и O_4 обозначены возможные точки подключения цепи фокусирующего электрода кинескопа для подбора напряжения на этот электрод при регулировке телевизора.

Приняты следующие сокращения в наименовании деталей: *ОС* — отклоняющая система, *ТВС* — трансформатор выходной строчной развертки, *ТВК* — трансформатор выходной кадровой развертки; *ТБК* — трансформатор блокинг-генератора кадров, *РРС* — регулятор размера строк, *РЛС* — регулятор линейности строк.

Расположение ручек управления обозначено буквами в кружках: *А* — со стороны экрана, *Б* — со стороны задней стенки, *С* — сбоку со стороны правой стенки, *В* — со стороны ламп на шасси, *Г* — на шасси со стороны монтажа, *Л* — сбоку со стороны левой стенки, *Д* — спереди под шлиц, *П* — на печатной плате.

Для определения типа телевизора к его фирменному названию в соответствии с отраслевой нормалью Министерства радиотехнической промышленности СССР добавляется специальный шифр, в котором заглавные буквы означают: *Л* — ламповый; *ЛП* — лампово-полупроводниковый; *П* — полупроводниковый; *Ц* — цветной; *Т* — телевизор. Далее указывается длина диагонали экрана кинескопа, класс телевизора и номер модернизации. Так, например, УЛПТ-59-II-1 расшифровывается как Унифицированный Лампово-Полупроводниковый Телевизор на кинескопе с диагональю экрана 59 см, II класса, первая модернизация, а УПТ-61-II-1 — как Унифицированный Полупроводниковый Телевизор на кинескопе с диагональю экрана 61 см, II класса, первая модернизация. Кроме того, к фирменному названию, например «Рубин», добавляется трехзначный числовой индекс, в котором первой цифрой обозначен класс телевизора, второй и третьей — номер модели; например, «Рубин-205» — телевизор второго класса, пятая модель.

Основные электрические и эксплуатационные характеристики телевизоров приведены в табл. 1 и 2. Телевизоры в этих таблицах перечислены в соответствии с принятым в книге порядком описания схем.

Таблица 1

Электрические характеристики телевизоров выпуска 1969—1972 гг.

Условное обозначение телевизора	Наименование телевизора	Чувствительность, мкВ ¹				Избирательность при расстройке от несущей частоты изображения на		Разрешающая способность по всему полю изображения линий, не менее		Полоса пропускания		Нелинейные искажения раstra, % не более		Геометрические искажения раstra, %, не более	Номинальная выходная мощность канала звука, Вт	Максимальная яркость свечения экрана, кД/м ² , не менее
		в диапазоне МВ		в диапазоне ДМВ												
		по каналу изображения	по каналу звука	по каналу изображения	по каналу звука	-1,5 МГц и ниже, дБ, не менее	+8 МГц и выше, дБ, не менее	по горизонтали	по вертикали	по каналу изображения, МГц	по каналу звука ² , Гц	по горизонтали	по вертикали			
ЛПТ-65-I-2	«Горизонт-102»	80 ²	60	150 ²	60 ²	50	50	500	550	5,5	60—12 500	8	8	3	6,0	150
ЛПТ-65-I-1	«Горизонт-101»	20	40	—	—	50	50	500	550	5,5	60—12 000	8	8	3	3,0	140
УПТ-61-II-1	«Электрон-215Д»	50	50	200	200	40	40	450	500	5,0	100—10 000	12	9	3	1,5	140
УПТ-61-II-2	«Электрон-215»	50	50	—	—	40	40	450	500	5,0	100—10 000	12	9	3	1,5	140
УЛПТ-61-II-11 ⁴	«Электрон-205Д»	50	50	100	100	40	40	450	500	5,0	100—10 000	12	9	3	1,5	100
УЛПТ-61-II-12	«Электрон-205»	50	50	—	—	40	40	450	500	5,0	100—10 000	12	9	3	1,5	100
УЛТ-59-II-3	«Рубин-203Д»	50	50	100	100	40	40	450	500	5,0	100—10 000	12	9	3	1,5	100
УЛТ-59-II-4	«Рубин-203»	50	50	—	—	40	40	450	500	5,0	100—10 000	12	9	3	1,5	100
УЛТ-61-II-3	«Рубин-205Д»	50	50	100	100	40	40	450	500	5,0	100—10 000	12	9	3	1,5	140
УЛТ-61-II-4	«Рубин-205»	50	50	—	—	40	40	450	500	5,0	100—10 000	12	9	3	1,5	140
УЛТ-47-III-2 ⁵	«Рекорд-332»	150	150	—	—	30	34	400	450	4,5	125—7 100	13	10	5	1,0	100
УЛТ-50-III-2 ⁶	«Рекорд-В302»	150	150	—	—	30	34	400	450	4,5	125—7 100	13	10	5	1,0	100
УЛПТ-50-III-2	«Старт-308»	100	100	—	—	30	34	400	450	4,5	125—7 100	13	10	5	1,0	100
—	«Ладога-1», «Атлант»	50	50	—	—	40	40	450	500	4,5	100—8 000	12	9	3	1,0	100
ЛПТ-59-II	«Ладога-203»	50	50	—	—	40	40	450	500	4,5	100—10 000	12	9	3	1,0	100
ЛПТ-59-II-1	«Ладога-204»	50	50	—	—	40	40	450	500	4,5	100—10 000	12	9	3	1,0	100
ЛПТ-61-II-1	«Ладога-205Д»	100 ²	100 ²	150 ²	100 ²	40	40	450	500	4,5	100—10 000	12	9	3	1,0	150
ЛПТ-61-II-2	«Ладога-205»	100 ²	50 ²	—	—	40	40	450	500	4,5	100—10 000	12	9	3	1,0	150
ПТ	«Электроника ВЛ-100»	I—V каналы 50	I—V каналы 75	—	—	26	28	350	350	4,0	400—3 150	20	15	3	0,15	100
ППТ-23	«Юность-2»	VI—XII каналы 100	VI—XII каналы 150	—	—	—	—	—	—	—	—	—	—	—	—	—
—	—	I—V каналы 50	I—V каналы 80	—	—	20	20	300	350	4,0	400—3 500	20	15	—	0,3	—
ЛПТ-61-II	«Темп-209»	VI—XII каналы 80	VI—XII каналы 100	—	—	40	40	450	500	5,0	100—10 000	±10	±10	3	1,5	140

¹ За исключением особо оговоренных случаев указывается чувствительность, ограниченная усилением.

² Указана чувствительность, ограниченная шумами.

³ Определяется по частотной характеристике тракта звукового сопровождения по звуковому давлению (вдоль оси кинескопа) при неравномерности, не превышающей 14 дБ (у телевизора «Электроника ВЛ-100» определена при неравномерности, не превышающей 18 дБ).

⁴ По такой же схеме выполнены телевизоры «Крым-206», «Крым-209», «Крым-210», «Таурас-204», «Горизонт-204», «Каскад-202», «Каскад-203», «Чайка-204», «Чайка-205», «Чайка-206», «Изумруд-207» и «Славутич-210».

⁵ По такой же схеме выполнены телевизоры «Рекорд-331», «Рекорд-303», «Весна-301», «Садко-302».

⁶ По такой же схеме выполнены телевизоры «Рекорд-В304», «Рекорд-В306», «Весна-302».

Основные эксплуатационные характеристики телевизоров выпуска 1969—1972 гг.

Условное обозначение телевизора	Наименование телевизора	Размер изображения, мм	Количество активных элементов			Потребляемая мощность, Вт	Масса кг. не более	Размеры футляра, мм, не более	Наличие автоматических регулировок				
			ламп	транзисторов	полупроводниковых приборов				АРУ	АПЧФ	АПЧГ	стабилизация размера	стабилизация напряжения питания
ЛПТ-65-1-2	«Горизонт-102»	411×525	18	4	29	230	47	1	+	+	+	+	—
ЛПТ-65-1-1	«Горизонт-101»	411×525	23	—	29	230	52	2	+	+	+	+	—
УПТ-61-11-1	«Электрон-215Д»	375×481	—	34	36	80	34	672×485×393	+	+	—	—	+
УПТ-61-11-2	«Электрон-215»	375×481	—	32	36	80	34	672×485×393	+	+	—	—	+
УЛПТ-61-11-11	«Электрон-205»	375×481	15	9	26	180	37,5	565×790×490	+	+	+	+	—
УЛПТ-61-11-12	«Электрон-205»	375×481	15	7	26	180	37,5	565×790×490	+	+	+	+	—
УЛТ-59-11-3	«Рубин-203Д»	385×489	17	2	22	175	36,0	525×400×705	+	+	+	+	—
УЛТ-59-11-4	«Рубин-203»	385×489	17	—	22	175	36,0	525×400×705	+	+	+	+	—
УЛТ-61-11-3	«Рубин-205Д»	375×481	17	2	22	175	36,0	525×400×705	+	+	+	+	—
УЛТ-61-11-4	«Рубин-205»	375×481	17	—	22	175	36,0	525×400×705	+	+	+	+	—
УЛТ-47-111-2	«Рекорд-332»	300×380	15	—	15	160	28	470×614×380	+	+	—	+	—
УЛТ-50-111-2	«Рекорд-В302»	300×380	15	—	15	160	29	450×600×370	+	+	—	+	—
УЛПТ-50-111-2	«Старт-308»	308×394	11	4	22	140	28	492×512×385	+	+	—	+	—
УЛПТ-50-111-2	«Ладога», «Атлант»	305×384	17	6	14	180	37	520×690×440	+	+	—	+	—
ЛПТ-59-11	«Ладога-203»	381×485	17	6	14	175	37	520×690×440	+	+	—	+	—
ЛПТ-59-11-1	«Ладога-204»	381×485	17	6	17	175	39	520×690×420	+	+	—	+	—
ЛПТ-61-11-1	«Ладога-205Д»	375×481	17	9	19	175	39	520×690×420	+	+	—	+	—
ЛПТ-61-11-2	«Ладога-205»	375×481	17	7	17	175	39	520×690×420	+	+	—	+	—
ПТ	«Электроника ВЛ-100»	103×125	—	27	14	10 ³	2,4 ⁴	180×175×215	+	+	—	—	—
ППТ-23	«Юность-2»	143×180	—	30	23	22 ⁵	4,5 ⁶	308×245×220	+	+	—	+	—
ЛПТ-61-11	«Темп-209»	375×481	12	3	9	180	43	695×950×540 ⁷	+	+	—	—	—

¹ Габариты приемника 560×450×220 мм, акустической системы 195×330×720 мм; общая высота приемника и акустической системы (на ножках) 1000 мм.

² Габариты телевизора с ножками 1100×710×465 мм.

³ Указана потребляемая мощность при питании от сети переменного тока; при питании от аккумулятора напряжением 12 в потребляемая мощность составляет 5,5 Вт.

⁴ Указана масса без блока питания; масса блока питания 0,8 кг.

⁵ Указана потребляемая мощность при питании от сети переменного тока, при питании от аккумулятора напряжением 12 в потребляемая мощность составляет 9 Вт.

⁶ Указана масса без блока питания; масса блока питания 2 кг.

⁷ Указаны размеры с подставкой.

ГЛАВА ПЕРВАЯ

СЕЛЕКТОРЫ КАНАЛОВ

Селектором каналов называют блок телевизора, предназначенный для селекции и усиления принимаемых телевизионных сигналов и преобразования частоты этих сигналов в более низкие промежуточные частоты*. В зависимости от принимаемых частот селекторы каналов подразделяют на селекторы каналов метрового диапазона (СК-М) и селекторы каналов дециметрового диапазона (СК-Д).

В телевизорах I и II классов выпуска 1969—1971 гг. применяют селекторы каналов метрового диапазона типа ПТК-11Д и СК-М-15 и каналов дециметрового диапазона типа СК-Д-1. При приеме в дециметровом диапазоне выход СК-Д подключают ко входу смесителя блока СК-М, который используется как дополнительный усилитель промежуточной частоты. Подключение производится с помощью мостовой схемы, что позволяет осуществить в телевизоре переход с метрового диапазона на дециметровый коммутацией только анодного напряжения и напряжения АРУ.

В ламповых телевизорах III класса применяют селекторы каналов метрового диапазона типа ПТК-10, а в переносных транзисторных телевизорах — типа ПТКП-3.

1-1. СЕЛЕКТОР КАНАЛОВ МЕТРОВОГО ДИАПАЗОНА ПТК-11Д

Селектор ПТК-11Д (рис 1-1) является последней модернизацией ламповых селекторов каналов метрового диапазона, разработанных в 1965—1967 гг.

Усилитель высокой частоты выполнен по каскадной схеме на двойном триоде 6Н23П, что обеспечивает возможность приема более слабых сигналов, так как триоды обладают наименьшим по сравнению с другими лампами уровнем собственных шумов. Коэффициент усиления первого каскада в такой схеме не превышает единицы ($K < 1$), поэтому входная динамическая емкость $C_{вх} = C_{с.к1} + C_{с.а1} (1 + K)$ очень мала, что благоприятствует использованию усилителя в верхней части рабочего диапазона частот.

Сигнал из антенны через режектор L_{1-64} C_{1-19} и трансформатор L_{1-1} , L_{1-2} поступает на управляющую сетку левого триода L_{1-1} , работающего по схеме с заземленным катодом. Режекторный контур настроен на частоту, близкую к промежуточной частоте сигнала изображения. Анодной нагрузкой первого каскада служит дроссель Dr_{1-1} , образующий вместе с внутриламповыми емкостями $C_{с.к2}$ и $C_{с.а1}$ П-образный контур. Таким образом, сигнал из антенны сначала усиливается левым триодом L_{1-1} , создавая переменное напряжение на дросселе Dr_{1-1} , которое непосредственно прикладывается

к катоду правого триода этой лампы, а затем правым триодом.

Так как правый триод L_{1-1} работает по схеме с заземленной сеткой, которая через большую емкость C_{1-7} соединена с шасси, то П-образный контур шунтируется малым входным сопротивлением этого каскада ($R = 1/S \approx 80 \text{ ом}$). Такой шунт значительно увеличивает полосу пропускания контура, вследствие чего он может быть использован в качестве анодной нагрузки лампы на любом из телевизионных каналов без какой-либо перестройки. Резонансная частота контура лежит в области 180 МГц, что позволяет выравнивать усиление по каналам. Применение схемы с заземленной сеткой во втором каскаде устраняет опасность самовозбуждения из-за связи через внутриламповые емкости. Для нейтрализации влияния этих емкостей (при помощи мостовой схемы) в первом каскаде введены конденсаторы C_{1-1} и C_{1-4} .

Для уменьшения потребляемого тока оба триода лампы 6Н23П соединены по постоянному току последовательно. При этом катод правого триода находится по отношению к шасси под положительным напряжением примерно 80 в, и для создания нормального рабочего режима лампы на ее управляющую сетку необходимо подать несколько меньшее положительное напряжение. Это напряжение снимается с делителя из резисторов R_{1-2} и R_{1-3} .

Отрицательное напряжение автоматической регулировки усиления (АРУ) поступает на управляющую сетку левого триода через развязывающую цепь, образованную резистором R_{1-1} и конденсатором C_{1-2} . При сильном сигнале отрицательное смещение на сетке этого триода возрастает. При этом ток, протекающий через него, уменьшается, что приводит к увеличению положительного напряжения на катоде правого триода. Как известно, такое увеличение напряжения на катоде лампы равнозначно возрастанию отрицательного напряжения на ее управляющей сетке. Таким образом, оба каскада УВЧ будут охвачены автоматической регулировкой усиления.

Гетеродин собран по трехточечной схеме с емкостной связью и заземленным катодом на триодной части лампы 6Ф1П. Параллельно катушке индуктивности контура гетеродина через конденсаторы C_{1-14} и C_{1-11} подключен полупроводниковый диод — варикап Д902, емкость которого изменяется в зависимости от величины приложенного к нему постоянного напряжения. Диод обеспечивает плавное изменение частоты гетеродина не менее чем на 1,8 МГц при изменении управляющего напряжения в пределах от 1 до 13 в. Настройка гетеродина на номинальную частоту производится изменением индуктивности контура при запирающем напряжении на варикапе, равном 5 в. Для уменьшения уровня помех от излучения гетеродина в анодной цепи его лампы включен дроссель Dr_{1-3} . Напряжения гетеродина и при-

* До введения ГОСТ 16706-71 «Селекторы каналов метрового диапазона для телевизионных приемников. Общие технические условия» этот блок называли блоком переключения телевизионных каналов (ПТК).

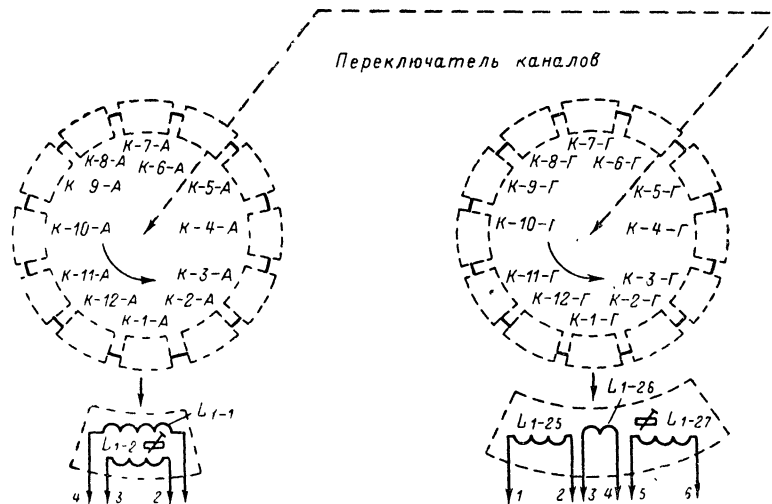
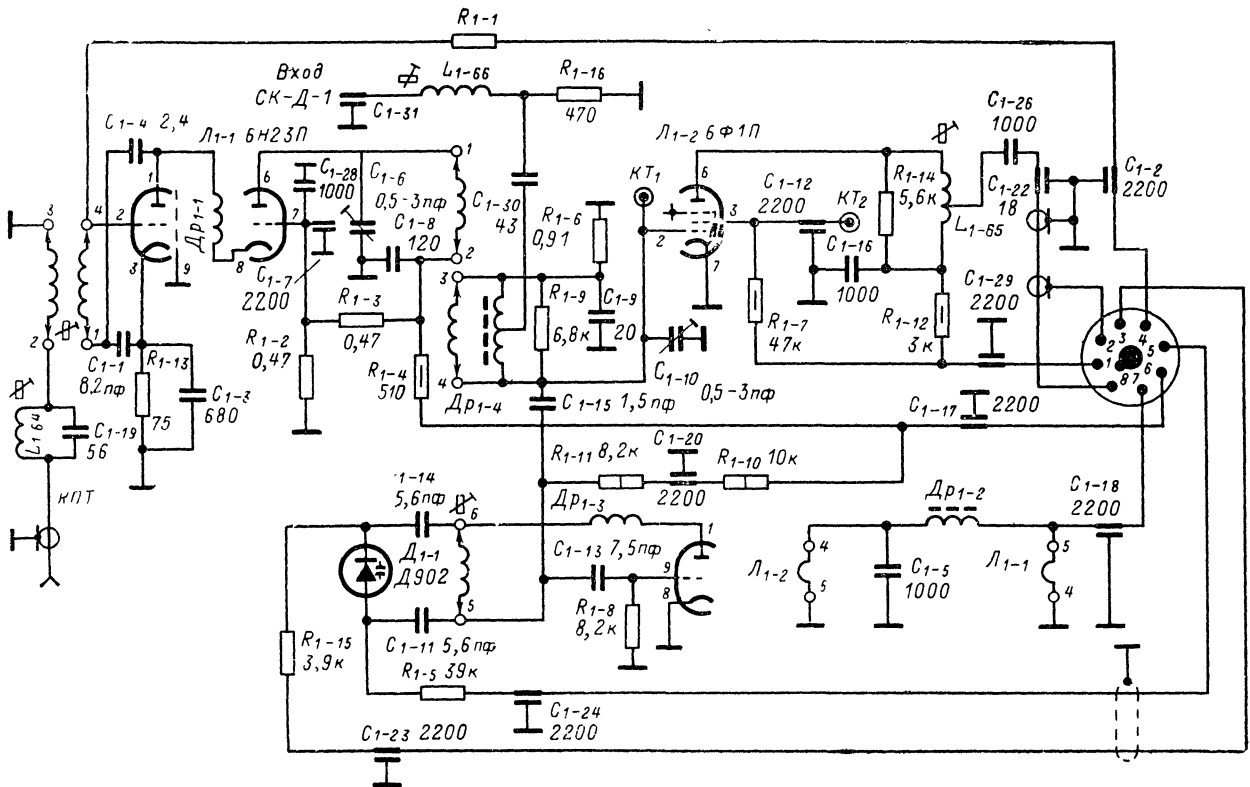


Рис. 1-1. Принципиальная схема селектора каналов ПТК-11Д.



нимаемого сигнала вводятся в сеточную цепь смесителя, выполненного на пентодной части лампы 6Н23П (L_{1-2}) по схеме односеточного преобразователя.

Сеточная цепь лампы смесителя рассчитана на подключение к ней селектора каналов СК-Д-1. Соединение производится через средний вывод дросселя $Др_{1-4}$, подключенного параллельно сеточной катушке полосового фильтра УВЧ через специальный согласователь (рис. 1-2, а). При таком включении сигнал с выхода СК-Д-1 поступает в диагональ моста, состоящего из двух половин дросселя $Др_{1-4}$, конденсатора C_{1-9} и выходной емкости смесителя (рис. 1-2, б). При балансе моста влияние выходной цепи СК-Д-1 на параметры полосового фильтра ПТК-11Д устраняется.

Согласующее устройство (L_{1-66} , R_{1-16} , C_{1-33}) смонтировано в корпусе ПТК-11Д. В анодной цепи лампы смесительного каскада включен одиночный контур, который настроен на среднюю частоту полосы промежуточных частот. Выход селектора рассчитан на нагрузку 75 ом, что позволяет использовать соединительный кабель длиной 20—60 см.

Селектор смонтирован в металлическом корпусе, внутри которого помещается барабанный переключатель с контурными катушками всех 12 каналов. Барабан переключателя удерживается двумя пружинами, расположенными на передней и задней стенках корпуса. Положение барабана при приеме передач в каждом канале фиксируется при помощи ролика и пружины.

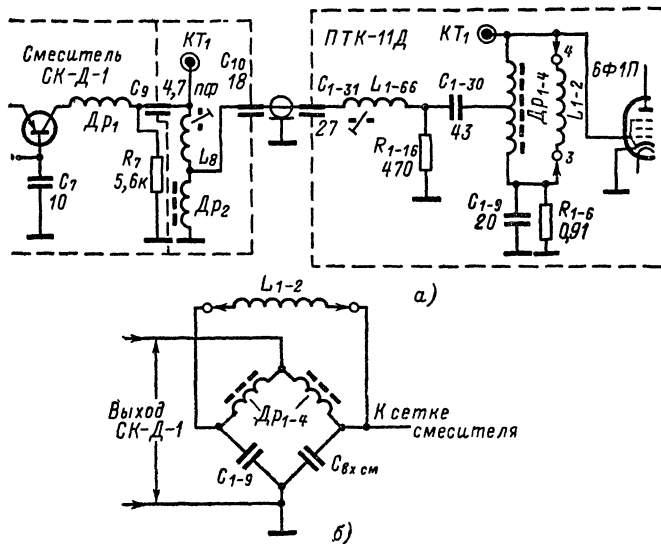


Рис. 1-2. Схема стыковки:

а — селектор каналов СК-Д-1 с селектором каналов ПТК-11Д;
б — мостовая схема подключения.

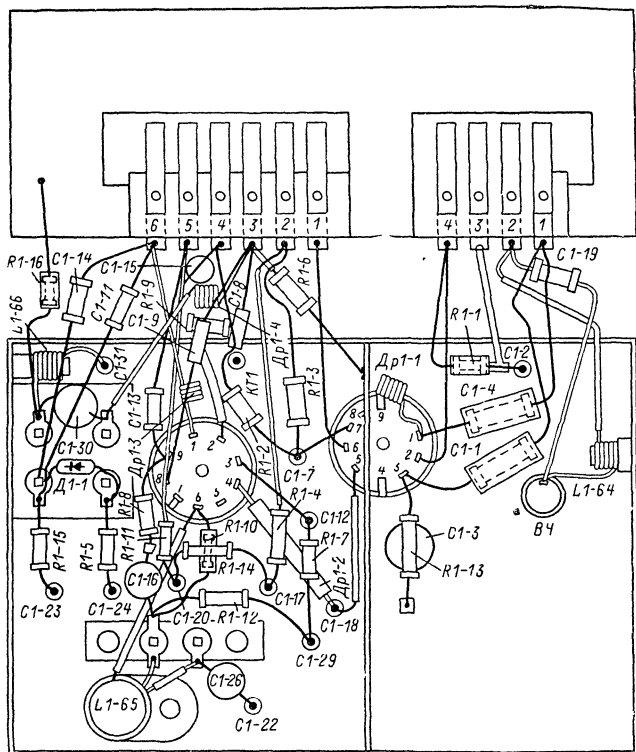


Рис. 1-3. Электромонтажная схема селектора каналов ПТК-11Д.

Монтаж селектора объемный (рис. 1-3). Сигнал промежуточной частоты и провода, подводящие питающие напряжения и напряжение АРУ, выведены при помощи проходных конденсаторов типа К10П на верхнюю крышку селектора и подсоединены гибкими проводниками к закрепленному на ней октальному разъему (рис. 1-4).

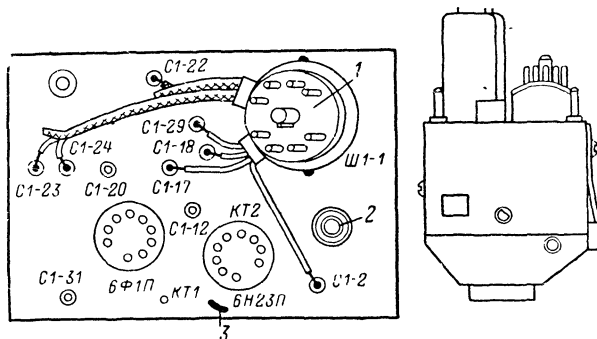


Рис. 1-4. Подсоединительные выводы селектора каналов ПТК-11Д.

1 — фишка октального разъема для подключения селектора к плате УПЧИ; 2 — гнездо антенного ввода; 3 — точка подключения «земляного» провода.

1-2. СЕЛЕКТОР КАНАЛОВ МЕТРОВОГО ДИАПАЗОНА СК-М-15

Транзисторный селектор каналов СК-М-15 состоит из фильтра верхних частот, входной цепи, усилителя высокой частоты, гетеродина и смесителя (рис. 1-5).

Фильтр верхних частот предназначен для подавления помех на частотах ниже первого телевизионного канала, в том числе и в диапазоне промежуточных частот. Входную цепь селектора образуют переключаемые катушки индуктивности L_a , конденсаторы C_4 , C_5 и входная емкость транзистора T_1 . Для получения требуемой полосы пропускания и согласования выходного сопротивления фильтра с входным сопротивлением транзистора использовано неполное включение контура.

Усилитель высокой частоты собран на транзисторе T_1 по схеме с общей базой. Автоматическая регулировка усиления каскада осуществляется путем изменения напряжения на базе транзистора от 9 до 4 в, что позволяет уменьшить усиление каскада более чем на 20 дБ. Резистор R_4 изменяет режим работы транзистора по постоянному току при работе АРУ, а резистор R_2 предотвращает выход его из строя при обрыве цепи АРУ в телевизоре.

Коллекторной нагрузкой транзистора T_1 является полосовой фильтр L_k , C_{10} , C_{11} и L_6 , C_{13} , C_{14} . Связь транзистора с контуром L_k , C_{10} , C_{11} неполная, что позволяет уменьшить влияние выходной емкости и выходного сопротивления транзистора на частотную характеристику полосового фильтра. На I—V каналах, где необходимо уменьшение усиления достигается при наименьшем напряжении АРУ и, значит, при еще больших изменениях параметров транзистора, предусмотрено дополнительное ослабление связи с контуром путем подключения конденсатора C_{12} .

Гетеродин собран на транзисторе T_3 по схеме емкостной трехточки с заземленной базой. Величина положительной обратной связи между коллектором и эмиттером транзистора определяется емкостью конденсатора C_{18} . Резистор R_7 , включенный в коллекторную цепь транзистора, устраняет паразитные колебания и увеличивает стабильность частоты при прогреве. Резисторы R_7 , R_8 , R_9 и R_{10} определяют режим транзистора T_3 по постоянному току, подаваемое на него напряжение стабилизируется при помощи резистора R_{11} и стабилитрона D_1 (Д809).

Частота гетеродина определяется параметрами контура L_7 , C_{16} и емкостью варикапа D_2 (Д902). На варикап через резистор R_6 подается управляющее напряжение, что позволяет осуществить электронную подстройку частоты гетеродина. При напряжении, равном 5 в, частота гетеродина должна соответствовать номиналь-

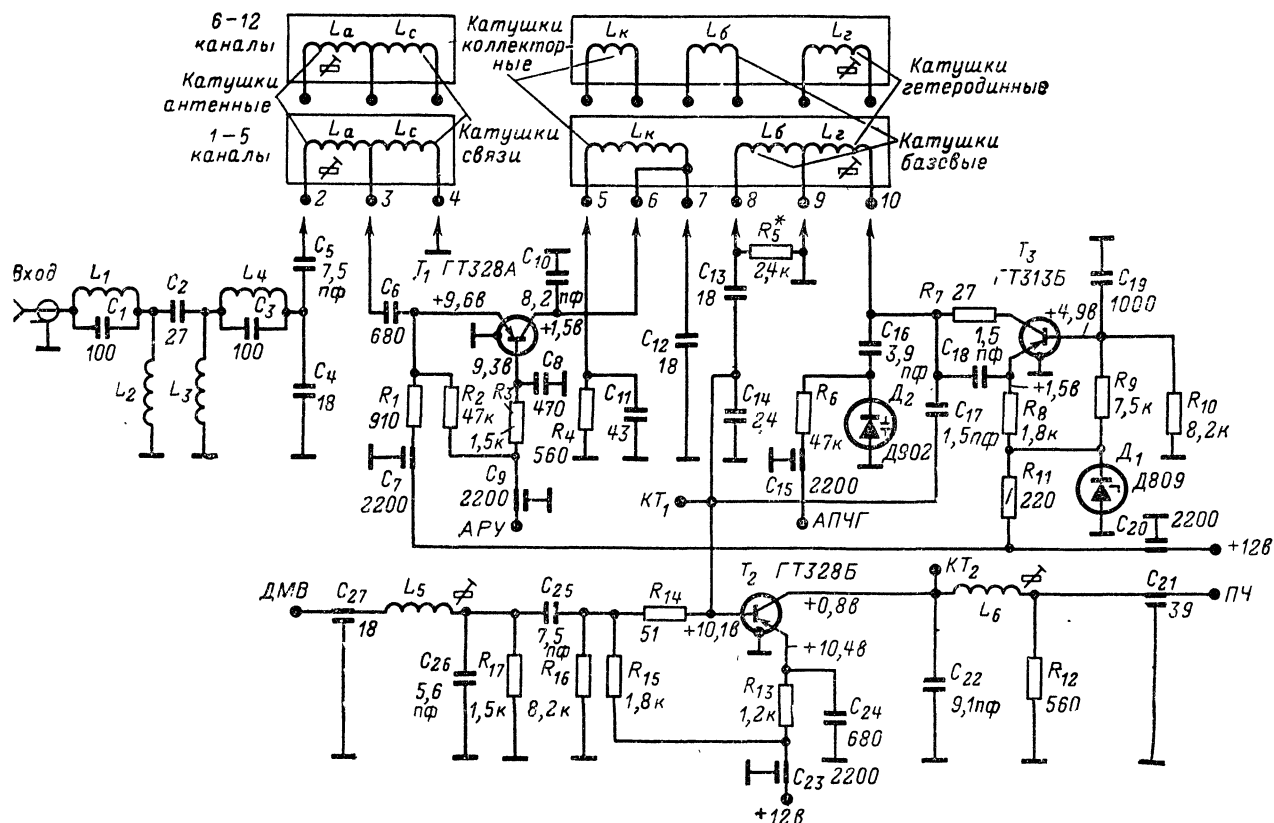


Рис 1-5. Принципиальная схема селектора каналов СК-М-15.

ному значению. Изменение управляющего напряжения от 1 до 11 в вызывает изменение частоты в пределах $\pm 1,5$ Мгц. Напряжение гетеродина, поступающее на

смеситель через конденсатор C_{17} , находится (в зависимости от канала) в пределах от 50 до 200 мв.

Смеситель выполнен на транзисторе T_2 по схеме с общим эмиттером. Для согласования входного сопротивления транзистора со вторым контуром полосового фильтра применен емкостной делитель напряжения из конденсаторов C_{13} и C_{14} . Нагрузкой смесителя является контур L_6 , C_{21} , C_{22} в коллекторной цепи транзистора. Резисторы R_{14} , R_{15} , R_{13} и R_{12} определяют режим транзистора по постоянному току. Сигнал промежуточной частоты поступает на вход УПЧИ через проходную емкость C_{21} .

Схемой СК-М-15 предусмотрена возможность постоянного подключения к базовой цепи смесителя выхода селектора каналов СК-Д-1. Для того чтобы устранить влияние одного селектора на другой и иметь возможность корректировать результирующую частотную характеристику при их стыковке, к базовой цепи смесителя подсоединен контур, образованный катушкой индуктивности L_5 , конденсаторами C_{27} , C_{26} , C_{25} и резисторами R_{16} и R_{17} . При приеме сигнала в дециметровом диапазоне, когда смеситель селектора каналов СК-М-15 используется как дополнительный усилитель промежуточной частоты, питание гетеродина и УВЧ отключается. По этой причине напряжение 12 в подается на смеситель с отдельного ввода.

Селектор каналов СК-М-15 смонтирован в металлическом корпусе, внутри которого помещается барабанный переключатель. На внутренней стороне верхней крышки корпуса установлены детали объемного монтажа (рис. 1-6), а контурные катушки всех 12 каналов размещены в барабане переключателя. Барабан удерживается двумя пружинами, расположенными на передней и задней стенках корпуса. Положение барабана на каждом канале фиксируется роликом и пружиной

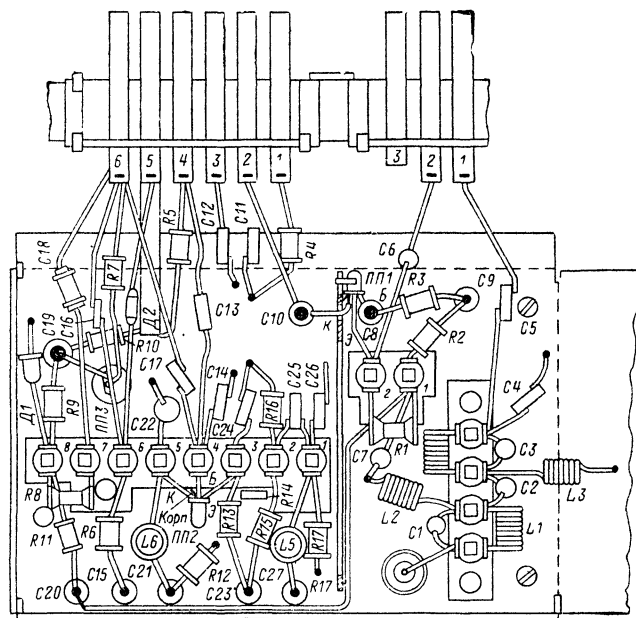


Рис 1-6. Электромонтажная схема селектора каналов СК-М-15.

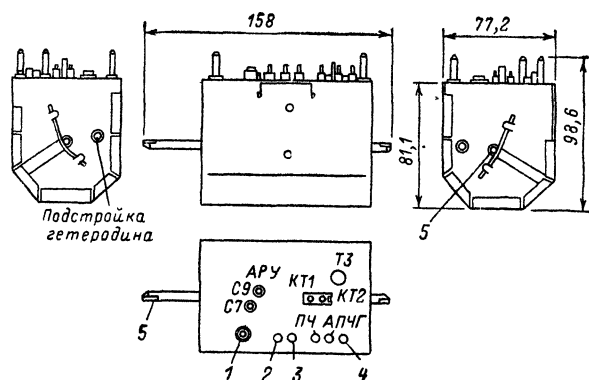


Рис. 1-7. Габаритный чертеж селектора каналов СК-М-15.

1 — гнездо антенного ввода; 2 — ввод сигнала ПЧ от селектора каналов СК-Д; 3 — ввод напряжения +12 в на смеситель; 4 — ввод напряжения +12 в на УВЧ и гетеродин; 5 — положение оси при приеме в первом телевизионном канале.

Для уменьшения излучения гетеродина цепи питания и подключения АРУ, АПЧГ, УПЧИ и СК-Д-1 выведены через проходные конденсаторы типа К10П. На задней стенке со стороны короткого конца оси предусмотрено отверстие для подстройки катушек контура гетеродина на каждом из телевизионных каналов, а со стороны

длинного конца оси — контуров УВЧ. Расположение выводов на верхней крышке корпуса селектора каналов СК-М-15 показано на рис. 1-7.

1-3. СЕЛЕКТОР КАНАЛОВ МЕТРОВОГО ДИАПАЗОНА ПТКП-3

ПТКП-3 малогабаритный селектор каналов метрового диапазона на транзисторах, используемый в переносных телевизионных приемниках ПТ-23 («Юность-2») и ПТ-16 («Электроника ВЛ-100»). Вход селектора рассчитан на подключение асимметричного 75-омного кабеля. Для подавления помех в диапазоне частот 31,5—38,0 МГц на входе включен фильтр верхних частот C_1 — C_4 , L_{49} — L_{51} (рис. 1-8).

УВЧ собран на транзисторе T_1 по схеме с общей базой. Входной резонансный контур образован катушкой индуктивности данного телевизионного канала, например L_{45} , и конденсаторами C_5 , C_6 , C_7 . Резисторы R_1 , R_2 , R_3 и R_4 обеспечивают режимы транзистора по постоянному току. Напряжение АРУ подается на эмиттер транзистора T_1 через проходной конденсатор C_8 и резистор R_1 . При увеличении сигнала на входе схемы телевизора напряжение база—эмиттер транзистора T_1 возрастает, отчего рабочая точка на характеристике смещается в сторону насыщения, где крутизна коллекторного тока меньше. Коллекторной нагрузкой является двухконтурный полосовой фильтр — два связанных кон-

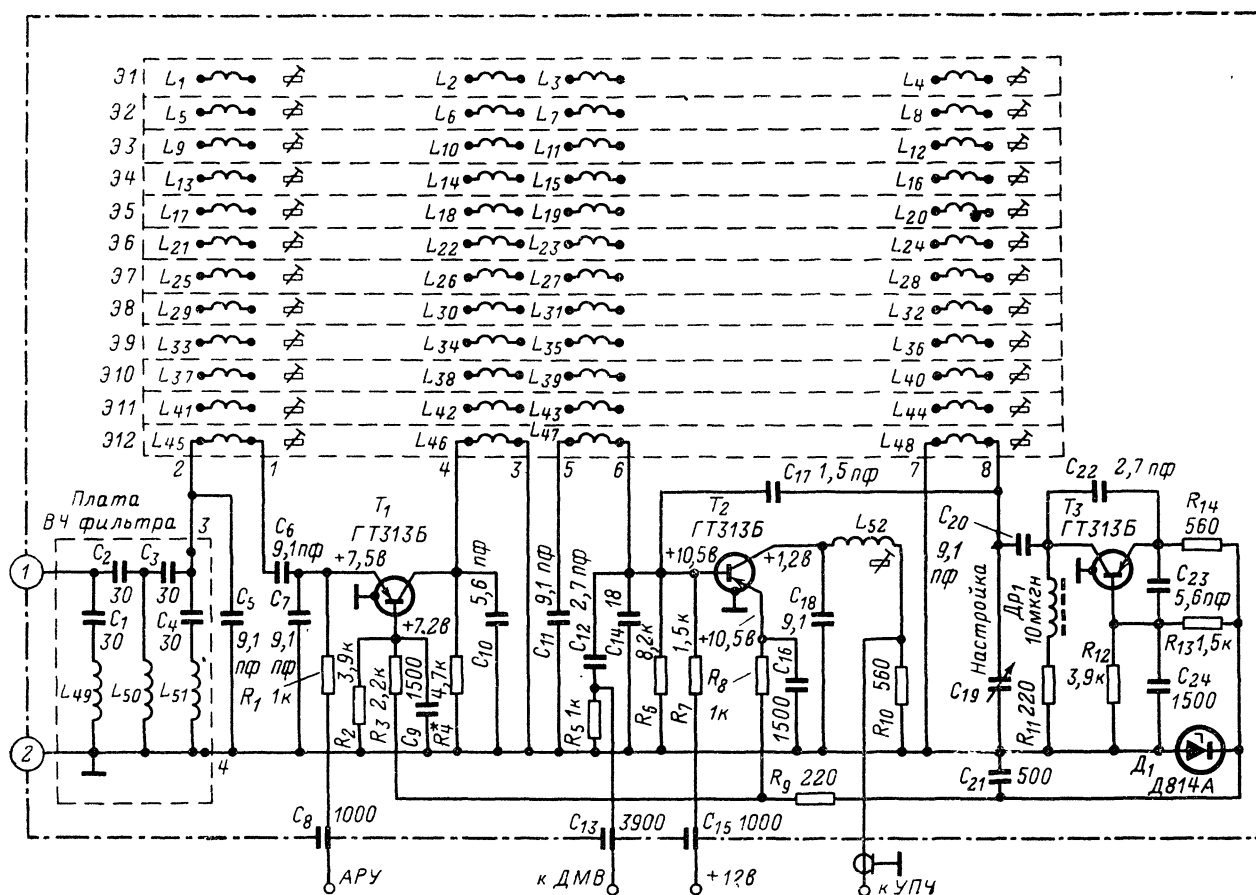


Рис. 1-8 Принципиальная схема селектора каналов ПТКП-3.

тура, образованных катушками индуктивности принимаемого канала, например L_{46} и L_{47} , и конденсаторами C_{10} , C_{11} и C_{14} .

Смеситель выполнен на транзисторе T_2 по схеме с общим эмиттером. На базу транзистора с контура L_{47} , C_{11} , C_{14} поступает напряжение сигнала, а через конденсатор C_{17} — напряжение гетеродина. Нагрузкой смесителя является одиночный контур L_{52} , C_{18} , настроенный на частоту 35 МГц. Сигнал промежуточной частоты снимается с резистора R_{10} , включенного последовательно с катушкой контура. Резисторы R_6 , R_7 , R_8 обеспечивают режим транзистора T_2 по постоянному току, а конденсатор C_{16} замыкает на шасси цепь эмиттера по высокой частоте. Резистор R_5 является нагрузкой селектора каналов дециметрового диапазона.

Гетеродин собран на транзисторе T_3 по схеме с общей базой и емкостной обратной связью. Контур гетеродина, включенный в коллекторную цепь транзистора, состоит из катушки индуктивности принимаемого канала, например L_{48} , и конденсатора настройки C_{19} . Питание гетеродина стабилизировано кремниевым стабилизатором D_1 типа Д814А. Резисторы R_{11} , R_{12} , R_{13} и R_{14} обеспечивают режим транзистора по постоянному току, а конденсатор C_{24} замыкает цепь его базы по высокой частоте на шасси. Резистор R_9 и конденсатор C_{21} образуют фильтр в цепи питания гетеродина.

Переключатель каналов ПТКП-3 — барабанного типа Барабан с 12 контурными вставками размещен под печатной платой, на которой смонтированы транзисторы и детали схемы. Каждая контурная вставка имеет восемь контактов, к которым припаяны концы катушек индуктивности, находящихся на ее внутренней стороне (например, на 12-м канале это катушки индуктивности L_{45} , L_{46} , L_{47} и L_{48}). При переключении каналов точечные контакты соответствующей контурной вставки входят в соприкосновение с восемью пружинами, укрепленными на печатной плате селектора.

Настройка гетеродина производится изменением положения гетинаксовой пластины (флажка), которая при повороте внешней втулки, насаженной на ось барабана, перемещается между корпусом блока и обкладкой конденсатора настройки.

1-4. СЕЛЕКТОР КАНАЛОВ ДЕЦИМЕТРОВОГО ДИАПАЗОНА СК-Д-1

Принципиальная схема селектора показана на рис. 1-9. Антенный ввод связан с входным контуром L_2 , C_{11} селектора через петлю связи, предназначенную для согласования сопротивления этого контура с сопротивлением фидера антенны. Высокочастотный сигнал через петлю связи L_3 поступает в эмиттерную цепь транзистора T_1 усилителя высокой частоты.

Нагрузкой коллекторной цепи транзистора T_1 служит полосовой фильтр, образованный двумя четвертьволновыми отрезками длинных линий L_4 , L_5 и переменными конденсаторами C_{13} и C_{15} . Для согласования выходного сопротивления транзистора с нагрузкой применено неполное включение коллектора транзистора в контур L_4 , C_{13} . Для получения требуемых полосы пропускания и избирательности связь между контурами L_4 , C_{13} и L_5 , C_{15} выбрана выше критической. Она осуществляется через щель в перегородке у короткозамкнутых концов линий L_4 и L_5 . Автоматическая регулировка усиления производится путем подачи положительного напряжения в цепь базы транзистора T_1 . Номинальное напряжение АРУ при максимальном усилении составляет 9 в.

Автогенерирующий смеситель собран на транзисторе T_2 по схеме с общей базой. Он связан с полосовым фильтром с помощью петли связи L_6 . Коллектор транзистора нагружен по высокой частоте контуром гете-

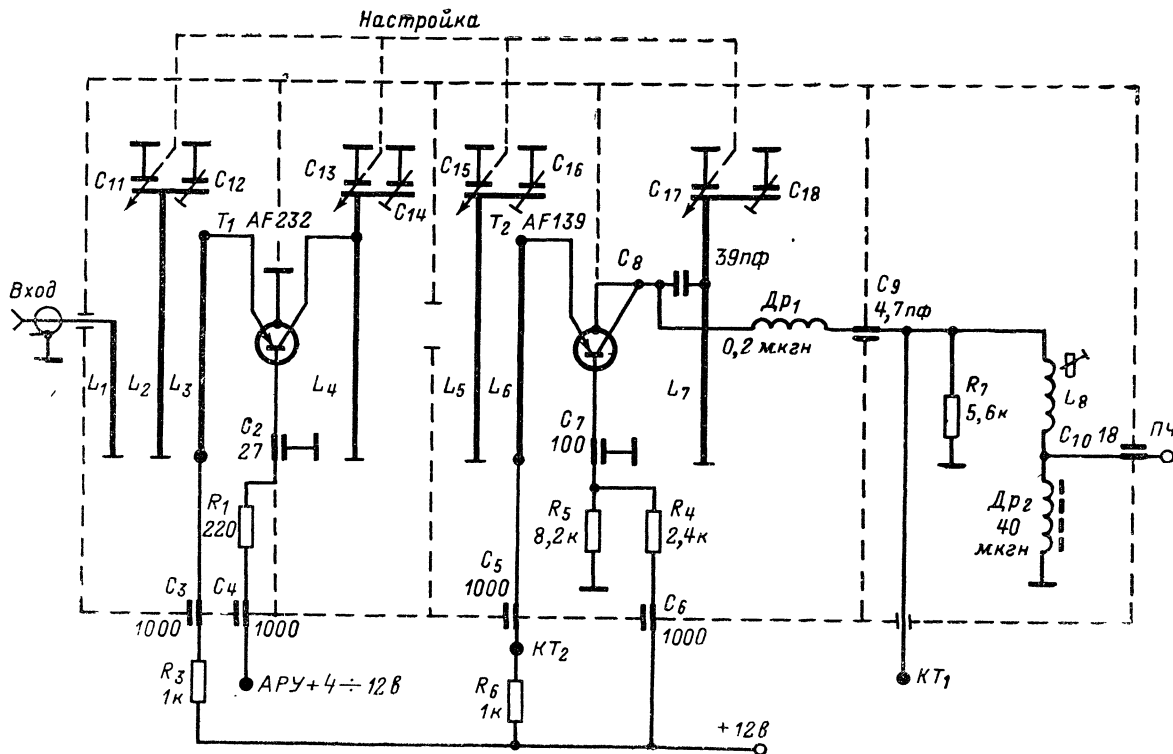


Рис. 1-9. Принципиальная схема селектора каналов СК-Д-1.

Таблица 1-1

Моточные данные катушек гетеродинных и антенных секторов селектора каналов ПТК-11Д

Номер канала	Гетеродинный сектор, катушка						Антенный сектор, катушка			
	гетеродинная		сеточная		анодная		сеточная		антенная	
	Число витков	Диаметр провода	Число витков	Диаметр провода	Число витков	Диаметр провода	Число витков	Диаметр провода	Число витков	Диаметр провода
I	13	0,31	21	0,31	18	0,31	32	0,51	4	0,51
II	10	0,31	16	0,31	14	0,31	27	0,51	3	0,51
III	10	0,51	13	0,51	11	0,51	17	0,51	2	0,51
IV	8	0,51	11	0,51	10	0,51	14	0,51	2	0,51
V	7	0,51	9	0,51	9	0,51	13	0,51	2	0,51
VI	3	0,8	4×2	0,41	4	0,8	6	0,51	2	0,51
VII	3	0,8	3	0,51	4×2	0,41	6	0,51	2	0,51
VIII	3	1,0	3×2	0,41	3	0,41	5	0,51	2	0,51
IX	3	1,0	3×2	0,41	3×2	0,41	5	0,51	2	0,51
X	2	0,51	2	0,41	3×2	0,41	4	0,51	2	0,51
XI	2	0,64	2	0,8	3×2	0,41	4	0,51	2	0,51
XII	2×2	0,41	2×2	0,41	2	0,51	4	0,51	2	0,51

Примечание. Гетеродинные катушки VI—IX каналов намотаны проводом марки ПЭВ-1, все остальные катушки — проводом марки ПЭВТЛ-1. Контур ПЧ L_{1-65} намотан проводом ПЭВТЛ-1 0,31 — 31 виток (отвод от 8-го витка). Дроссели: $Др_{1-1}$ — 5,5 витка провода ПЭВТЛ-1 0,64; $Др_{1-2}$ — 18 витков провода ПЭВТЛ-1 0,51; $Др_{1-3}$ — 4 витка провода ПЭВ-1 0,8; $Др_{1-4}$ — 25 витков (9+16) провода ПЭВТЛ-1 0,18.

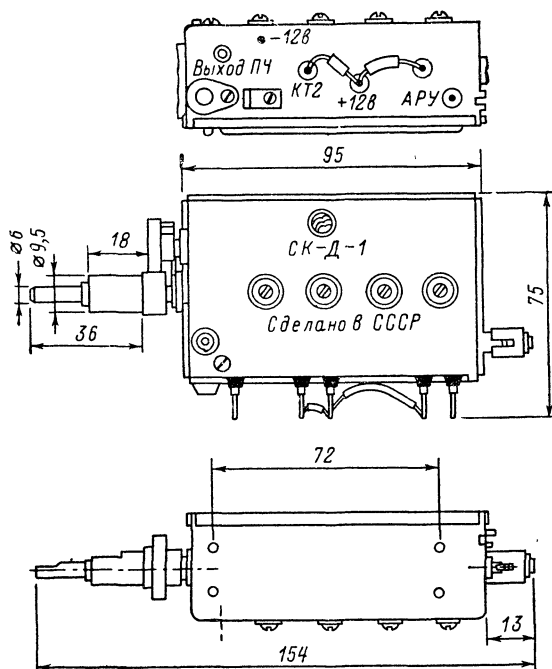


Рис. 1-10. Габаритный чертеж селектора каналов СК-Д-1.

родина L_7 , C_{17} , а по промежуточной частоте — контуром L_8 , C_9 , C_{10} . Гетеродин выполнен по схеме емкостной трехточки, в которой связь между эмиттером и коллектором осуществляется через межэлектродную емкость $C_{э-к}$. Для увеличения этой связи к коллектору подключен вывод корпуса транзистора. Связь коллектора транзистора с контуром гетеродина L_7 , C_{17} неполная; осуществляется она через конденсатор C_8 .

Ручка настройки связана через верньерное устройство с осью, на которую насажены роторы переменных конденсаторов C_{11} , C_{13} , C_{15} и C_{17} . Сопряжение настроек контуров, к которым подключен каждый из этих конденсаторов, достигается с помощью гибких металлических пластинок, которые закреплены на стенках секций и образуют конденсаторы C_{12} , C_{14} , C_{16} и C_{18} .

Селектор каналов СК-Д-1 собран в прямоугольном корпусе (рис. 1-10), который разделен перегородками на пять отсеков. В первом отсеке размещен входной контур L_2 , C_{11} и петли связи L_1 и L_3 , во втором — контур L_4 , C_{13} , в третьем — контур L_5 , C_{15} и петля связи L_6 . В перегородке между вторым и третьим отсеком имеется щель связи. В четвертом отсеке находятся контур и детали гетеродина. Наконец, в пятом отсеке установлены детали выходной цепи селектора и его верньерное устройство. Для удобства монтажа и ремонта транзисторы T_1 и T_2 смонтированы на вставных монтажных пластинках.

ГЛАВА ВТОРАЯ

ТЕЛЕВИЗОРЫ I КЛАССА

2-1. ТЕЛЕВИЗОР ЛПТ-65-1-2 («ГОРИЗОНТ-102»)

Телевизор «Горизонт-102» выполнен на кинескопе 65ЛК1Б с углом отклонения 110° , спрямленными углами и соотношением сторон 4:5.

Таблица 1-2

Моточные данные катушек гетеродинных и антенных секторов селектора каналов СК-М-15

Номер канала	Гетеродинный сектор, катушка						Антенный сектор, катушка			
	гетеродинная		базовая		коллекторная		связи		антенная	
	Число витков	Диаметр провода	Число витков	Диаметр провода	Число витков	Диаметр провода	Число витков	Диаметр провода	Число витков	Диаметр провода
I	13	0,41	16	0,41	14	0,41	8	0,41	28	0,41
II	11	0,41	13	0,41	11	0,41	7	0,41	23	0,41
III	9	0,41	9	0,41	8	0,41	6	0,41	16	0,41
IV	8	0,41	8	0,41	7	0,41	5	0,41	14	0,41
V	7	0,41	7	0,41	6	0,41	4	0,41	12	0,41
VI	3	0,59	4	0,64	4	0,64	1	0,41	5	0,41
VII	3	0,74	3	0,31	3	0,31	1	0,41	4	0,41
VIII	2	0,31	3	0,41	3	0,41	1	0,41	4	0,51
IX	2	0,41	3	0,51	3	0,51	1	0,51	4	0,59
X	2	0,59	3	0,74	3	0,74	1	0,51	3	0,41
XI	2	0,74	2	0,31	2	0,31	1	0,51	3	0,51
XII	2×2	0,41	2	0,51	2	0,59	1	0,51	3	0,59

Примечание. Все катушки намотаны проводом марки ПЭВТЛ-1.

Блок селектора каналов. Блок состоит из селекторов каналов ПТК-11Д и СК-Д-1 и платы 1У1 (рис. 2-1), на которой размещен переключатель $1B_2$ и элементы схемы, используемые в цепях питания и АРУ селектора СК-Д-1. В положении MB переключатель $1B_2$ коммути-

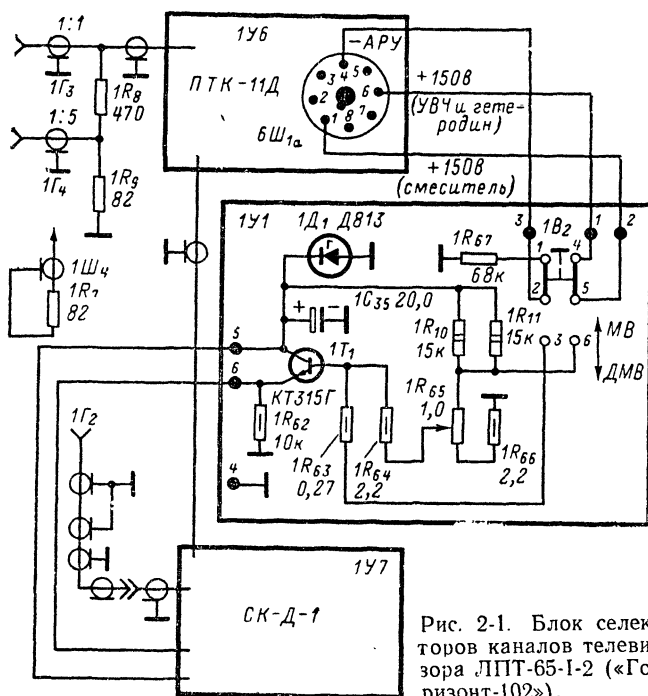


Рис. 2-1. Блок селекторов каналов телевизора ЛПТ-65-1-2 («Горизонт-102»).

рует напряжение 150 в на УВЧ и гетеродин ПТК-11Д и подсоединяет резистор $1R_{67}$ к шине АРУ. В положении ДМВ анодное напряжение с УВЧ и гетеродина ПТК-11Д снимается, поскольку в диапазоне дециметровых волн используется только смеситель этого селектора, работающий в качестве дополнительного усилителя промежуточной частоты; напряжение 150 в подается на схему, собранную на плате 1У1. Здесь это напряжение при помощи гасящих резисторов $1R_{10}$, $1R_{11}$ и стабилитрона $1D_1$ понижается до 12 в и стабилизируется, после чего поступает на селектор каналов СК-Д-1 и транзистор $1T_1$.

Транзистор $1T_1$ служит для преобразования отрицательного напряжения, вырабатываемого схемой АРУ для управления усилением ламповых каскадов, в положительное напряжение, необходимое для управления усилением УВЧ транзисторного селектора каналов СК-Д-1. При помощи переменного резистора $1R_{65}$ на базе транзистора $1T_1$ типа $n-p-n$ устанавливается такое положительное напряжение, при котором ток, протекающий через резистор $1R_{62}$, создает на нем (в отсутствие напряжения АРУ) падение напряжения 9—9,5 в. Это напряжение подается на базу транзистора $1T_1$ усилителя высокой частоты селектора каналов СК-Д-1 (см. рис. 1-9). При увеличении сигнала на входе телевизора на базу транзистора $1T_1$ поступает отрицательное напряжение АРУ, которое уменьшает имеющееся здесь положительное напряжение; одновременно уменьшается положительное напряжение на базе транзистора $1T_1$ и усиление УВЧ селектора каналов СК-Д-1.

Подключение блока селектора каналов производится при помощи разъема $6Ш_{1a}$.

Усилитель промежуточной частоты изображения (УПЧИ) имеет три каскада (рис. 2-2). Первый каскад выполнен на лампе 6К13П ($4L_1$) и охвачен автоматической регулировкой усиления, во втором и третьем каскадах используются лампы 6Ж51П ($4L_2$ и $4L_3$).

Индуктивность $4L_2$ образует с входной емкостью лампы $4L_1$ последовательный контур с резонансной ча-

стотой 35,5 МГц, что позволяет увеличить напряжение сигнала примерно в три раза. Последовательный резонансный контур из емкости $4C_2$ и индуктивности $4L_1$ предназначен для подавления первой промежуточной частоты звука 31,5 МГц. Входная емкость УПЧИ устанавливается подбором конденсатора $4C_1$ в зависимости от длины соединительного кабеля селектора каналов ПТК-11-Д.

Между первым и вторым каскадами включен полосовой фильтр. Контуры фильтра (индуктивность катушки $4L_3$, емкость C_{a-k} лампы $4L_1$ и индуктивность катушки $4L_6$, емкость C_{c-k} лампы $4L_2$) настроены на частоту 35,5 МГц и связаны между собой конденсатором $4C_6$. К фильтру подключены два режекторных контура. Первый из них, образованный конденсатором $4C_7$ и катушкой индуктивности $4L_5$, дает провал на частоте 30 МГц и подъем (с емкостью $4C_6$) на частоте 33,5 МГц, второй — из индуктивности $4L_4$ и конденсаторов $4C_8$ и $4C_9$ — дает минимум усиления на частоте 39,5 МГц и максимум на частоте 38,7 МГц. Особенностью схемы является использование наряду с индуктивной связью между катушками $4L_3$ и $4L_4$ связи через общий резистор $4R_6$. Изменение сопротивления этого резистора позволяет осуществить очень глубокую режекцию на частоте 39,5 МГц.

Между вторым и третьим каскадами включен фильтр с индуктивной связью и режекторной цепью. Первичный контур фильтра образован катушкой индуктивности $4L_7$, конденсатором $4C_{12}$ и выходной емкостью C_{a-k} лампы $4L_2$. Вторичный контур фильтра состоит из катушки $4L_9$ и емкости C_{c-k} лампы $4L_3$. Оба контура настроены на частоту 35,5 МГц и связаны между собой при помощи катушек связи $4L_7$ и $4L_8$. Связь между катушками регулируется ферритовым сердечником и выбрана такой, чтобы частотная характеристика фильтра была одногорбой. Назначение режекторной цепи $4L_9$, $4C_{14}$ — уменьшить всплеск частотной характеристики на частоте 40,0 МГц.

Нагрузкой лампы третьего каскада служит полосовой фильтр, образованный асимметричным контуром с катушками индуктивности $4L_{10}$, $4L_{11}$ и контуром с катушкой индуктивности $4L_{12}$. Связь между контурами емкостная через конденсатор $4C_{19}$. На входе видеодетектора $4D_2$ включен контур $4L_{11}$, $4C_{21}$, $4C_{19}$, дающий провал на частоте 31,5 МГц и наибольшее усиление примерно на частоте 32—33 МГц.

Частотная характеристика контуров УПЧИ показана на рис. 2-7, е.

Для устранения возможности появления искаженного звука при включении телевизора на управляющую сетку лампы $4L_1$ через резистор $4R_{26}$ подается напряжение —9 в. После разогрева ламп строчной развертки и начала работы АРУ, когда напряжение на варисторе $4R_{27}$ превысит 700 в, диод $4D_5$ отпирается, замыкая отрицательное напряжение на шасси.

Канал звукового сопровождения. Канал звукового сопровождения (рис. 2-3) состоит из усилителя промежуточной частоты звука (УПЧЗ) на лампе $2L_1$ (6К4П), ограничителя на лампе $2L_2$ (6Ж1П), дробного детектора (фазосдвигающий трансформатор $2L_5$, $2L_6$, диоды $2D_2$ и $2D_3$) и усилителя низкой частоты на одной лампе 6Н2П и двух лампах 6П14П. Усиление первого каскада УПЧЗ регулируется автоматически (цепь $2R_1$ и $2C_2$). Источником напряжения АРУ является отрицательное напряжение, образующееся на резисторе $2R_4$ — утечке сетки лампы ограничителя. Диод $2D_1$ — дополнительный ограничитель амплитудной модуляции. В полосовых фильтрах $2У1$ и $2У2$ применена индуктивная связь, величина которой несколько превышает критическую.

Первый каскад усилителя низкой частоты (УНЧ) собран по реостатной схеме на одном из триодов лампы 6Н2П; второй триод используется в инверсном каскаде с разделенной нагрузкой. Выходной каскад со-

бран по двухтактной схеме на лампах 6П14П. Регулятор тембра в области низких частот включен по схеме частотно-зависимой обратной связи между вторичной обмоткой выходного трансформатора и лампой первого каскада УНЧ, а регулятор тембра в области высоких частот — на входе УНЧ перед регулятором громкости. Нагрузкой выходного каскада УНЧ являются два громкоговорителя 6ГД-6 и 3ГД-31, образующих двухполосную акустическую систему, в которой один из громкоговорителей используется для воспроизведения высоких звуковых частот, а другой — низких. Это позволяет получить более равномерную частотную характеристику с большей полкой воспроизводимых частот и значительно уменьшить нелинейные искажения. Для сокращения полосы рабочих частот каждого из громкоговорителей подключение их ко вторичной обмотке трансформатора $1Tr_1$ произведено через разделительный фильтр. Так, громкоговоритель 3ГД-31, используемый для воспроизведения высоких звуковых частот, подключен через конденсатор $1C_4$, а громкоговоритель 6ГД-6, воспроизводящий низкие частоты, — через дроссель $1Др_6$. Кроме того, громкоговоритель 6ГД-6 зашунтирован конденсатором $1C_5$ большой емкости.

Видеоусилитель. Ключевая АРУ. Первый каскад видеоусилителя собран на пентодной части лампы $4Л_4$ (6Ф1П). Напряжение на лампу ключевой АРУ (триодная часть лампы $4Л_5$) и амплитудный селектор (пентодная часть лампы $4Л_7$) снимается с резистора $4R_{15}$ в анодной цепи этой лампы, а на управляющую сетку пентодной части лампы $4Л_5$ — с переменного резистора $1R_{28}$, являющегося частью катодной нагрузки. Через резисторы $1R_{25}$ и $1R_{26}$ на катод лампы $4Л_4$ подается отрицательное напряжение, позволяющее подобрать рабочую точку таким образом, чтобы она соответствовала правильному воспроизведению уровня черного.

Коррекция частотной характеристики видеоусилителя производится при помощи дросселя $4Др_3$ в цепи управляющей сетки лампы первого каскада и дросселей $4Др_4$ и $4Др_5$ в анодной цепи лампы второго. Кроме того, для этой же цели используется цепь частотно-зависимой отрицательной обратной связи. Она создается цепью из параллельно соединенных конденсатора $4C_{31}$ и резистора $4R_{18}$ в цепи катода лампы второго каскада, к которым при помощи переключателя $1B_4$ Четкость может быть параллельно подключен конденсатор $1C_{10}$.

Ключевая частично задержанная АРУ выполнена на триодной части лампы $4Л_5$. На анод этой лампы через конденсатор $4C_{48}$ поступают импульсы обратного хода строчной развертки положительной полярности, а на управляющую сетку — видеосигнал (синхронимпульсами вверх) и отрицательные импульсы строчной развертки. Подбором емкости конденсатора $4C_{47}$ амплитуда отрицательных импульсов установлена такой, чтобы они полностью компенсировали положительные импульсы, проникающие через межуэлектродную емкость лампы в цепи формирования управляющего напряжения. Режим работы АРУ регулируется переменным резистором $4R_{47}$ в катоде лампы $4Л_5$. Величина задержки начала поступления регулирующего напряжения на селектор каналов ПТК-11Д устанавливается переменным резистором $4R_{24}$. При слабом сигнале, когда отрицательное напряжение АРУ, подаваемое на УПЧИ, мало, диод $4Д_4$ открыт положительным напряжением, снимаемым с резистора $4R_{24}$, из-за чего напряжение АРУ на селектор каналов не поступает. С увеличением входного сигнала, когда отрицательное напряжение на аноде диода $4Д_4$ превысит положительное напряжение, снимаемое с резистора $4R_{24}$, диод запирается и управляющее напряжение начинает поступать на селектор каналов ПТК-11Д.

Автоматическая подстройка частоты гетеродина. Напряжение промежуточной частоты через конденсатор $4C_{15}$ поступает на управляющую сетку лампы $4Л_6$. В анодную цепь этой лампы включен дискриминатор, имеющий два связанных контура, размещенных на модуле $4У7$. Первый контур образован катушкой индуктивно-

сти $1L_{15}$, межвитковой емкостью и емкостью монтажа. В состав второго контура входят катушки индуктивности $4L_{14}$ и $4L_{14}$ и конденсатор $4C_{38}$. Связь между контурами индуктивно-емкостная. Диоды дискриминатора $4Д_6$ и $4Д_7$ нагружены на резисторы $4R_{31}$ и $4R_{32}$, включенные по постоянному току последовательно.

Регулирующее напряжение с выхода дискриминатора поступает на управляющую сетку триодной части лампы $4Л_4$ усилителя постоянного тока (УПТ). Величина и полярность этого напряжения зависят от величины и знака расстройки промежуточной частоты изображения относительно номинального значения 38 Мгц. С резистора $4R_{28}$ анодной нагрузки УПТ напряжение автоподстройки подается на варикап селектора каналов ПТК-11Д. Стабилитрон $1Д_2$ предназначен для защиты варикапа от пробоя, а переменный резистор $1R_{14}$ — для установки требуемого режима. В положении переключателя $1B_3$ Ручная настройка анодная цепь лампы $4Л_4$ отключается и на варикап селектора каналов подается напряжение с переменного резистора $1R_{12}$. В этом случае диод $1Д_2$ используется для стабилизации напряжения.

Амплитудный селектор синхронимпульсов. Амплитудный селектор синхронимпульсов собран на пентодной части лампы $4Л_7$. Сигнал на управляющую сетку этой лампы снимается с анодной нагрузки лампы первого каскада видеоусилителя через резистор $4R_{35}$, уменьшающий влияние входной емкости селектора на частотную характеристику видеоусилителя. Величины разделительного конденсатора $4C_{43}$ и резистора $4R_{38}$ выбраны из соображений сохранения отрицательного смещения на управляющей сетке селектора при заданном уровне привязки на время прохождения кадрового синхронимпульса. Цепь из резистора $4R_{39}$ и конденсатора $4C_{44}$ предназначена для подавления кратковременных импульсных помех.

В промежутке между синхронимпульсами пентодная часть лампы $4Л_7$ заперта, а триодная, выполняющая роль усилителя-ограничителя, открыта. При этом анодная нагрузка пентода шунтируется относительно малым (при наличии сеточного тока) входным сопротивлением участка сетка — катод триода. В результате усиление пентода падает, что значительно уменьшает возможность проникновения в канал синхронизации сигналов изображения через проходные и монтажные емкости лампы. При отпирании пентода в его анодной цепи возникает отрицательный импульс, который запирает триод, что приводит к дополнительному ограничению синхронимпульсов.

Разделение синхронимпульсов происходит в анодной цепи лампы усилителя-ограничителя. Строчные синхронимпульсы после дифференцирования цепью $3C_6$, $3R_6$ поступают на схему автоматической синхронизации. Отделение кадровых импульсов производится интегрирующей цепью $4R_{45}$, $5C_1$. В качестве усилителя этих импульсов используется левый триод лампы $5Л_1$.

Ограничение тока луча и защита экрана кинескопа от прожога. Передача постоянной составляющей видеосигнала с анода лампы выходного каскада видеоусилителя на катод кинескопа обеспечивается за счет наличия в этой цепи диода $4Д_3$, который вместе с резисторами $4R_{19}$ и $4R_{22}$ используется, кроме того, для ограничения тока луча кинескопа. В нормальном режиме диод открыт и потенциал катода кинескопа целиком определяется напряжением на аноде лампы видеоусилителя. При значительном увеличении тока луча, когда падение напряжения на резисторах $4R_{19}$ и $4R_{22}$ только за счет этого тока превысит напряжение на аноде лампы, диод заперется и дальнейшее увеличение тока (сверх 300—350 мка) практически будет ограничено наличием в катоде кинескопа резисторов с сопротивлением, превышающим 0,5 Мом.

Защита экрана кинескопа от прожога осуществляется следующим образом. Пока телевизор включен, конденсатор $1C_{26a}$ заряжается через резистор $4R_{19}$ и диод $4Д_3$. После выключения телевизора напряжение на модуляторе кинескопа исчезает практически мгновенно, а на

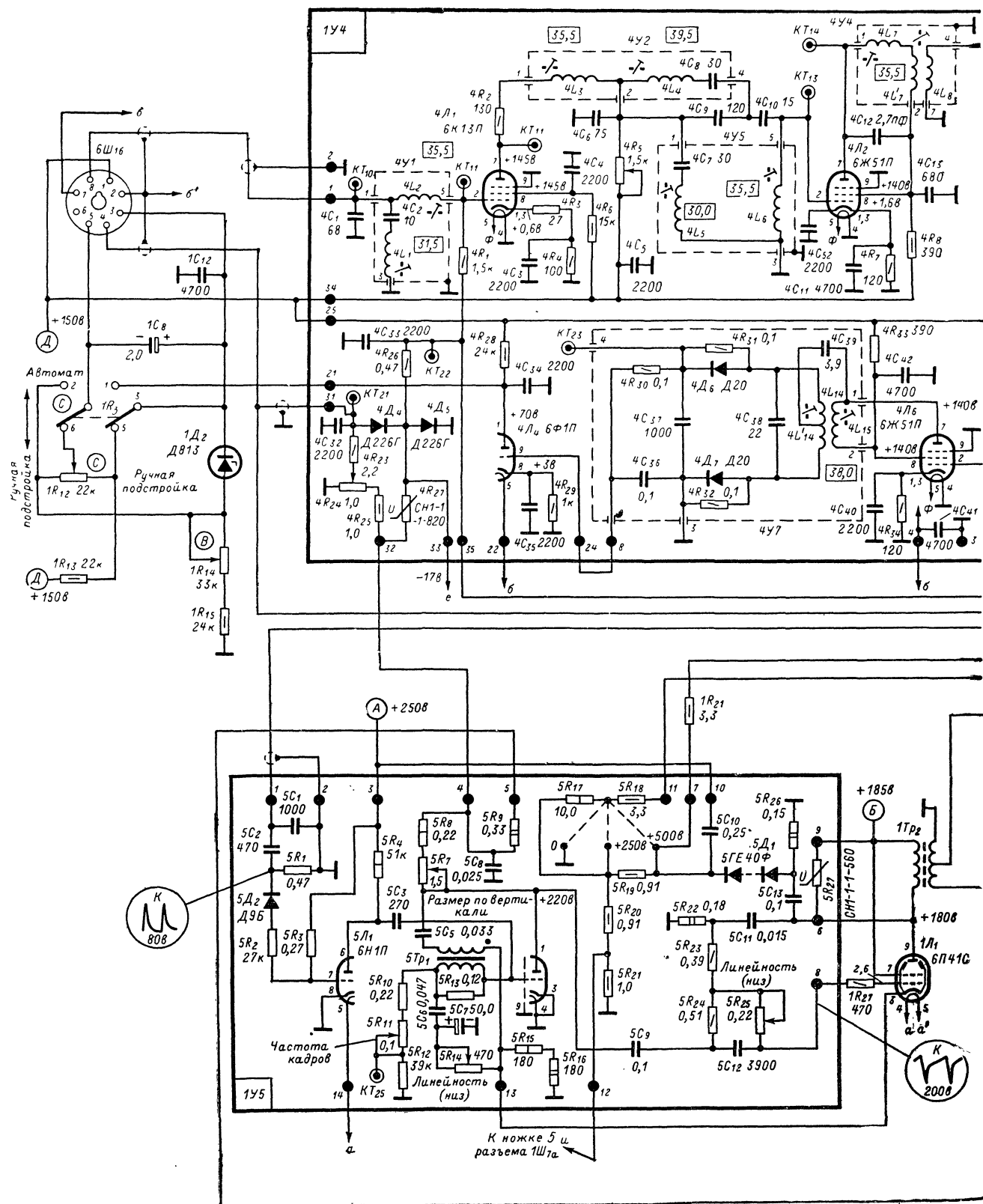
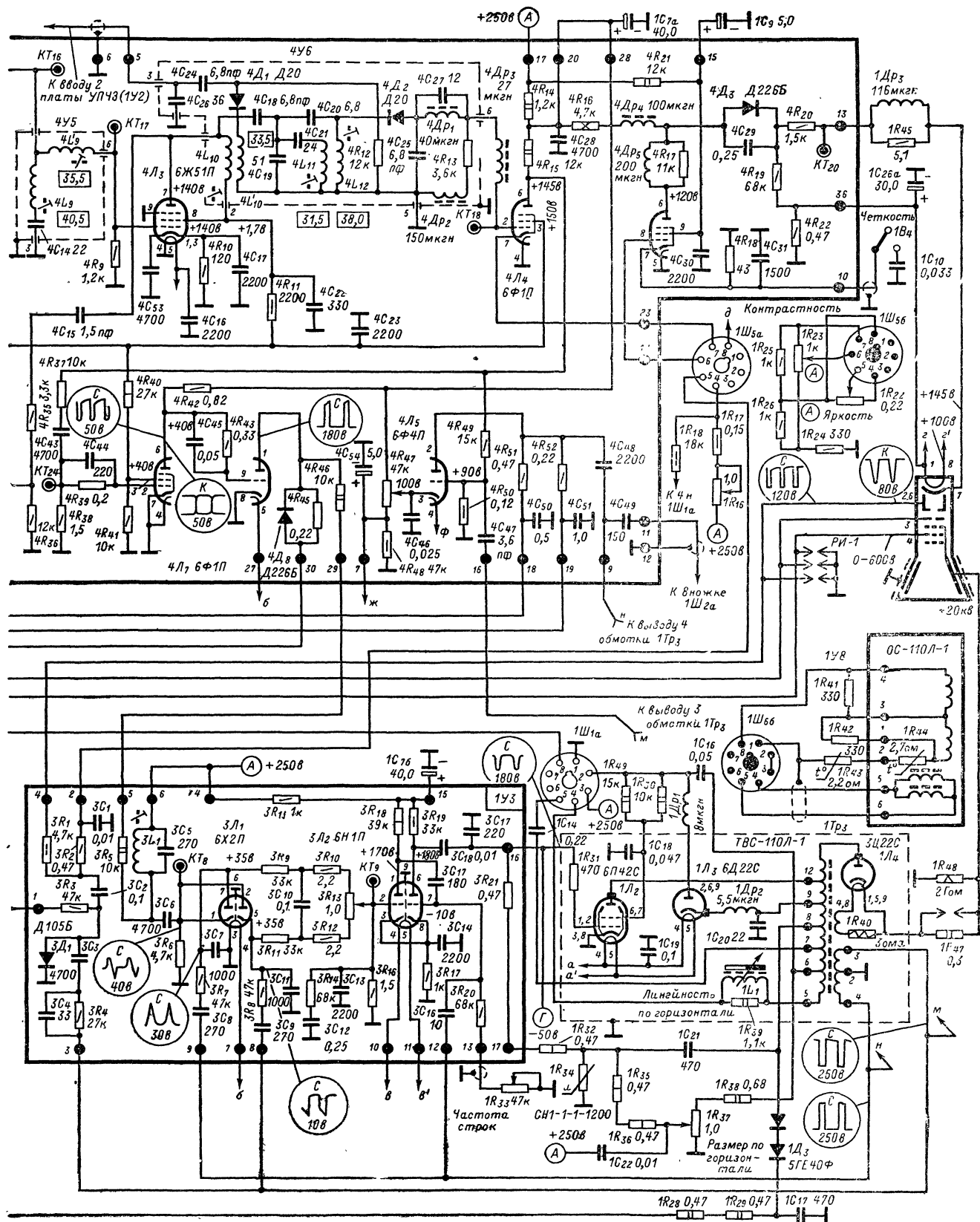


Рис. 2-2. Принципиальная схема телевизора ЛПТ-65-I-1 («Горизонт-102») без блока селекторов каналов, канала звуко- (1Y2, 1Y3, 1Y4 и 1Y5); узлы и детали, установленные на шасси и в футляре, имеют обозначение, начинающееся с циф- 16



вого сопровождения и блока питания. Третьей цифрой в углу каждого прямоугольника обозначен номер печатной платы 1, а установленные на печатных платах — с цифр 2, 3, 4 или 5 соответственно.

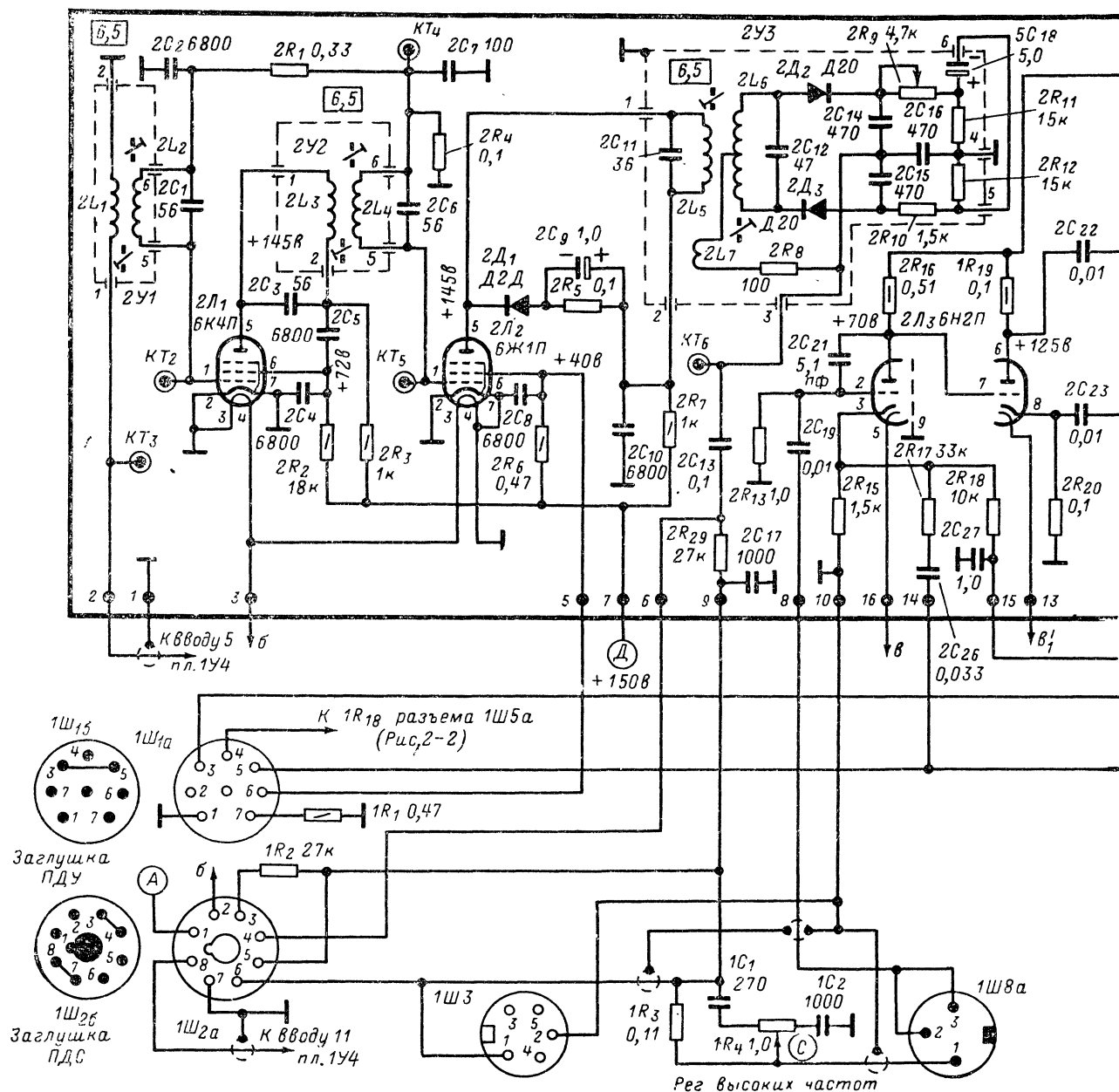
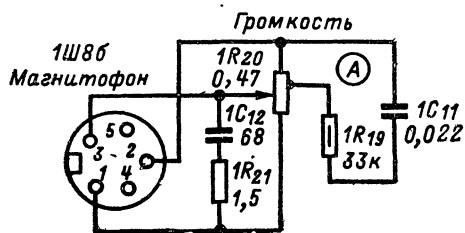


Рис. 2-3. Принципиальная схема канала звукового сопровождения телевизора ЛПТ-65-1-2 («Горизонт-102»).

конденсаторе $1C_{26a}$ убывает постепенно, поскольку его разряд происходит через большое сопротивление резистора $4R_{22}$ из-за того, что диод $4D_3$ в отсутствие анодного напряжения заперт. Отрицательное смещение, создаваемое током разряда конденсатора $1C_{26a}$ на модуляторе кинескопа, препятствует попаданию электронов на экран. Постоянная времени цепи $4R_{22}$, $1C_{26a}$ выбирается такой, чтобы разряд конденсатора происходил за больший промежуток времени, чем это необходимо для остывания катода. Для защиты экрана кинескопа от прожога горизонтальной линией, возникающей при выходе из строя кадровой развертки, напряжение на его ускоряющий электрод поступает с выпрямителя импульсов обратного хода кадровой развертки на диоде $5D_1$ (5ГЕ40Ф).

Импульсы гашения отрицательной полярности с частотой строк и кадров, поступающие на модулятор кинескопа через $3R_1$, $3C_2$, формируются при помощи диода $3D_1$. Диод, включенный параллельно источникам этих импульсов (через резистор $3R_3$ — к дополнительной обмотке трансформатора $1Tr_2$ и через цепь $3C_3$, $3C_4$, $3R_4$ — к дополнительной обмотке трансформатора $1Tr_3$) шунтирует положительные всплески напряжения, возникающие в результате колебательного процесса во время прямого хода строчной развертки. Для быстрого стекания заряда со второго анода кинескопа при выключении телевизора этот анод соединен с шасси через высоковольтный резистор типа КЭВ-5 сопротивлением 2 Гом.

Блок развертки. Задающий генератор кадровой развертки собран по схеме блокинг-генератора на правом



В качестве задающего генератора строчной развертки применен мультивибратор с катодной связью на лампе $3Л_2$ (6Н1П). Генератор управляется схемой автоматической синхронизации с накоплением [Л. 1], которая состоит из лампы $3Л_1$ (6Х2П), резисторов $3R_{11}$, $3R_9$, $3R_{10}$.

Блок питания. В блоке питания (рис. 2-4) используется силовой трансформатор ITP_4 (ТС-280). От вторичных обмоток этого трансформатора питаются нити накала ламп, однополупериодный выпрямитель на диоде ID_8 (-50 в) однополупериодный выпрямитель на диоде ID_{13} (-17 в) и две мостовые выпрямительные схемы на диодах $ID_4 - ID_7$ и $ID_9 - ID_{12}$, соединенные последовательно ($150+100$ в). Обмотка $12-13$ питает нить накала кинескопа, причем ток накала стабилизируется при помощи бареттера $1P_7$. Установка тока стабилизации при смене бареттера, кинескопа и начальной регулировке телевизора осуществляется при помощи резистора переменного сопротивления $1R_{58}$, включенного параллельно нити накала кинескопа. Этот резистор позволяет увели-

Для настройки входного контура контрольная точка KT_{10} отсоединяется от шасси и к ней подключается выход ИЧХ. Низкочастотный кабель ИЧХ с детекторной головкой подсоединяется к аноду лампы $4L_1$ так же, как он подсоединялся при настройке первого каскада к аноду лампы $4L_2$. Частотная характеристика входного контура должна иметь вид, показанный на рис. 2-7, ж. Максимум усиления на частоте 35,5 Мгц достигается вращением сердечника катушки $4L_2$ фильтра $4YI$.

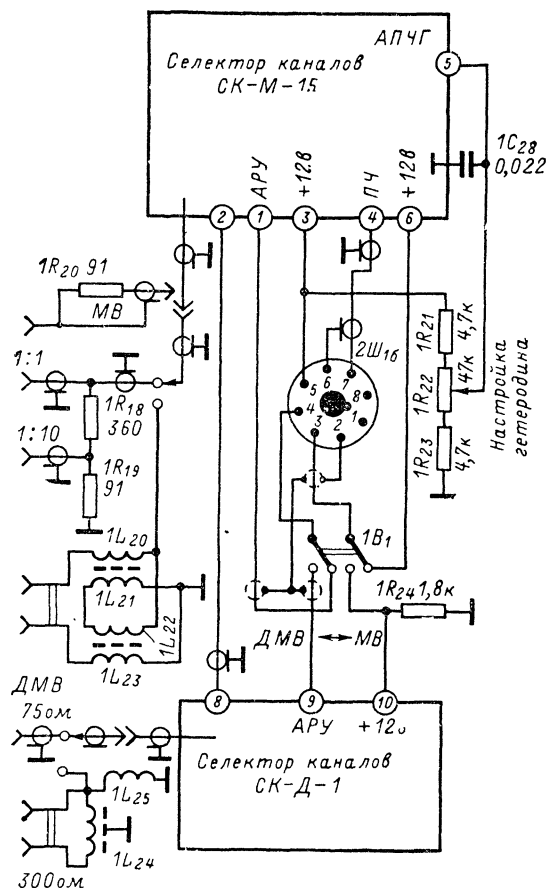


Рис. 3-1. Блок селекторов каналов телевизора УПТ-61-II («Электрон-215Д»).

Видеоусилитель собран на транзисторах $2T_5$ и $2T_6$ по схеме с непосредственной связью. С резистора эмиттерной нагрузки $2R_{33}$ транзистора $2T_5$ сигнал снимается на базу транзистора $2T_6$ и амплитудный селектор, а с резистора коллекторной нагрузки $2R_{34}$ — на схему АРУ. Режим транзистора $2T_5$ устанавливается с помощью переменного резистора $2R_{30}$, который связан с цепью его базы через резистор нагрузки видеодетектора. Коллекторная цепь питается от двух источников напряжения: 150 в через резистор $2R_{37}$ и 24 в через резисторы $2R_{35}$ и $2R_{34}$. При этом удается скомпенсировать изменение коллекторного напряжения при изменении размаха видеосигнала. Сигнал разностной частоты 6,5 МГц снимается с контура $2C_{44}$, $2L_{20}$, $2L_{21}$ в эмиттерной цепи транзистора.

Выходной каскад видеоусилителя собран на транзисторе $2T_6$ по схеме с общим эмиттером. Регулировка контрастности производится изменением величины отрицательной обратной связи (резистор $2R_{120}$). С резисторов коллекторной нагрузки $2R_{40}$, $2R_{42}$ сигнал через цепь ограничения тока луча $2D_3$ $2C_{48}$ поступает на катод кинескопа. Цепь $2R_{45}$, $2R_{46}$, $2C_{49}$ препятствует появлению светящейся точки при выключении телевизора (см стр. 15).

Схема АРУ выполнена на транзисторах $2T_8$ и $2T_{10}$. Управляющее напряжение вырабатывается ключевым каскадом на транзисторе $2T_8$. На базу этого транзистора подается видеосигнал, а на коллектор через диод $2D_5$ и конденсатор $2C_{57}$ — импульсы обратного хода строчной развертки. При совпадении во времени импульсов обратного хода и синхроимпульсов возникает коллекторный

ток и на конденсаторе $2C_{57}$ образуется напряжение (плюс на верхней по схеме обкладке), пропорциональное амплитуде входного сигнала. Это напряжение поступает на усилитель постоянного тока (УПТ) на транзисторе $2T_{10}$. Порог срабатывания АРУ устанавливается при помощи переменного резистора $2R_{62}$. С резистора $2R_{69}$ напряжение АРУ подается на базу транзистора $2T_1$ первого каскада УПЧИ. Изменением сопротивления этого резистора устанавливается оптимальный режим каскада. Для улучшения соотношения сигнал/шум управляющее напряжение на УВЧ селекторов каналов СК-М-15 и СК-Д-1 начинает поступать только после того, как напряжение на входе телевизора превысит 700—800 мкв. Входное напряжение, при котором начинает действовать регулировка усиления УВЧ (напряжение задержки), определяется начальным положительным напряжением на диоде $2D_7$, устанавливаемым при помощи переменного резистора $2R_{73}$.

Усилитель промежуточной частоты звука выполнен на транзисторах $2T_{11}$, $2T_{12}$ и $2T_{13}$. Разностная частота 6,5 МГц поступает на первый каскад УПЧЗ, собранный по каскадной схеме на транзисторах $2T_{11}$ и $2T_{12}$, с емкостного делителя $2C_{62}$, $2C_{63}$. Нагрузкой каскада служит полосовой фильтр $2L_{22}$, $2C_{66}$, $2L_{23}$.

Резистор $2R_{77}$ и конденсатор $2C_{65}$ образуют развязывающий фильтр в цепи питания. Диод $2D_8$ и резистор $2R_{82}$ образуют цепь ограничения уровня сигнала, обеспечивающую уменьшение паразитной амплитудной модуляции. Нагрузкой второго каскада УПЧЗ на транзисторе $2T_{13}$ является контур дробного детектора с катушками индуктивности $2L_{24}$, $2L_{25}$ и $2L_{26}$. Переменный резистор $2R_{93}$ необходим для настройки на лучшее подавление паразитной амплитудной модуляции.

Трехкаскадный УНЧ выполнен на транзисторах $2T_{14}$, $2T_{15}$ и $2T_{16}$. Резистор $2R_{103}$ в эмиттерной цепи транзистора первого каскада создает отрицательную обратную связь, необходимую для увеличения входного сопротивления усилителя и уменьшения нелинейных искажений. Второй каскад, собранный по схеме эмиттерного повторителя, предназначен для согласования выходного сопротивления первого каскада с входным сопротивлением третьего каскада. Второй и третий каскады УНЧ связаны гальванически, что позволяет производить установку их режима по постоянному току с помощью переменного резистора $2R_{108}$ в цепи базового делителя эмиттерного повторителя и использовать для температурной стабилизации терморезистор $2R_{107}$. Выходной каскад работает в режиме класса А. Раздельная регулировка тембра по высоким (резистор $2R_{124}$) и низким (резистор $2R_{123}$) частотам производится в цепи отрицательной обратной связи. При отключении громкоговорителей и подключении головных телефонов сигнал на базу транзистора $2T_{16}$ не поступает.

Схема формирования и выделения синхроимпульсов состоит из усилительного каскада на полевом транзисторе $2T_{17}$ и амплитудного селектора на транзисторе $2T_7$. Работу полевого транзистора в известной степени можно сравнить с работой трехэлектродной лампы. Роль управляющей сетки в нем выполняет затвор, на который подается усиливаемый сигнал, роль катода — исток, а роль анода — сток, находящийся под отрицательным напряжением по отношению к истоку. На затвор полевого транзистора через конденсатор $2C_{50}$ и помехоподавляющую цепь $2C_{51}$, $2R_{44}$ с малой постоянной времени поступает видеосигнал в отрицательной полярности. В этом каскаде происходит усиление сигнала, частичное его ограничение (со стороны сигнала изображения) и привязка к уровню вершин синхроимпульсов. Для создания тока затвора, обеспечивающего необходимую привязку, на затвор через резистор $2R_{47}$ подается отрицательное смещение. С нагрузки на стоке резистора $2R_{48}$ видеосигнал с положительными синхроимпульсами через конденсатор $2C_{45}$ и односторонний диодный ограничитель (диод $2D_4$) поступает на базу транзистора $2T_7$. Селектор на транзисторе $2T_7$ работает в режиме усиле-

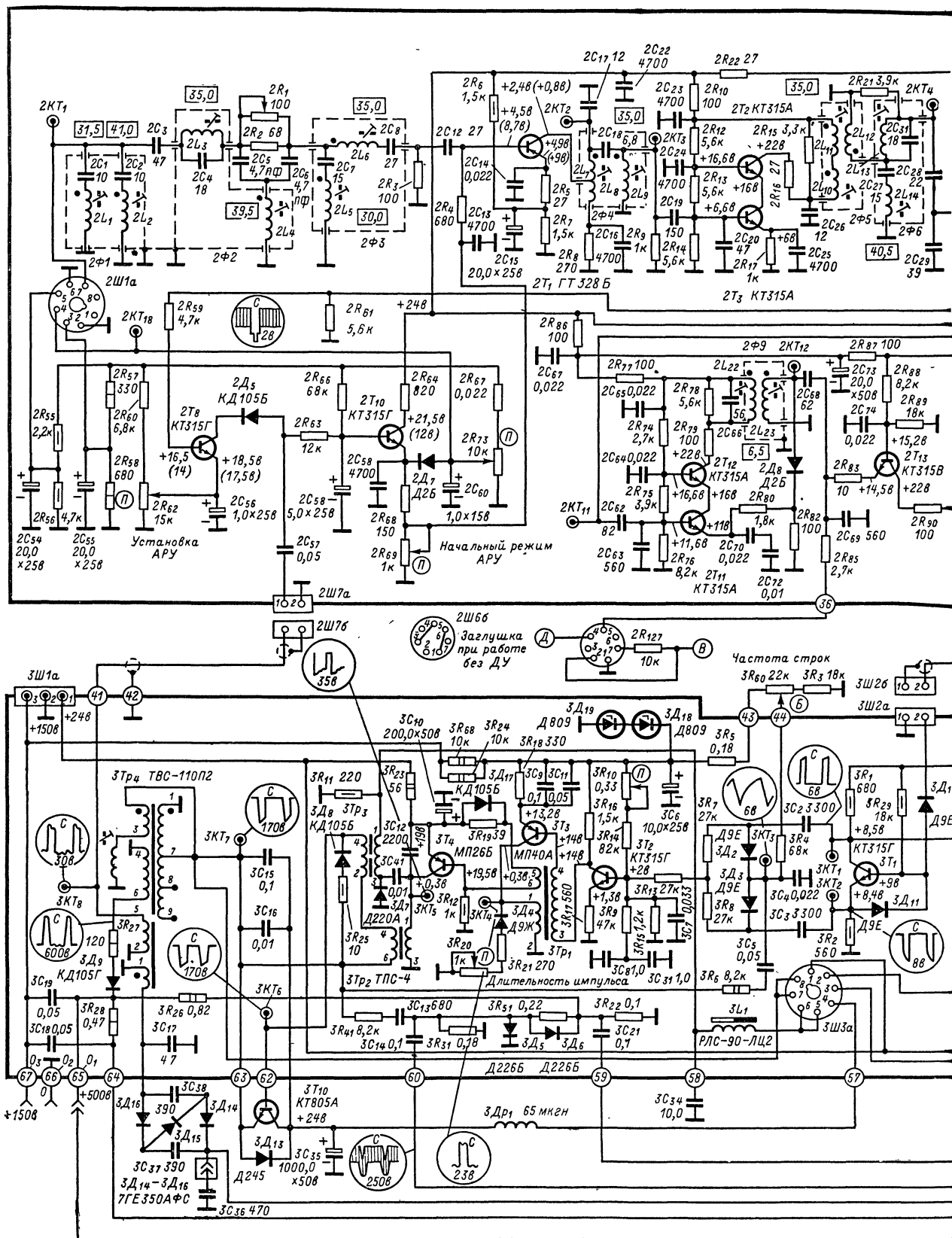


Рис. 3-2. Принципиальная схема телевизоров УПТ-61-II («Электрон-215Д» и «Электрон-215»).

Указанные на выводах транзисторов напряжения измерены при наличии телевизионного сигнала (напряжения в скобках — при его от-

ния и ограничения синхросигналов. Вершины синхросигналов ограничиваются за счет насыщения коллекторного тока, а гасящие импульсы и остатки видеосигнала — за счет отсечки коллекторного тока.

В результате на коллекторе образуется синхросмесь отрицательной полярности. С нагрузки коллектора резистора $2R_{50}$ через вывод 15 платы радиоканала синхросмесь поступает на плату разверток.

Блок развертки. В блоку развертки входит инверсный каскад, усилитель кадровых синхросигналов, схема автоматической подстройки частоты и фазы (АПЧФ) строчной развертки с усилителем постоянного тока (УПТ), а также задающие генераторы, буферные и выходные каскады строчной и кадровой развертки.

Инверсный каскад выполнен на транзисторе $3T_1$, на базу которого через диод $3D_1$ поступают синхронизирующие импульсы с резистора $2R_{50}$ нагрузки амплитудного селектора. С резисторов нагрузки $3R_2$ в эмиттере и $3R_1$ в коллекторе импульсы в разной полярности поступают через конденсаторы $3C_2$ и $3C_3$ на схему АПЧФ. Усилитель кадровых синхросигналов собран на транзисторе $3T_5$. На его базу поступают импульсы кадровой синхронизации, выделенные из синхросмеси интегрирующей цепью $3R_{30}$, $3C_{22}$, $3R_{32}$, $3C_{23}$. С коллекторной нагрузки кадровых синхросигналов через цепь $3R_{36}$, $3C_{24}$ поступают на задающий генератор кадровой развертки.

В схеме АПЧФ используется фазовый дискриминатор на диодах $3D_2$, $3D_3$ и фильтр нижних частот $3R_{13}$, $3R_{15}$, $3C_7$, $3C_8$, $3C_{31}$. Пилообразное напряжение сравнения, поступающее в точку соединения диодов $3D_2$ и $3D_3$, формируется путем интегрирования импульсов обратного хода строчной развертки цепью $3R_6$, $3C_5$, $3C_4$. Управляющее напряжение с выхода фильтра нижних частот поступает на УПТ на транзисторе $3T_2$. Усилитель постоянного тока повышает крутизну регулирования схемы АПЧФ и устраняет возможность шунтирования фазового дискриминатора входными цепями задающего генератора строчной развертки. Подаваемое на базу транзистора $3T_2$ с делителя на резисторах $3R_{10}$, $3R_{14}$, $3R_9$ постоянное смещение используется для начальной установки частоты блокинг-генератора (при помощи переменного резистора $3R_{10}$).

Строчная развертка состоит из задающего генератора на транзисторе $3T_3$, буферного каскада на транзисторе $3T_4$ и выходного каскада на транзисторе $3T_{10}$ и демпферном диоде $3D_{13}$. Задающий генератор собран по схеме блокинг-генератора с коллекторно-базовой связью. Переменный резистор $3R_{20}$ регулирует длительность прямого хода, а частота импульсов определяется постоянной времени цепи $3R_{18}$, $3C_9$, $3C_{11}$, включенной в эмиттер транзистора, и величиной смещения на его базу. Импульсы задающего генератора подаются на буферный каскад с дополнительной обмотки 5—6 блокинг-трансформатора $3Tr_1$. Буферный каскад, собранный по схеме с общим эмиттером, представляет собой усилитель импульсов, работающий в ключевом режиме. Согласование буферного каскада с транзистором выходного каскада производится при помощи трансформатора $3Tr_2$. Первичная обмотка этого трансформатора является коллекторной нагрузкой транзистора буферного каскада, а вторичная включена последовательно с обмоткой трансформатора $3Tr_3$ в цепь базы транзистора выходного каскада. Диод $3D_7$ устраняет колебательный процесс, возникающий в начале прямого хода в первичной обмотке трансформатора $3Tr_3$.

Длительность обратного хода определяется конденсаторами $3C_{15}$ и $3C_{16}$. Необходимый размер изображения устанавливается выбором точек подключения отклоняющей системы к выводам ТВС (7, 8 или 9). Последовательно с ОС включен регулятор линейности строк $3L_1$. Три дополнительные обмотки ТВС предназначены для подачи импульсов обратного хода на схему АРУ (обмотка с выводом 2), выпрямитель питания ускоряющего и фокусирующего электродов кинескопа (обмотка

с выводом 6) и высоковольтный выпрямитель питания второго анода кинескопа (специальная повышающая обмотка). Выпрямитель питания ускоряющего электрода собран по однополупериодной схеме на диоде $3D_9$, а выпрямитель питания второго анода — по схеме умножения напряжения на диодах $3D_{14}$, $3D_{15}$, $3D_{16}$ и конденсаторах $3C_{37}$, $3C_{38}$. Конденсатор $3C_{36}$, резистор $3R_{66}$ и конденсатор с обкладками из внешнего и внутреннего покрытия баллона кинескопа образуют сглаживающий фильтр. Подбор оптимального напряжения фокусировки производится путем подключения фокусирующего электрода к одному из выводов печатной платы: 67 (150 в), 66 (0 в) и 65 (500 в). Показанные на печатной плате № 5 искровые разрядники и резисторы $5R_2$, $5R_3$ и $5R_4$ предназначены для защиты элементов схемы от межэлектродных пробоев в кинескопе; сама плата закреплена на панельке кинескопа.

Кадровая развертка состоит из задающего генератора на транзисторах $3T_6$ и $3T_7$, буферного каскада на транзисторе $3T_8$ и выходного каскада на транзисторе $3T_9$, нагруженном на первичную обмотку ТВК ($3Tr_5$). Импульсы синхронизации подаются на базу транзистора $3T_6$, который работает в ключевом режиме. Частота задающего генератора регулируется при помощи переменного резистора $3R_{64}$. Пилообразное напряжение формируется на конденсаторах $3C_{27}$, $3C_{28}$ и снимается с движка переменного резистора $3R_{63}$ на буферный каскад, собранный по схеме с общим коллектором. Выходной каскад собран по схеме с общим эмиттером. Делитель в цепи базы транзистора, образованный резисторами $3R_{48}$, $3R_{49}$, $3R_{62}$ и $3R_{58}$, определяет режим выходного каскада по постоянному току, устанавливаемый при помощи переменного резистора $3R_{48}$. Для термостабилизации режима используется терморезистор $3R_{62}$. Для получения требуемой линейности используется цепь обратной связи между эмиттером транзистора выходного и базой транзистора буферного каскадов, состоящая из переменного резистора $3R_{56}$ *Линейность вверх*, резисторов $3R_{57}$, $3R_{58}$ и конденсаторов $3C_{32}$ и $3C_{39}$.

Блок питания. Принципиальная схема блока питания показана на рис. 3-3. В нем два выпрямителя: выпрямитель для получения напряжения 150 в, собранный по схеме удвоения выпрямленного напряжения на диодах $4D_3$, $4D_4$ и конденсаторах $4C_6$, $4C_7$, и выпрямитель 24 в с электронной стабилизацией напряжения, собранный по мостовой схеме на диодах $4D_5$ — $4D_8$.

Схема электронной стабилизации представляет собой замкнутую цепь обратной связи, в которую входит составной транзистор $4T_3$, $4T_1$ и транзистор $4T_2$. Транзистор $4T_3$ включен последовательно с нагрузкой в цепь минуса выпрямленного напряжения, так что на нем часть этого напряжения гасится. На базу транзистора $4T_2$ с делителя, образованного резисторами $4R_5$, $4R_6$ и $4R_7$, подается часть выпрямленного напряжения, а на его эмиттер — напряжение, стабилизированное диодами $4D_1$ и $4D_2$. Изменение напряжения на выходе выпрямителя вызывает изменение напряжения на базе транзистора, что приводит к уменьшению или увеличению его коллекторного тока. Соответственно изменяется напряжение на базе транзистора $4T_1$, что также сопровождается изменением его коллекторного тока, который одновременно является током базы транзистора $4T_3$. При этом сопротивление транзистора $4T_3$, уменьшающееся при возрастании тока базы и возрастающее при его уменьшении, изменяется таким образом, что напряжение на выходе выпрямителя поддерживается с известной степенью точности постоянным. В некоторых пределах выходное напряжение регулируется при помощи переменного резистора $4R_6$. Резистор $4R_9$, шунтирующий транзистор $4T_3$, облегчает его тепловой режим.

Конструкция телевизора. Функциональные блоки телевизора высланы на отдельных шасси и соединены при помощи разъемов. В левой стороне футляра (рис. 3-4) расположен блок селекторов каналов. Справа от него на вертикальном шасси с салазками установлен

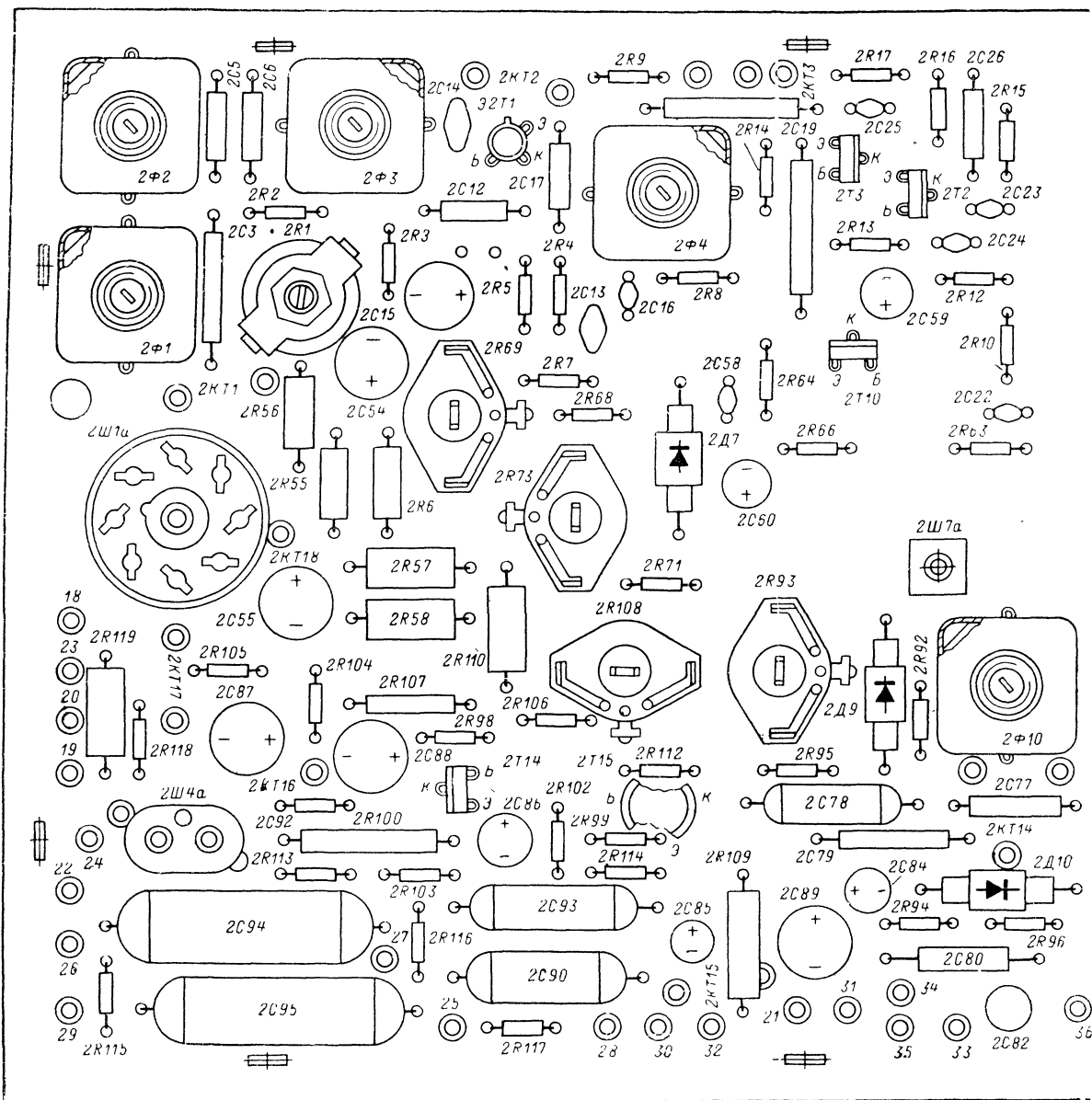


Рис 3-5 Расположение деталей на печатной плате радиоканала телевизоров УПТ-61-II («Электрон-215Д» и «Эле

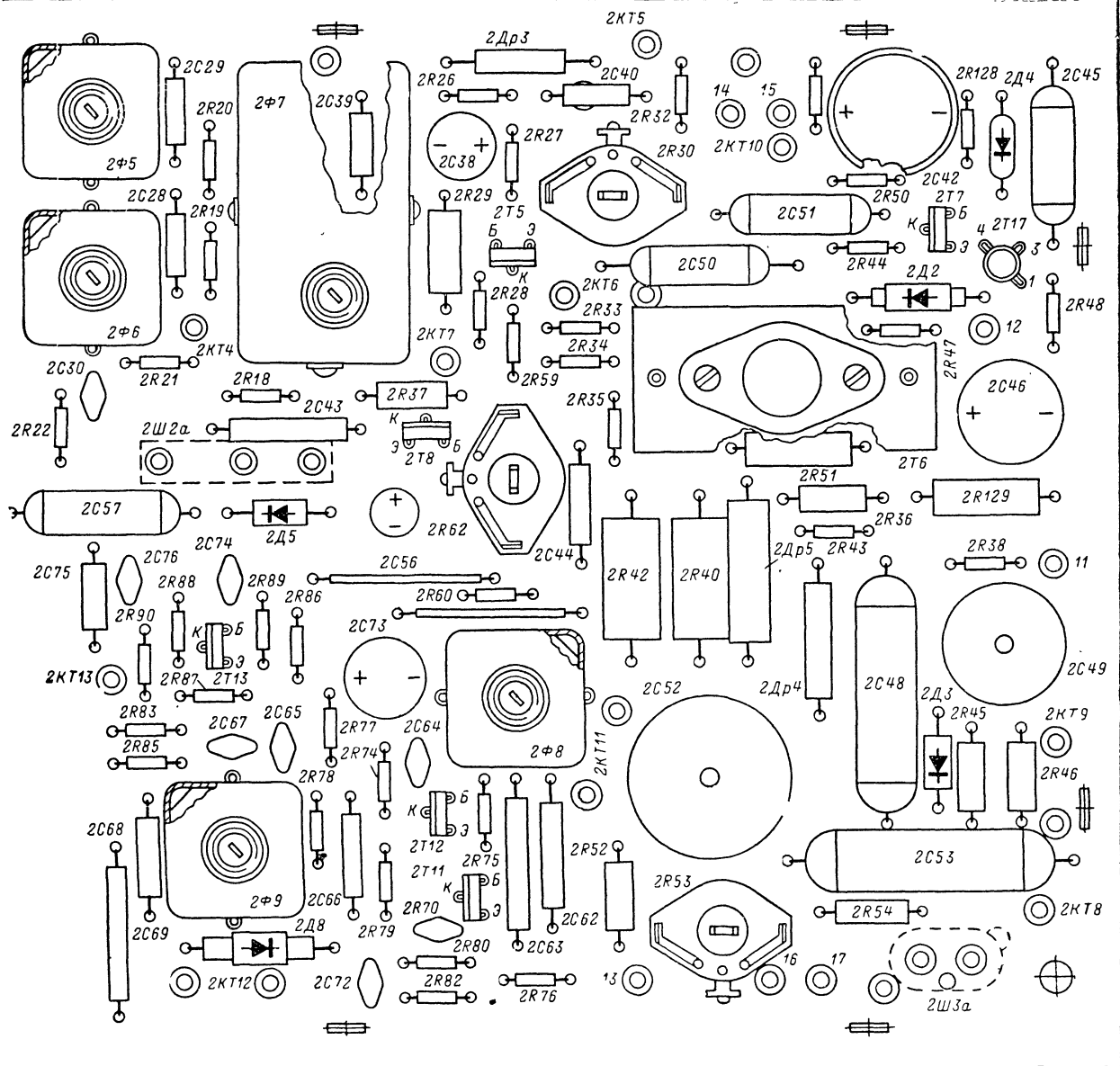
блок радиоканала. Блок развертки, расположенный в правой части футляра, выполнен на вертикальном шасси. В верхней части блока на его шасси расположены вспомогательные органы управления — регуляторы частоты строк, кадров и размера по вертикали. В нижней части блока в экране установлены выходной строчный трансформатор ТВС-110-Л12 и высоковольтный выпрямитель в диэлектрическом корпусе. Блок питания, расположенный в нижней части футляра между блоками радиоканала и развертки, выполнен на горизонтальном шасси. На рис. 3-5 и 3-6 показано расположение деталей на платах блоков радиоканала и развертки, а в табл. 3-1 и 3-2 приведены моточные данные контуров и трансформаторов.

Указания по настройке и проверке частотных характеристик УПЧИ (упрощенная схема УПЧИ показана на рис. 3-7, а, а расположение органов настройки на рис. 3-7, б) Настройка усилителя производится в сле-

дующем порядке: 3-й каскад. 2-й + 3-й каскады, ФСС, результирующая частотная характеристика.

Настройка 3-го каскада. Выход ИЧХ подключается к контрольной точке 2КТ₄ (по схеме, показанной на рис. 3-8, а), а его вход — к контрольной точке 2КТ₅. Вращением сердечников катушек 2L₁₅ и 2L₁₈ добиваются соответствия формы частотной характеристики рис. 3-7, в.

Настройка второго каскада производится по результирующей частотной характеристике 2-го и 3-го каскадов. Выход ИЧХ подключается к контрольной точке 2КТ₃ по схеме рис. 3-8, б, а контрольная точка 2КТ₂ соединяется с шасси через конденсатор емкостью 4 700—6 800 пф. Для получения частотной характеристики, соответствующей рис. 3-7, г, необходимо: а) вращением сердечников катушек 2L₁₀ и 2L₁₃ (фильтры 2Ф5 и 2Ф6) настроить контуры второго каскада соответственно на частоты 33 и 37 МГц; б) вращением сердечни-



ктрон-215»).

ков катушек связи $2L_{11}$ и $2L_{12}$ (фильтр $2\Phi 5$) скорректировать полосу пропускания каскада, установить горбы характеристики на частоты 32,5 и 36,5 МГц; в) вращением сердечника катушки $2L_{14}$ (фильтр $2\Phi 6$) настроить режекторный контур, формирующий склон частотной характеристики в области несущей частоты, на частоту 40,5 МГц.

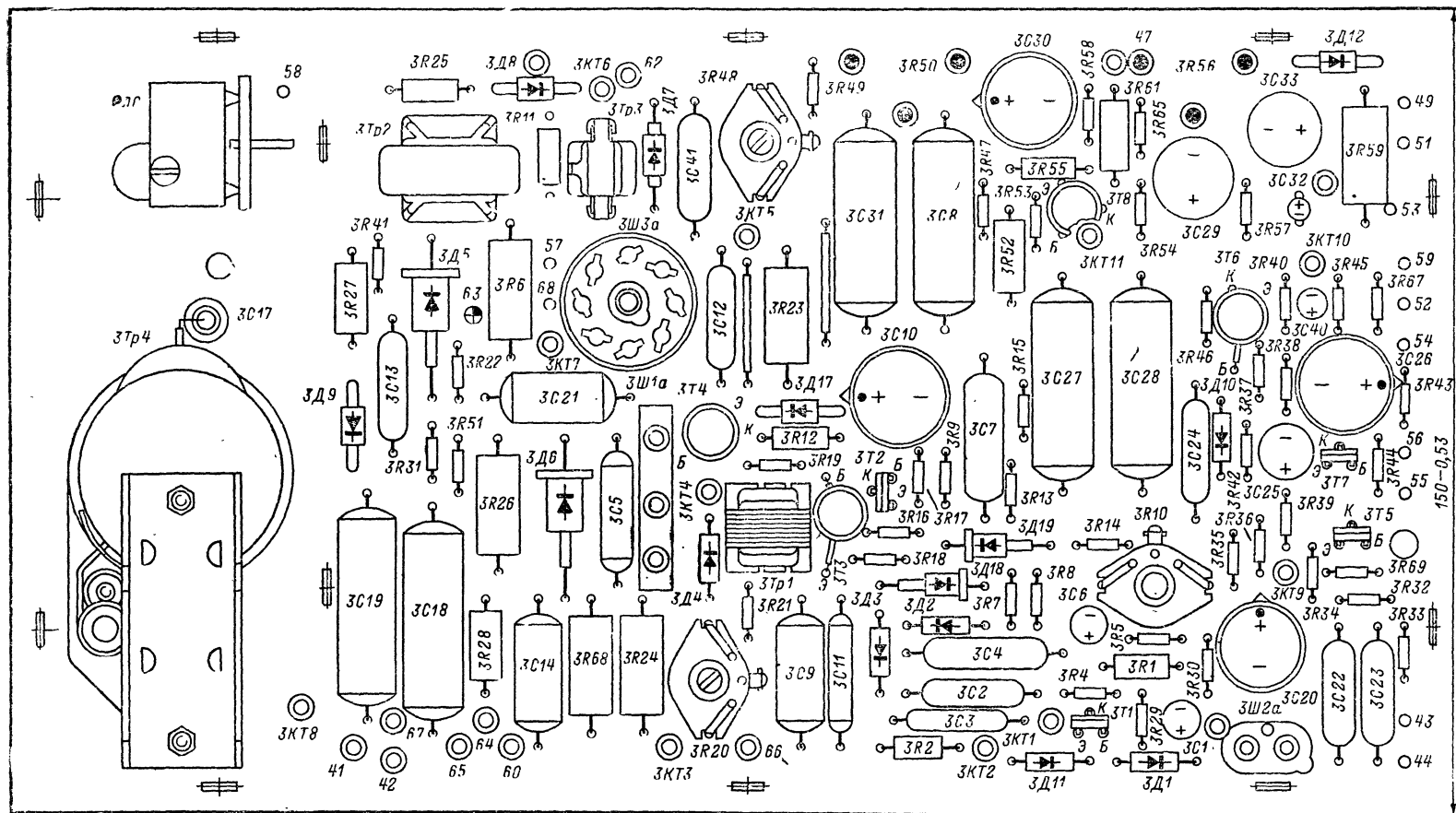
Настройка ФСС. Отсоединить конденсатор, шунтирующий контрольную точку $2KT_2$ на шасси и разъем $2Ш1а$. Контрольную точку $2KT_3$ соединить с шасси через конденсатор емкостью 4 700—6 800 пФ. Кабель с детекторной головкой подсоединить к контрольной точке $2KT_2$ по схеме рис. 3-8, в. Форма частотной характеристики ФСС показана на рис. 3-7, д.

Настройка ФСС производится следующим образом: а) сердечником катушки $2L_4$ (фильтр $2\Phi 2$) установить режекторную врезку на частоту 39,5 МГц (рис. 3-7, е) и с помощью переменного резистора $2R_1$ добиться наи-

большого подавления; б) вращением сердечника катушки $2L_5$ (фильтр $2\Phi 3$) со стороны фольги установить режекторную врезку на частоту 30 МГц (рис. 3-7, ж); в) вращением сердечника катушки $2L_2$ (фильтр $2\Phi 1$) установить режекторную врезку на частоту 41 МГц (рис. 3-7, з); г) вращением сердечника катушки $2L_1$ (фильтр $2\Phi 1$) создать режекцию на частоте 31,7 МГц (рис. 3-7, д); д) вращением сердечников катушек $2L_3$ и $2L_6$ добиться симметрии характеристики ФСС в диапазоне 33—38 МГц.

Проверка результирующей частотной характеристики. Выход ИЧХ через цепь, показанную на рис. 3-8, а, подсоединяется к контрольной точке $2KT_1$, а его вход — к контрольной точке $2KT_6$. Характеристика должна находиться в пределах допусков (заштрихованная область на рис. 3-7, и).

Видеоусилитель. Для проверки частотной характеристики видеоусилителя выход ИЧХ подсоединяется к



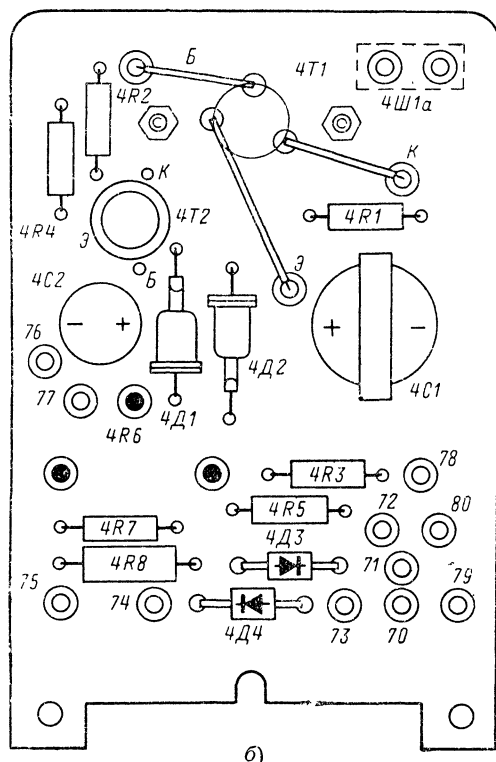
а)

Рис. 3-6. Расположение деталей на печатной плате блока развертки телевизоров УПТ-61-II («Электрон-215Д» и «Электрон-215») (а) и на печатной плате блока питания (б).

Моточные данные контурных катушек и корректирующих дросселей телевизоров УПТ-61-II-1 («Электрон-215Д») и УПТ-61-II-2 («Электрон-215»)

Обозначение по схеме	Число витков	Сердечник	Тип намотки
$2\Phi 1 \begin{cases} 2L_1 \\ 2L_2 \end{cases}$	15 11	СЦР-1 СЦР-1	Рядовая »
$2\Phi 2 \begin{cases} 2L_3 \\ 2L_4 \end{cases}$	5 11	СЦР-1 СЦР-1	Рядовая »
$2\Phi 3 \begin{cases} 2L_5 \\ 2L_6 \end{cases}$	13 5	СЦР-1 СЦР-1	Рядовая »
$2\Phi 4 \begin{cases} 2L_7 \\ 2L_8 \\ 2L_9 \end{cases}$	5 4 4	СЦР-1 СЦР-1	Рядовая »
$2\Phi 5 \begin{cases} 2L_{10} \\ 2L_{11} \\ 2L_{12} \end{cases}$	9 2 2	СЦР-1 СЦР-1	Рядовая Рядовая в два провода
$2\Phi 6 \begin{cases} 2L_{13} \\ 2L_{14} \end{cases}$	6 9	СЦР-1 СЦР-1	Рядовая »
$2\Phi 7 \begin{cases} 2L_{15} \\ 2L_{16} \\ 2L_{17} \\ 2L_{18} \end{cases}$	10 5 5 10	СЦР-1 — — СЦР-1	Рядовая Рядовая в два провода Рядовая
$2\Phi 8 \begin{cases} 2L_{20} \\ 2L_{21} \end{cases}$	39 32	СЦР-1 СЦР-1	Рядовая »
$2\Phi 9 \begin{cases} 2L_{22} \\ 2L_{23} \end{cases}$	41 44	СЦР-1 СЦР-1	Рядовая »
$2\Phi 10 \begin{cases} 2L_{24} \\ 2L_{25} \\ 2L_{26} \end{cases}$	41 34 16	СЦР-1 СЦР-1 —	Рядовая Рядовая в два провода Рядовая

Примечание. Катушки $2L_1 - 2L_{18}$ контуров УПЧИ намотаны проводом ПЭВ-1 0,23, а катушки $2L_{20} - 2L_{26}$ контуров УПЧЗ — проводом ПЭЛШО 0,14. Дроссели стандартные: $2Др_1$ (68 мкГн), $2Др_2$ (150 мкГн), $2Др_4$ (120 мкГн) типа Д2-0,1, $2Др_3$ (50 мкГн) типа Д1-0,1 и $2Др_5$ (270 мкГн) типа Д3-0,1.



Продолжение рис. 3-6.

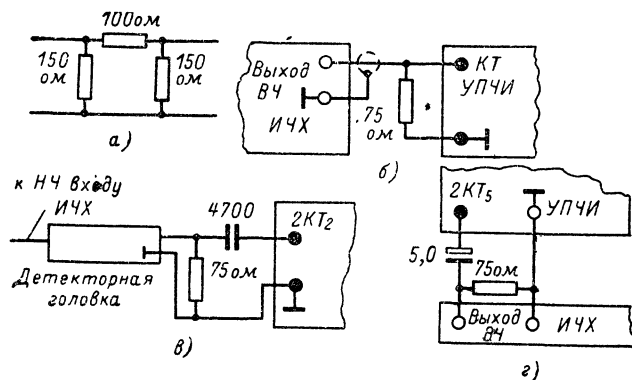


Рис. 3-8. Согласующие устройства, используемые при настройке УПЧИ (а, б, в) и проверке частотной характеристики видеоусилителя (г).

контрольной точке $2КТ_5$ по схеме рис. 3-8, б, а его вход подключается через детекторную головку к контрольной точке $2КТ_8$. Предварительно необходимо снять ламповую панель с кинескопа, а контрольную точку $2КТ_1$ соединить с шасси. Частотная характеристика видеоусилителя показана на рис. 3-7, н.

Усилитель промежуточной частоты звука. Для получения результирующей частотной характеристики УПЧЗ и частотного детектора (рис. 3-7, к) выход ИЧХ подсоединяется через цепь рис. 3-8, б к контрольной точке $2КТ_{12}$, а его вход — к контрольной точке $2КТ_{14}$.

Моточные данные трансформаторов телевизоров УПТ-61-II («Электрон-215Д» и «Электрон-215»)

Обозначение по схеме	Наименование	Обмотки	Выводы	Количество витков между выводами	Марка провода	Сопротивление обмотки постоянному току, ом	Тип железа и набор пакета	Род намотки	Индуктивность
$2T_{p1}$	Трансформатор выходной звука ТВЗ-П2	I	1—2	196	ПЭВ-1 0,41	3	УШ16×24	Рядовая	—
		II	2—3	160	ПЭВ-1 0,64	1		»	$1L_{1-3} \geq 0,13 \text{ гн}$
$3T_{p1}$	Блокинг-трансформатор строчный ТВК-П-2	I	1—2	550	ПЭВ-1 0,15	22	УШ-4-Э320-0,5	»	—
		II	3—4	110	ПЭВ-1 0,15	5,4		»	—
		III	5—6	110	ПЭВ-1 0,15	5,8		»	—
$3T_{p2}$	Трансформатор согласующий строчный ТПС-4	I	1—3	250	ПЭВ-1 0,20	5,4	Э320	»	10 мГн
		II	4—6	50	ПЭВ-1 0,59	<0,2		»	—
$3T_{p3}$	Трансформатор переходной строчный ТПС-5	I	4—2	43,5	ПЭВ-1 0,35	<0,35	Ш4×4 2000НМ	»	—
		II	3—1	258	ПЭВ-1 0,1	<20		»	110 мГн
$3T_{p4}$	Трансформатор выходной строчный ТВС-110-П2		1—7	45	ПЭМ-2 0,69	—	Феррит 2000НМ	—	$1L_{1-7} \geq 0,8 \text{ мГн}$
			7—8	1	ПЭМ-2 0,69	—		—	—
			8—9	1	ПЭМ-2 0,69	—		—	—
			3—7	45	ПЭМ-2 0,33	—		—	—
			5—2	7	ПЭМ-2 0,15	—		—	—
			4—6	127	ПЭМ-2 0,15	—		—	—
			1—10	1650	ПЭМ-2 0,12	—		—	—
$3T_{p5}$	Трансформатор выходной кадровой ТВК-110П2	I	1—2	400	ПЭВ-1 0,38	6,9	УШ16×20	Рядовая	$1L_{1-2} \geq 0,35 \text{ гн}$
		II	3—4	200	ПЭВ-1 0,51	1,6		»	—
		III	5—6	300	ПЭВ-1 0,1	230		»	—
$4T_{p1}$	Трансформатор силовой ТСА-70-1	I	1—2—3	550	ПЭВАТ 0,47	13,5	Э330 ПЛ22×32—58	»	—
		II	4—9	142	ПЭВ-1 0,23	9,5		»	—
		III	5—8	62,5	ПЭВ-1 0,8	0,35		»	—
		IV	6—7	14,5	ПЭВА 1,08	0,1		»	—

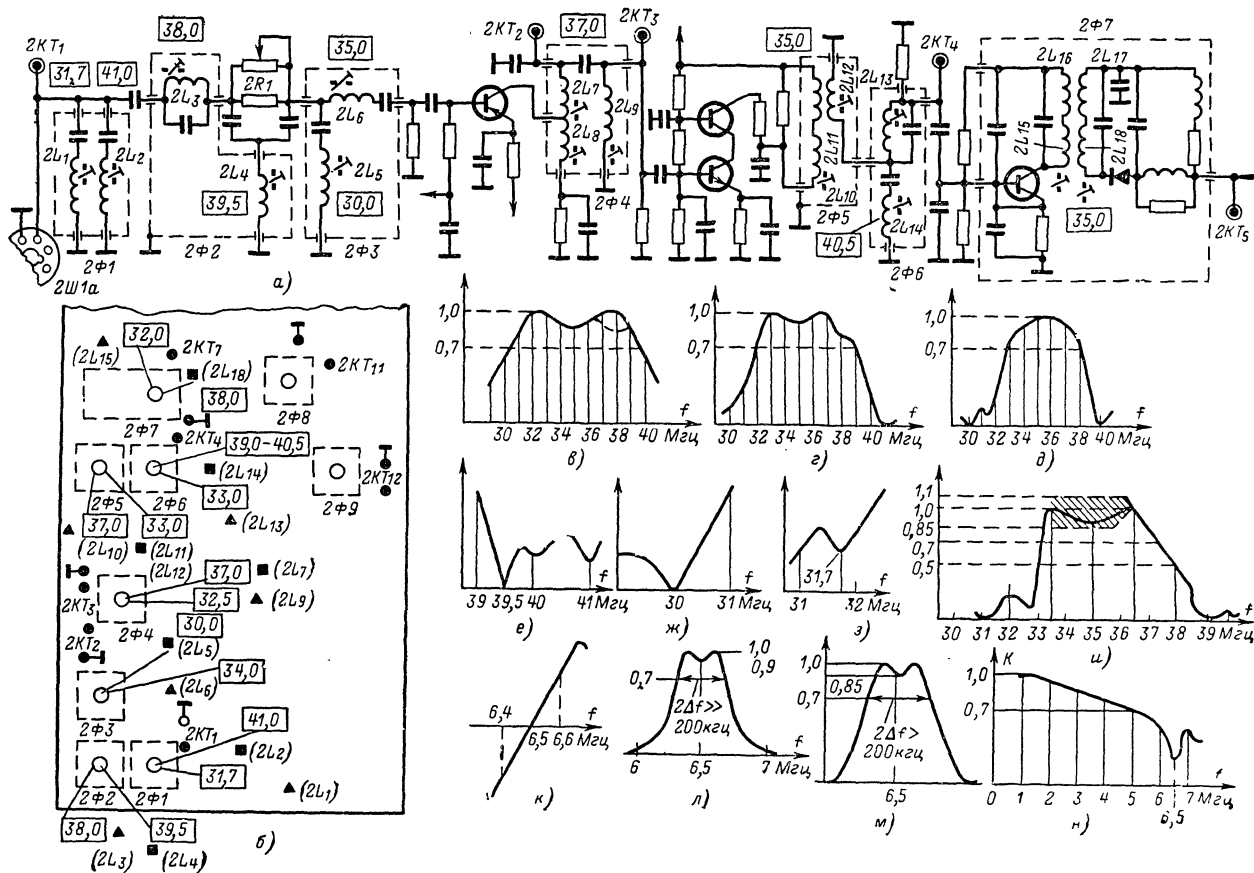


Рис. 3-7. Настроечная карта телевизоров УПТ-61-II («Электрон-215Д» и «Электрон-215»).

а — упрощенная схема УПЧИ; б — расположение контуров и контрольных точек на плате радиоканала (сердечники контуров, настраиваемые со стороны печатных линий, обозначены квадратами, со стороны деталей — треугольниками); в — частотная характеристика 3-го каскада; г — частотная характеристика 2-го и 3-го каскадов; д — частотная характеристика ФСС; е, ж, з — режекторные врезки на частотах (соответственно): от 39,5 до 41 МГц, 30 МГц и 31,7 МГц; и — результирующая частотная характеристика УПЧИ; к — результирующая частотная характеристика УПЧИ и частотного детектора; л — частотная характеристика 1-го каскада УПЧИ; м — результирующая частотная характеристика входного контура и первого каскада УПЧИ; н — частотная характеристика видеосушителя.

3-2. ТЕЛЕВИЗОРЫ УЛПТ-61-II-11 («ЭЛЕКТРОН-205Д») И УЛПТ-61-II-12 («ЭЛЕКТРОН-205»)

Унифицированный лампово-полупроводниковый телевизор УЛПТ-61-II представляет собой последнюю модернизацию телевизора УЛПТ-47/59-II-1, подробно описанного в [Л. 1—3]. При модернизации внесены следующие изменения: кинескоп 59ЛК1Б заменен кинескопом 61ЛК1Б; вместо селектора каналов ПТК-3 установлены селекторы каналов ПТК-11Д и СК-Д-1; произведена частичная транзисторизация УПЧИ; переработана схема УПЧЗ; введена схема защиты от перегрузки лампы 6П36С при выходе из строя задающего генератора строчной развертки.

Телевизор выпускается в двух вариантах: с селектором каналов СК-Д-1 (УЛПТ-61-II-11) и без него (УЛПТ-61-II-12); в этом варианте схемой и конструкцией телевизора предусмотрена возможность установки селектора.

Блок селекторов каналов. Селекторы каналов телевизора ПТК-11Д и СК-Д-1, смонтированные на общем кронштейне и соединяющиеся с остальной частью схемы при помощи разъемов, выделены в самостоятельный блок (рис. 3-9), в который, кроме того, входят плата 5а питания СК-Д-1, переключатель 5В₁ и регуляторы контрастности, громкости и яркости.

Как известно, селектор каналов ПТК-11Д имеет несимметричный вход, рассчитанный на подсоединение коаксиального кабеля с волновым сопротивлением 75 ом. Для подключения симметричного кабеля с волновым сопротивлением 300 ом в телевизоре предусмотрен антенный согласователь $L_{502}L_{503}L_{502a}L_{503a}$. При приеме в дециметровом диапазоне, который производится на специальную антенну, для этой цели имеется отдельный антенный согласователь $L_{504}L_{505}$.

В положении переключателя B_{501} ДМВ постоянное напряжение 150 в на усилитель высокой частоты и гетеродин селектора каналов ПТК-11Д не подается; оно поступает на ввод 99 платы 5а, а на ввод 100 этой платы подается отрицательное напряжение АРУ. Для получения напряжения 12 в, уменьшения пульсаций и его стабилизации используется цепь из гасящих резисторов R_{555} и R_{556} конденсатора C_{540} и стабилитрона D_{512} .

Выше указывалось, что автоматическая регулировка усиления УВЧ селектора каналов СК-Д-1 производится изменением положительного напряжения на базе транзистора. Для изменения полярности напряжения АРУ используется транзистор T_{501} (n-p-n). Режим транзистора устанавливается при помощи переменного резистора R_{554} таким образом, что при слабом сигнале (или его отсутствии) транзистор открыт и падение напряжения, создаваемое током эмиттера на резисторе R_{551} , составляет около 9 в; при этом усиление каскада на транзисторе T_1 в селекторе каналов СК-Д-1 будет наиболь-

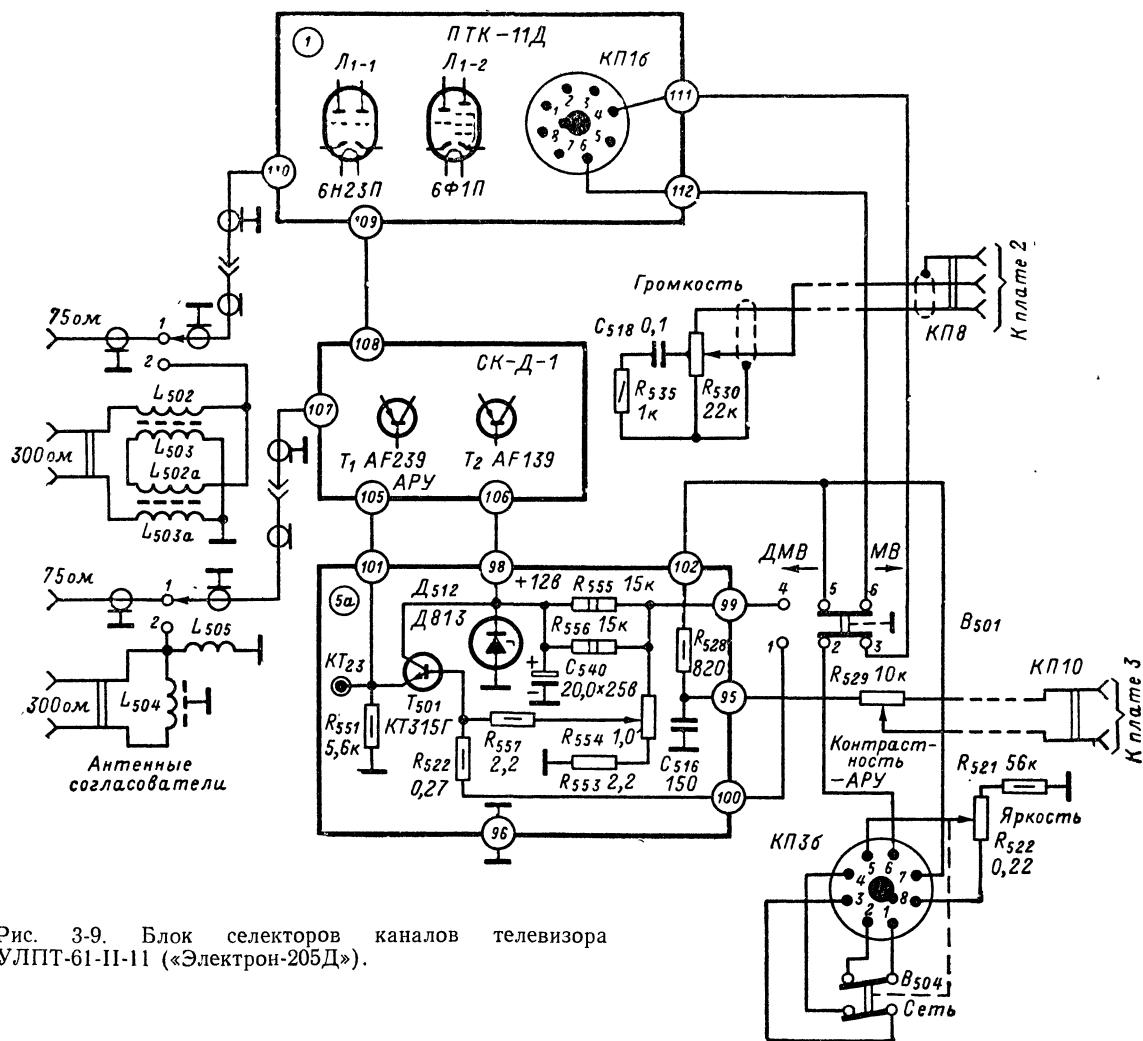


Рис. 3-9. Блок селекторов каналов телевизора УЛПТ-61-II-11 («Электрон-205Д»).

шим. С увеличением сигнала на входе телевизора отрицательное напряжение АРУ, поступающее через резистор R_{552} , уменьшает положительное напряжение на базе транзистора T_{501} , что сопровождается уменьшением положительного напряжения на резисторе R_{551} и базе транзистора T_1 .

Усилитель промежуточной частоты изображения. Первый каскад трехкаскадного УПЧИ (рис. 3-10) собран на лампе L_{301} (6К13П), второй — на транзисторах T_{301} и T_{302} типа КТ315А и КТ315Г, включенных по каскодной схеме, и третий — на лампе L_{303} (6Ж5П). Согласование входного сопротивления первого каскада УПЧИ с выходным сопротивлением селектора каналов ПТК-11Д производится при помощи фильтра $\Phi 301a$ (катушка индуктивности L_{319} , конденсатор C_{302} и резистор R_{357}). Последовательная цепь из конденсатора C_{305} и катушки индуктивности L_{320} образует режекторный контур, настроенный на частоту 40,5 МГц.

Нагрузкой первого каскада служит дифференциально-мостовой фильтр. Плечи моста в этом фильтре образованы секциями катушки связи L_{302} , последовательным контуром L_{303} , C_{311} и резистором связи L_{308} . Через плечи моста связаны между собой анодный контур лампы L_{301} (катушка индуктивности L_{301} , конденсатор C_{308}) и контур в цепи базы транзистора T_{302} (катушка индуктивности L_{304} , конденсаторы C_{314} и C_{315}). Анодный и базовый

контуры настроены соответственно на частоты 33 и 37 МГц, а последовательный контур L_{303} , C_{311} — на частоту помехи 39,5 МГц. Сигнал на второй каскад УПЧИ снимается с емкостного делителя C_{314} , C_{315} .

Нагрузка второго каскада выполнена в виде полосового фильтра с индуктивной связью (L_{306} , L_{307} , C_{325} и L_{308} , L_{309} совместно с входной и монтажной емкостями). Связь между контурами осуществляется с помощью катушек L_{306} , L_{308} и регулируется сердечником. Последовательный режекторный контур L_{310} , C_{319} , подключенный к катушке связи, индуктивно связан с компенсационной обмоткой L_{311} , подающей в противофазе напряжение частоты 30 МГц на управляющую сетку лампы гретового каскада УПЧИ, благодаря чему увеличивается глубина режекции и уменьшается всплеск на частотной характеристике. Транзисторный каскад питается от источника напряжения 150 в через гасящий резистор R_{311} . Режим работы и термостабилизацию транзисторов T_{301} и T_{302} определяют резисторы R_{312} , R_{313} , R_{314} и R_{315} .

В анодной цепи лампы L_{303} третьего каскада УПЧИ включен полосовой фильтр L_{312} , L_{314} , C_{323} и L_{313} , L_{315} , C_{331} со связью между контурами (катушки связи L_{314} и L_{315}) выше критической. Первый каскад УПЧИ охвачен автоматической регулировкой усиления. Для уменьшения влияния изменения напряжения на управляющей сетке лампы L_{301} при регулировке на форму частотной

характеристики в катод лампы включен резистор R_{302} , не имеющий шунтирующей емкости, что приводит к появлению отрицательной обратной связи по току.

Автоматическая подстройка частоты гетеродина. Схема автоматической подстройки частоты гетеродина (АПЧГ) состоит из усилителя промежуточной частоты и усилителя постоянного тока, выполненных по рефлексной схеме на лампе \mathcal{L}_{305} (6Ж5П), и включенного в ее анодную цепь дискриминатора (катушки индуктивности L_{316} , L_{317} , конденсаторы C_{347} , C_{345} , C_{349} , диоды D_{303} и D_{304}). Нагрузками диодов служат резисторы R_{348} и R_{349} . На управляющую сетку лампы \mathcal{L}_{305} через конденсатор C_{328} и резистор R_{340} поступает напряжение промежуточной частоты сигнала изображения. Выход дискриминатора через фильтр, образованный резисторами R_{344} , R_{343} и конденсатором C_{358} , соединен с управляющей сеткой этой лампы.

Лампа \mathcal{L}_{305} включена в одно из плеч моста, образованного резисторами R_{346} , R_{523} , R_{352} , R_{354} и варистором R_{353} . К одной диагонали моста подводится постоянное напряжение анодного источника, а со второй снимается управляющее напряжение на варикап Д902 селектора каналов ПТК-11Д. При отклонении частоты гетеродина от номинального значения на выходе дискриминатора появляется пропорциональное этому отклонению напряжение, знак которого зависит от того, в какую сторону изменилась частота гетеродина. Под воздействием этого напряжения изменяется внутреннее сопротивление лампы \mathcal{L}_{305} . Это вызывает нарушение установленных соотношений мостовой схемы и приводит к появлению на ее выходе управляющего напряжения. Тумблер ВК₅₀₂ предназначен для переключения с автоматической подстройки частоты гетеродина на ручную, которая производится при помощи переменного резистора.

Видеоусилитель. Видеоусилитель собран на пентодной части лампы \mathcal{L}_{304} (6Ф4П). Сигнал на управляющую сетку этой лампы снимается с нагрузки видеодетектора на диоде D_{301} (резистор R_{323}). Коррекция в области высоких частот осуществляется дросселями $D_{р303}$, $D_{р304}$, $D_{р305}$ и дросселем $D_{р502}$, установленным на панельке кинескопа. Для коррекции используется также цепь отрицательной обратной связи в катод лампы, образованная резистором R_{320} и конденсатором C_{327} .

Регулировка контрастности производится при помощи переменного резистора R_{529} , включенного параллельно анодной нагрузке. Для сохранения при регулировке формы частотной характеристики в анодную цепь лампы видеоусилителя введены элементы коррекции: для подъема средних и высоких частот при средней контрастности используется цепь C_{316} , R_{350} , при небольшой контрастности — цепь R_{341} , $D_{р305}$ и для подъема высоких частот при средней и небольшой контрастности — конденсатор C_{351} .

Диод D_{306} вместе с резисторами R_{345} , R_{351} и конденсаторами C_{353} , C_{51} образует цепь, предназначенную для ограничения тока луча и защиты экрана кинескопа от прожога. Регулировка яркости производится изменением напряжения на модуляторе кинескопа с помощью переменного резистора R_{522} . На модулятор подаются также импульсы гашения, формируемые схемой на лампе \mathcal{L}_{404} .

Канал звукового сопровождения. Канал звукового сопровождения состоит из двухкаскадного усилителя промежуточной частоты на транзисторах T_{201} , T_{202} и T_{203} , дробного детектора (фильтр $\Phi 203$), диоды D_{202} , D_{203} и двухкаскадного усилителя низкой частоты на транзисторе T_{204} и лампе \mathcal{L}_{201} .

Первый каскад УПЧЗ выполнен по каскадной схеме ОЭ—ОБ на транзисторах T_{201} и T_{202} . Сигнал на базу транзистора T_{201} подается с емкостного делителя C_{203} , C_{204} . Коллекторной нагрузкой каскада является полусовой фильтр L_{202} , C_{205} , L_{204} , C_{208} , C_{209} . Резисторы R_{201} , R_{202} , R_{203} и R_{206} являются элементами температурной стабилизации режима транзисторов T_{201} и T_{202} . Диод D_{201} уменьшает амплитудную модуляцию сигнала раз-

ностной частоты. Напряжение отпирания диода определяется сопротивлением резистора R_{307} .

Второй каскад собран на транзисторе T_{203} по схеме с общей базой. Сигнал на эмиттер транзистора подается с емкостного делителя C_{208} , C_{209} . Нагрузкой служат контур дробного детектора L_{205} , C_{212} , L_{206} , C_{214} и L_{207} . Резисторы R_{208} , R_{209} , R_{212} и R_{213} используются для температурной стабилизации режима транзистора, а резисторы R_{205} , R_{210} и R_{214} являются антипаразитными.

Дистанционное управление громкостью осуществляется изменением эмиттерного тока транзистора T_{203} через развязывающий фильтр R_{209} , C_{210} . Первый каскад УНЧ выполнен на транзисторе T_{204} по схеме с общим эмиттером. Резисторы R_{223} , R_{224} и R_{226} являются элементами температурной стабилизации. Оба каскада УНЧ охвачены глубокой отрицательной обратной связью, по цепи которой осуществляется раздельная регулировка тембра по высоким и низким частотам.

Автоматическая регулировка усиления. В телевизоре применена ключевая частично задержанная АРУ, выполненная на триодной части лампы \mathcal{L}_{304} . На анод этой лампы подаются импульсы обратного хода строчной развертки, на катод — постоянное напряжение, а на сетку — напряжение видеосигнала. Отрицательное напряжение, возникающее на конденсаторе C_{341} , поступает на лампу УВЧ селектора каналов с верхней (по схеме) шины АРУ, к которой присоединен диод D_{305} . Если уровень входного сигнала не превышает 700 мкВ, то диод открыт, так как положительное напряжение, поступающее на его анод от источника 400 в, больше отрицательного напряжения, вырабатываемого схемой АРУ. В этом случае на селектор каналов подается положительное смещение 0,3—0,4 в, создаваемое током, протекающим через диод D_{305} . С увеличением входного сигнала отрицательное напряжение на конденсаторе C_{341} возрастает, диод запирается и на сетку лампы УВЧ начинает поступать отрицательное напряжение. На управляющую сетку лампы \mathcal{L}_{301} первого каскада УПЧИ напряжение АРУ начинает поступать после того, как уровень сигнала на входе приемника достигнет 50 мВ. Порог срабатывания АРУ устанавливается с помощью переменного резистора R_{331} в сеточной цепи триодной части лампы \mathcal{L}_{304} .

Защита радиоканала от перегрузки. Для устранения перегрузки, возникающей после включения телевизора из-за отсутствия отрицательного смещения на управляющих сетках ламп, охваченных автоматической регулировкой усиления, используются выпрямитель переменного напряжения 70 в (конденсатор C_{333} , диод D_{307}), диод D_{308} , резисторы R_{330} , R_{512} , стабилизаторы \mathcal{L}_{505} и \mathcal{L}_{506} . Схема защиты работает следующим образом. После включения телевизора на шину АРУ через резистор R_{330} поступает отрицательное напряжение, надежно запирающее лампы УВЧ селектора каналов и первого каскада УПЧИ. После прогрева ламп строчной развертки появляется напряжение «вольтодобавки»; когда оно достигнет 600 в, произойдет пробой стабилизаторов \mathcal{L}_{505} и \mathcal{L}_{506} и их сопротивление значительно уменьшится. При этом анод диода D_{308} оказывается под положительным напряжением и диод отпирается, закорачивая отрицательный потенциал на шасси. Одновременно на шине появляется напряжение АРУ.

Блок синхронизации. Блок синхронизации состоит из амплитудного селектора на пентодной части лампы \mathcal{L}_{402} , инверсного каскада с разделенной нагрузкой на триодной части этой лампы, фазового дискриминатора на диодах D_{405} и D_{403} и двухзвенной интегрирующей цепи R_{427} , C_{417} , R_{419} , C_{404} .

Кадровая развертка. Задающий генератор кадровой развертки выполнен по схеме релаксационного генератора на тиратроне с холодным катодом \mathcal{L}_{405} . пилообразное напряжение формируется зарядной цепью, образованной резистором R_{402} и конденсатором C_{411} . Резистор R_{435} ограничивает амплитуду импульса разрядного тока. Питание анода генератора производится от

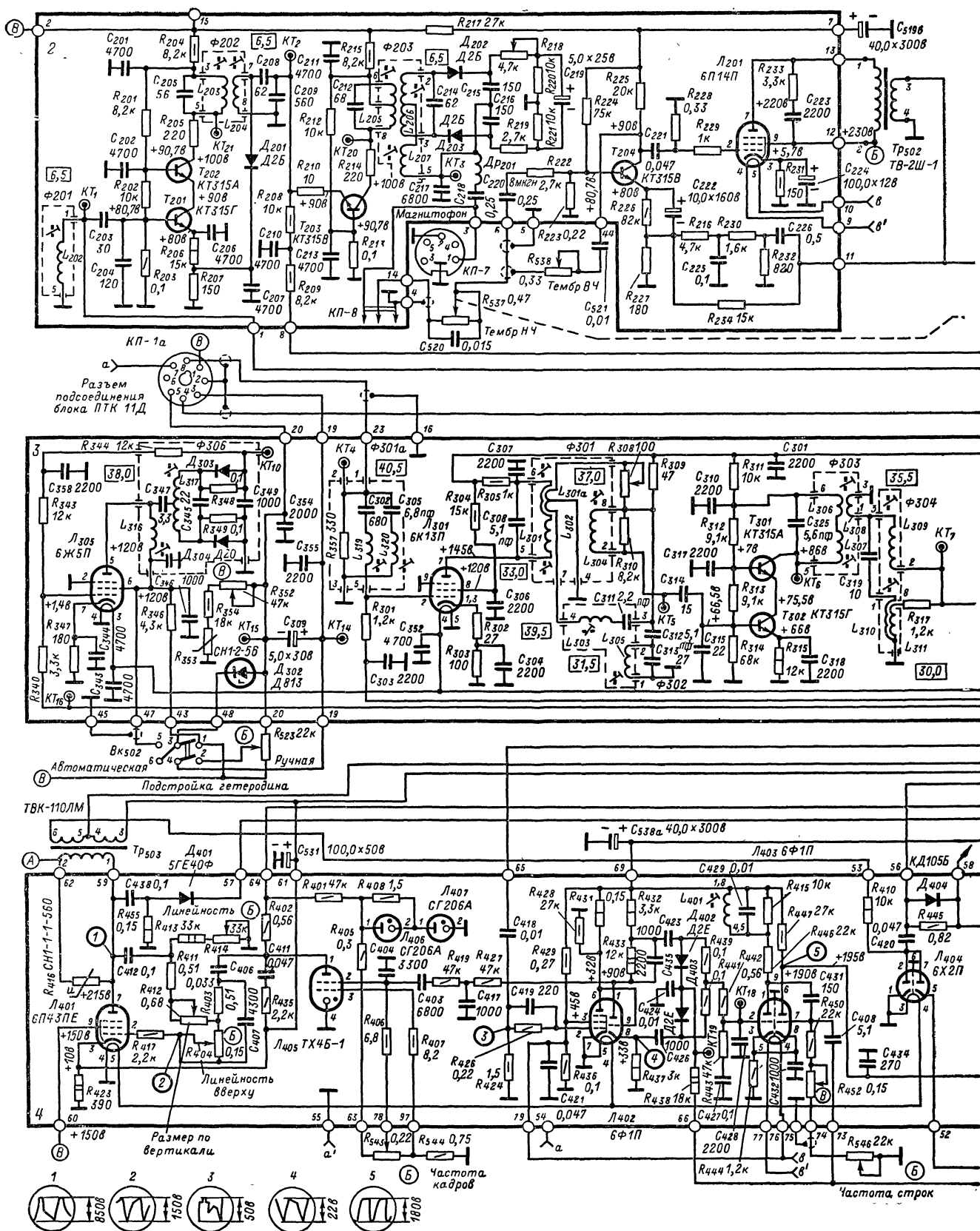


Рис. 3-10. Принципиальная схема телевизоров УЛПТ-61-11 («Электрон-205Д» и «Электрон-205»)

напряжения 850 в через R_{511} и R_{402} . Резисторы R_{406} и R_{407} подобраны из условия стабильной работы и устойчивой синхронизации задающего генератора при изменении напряжения питания. Для повышения помехоустойчивости кадровые синхросигналы дополнительно дифференцируются цепью C_{403} , R_{406} , R_{543} и R_{544} . Выходной каскад кадровой развертки выполнен на лампе L_{401} .

Строчная развертка. В задающем генераторе строчной развертки используется лампа L_{403} , в выходном каскаде — лампы L_{501} и L_{502} (демпфер), в высоковольтном выпрямителе — лампа L_{503} . Задающий генератор собран по схеме мультивибратора с катодной связью. В выходном каскаде использованы унифицированные узлы: выходной трансформатор ТВС-110ЛА, отклоняющая система ОС-110ЛА и регулятор линейности РЛС-110Л1. Отклоняющие катушки подключены по автотрансформаторной схеме. Последовательно с ними включен конденсатор C_{507} , предназначенный для придания отклоняющему току S-образной формы, при которой угловая скорость электронного луча убывает по мере его отклонения от центра экрана. Это позволяет скорректировать подушкообразные искажения, свойственные широкоугольным кинескопам [Л. 1]. Напряжение «вольтодобавки», возникающее на конденсаторе C_{502} , используется в схеме стабилизации динамического режима, для питания анода тиратрона задающего генератора кадровой развертки, а также через стабилитроны L_{505} и L_{506} и резистор R_{512} поступает на схему защиты УВЧ селектора каналов и УПЧИ от перегрузки.

В телевизоре применена схема стабилизации динамического режима выходного каскада строчной развертки при помощи варистора R_{451} , на который через конденсатор C_{436} с части обмотки ТВС поступают положительные импульсы напряжения, возникающие во время обратного хода луча по горизонтали. Поскольку варистор является полупроводником с нелинейной вольт-амперной характеристикой, его сопротивление при больших импульсах напряжения мало и конденсатор C_{436} быстро заряжается. При этом на обкладке конденсатора, соединенной через резисторы R_{453} и R_{454} с управляющей сеткой лампы L_{501} , появляется отрицательный заряд. В интервале между импульсами, когда напряжение на варисторе мало, его сопротивление очень велико и напряжение на конденсаторе не успевает существенно уменьшиться. Таким образом, на конденсаторе возникает отрицательное напряжение, зависящее от амплитуды импульсов обратного хода, которое подается на управляющую сетку выходной лампы. При уменьшении размера изображения уменьшается амплитуда импульса обратного хода и конденсатор C_{436} заряжается соответственно до меньшего напряжения. В результате уменьшения смещения анодный ток лампы 6П36С и размер изображения возрастают. Режим стабилизации устанавливается переменным резистором R_{512} , при помощи которого отрицательное напряжение, создаваемое варистором на первой сетке лампы, уменьшается до величины обеспечивающей требуемую величину импульса анодного тока.

Защита лампы 6П36С от чрезмерного увеличения

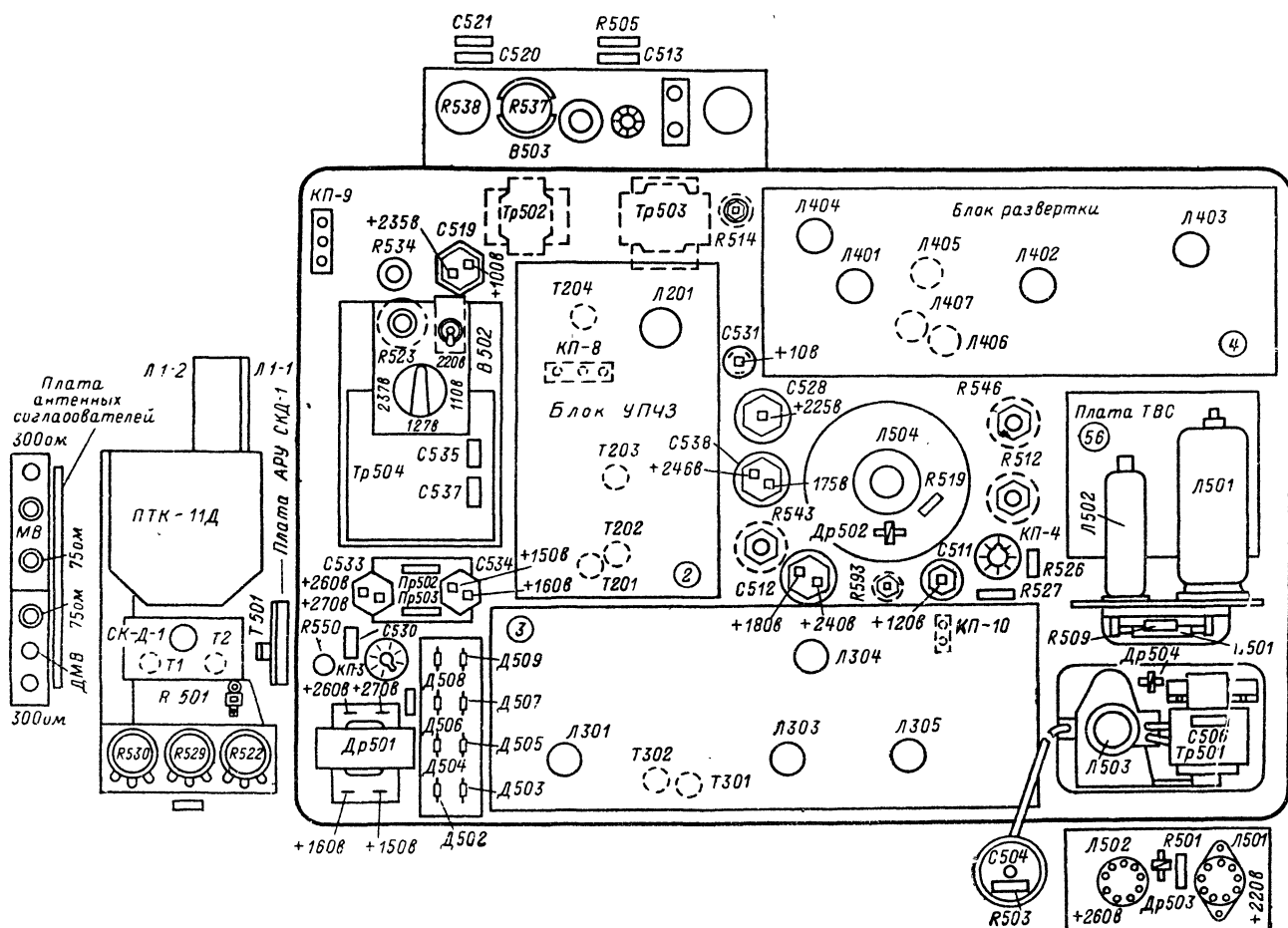


Рис. 3-11. Расположение блоков телевизора УЛПТ-61-II-11 («Электрон-205Д»).

Моточные данные контурных катушек и корректирующих дросселей телевизоров УЛПТ-61-II («Электрон-205Д» и «Электрон-205»)

Обозначение на схеме	Число витков	Провод	Сердечник	Тип намотки
$\Phi 201$ L_{202}	50	ПЭВ-2 0,14	СЦР-1	Рядовая
$\Phi 202$ { L_{203} L_{204}	40 40	ПЭЛШО 0,14 ПЭЛШО 0,14	СЦР-1 СЦР-1	Рядовая »
$\Phi 203$ { L_{205a} L_{205b} L_{206a} L_{206b} L_{207}	21 20 17 17 16	ПЭЛШО 0,18 ПЭЛШО 0,18 ПЭЛШО 0,18 ПЭЛШО 0,18 ПЭЛШО 0,18	{ СЦР-1 { СЦР-1 —	Рядовая » { Рядовая в два провода Рядовая
$\Phi 301a$ { L_{319} L_{320}	14 14	ПЭВ-1 0,33 ПЭВ-1 0,33	СЦР-1 СЦР-1	Рядовая »
$\Phi 301$ { L_{301} L_{301a} L_{302} L_{302a} L_{304}	11 4 4 4 10	ПЭЛШО 0,14 ПЭЛШО 0,14 ПЭВ-1 0,14 ПЭВ-1 0,14 ПЭВ-1 0,14	СЦР-1 { СЦР-1 СЦР-1	Рядовая Рядовая в три провода Рядовая
$\Phi 302$ { L_{303} L_{305}	29 7	ПЭЛШО 0,14 ПЭВ-1 0,14	СЦР-1 СЦР-1	Рядовая »
$\Phi 303$ { L_{307} L_{306} L_{308}	10 5 5 5	ПЭВ-1 0,14 ПЭВ-1 0,14 ПЭЛШО 0,14 ПЭЛШО 0,14	СЦР-1 { СЦР-1	Рядовая Рядовая в два провода
$\Phi 304$ { L_{309} L_{310} L_{311}	8 16 4	ПЭВ-1 0,14 ПЭЛШО 0,14 ПЭЛ 0,14	СЦР-1 { СЦР-1	Рядовая » »
$\Phi 305$ { L_{312} L_{314} L_{315} L_{313}	7 4,5 4,5 10	ПЭЛШО 0,14 ПЭЛШО 0,14 ПЭВ-1 0,14 ПЭВ-1 0,14	СЦР-1 — — СЦР-1	Рядовая { Рядовая в два провода Рядовая
$\Phi 306$ { L_{316} L_{317} L_{317a}	15 4 4	ПЭЛ 0,33 ПЭЛ-1 0,33 ПЭЛ 0,33	СЦР-1 { СЦР-1	Рядовая Рядовая в два провода
$\Phi 307$ L_{318} L_{401} $Др_{301}$	57 1120 115	ПЭЛШО 0,14 ПЭВ-2 0,12 ПЭЛШО 0,12	СЦР-1 СЦР-1 —	Универсаль Внавал «Универсаль»; намотан на резисторе МЛТ-0,5-1 $Мом \pm 10\%$
$Др_{302}$ $Др_{303}$	185 160	ПЭЛШО 0,12 ПЭЛШО 0,12	— —	«Универсаль»
$Др_{304}$	270	ПЭЛШО 0,12	—	«Универсаль»; намотан на резисторе МЛТ-0,5-1 $Мом \pm 10\%$

Обозначение на схеме	Число витков	Провод	Сердечник	Тип намотки
$Др_{502}$	160	ПЭЛШО 0,12	—	«Универсаль»; намотан на резисторе R_{545}
$Др_{503}$	53	ПЭЛШО 0,14	—	«Универсаль»; намотан на резисторе МЛТ-0,5-1 $Мом \pm 10\%$
$Др_{504}$	43	ПЭЛШО 0,14	—	—

анодного тока из-за пропадания отрицательного напряжения на ее управляющей сетке при отказе задающего генератора строчной развертки осуществляется следующим образом. Поскольку при выходе из строя этой развертки напряжение «вольтодобавки» не вырабатывается, пробоя стабилитронов L_{505} и L_{506} не происходит и отрицательное напряжение от выпрямителя на диоде $Д_{307}$ будет приложено к управляющей сетке лампы. Конденсатор C_{506} , подсоединенный к выводам 7—8 обмотки ТВС, предназначен для подбора величины высокого напряжения, которое при заданном размере изображения составляет 14—16 кВ. Выпрямленное кенотроном L_{503} напряжение поступает на второй анод кинескопа через сглаживающий фильтр, образованный резистором R_{503} , конденсатором C_{504} и конденсатором с обкладками из внешнего и внутреннего проводящих покрытий баллона кинескопа.

Блок питания. Блок питания состоит из двух выпрямителей, выполненных по мостовой схеме, каждый из которых содержит по четыре полупроводниковых диода и питается от отдельной обмотки силового трансформатора; выпрямители соединены по постоянному току последовательно. С силового трансформатора Tr_{504} снимается, кроме того, напряжение 70 В для питания выпрямителя на диоде $Д_{307}$.

Изменения в конструкции. В телевизоре добавлены две печатные платы: АРУ СК-Д (5а) и ТВС (5б); раньше в этих узлах использовался навесной монтаж. Селекторы каналов ПТК-11Д и СК-Д-1, плата АРУ СК-Д-1, а также регуляторы контрастности, громкости и яркости, ручки которых вынесены на переднюю панель и смонтированы на отдельном кронштейне. Расположение блоков телевизора показано на рис. 3-11, точные данные контурных катушек и корректирующих дросселей приведены в табл. 3-3.

3-3. ТЕЛЕВИЗОРЫ УЛТ-59-II («РУБИН-203Д», «РУБИН-203») и УЛТ-61-II («РУБИН-205Д», «РУБИН-205»)

Унифицированные ламповые телевизоры II класса на кинескопах с диагональю экрана 59 и 61 см представляют собой одну из модернизаций телевизора УНТ-47/59, подробно описанного в [Л1]. Телевизоры УЛТ-59-II-3 («Рубин-203Д») и УЛТ-61-II-4 («Рубин-205Д») выпускаются с установленным в них селектором каналов СК-Д-1, а телевизоры УЛТ-59-II-4 («Рубин-203») и УЛТ-61-II-4 («Рубин-205») — без него (возможность установки селектора предусмотрена). От телевизоров УЛТ-59-II телевизоры УЛТ-61-II отличаются только типом и размерами экрана кинескопа, а также тем, что подключение к остальной части схемы регуляторов громкости, контрастности и яркости, ручки которых вынесены на переднюю панель, производится при помощи разъемов. Принципиальные схемы телевизоров идентичны.

Основные отличия от более ранней модели (телевизора «Рубин-106») заключаются в следующем: селектор каналов ПТК-3 заменен селектором каналов ПТК-11Д; установлен селектор каналов СК-Д-1 либо предусмотрена возможность его установки; изменена схема блокинг-генератора кадровой развертки; введена схема защиты лампы 6П36С от чрезмерного увеличения анодного тока при выходе из строя задающего генератора строчной развертки.

В связи с тем, что принципиальные схемы рассматриваемых телевизоров в основном повторяют принципиальную схему телевизора «Электрон-205Д», описанного в § 3-2, представляется целесообразным ограничиться рассмотрением только имеющихся в них отличий.

Блок селекторов каналов. Согласование выхода селектора каналов ПТК-11Д со входом УПЧИ производится при помощи контура L_{504} , C_{541} , установленного на фишке разъема $КП16$ (рис. 3-12). Переключатель B_{504} коммутирует только напряжение 150 В. При приеме в дециметровом диапазоне это напряжение снимается с каскадов УВЧ и гетеродина селектора каналов ПТК-11Д и через гасящие резисторы R_{554} и R_{555} , установленные на общем кронштейне, подается на селектор каналов СК-Д-1. На верхней крышке селектора установлены стабилитрон D_{512} и резисторы R_{557} и R_{558} (рис. 3-13), с помощью которых обеспечивается подача постоянного напряжения 8—9 В на базу его транзистора T_1 ; усиление указанного транзистора в этих телевизорах не регулируется.

Разъем $КП9$ соединяет с остальной частью схемы выведенные на переднюю панель регуляторы громкости и яркости, разъем $КП7$ — переключатель B_{504} , а разъемы $КП1$ и $КП8$ — селектор каналов ПТК-11Д. Кроме того, специальным малоомкостным кабелем КАТВ через разъем $КП10$ (см. рис. 3-14) подключен выведенный на переднюю панель регулятор контрастности.

Схема подключения регуляторов громкости, контрастности и яркости в телевизорах УЛТ-59-II-4 («Рубин-203») и УЛТ-61-II-4 («Рубин-205») показана на рис. 3-15.

Усилитель промежуточной частоты изображения. В телевизорах используется та же плата тракта изображения, что и в телевизоре «Рубин-106». Все каскады УПЧИ этой платы выполнены на лампах, а для формирования частотной характеристики используется та же система фильтров, что и в телевизоре УНТ-47/59 [Л1].

Канал звукового сопровождения. Канал звукового сопровождения состоит из усилителя промежуточной частоты на лампах L_{201} и L_{202} , частотного детектора на диодах D_{201} , D_{202} и двухкаскадного усилителя низкой частоты. Частотная характеристика усилителя с полосой пропускания 250 кГц формируется при помощи полосового фильтра $\Phi 202$ в анодной цепи лампы L_{201} и одиночного контура (фильтр $\Phi 201$) в цепи ее управляющей сетки.

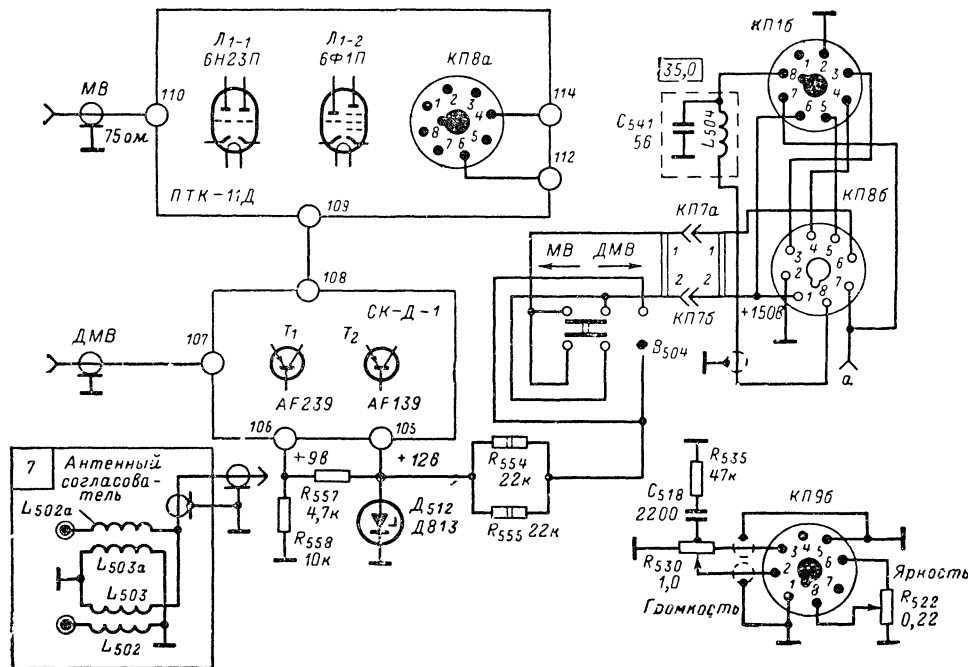


Рис. 3-12. Блок селекторов каналов телевизоров УЛТ-59-И-3 («Рубин-203Д») и УЛТ-61-И-3 («Рубин-205Д»). В телевизоре УЛТ-59-И-3 разъем КР9 отсутствует.

Уменьшение уровня помех, создаваемых за счет паразитной амплитудной модуляции сигнала разностной частоты, достигается следующими средствами: работой лампы L_{202} в режиме анодного ограничения, применением простейшей АРУ и выбором рациональной схемы дробного детектора. Автоматическая регулировка усиления обеспечивается благодаря соединению через резистор R_{211} управляющих сеток лампы первого и второго каскадов УПЧЗ. Когда сигнал возрастает, то за счет сеточных токов лампы второго каскада создается смещение на управляющей сетке лампы первого каскада. Это препятствует перегрузке лампы второго каскада, таким образом, устраняется одна из причин увеличения глубины паразитной амплитудной модуляции.

Для лучшего подавления помех последовательно

диоды дробного детектора включены резисторы R_{213} и R_{214} . С помощью переменного резистора R_{213} схема регулируется таким образом, чтобы помехоподавление осуществлялось в наиболее широкой полосе частот. Дистанционное управление громкостью звука осуществляется изменением напряжения на экранирующей сетке лампы L_{202} .

Усилитель низкой частоты выполнен на лампе L_{203} (6Ф5П), триодная часть которой используется в каскаде предварительного усиления, а пентодная — в выходном каскаде.

Кадровая развертка. Кадровая развертка выполнена на лампе L_{401} , триодная часть которой используется в блокинг-генераторе, а пентодная — в выходном каскаде. При модернизации трансформатор блокинг-генератора БТК-П заменен трансформатором типа ТБК-Л-1, анодная обмотка которого для повышения надежности включена по схеме параллельного питания. Для улучшения помехоустойчивости один из выводов конденсатора C_{401} , который обычно соединяют с шасси, подключен к катоду лампы L_{401a} . Вследствие этого с катодной цепи лампы выходного каскада на сетку лампы блокинг-генератора поступает напряжение параболлической формы. Это увеличивает крутизну кривой сеточного напряжения по мере ее приближения к уровню отсечки, что повышает помехоустойчивость схемы (рис. 3-16).

Анодное напряжение на лампу задающего генератора снимается с конденсатора «вольтодобавки» через делитель, образованный резистором R_{511} и варистором R_{517} . пилообразное импульсное напряжение, формируемое цепью R_{402} , C_{411} , снимается с зарядной емкости C_{411} и через линейризирующую цепь C_{407} , R_{403} , R_{404} подается на управляющую сетку лампы выходного каскада. В эту же цепь через конденсатор C_{412} и резисторы R_{413} , R_{414} , R_{412} и R_{411} поступает напряжение отрицательной обратной связи с анода лампы выходного каскада. Линейность по вертикали регулируется переменными резисторами R_{404} и R_{414} , а размер — переменным резистором R_{412} .

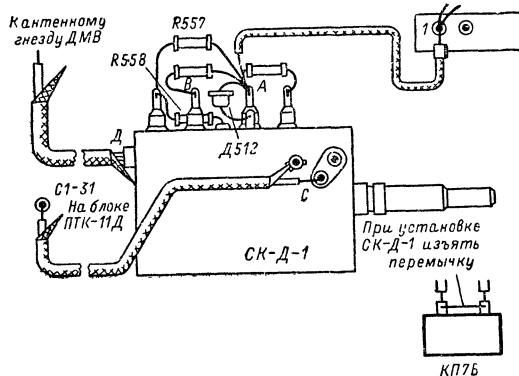


Рис. 3-13. Схема подключения селектора каналов СК-Д-1 при его установке в телевизоры УЛТ-59-И-4 («Рубин-203») и УЛТ-61-И-4 («Рубин-205»).

Рис. 3-14. Принципиальная схема телевизоров УЛТ-61-II («Рубин-205Д» и «Рубин-205»).

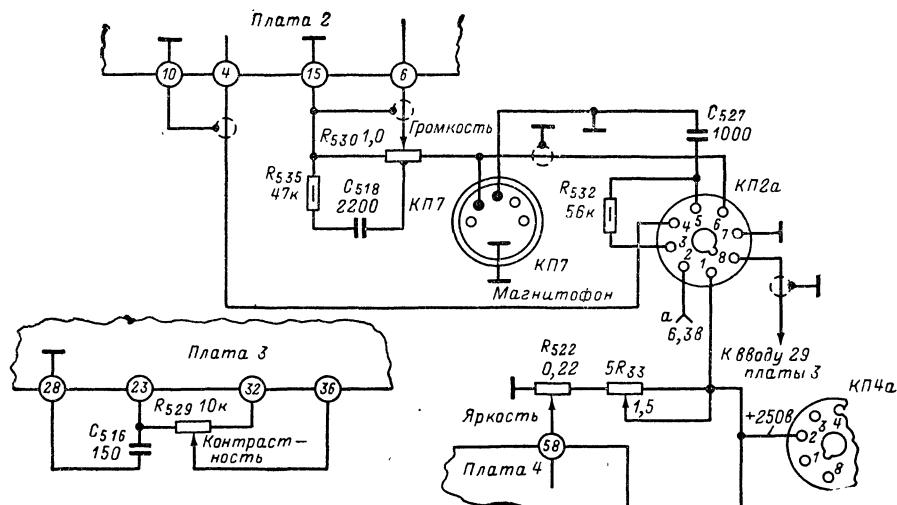


Рис. 3-15. Схема подключения регуляторов громкости, контрастности и яркости в телевизорах УЛТ-59-11-4 («Рубин-203») и УЛТ-61-11-4 («Рубин-205»).

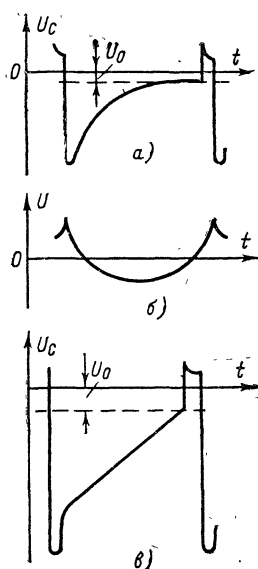


Рис. 3-16. Обычная форма напряжения на управляющей сетке лампы блокинг-генератора (а), напряжение параболической формы, подаваемое на эту сетку (б), и форма результирующего напряжения (в).

Конструкция телевизора. Печатные платы УПЧИ (рис. 3-17), блока разверток (рис. 3-18), УПЧЗ (рис. 3-19), детали строчной развертки и блока питания, монтаж которых выполнен навесным способом, установлены на вертикальном шасси. Электрическая схема, смонтированная на шасси, соединяется с остальными элементами телевизора в УЛТ-59-11 при помощи трех разъемов, а в УЛТ-61-11 — при помощи пяти разъемов (не считая панели кинескопа). Все оперативные органы управления, за исключением ручек переключателя каналов и выключателя напряжения сети, в телевизоре УЛТ-59-11 выведены вверх у задней стенки. В телевизорах УЛТ-61-11 на переднюю панель, кроме ручек переключателя каналов и выключателя напряжения сети, вынесены ручки регуляторов контрастности, яркости и громкости. На рис. 3-20—3-21 показано расположение деталей на платах модулей видеодетектора и АПЧГ.

Указания по настройке и проверке частотных характеристик УПЧИ.

Перед началом настройки (телевизор выключен) необходимо отключить отклоняющую систему, селектор ПТК-11Д и замкнуть перемычкой штырьки 49—50 на плате УПЧИ. Настройка УПЧИ (рис. 3-22) производится в следующем порядке: 3-й каскад, 2-й + 3-й каскады, режекторные контуры, 1-й каскад, результирующая частотная характеристика.

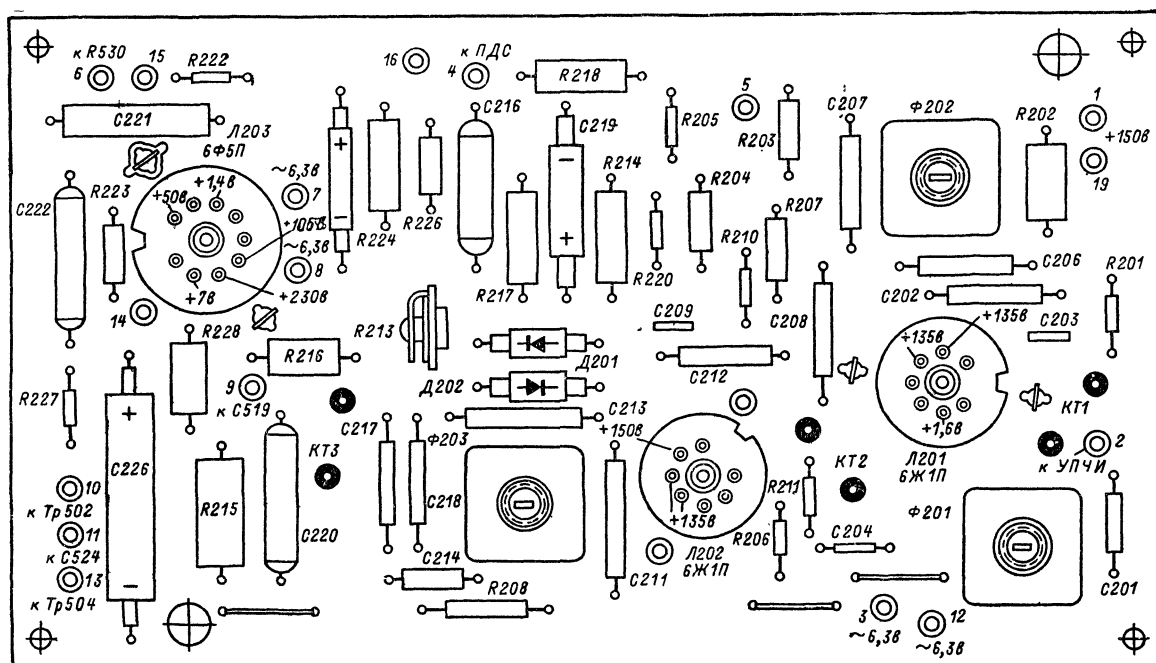
Настройка третьего каскада. Анод лампы L_{302} соединяют с шасси через конденсатор емкостью 2 200 пф. Выход ИЧХ подсоединяют к контрольной точке $КТ_7$, вход ИЧХ — через резистор сопротивлением 50—

100 ком — к контрольной точке $КТ_9$ (рис. 3-22, б). По переменным вращением сердечников катушек фильтра $\Phi 305$: L_{312} со стороны фольги и L_{313} со стороны навесного монтажа необходимо добиться получения кривой с вершинами на частотах 32—32,5 и 38 МГц (рис. 3-22, в). После настройки третьего каскада конденсатор, соединяющий анод лампы L_{302} с шасси, отпаивается.

Настройка второго и третьего каскадов. Кабель с выхода ИЧХ при помощи проводника длиной не более 50 мм (без «крокодила») подключается к контрольной точке $КТ_5$, выход ИЧХ остается подключенным к контрольной точке $КТ_9$. Анод лампы L_{301} через конденсатор емкостью 2 200 пф соединяется с шасси. При большом выходном напряжении ИЧХ на его экране будет наблюдаться частотная характеристика, ограниченная сверху. Пользуясь ручками Масштаб, Усиление и Средняя частота прибора, эту кривую смещают таким образом, чтобы в центре ее отчетливо воспроизводился участок с частотами 29—31 МГц (рис. 3-22, г). Вращением сердечника катушек L_{310} , L_{311} фильтра $\Phi 304$ со стороны навесного монтажа необходимо добиться минимума кривой на частоте 30 МГц. Уменьшив выходное напряжение ИЧХ до получения удобного для наблюдения изображения характеристики, попеременным вращением сердечников катушек L_{307} ($\Phi 303$) и L_{309} ($\Phi 304$) со стороны фольги получают кривую с максимумом на частоте 36,5 МГц (рис. 3-22, д). Получение необходимой полосы пропускания достигается регулировкой связи между катушками L_{306} и L_{308} сердечником фильтра $\Phi 303$ (со стороны монтажа). После настройки второго и третьего каскадов конденсатор, подсоединенный к аноду лампы L_{301} , следует отпаять.

Настройка режекторных контуров. Выход ИЧХ подключают к контрольной точке $КТ_4$, а его вход остается подключенным к контрольной точке $КТ_9$. Аналогично тому, как это делалось при настройке режекторного контура с катушками L_{310} , L_{311} , вращением сердечника катушки L_{303} фильтра $\Phi 302$ со стороны монтажа режекторную врезку у правого склона характеристики устанавливают на частоту 39,5 МГц и с помощью переменного резистора R_{308} добиваются наибольшей глубины врезки (рис. 3-22, е). Затем вращением сердечника катушки L_{305} фильтра $\Phi 302$ режекторную врезку у левого склона характеристики устанавливают на частоту 31,7 МГц (рис. 3-22, ж).

Настройка первого каскада. Кабель с детекторной головкой, зашунтированной резистором сопротивлением 150—300 ом, подсоединяют через конденсатор емкостью



3-19. Расположение деталей на плате блока УПЧЗ телевизоров УЛТ-59-II и УЛТ-61-II.

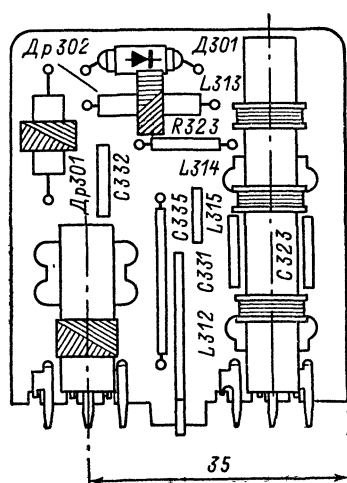


Рис. 3-20. Расположение деталей на плате модуля видеодетектора телевизоров УЛТ-59-II и УЛТ-61-II.

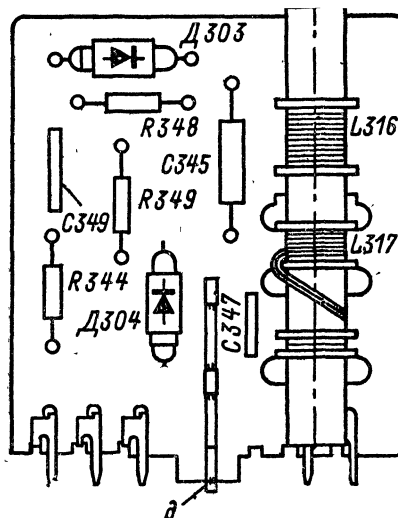
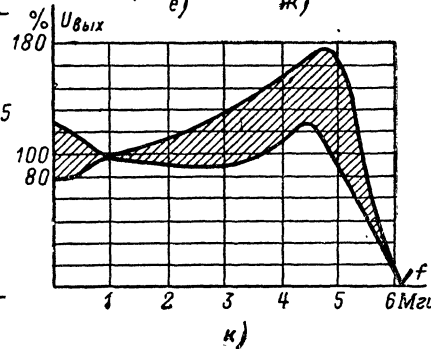
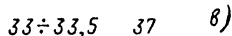


Рис. 3-21. Расположение деталей на плате модуля АПЧГ телевизоров УЛТ-59-II и УЛТ-61-II.

100—300 пф к аноду лампы L_{302} второго каскада УПЧИ. Выход ИЧХ остается подключенным к контрольной точке KT_4 . Поочередно вращая сердечники катушек L_{301} со стороны фольги, L_{304} со стороны монтажа (фильтр $\Phi 301$) добиваются получения кривой, соответствующей рис. 3-22, а.

Проверка результирующей частотной характеристики. Выход ИЧХ подключают к контрольной точке KT_4 (проводник, соединяющий конец кабеля с контрольной точкой должен иметь длину не более 50 мм), а вход — через резистор 50—100 ком — к контрольной точке KT_9 . Результирующая частотная характеристика должна соответствовать рис. 3-22, и. В случае необходимости вращением сердечника катушки L_{309} выравнивают плоскую часть характеристики, а вращением сердечников катушек L_{312} и L_{304} метку 38 МГц устанавливают на уровень 0,5 ее правого склона. Если полоса пропускания по уровню 0,5 меньше 5 МГц, ее можно расширить вращением сердечника катушек связи L_{306} , L_{308} .

Видеоусилитель. Выход ИЧХ подключается к контрольной точке KT_9 через последовательно соединенные конденсатор емкостью 1 мкф и резистор сопротивлением 3 ком. Ламповая панель снимается с цоколя кинескопа и к ее седьмому зажиму подключается детекторная головка ИЧХ, частотная характеристика видеоусилителя показана на рис. 3-22, к.



а — упрощенная схема УПЧИ; *б* — расположение контуров и контрольных точек на плате УПЧИ. Сердечники контуров, настраиваемых со стороны печатных линий, обозначены квадратами, со стороны деталей — треугольниками; *в* — частотная характеристика 3-го каскада; *г* — установка режекторной врезки на частоту 30,0 МГц; *д* — частотная характеристика 2-го и 3-го каскадов; *е* — установка режекторной врезки на частоту 39,5 МГц; *ж* — установка режекторной врезки на частоту 31,7 МГц; *з* — частотная характеристика 1-го каскада; *и* — результирующая частотная характеристика УПЧИ; *к* — частотная характеристика видеоусилителя.

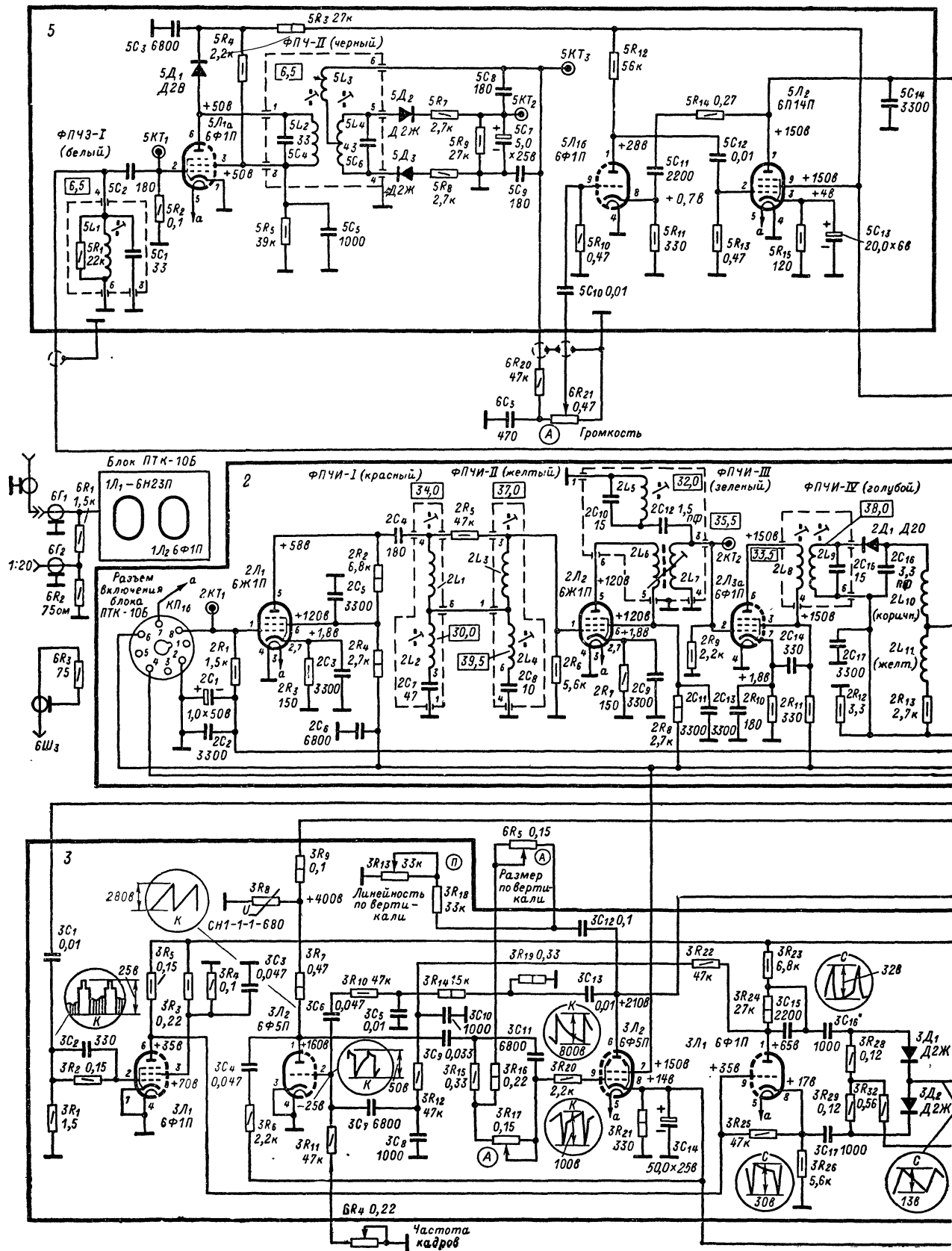
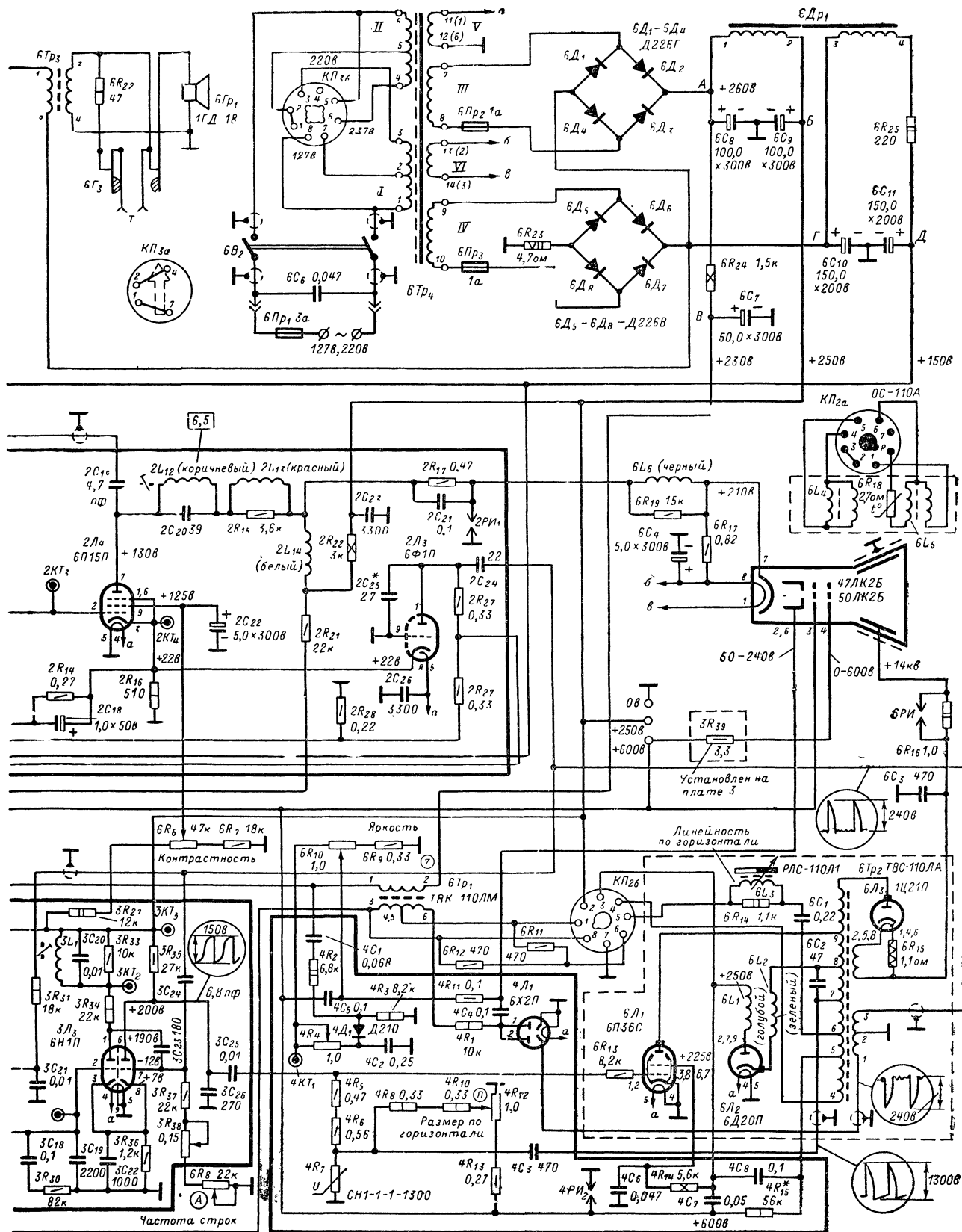


Рис. 4-1. Принципиальная схема телевизора УЛТ-50-III-2 («Рекорд-В302» и «Рекорд-В304»).



ГЛАВА ЧЕТВЕРТАЯ

УНИФИЦИРОВАННЫЕ ТЕЛЕВИЗОРЫ III КЛАССА УЛТ-47-III-2 («РЕКОРД-332») И УЛТ-50-III-2 («РЕКОРД-B302», «РЕКОРД-B304»)

Унифицированные ламповые телевизоры III класса на кинескопах с диагональю экрана 47 и 50 см представляют собой дальнейшую модернизацию модели УЛТ-47-III (УНТ-47-III). Основные схемные изменения связаны с заменой задающего генератора кадровой развертки на тиратроне мультивибратором, выполненным на электронной лампе. Принципиальная схема телевизора показана на рис. 4-1.

Канал изображения. Канал изображения телевизора состоит из селектора каналов ПТК-10Б, трехкаскадного УПЧИ, видеодетектора, видеосушителя и ключевой АРУ. УПЧИ выполнен на лампах $2L_1$ (6Ж1П), $2L_2$ (6Ж1П) и пентодной части лампы $2L_3$ (6Ф1П).

Анодной нагрузкой лампы первого каскада УПЧИ является система из четырех контуров, получившая название М-фильтра. Контурсы с катушками индуктивности $2L_1$ и $2L_3$ настроены на частоты в полосе пропускания и действуют как два одиночных контура, один из которых включен в анодную цепь лампы первого каскада, а другой — в цепь управляющей сетки лампы второго каскада. Контурсы помещены в отдельные экраны, и элементом связи между ними служат две режекторные цепи ($2L_2$, $2C_7$ и $2L_4$, $2C_8$). При резонансе напряжений

В третьем каскаде используется полосовой фильтр со связью несколько больше критической, образованный катушками индуктивности $2L_8$, $2L_9$ и конденсатором $2C_{15}$.

Видеосигнал и сигнал разностной частоты 6,5 МГц выделяются видеодетектором на диоде $2D_1$. Однокаскадный видеосушитель выполнен на лампе $2L_4$ (6П15П). Смещение на управляющую сетку этой лампы снимается с делителя из резисторов $2R_{14}$ и $2R_{12}$. Дроссели $2L_{12}$, $2L_{13}$, $2L_{14}$ и $6L_6$ (последний расположен на панели кинескопа) корректируют частотную характеристику видеосушителя в области высоких частот.

Схема ключевой АРУ выполнена на триодной части лампы $2L_3$ (6Ф1П); регулировкой охвачены первый каскад УПЧИ и УВЧ селектора каналов ПТК-10Б. Контрастность регулируется изменением напряжения на экранной сетке лампы $2L_4$ при помощи переменного резистора $6R_6$. При этом одновременно с изменением крутизны характеристики лампы изменяется постоянная составляющая ее анодного тока, определяющая напряжение на катодном резисторе $2R_{16}$, подаваемое на катод лампы АРУ. В результате изменяется управляющее напряжение, вырабатываемое схемой АРУ, и общее усиление телевизора.

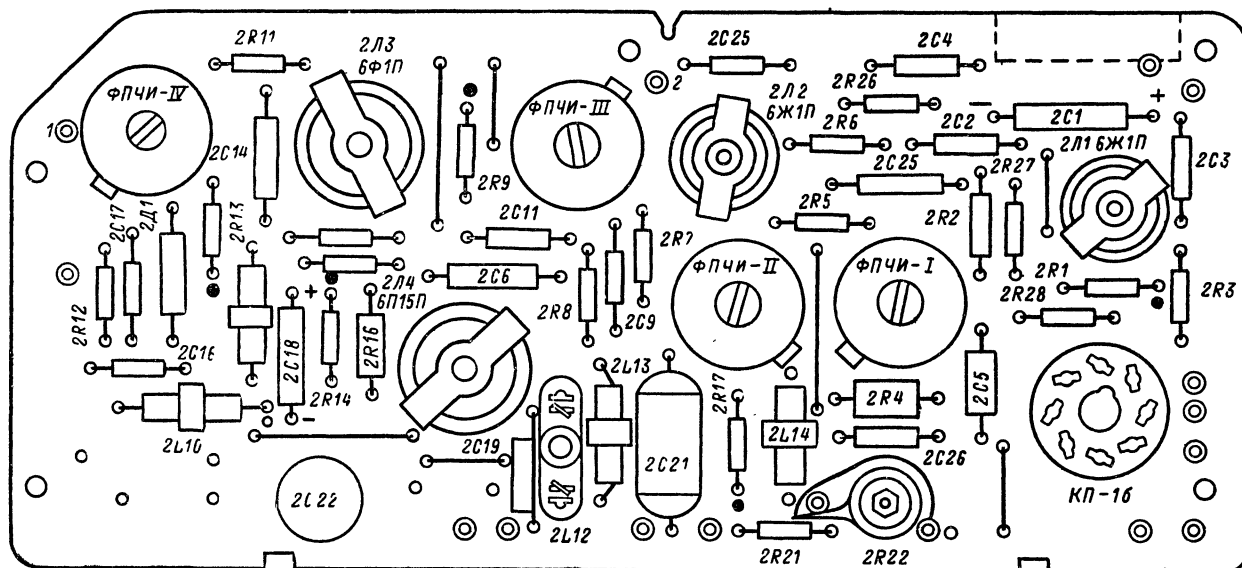


Рис. 4-2. Расположение деталей на печатной плате канала изображения (блок 2) телевизора УЛТ-50-III-2.

сопротивление каждой из этих цепей на частоте настройки равно нулю и передачи сигнала помех из анодной цепи в сеточную не происходит. На частотах, отличных от резонансной и лежащих в пределах полосы пропускания усилителя, сопротивление одного из режекторных контуров будет носить емкостный характер, а сопротивление другого — индуктивный. При одинаковой добротности режекторных контуров два таких параллельно соединенных реактивных сопротивления взаимно компенсируют друг друга и результирующее сопротивление связи сохраняет преимущественно активный характер.

Нагрузкой второго каскада является асимметричный фильтр с катушками индуктивности $2L_6$ и $2L_7$. С этим фильтром связан режекторный контур $2L_5$, $2C_{10}$, $2C_{12}$.

Цепь $2R_{17}$, $2C_{21}$ предназначена для ограничения тока луча кинескопа. Схема регулировки контрастности и яркости (переменный резистор $6R_{10}$ в цепи модулятора кинескопа) позволяет в известной степени поддерживать установленный уровень черного. При увеличении контрастности, когда ток через лампу $2L_4$ возрастает, напряжение на ее аноде и кондуктивно связанном с ним катоде кинескопа падает, отчего яркость свечения возрастает.

На рис. 4-2 показана электромонтажная схема канала изображения.

Канал звукового сопровождения. Канал звукового сопровождения состоит из УПЧЗ на пентодной части лампы $5L_1$ (6Ф1П), дробного детектора (фазосдвига-

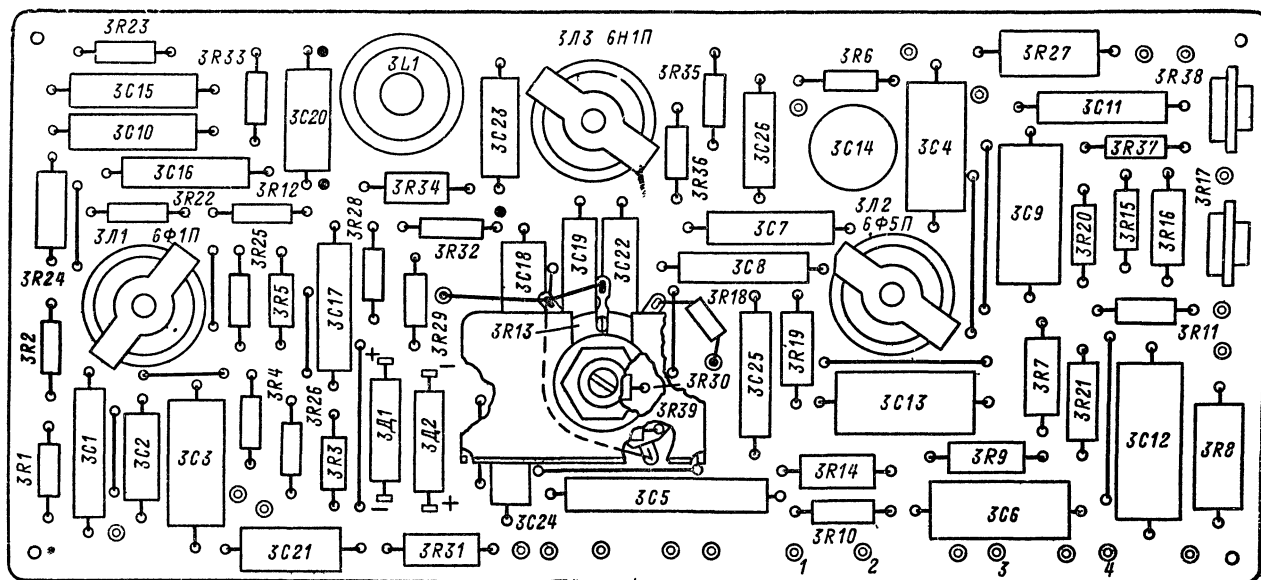


Рис. 4-3. Расположение деталей на печатной плате блока разверток (блок 3) телевизора УЛТ-50-III-2.

ющий трансформатор $5C_4$, $5L_2$, $5L_3$, $5L_4$, $5C_6$), диодов $5D_2$, $5D_3$, резисторов $5R_7$, $5R_8$, $5R_9$, конденсаторов $5C_7$, $5C_8$, $5C_9$ и двухкаскадного УНЧ, выполненного на лампах $5L_{16}$ (триод 6Ф1П) и $5L_2$ (6П14П).

Блок синхронизации. Блок синхронизации состоит из амплитудного селектора, инверсного каскада интегрирующей и дифференцирующей цепей и схемы АПЧФ. Амплитудный селектор собран на пентодной части лампы $3Л_1$ (6Ф1П). С анодной нагрузки селектора $3R_5$ строчные и кадровые синхронизирующие импульсы подаются на инверсный каскад, собранный на триодной части лампы $3Л_1$ по схеме с разделенной нагрузкой. С резистора $3R_{23}$ в аноде этой лампы и с резистора $3R_{26}$ в ее катоде через конденсаторы $3C_{16}$ и $3C_{17}$ снимаются в разной

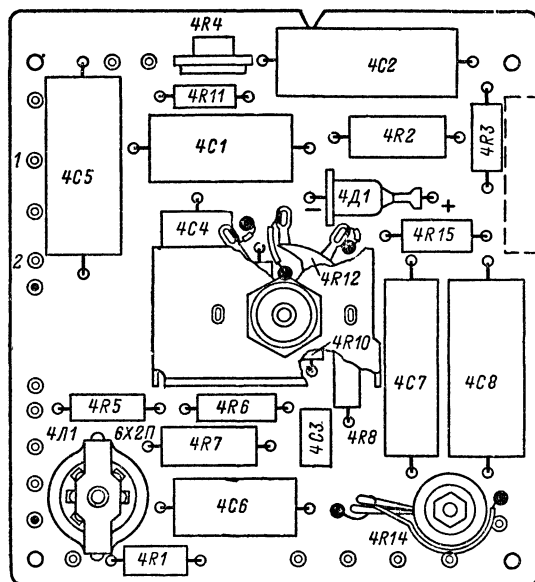


Рис. 4-4. Расположение деталей на печатной плате блока развертки (блок 4) телевизора УЛТ-50-III-2.

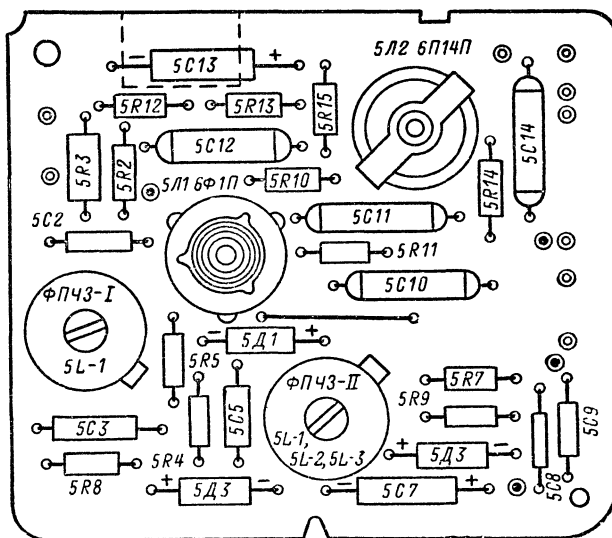


Рис. 4-5. Расположение деталей на печатной плате блока формирования гасящих импульсов и элементов выходного каскада строчной развертки (блок 5) телевизора УЛТ-50-III-2.

полярности равные по амплитуде импульсы, на схему АПЧФ, а с резисторов $3R_{23}$ и $3R_{24}$ синхронизирующие импульсы поступают на интегрирующий фильтр $3R_{22}$, $3C_{10}$, $3R_{12}$, $3C_8$. С выхода интегрирующего фильтра кадровые синхронизирующие импульсы положительной полярности подаются через конденсатор $3C_7$ на сетку триодной части лампы $3Л_2$.

Фазовый дискриминатор схемы АПЧФ собран на диодах $3D_1$ и $3D_2$. Импульс сравнения формируется из импульсов обратного хода строчной развертки интегрирующей цепью $3R_{31}$, $3C_{21}$. Управляющее напряжение с выхода схемы АПЧФ через фильтр нижних частот ($3R_{32}$, $3C_{18}$, $3R_{30}$, $3C_{19}$) поступает на сетку лампы задающего генератора строчной развертки.

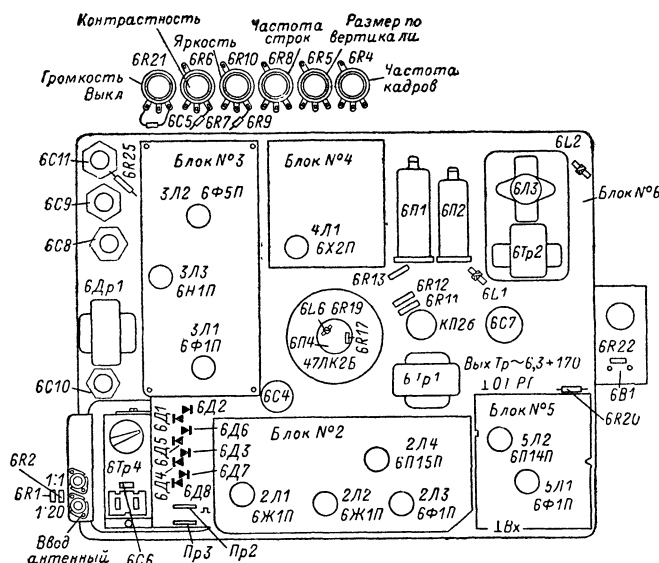


Рис. 4-6. Схема расположения блоков, узлов и элементов навесного монтажа телевизора УЛТ-50-III-2 («Рекорд-В302» и «Рекорд-В304»).

Блок развертки. Задающий генератор строчной развертки собран на лампе $3Л_3$ (6Н1П) по схеме несимметричного мультивибратора с катодной связью и стабилизирующим контуром $3L_1$, $3C_{20}$, $3R_{33}$ в анодной цепи. Вы-

ходной каскад строчной развертки на лучевом тетраде $6Л_1$ (6П36С), демпферном диоде $6Л_2$ (6Д20П) и высоковольтном кенотроне $6Л_3$ (11Ц21П) выполнен на унифицированных узлах ТВС-110ЛМ, ОС-110А и РЛС-110ЛА по общепринятой для широкоугольных кинескопов схеме.

Задающий генератор кадровой развертки собран по схеме несимметричного мультивибратора, в одном из плеч которого используется триодная часть лампы $3Л_2$ (6Ф5П), а в другом — ее пентодная часть. Кроме того, пентодная часть этой лампы используется в выходном каскаде. Положительные обратные связи осуществляются с анодной цепи триода на управляющую сетку пентодную цепью $3C_9$, $3R_{15}$, $3R_{17}$, $3C_{11}$, которая в обычной схеме используется для передачи и коррекции пилообразно-импульсного напряжения, а с анодной цепи пентода на сетку триода — цепью $3C_{13}$, $3R_{19}$, $3R_{14}$, $3C_5$, $3R_{10}$, $3C_6$. Управляющее напряжение пилообразно-импульсной формы образуется на конденсаторе $3C_4$. Резистор $3R_6$ ограничивает величину разрядного тока через лампу. Питание анода лампы $3Л_2$ производится от напряжения вольтодобавки через резистор $3R_9$; анодное напряжение стабилизируется варистором $3R_8$. Схема выходного каскада подробно описана в [Л. 1].

Импульсы гашения обратного хода луча кинескопа формируются двойным диодом $4Л_1$. На катод правого диода подаются импульсы обратного хода строчной развертки с обмотки 1—2 ТВС, а на аноды этих диодов — импульсы обратного хода кадровой развертки со вторичной обмотки ТВК. Диод ограничивает положительные выбросы напряжения, возникающие в результате колебательного процесса в начале прямого хода луча. Импульсы гашения через конденсатор $4C_4$ поступают на модулятор кинескопа.

Для защиты экрана кинескопа от прожога горизонтальной линией, возникающей при выходе из строя кадровой развертки, питание цепи регулирования яркости

Моточные данные контурных катушек, корректирующих дросселей и стабилизирующего контура телевизоров УЛТ-47-III-2 и УЛТ-50-III-2

Обозначение по схеме	Число витков	Провод	Сердечник	Индуктивность, мкГн	Тип намотки
$2L_1$	13	ПЭЛ 0,2	СЦР-1	1,8	Рядовая однослойная
$2L_2$	8	ПЭЛ 0,2	СЦР-1	0,8	То же
$2L_3$	11	ПЭЛ 0,2	СЦР-1	1,4	» »
$2L_4$	10	ПЭЛ 0,2	СЦР-1	1,2	» »
$2L_5$	10	ПЭЛ 0,2	СЦР-1	1,2	» »
$2L_6$	11	ПЭЛ 0,2	СЦР-1	0,92	Рядовая в два провода
$2L_7$	11	ПЭЛШО 0,25	СЦР-1	0,92	То же
$2L_8$	14	ПЭЛ 0,2	СЦР-1	1,8	Рядовая однослойная
$2L_9$	8	ПЭЛ 0,2	СЦР-1	0,8	То же
$2L_{10}$	130	ПЭЛШО 0,12	ЗС-0,25-1,0 Мом $\pm 20\%$	80	«Универсаль»
$2L_{11}$	137	ПЭЛШО 0,12	ЗС-0,25-1,0 Мом	90	»
$2L_{12}$	45	ПЭЛ 0,12	СЦР-1	13,3	Рядовая однослойная
$2L_{13}$	103	ПЭЛШО 0,12	ВС-0,26-3,6 ком $\pm 10\%$	46	«Универсаль»
$2L_{14}$	143	ПЭЛШО 0,12	ВС-0,25-1,5 Мом $\pm 20\%$	100	»
$3L_1$	1300	ПЭВ-2 0,12	СЦР-1	10400	Внавал
$5L_1$	35	ПЭЛ 0,2	СЦР-1	7,3	Рядовая однослойная
$5L_2$	46	ПЭЛШО 0,12	СЦР-1	10,3	То же
$5L_3$	11	ПЭЛШО 0,12	СЦР-1	1,6	» »
$5L_4$	19×2	ПЭЛШО 0,12	СЦР-1	2,25	Рядовая в два провода
$6L_1$	48	ПЭЛШО 0,12	ВС-0,25-1,5 Мом $\pm 20\%$	8,0	«Универсаль»
$6L_2$	35	ПЭЛШО 0,12	ВС-0,25-1,5 Мом $\pm 20\%$	5,6	»
$6L_3$	128	ПЭЛШО 0,12	ВС-0,25-1,5 ком $\pm 20\%$	77	»

производится от отдельного выпрямителя на диоде $4D_1$. На анод диода через конденсатор $4C_1$ и резистор $4R_2$ поступают импульсы обратного хода, возникающие на аноде выходной лампы кадровой развертки. При отсутствии этих импульсов из-за неисправности кадровой развертки напряжение на модулятор не подается и экран кинескопа не светится. На рис. 3-4 и 4-4 показано расположение деталей на печатных платах развертки (блок 3 и блок 4), а на рис. 4-5 — расположение деталей на плате блока формирования гасящих импульсов и элементов выходного каскада.

Блок питания. Блок питания содержит два выпрямителя, собранных по мостовой схеме. Выпрямитель на ди-

одах $6D_5$ — $6D_7$ вырабатывает напряжение 160 в для питания анодной цепи лампы выходного каскада УНЧ и 150 в для питания селектора каналов, задающего генератора строчной развертки, инверсного каскада синхронизирующих импульсов, амплитудного селектора, УПЧИ, УПЧЗ и экранирующей сетки лампы выходного каскада УНЧ. С выпрямителя на диодах $6D_1$ — $6D_4$ снимается напряжение 230 в для питания выходного каскада кадровой развертки и 250 в для питания видеоусилителя и выходного каскада строчной развертки. Скелетно-монтажная схема телевизора показана на рис. 4-6. Моточные данные контуров приведены в таблице.

ГЛАВА ПЯТАЯ

ТЕЛЕВИЗОР УЛПТ-50-III-1 («СТАРТ-308»)

Унифицированный лампово-полупроводниковый телевизор III класса на кинескопе с диагональю экрана 50 см представляет собой дальнейшую модернизацию телевизора УЛПТ-47-III [Л. 1]. Основные изменения связаны с применением селектора каналов ПТК-11Д и заменой кинескопа 47ЛК2Б кинескопом 50ЛК2Б; изменены также схемы видеоусилителя и канала звукового сопровождения.

Принципиальная схема телевизора представлена на рис. 5-1.

Усилитель промежуточной частоты изображения. Частотная характеристика УПЧИ с заданными полосой пропускания и избирательностью формируется при помощи фильтра сосредоточенной селекции. Фильтр, включенный на входе УПЧИ, состоит из шести контуров, настроенных соответственно на частоты: $2C_1$, $2L_1$ — 40,5 МГц, $2C_2$, $2L_2$ — 31,8 МГц, $2L_3$, $2C_6$ — 38 МГц, $2C_3$, $2L_4$ — 39,5 МГц, $2C_4$, $2L_6$ — 30,0 МГц и катушки индуктивности $2L_7$, которая совместно с входной емкостью лампы $2L_1$ образует контур, настроенный на частоту 35,5 МГц.

Лампа $2L_1$ (6Ж38П) в первом каскаде УПЧИ работает на апериодическую нагрузку (резистор $2R_4$). Напряжение АРУ подается на управляющую сетку лампы через развязывающую цепь $2R_2$, $2C_7$. Для уменьшения влияния АРУ на величину входной емкости лампы $2L_1$ применена негативная обратная связь (резистор $2R_6$).

Второй каскад УПЧИ на транзисторе $2T_1$ (ГТ313А) нагружен на одиночный контур $KO1$ ($2L_8$, $2C_{16}$, $2C_{17}$). Для уменьшения затухания, вносимого в контур малым входным сопротивлением третьего каскада на транзисторе $2T_2$ (ГТ313А), напряжение на вход этого каскада снимается с емкостного делителя, образованного конденсаторами $2C_{16}$ и $2C_{17}$.

Нагрузкой третьего каскада служит полосовой фильтр $KO2$, $KO3$ ($2L_9$, $2C_{22}$ и $2L_{11}$, $2C_{26}$) с внешней емкостной связью. Для нейтрализации внутренней обратной связи напряжение с резистора $2R_{17}$ подается через конденсатор $2C_{18}$ на базу транзистора $2T_2$. К выходу УПЧИ подсоединен видеодетектор на диоде $2D_1$ (Д20). Резистор $2R_{21}$ является нагрузкой видеодетектора, а дроссели $2Dp_2$ и $2Dp_3$ — элементами высокочастотной коррекции.

Видеоусилитель. Видеоусилитель собран на лампе с катодной сеткой 6Ж44П ($2L_2$). В анодную цепь лампы последовательно с нагрузкой (параллельно соединенные резисторы $2R_{19}$, $2R_{20}$) включен полосовой фильтр с индуктивной связью $KO5$ ($2L_{13}$, $2C_{29}$, $2L_{14}$), при помощи которого усиленный сигнал разностной частоты 6,5 МГц снимается в канал звукового сопровождения и дроссель высокочастотной коррекции $2Dp_4$. Режекторный контур $KO4$ ($2L_{12}$, $2C_{28}$) предназначен для подавления разностной частоты 6,5 МГц, создающей помехи на экране в виде мелкоструктурной сетки. Регулятор контрастности включен параллельно анодной нагрузке лампы. Возникающие при регулировке контрастности изменения ам-

плитудно-частотной характеристики видеоусилителя корректируются при помощи конденсатора $4C_{17}$. На катод кинескопа видеосигнал поступает через цепь ограничения тока луча $2R_{52}$, $2C_{35}$.

Канал звукового сопровождения. Сигнал разностной частоты 6,5 МГц с контура $KO5$ поступает на базу транзистора $2T_3$ (КТ315А). В коллекторную цепь этого транзистора включен контур дробного детектора $KO6$ ($2L_{16}$, $2C_{46}$, $2L_{17}$, $2C_{49}$, $2L_{18}$). Резисторы $2R_{36}$, $2R_{37}$ определяют рабочую точку транзистора, а $2R_{38}$ — его температурную стабилизацию. Дробный детектор выполнен на диодах $2D_2$ и $2D_3$.

Усилитель низкой частоты двухкаскадный. Каскад предварительного усиления собран на транзисторе $2T_4$ (МП-40А) по схеме с общим коллектором. Резисторы $2R_{49}$ и $2R_{48}$ образуют делитель в цепи базы. Термостабилизация режима осуществляется резистором $2R_{55}$. Резистор $2R_{56}$ и конденсаторы $2C_{63}$, $2C_{59}$ образуют цепь частотно-зависимой отрицательной обратной связи. Выходной каскад УНЧ выполнен на лампе $2L_5$ (6П14П).

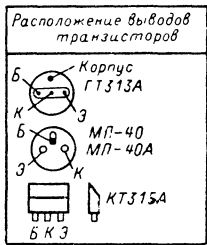
Автоматическая регулировка усиления. Автоматическая регулировка усиления охватывает УВЧ селектора каналов ПТК-11Д и первый каскад УПЧИ. Регулирующее напряжение вырабатывается левым триодом лампы $2L_4$ (6Н1П), на анод которого через конденсатор $2C_{41}$ поступают импульсы обратного хода строчной развертки, а на сетку — видеосигнал. На катоде этого триода поддерживается постоянное напряжение, которое стабилизируется варистором $2R_{40}$. Порог срабатывания АРУ устанавливается при помощи переменного резистора $2R_{34}$.

Блок синхронизации. Блок синхронизации состоит из амплитудного селектора на лампе $2L_3$ (6Ж1П), инверсного каскада на правом триоде лампы $2L_4$ и схемы АПЧИФ на диодах $3D_1$ и $3D_2$.

Инверсный каскад собран по схеме с разделенной нагрузкой. С резистора $3R_{24}$ в анод лампы и с резистора $3R_{23}$ в ее катоде снимаются в разной полярности равные по амплитуде импульсы на схему АПЧИФ, а синхронизирующие импульсы с резисторов $3R_{24}$ и $3R_{26}$ поступают на интегрирующий фильтр $3R_{27}$, $3C_{17}$, $3R_4$, $3C_2$, с помощью которого происходит выделение кадровых синхронимпульсов.

Фазовый дискриминатор схемы АПЧИФ выполнен на диодах $3D_1$, $3D_2$, резисторах $3R_{33}$, $3R_{34}$ и конденсаторах $3C_{19}$ и $3C_{21}$. пилообразное напряжение сравнения формируется из импульсов обратного хода строчной развертки при помощи интегрирующего фильтра $3R_{29}$, $3C_{22}$. С выхода фазового дискриминатора управляющее напряжение через фильтр нижних частот $3R_{37}$, $3C_{26}$, $3R_{38}$, $3C_{27}$ поступает на левую сетку лампы $3L_2$ задающего генератора строчной развертки.

Строчная развертка. Задающий генератор собран на лампе $3L_2$ (6Н1П) по схеме несимметричного мультивибратора со стабилизирующим контуром в анодной цепи ($3L_1$, $3C_{28}$, $3R_{39}$). Частота колебаний мульти-



Допускается замена транзистора $2T_4$ типа МП40А на транзисторы типа МП39 и МП40. Разрешается выводы конденсатора $4C_{23}$ распаять

вибратора определяется параметрами элементов сеточной цепи правого триода его лампы — конденсатора $3C_{34}$ и резисторов $3R_{44}$, $3R_{46}$, $4R_{23}$. Для стабилизации длительности импульса мультивибратора на сетку этого триода через конденсатор $3C_{36}$ подается часть напряжения импульсов обратного хода. Пилообразное напряжение, поступающее на управляющую сетку выходной лампы $4L_2$ (6П36С), формируется при помощи зарядной цепи $3R_{43}$, $3C_{32}$. В выходном каскаде используются также демпфер $4L_3$ (6Д14П) и селеновый столб 5ГЕ600АФМ1.

Стабилизация динамического режима выходного каскада осуществляется схемой на варисторе СН1-1-1-1300 ($4R_{37}$), который используется для создания на управляющей сетке лампы $4L_2$ отрицательного смещения, зависящего от амплитуды импульсов обратного хода. Работа схемы не отличается от описанной в [Л. 1]. Регулировка размера изображения производится с помощью переменного резистора $4R_{36}$ путем подачи на варистор положительного напряжения вольтодобавки.

Кадровая развертка. Кадровая развертка выполнена на лампе $3Л_1$ (6Ф5П). Задающий генератор собран по схеме мультивибратора, плечи которого образованы триодной и пентодной частями лампы. Положительные обратные связи в мультивибраторе осуществляются с анода триода на управляющую сетку пентода ($3C_8$, $3C_{11}$, $3R_{11}$, $3R_{12}$, $3R_{16}$) и с анода пентода на сетку триода ($3C_{13}$, $3R_{17}$, $3R_{13}$, $3C_9$, $3C_4$, $3R_3$). Интегрирующее

звено в цепи обратной связи с анода пентода на сетку триода $3R_{13}$, $3C_9$ служит для подавления импульсов строчной частоты, проникающих в анодную цепь лампы выходного каскада из отклоняющей системы через выходной кадровый трансформатор и ухудшающих синхронизацию. Синхронизация осуществляется импульсами положительной полярности, поступающими с выхода интегрирующего фильтра на сетку триода.

Пилообразно импульсное напряжение формируется резистором $3R_6$ и цепью $3R_7$, $3C_6$, которая подсоединена между анодом триодной части лампы 6Ф5, выполняющей роль разрядного каскада, и катодом ее пентодной части. Для получения необходимого размера по вертикали и его стабилизации при колебаниях напряжения сети питание анодной цепи триода производится через резистор $4R_{32}$ от напряжения вольтодобавки; анодное напряжение стабилизируется варистором $3R_1$. Пентодная часть лампы используется также в выходном каскаде как усилитель мощности. Схема выходного каскада ничем не отличается от применяемой в унифицированных телевизорах II класса (см. [Л. 1, 2]).

Для защиты экрана от прожога при выходе из строя кадровой развертки питание ускоряющего электрода кинескопа производится от импульсного выпрямителя на селеновом столбе $3Д_4$ типа 5ГЕ40Ф. Выпрямитель подсоединен к первичной обмотке ТВК ($4Тр_2$). Установленный на плате блока 3 диод $3Д_3$ предназначен для формирования импульсов гашения обратного

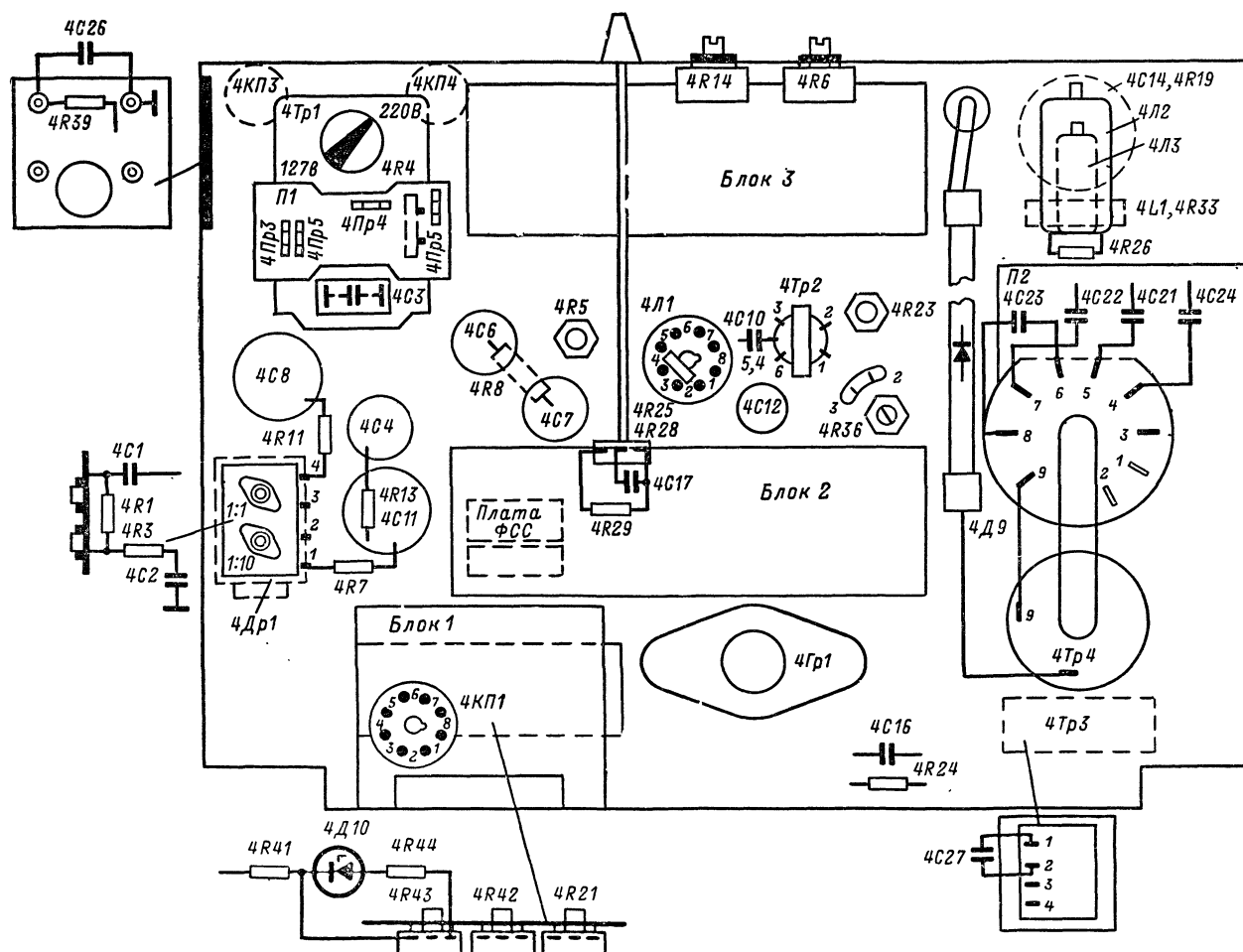


Рис. 5-2. Схема расположения блоков, узлов и элементов навесного монтажа телевизора УЛПТ-50-III-1 («Старт-308»).

Рис. 5-3

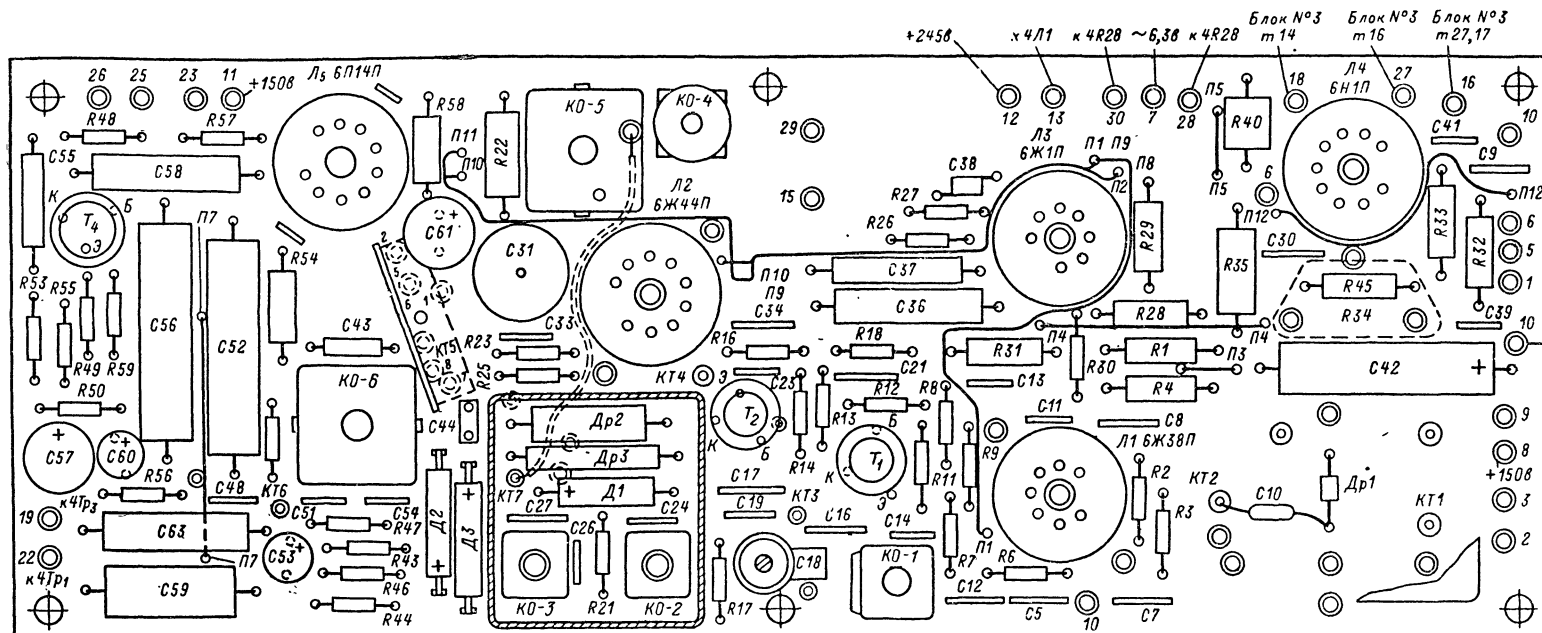
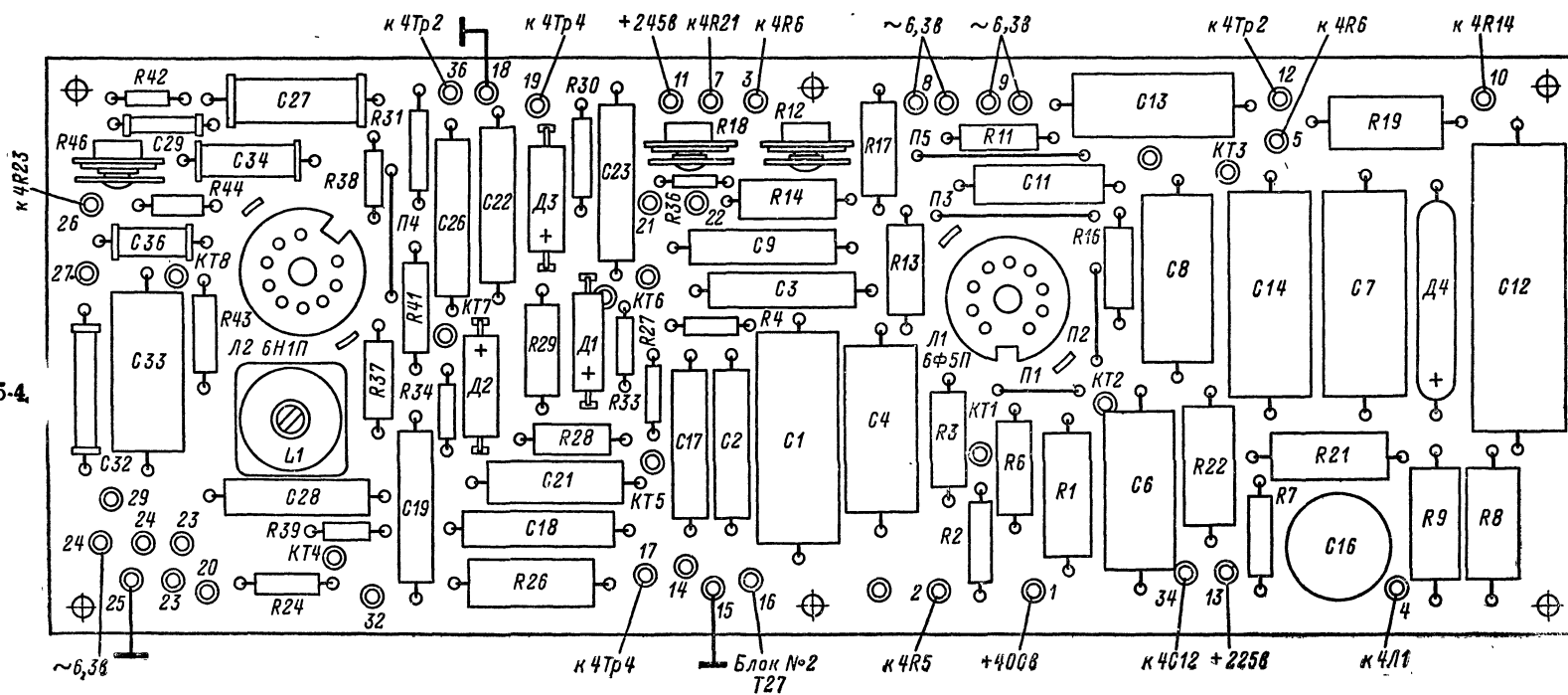


Рис. 5-4



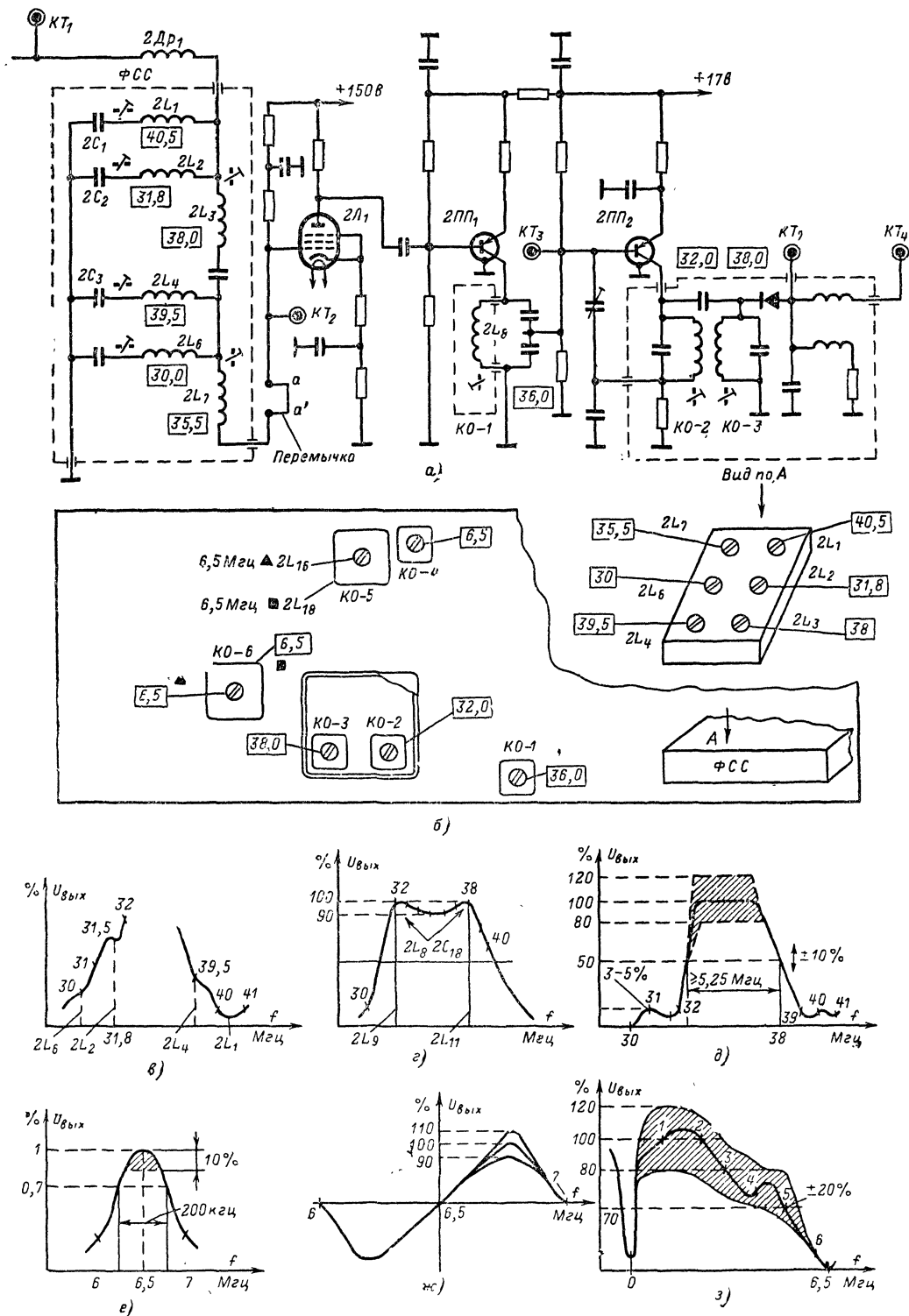


Рис. 5-5. Настраиваемая карта телевизора УЛПТ-50-III-1 («Старт-308»).

а — упрощенная схема УПЧИ; б — расположение органов настройки контуров на печатной плате блока 2 (сердечники контуров, настраиваемых со стороны печатных линий, обозначены квадратами, а со стороны монтажа — треугольниками); в — настройка режущих контуров; г — частотная характеристика УПЧИ (без ФСС); д — результирующая частотная характеристика УПЧИ; е — частотная характеристика УПЧЗ; ж — частотная характеристика дробного детектора; з — частотная характеристика видеосу-
лителя.

хода луча. Диод ограничивает положительные импульсы, возникающие в начале прямого хода строчной развертки.

Блок питания. Необходимые для питания телевизора постоянные напряжения создаются тремя выпрямителями, собранными по двухполупериодной схеме. Выпрямитель на диодах $4D_1, 4D_2, 4D_5, 4D_6$ создает напряжение 150 в, выпрямитель на диодах $4D_3, 4D_4$ — напряжение 254 в, и выпрямитель на диодах $4D_7, 4D_8$ — напряжение 17 в. Напряжения 245 и 225 в получаются при помощи гасящих резисторов, являющихся одновременно элементами сглаживающих фильтров.

Конструкция. Основой конструкции является вертикальное шасси, на котором закреплены печатные платы УПЧ (блок 2) с платой ФСС, развертки (блок 3), выходного каскада строчной развертки и блока питания (рис. 5-2). Кроме того, на шасси установлены силовой трансформатор ТСШ-130, дроссель фильтра, кронштейн с лампами выходного каскада строчной развертки, регулятор линейности строк (РЛС-110Л1), селеновый столб 5ГЕ600АФМ и выходные трансформаторы: кадровой развертки (ТВК-110ЛМ), звука (ТВ-3Ш), строчной развертки (ТВС-110Л2).

В футляре телевизора на съемном поддоне установлены селектор каналов (ПТК-11Д), громкоговоритель (1ГД-36), органы настройки гетеродина регуляторы громкости и яркости, выключатель сети. Они соединяются с электрической схемой, смонтированной на шасси, при помощи двух разъемов. На рис. 5-3 показано расположение деталей на печатной плате УПЧ, а на рис. 5-4 — на блоке разверток телевизора «Старт-308».

Указания по настройке и проверке частотных характеристик. Настройка УПЧИ. Упрощенная схема УПЧИ показана на рис. 5-5, а, а расположение органов настройки — на рис. 5-5, б. Настройка УПЧИ включает в себя настройку усилительных каскадов УПЧИ и настройку ФСС.

Для настройки усилительных каскадов УПЧИ отпаивается перемычка aa' (рис. 5-5, а). Выход ИЧХ через конденсатор емкостью 1000 пф подсоединяется к контрольной точке $КТ_2$, а вход — через резистор 47 ком — к контрольной точке $КТ_4$. Частотная характеристика усилительных каскадов УПЧИ показана на рис. 5-5, г.

Для настройки ФСС необходимо припаять перемычку aa' , отключить селектор каналов ПТК-11Д, а выход ИЧХ соединить через конденсатор 1000 пф с контрольной точкой $КТ_1$. При наибольшей величине выходного напряжения ИЧХ изображение частотной характеристики на экране сдвигают вправо и влево для наблюдения режекторных врезок (рис. 5-5, в). При проверке результирующей частотной характеристики УПЧИ (рис. 5-5, д) необходимо для устранения перегрузки уменьшить выходное напряжение ИЧХ.

Настройка УПЧЗ. Для получения изображения частотной характеристики выход ИЧХ подсоединяется к контрольной точке $КТ_4$, а его детекторная головка —

Моточные данные контурных катушек и корректирующих дросселей телевизора «Старт-308»

Обозначение на схеме	Число витков	Провод	Тип намотки	Индуктивность, мкГн
$2L_1$	7	ПЭВ-2 0,23	Рядовая	—
$2L_2$	16	ПЭВ-2 0,23	»	—
$2L_3$	13	ПЭВ-2 0,23	»	—
$2L_4$	10	ПЭВ-2 0,23	»	—
$2L_5$	10	ПЭВ-2 0,23	»	—
$2L_6$	12	ПЭВ-2 0,23	»	—
$2L_7$	10	ПЭВ-2 0,23	»	—
$2L_8 (KO-1)$	11	ПЭВ-2 0,23	»	—
$2L_9 (KO-2)$	13	ПЭВ-2 0,23	»	—
$2L_{11} (KO-3)$	80	ПЭВ-2 0,23	»	—
$2L_{12} (KO-4)$		ПЭЛШО 0,2	«Универсаль»	—
$2L_{13} (KO-5)$	40	ПЭЛШО 0,15	Рядовая	—
$2L_{14} (KO-5)$	40	ПЭЛШО 0,15	»	—
$2L_{16} (KO-6)$	41 (отвод от 21-го витка)	ПЭЛШО 0,18	»	—
$2L_{17} (KO-6)$	16	ПЭЛШО 0,18	»	—
$2L_{18} (KO-6)$	2×17	ПЭЛШО 0,18	Бифилярная	—
$2Dp_1$	4	ПЭЛ 0,8	Рядовая	—
$2Dp_2^*$	—	—	—	68
$2Dp_3^*$	—	—	—	150
$2Dp_4$	136	ПЭЛШО 0,12	Универсаль	70
$3L_1$	1 150	ПЭВ-2 0,12	Внавал	—

* Дроссели стандартные типа Д2-0,1

к контрольной точке $КТ_5$. Частотная характеристика УПЧЗ показана на рис. 5-5, е.

Для настройки частотного детектора необходимо отпаять конденсатор $2C_{53}$. Выход ИЧХ подсоединяется через конденсатор 0,01 мкф к контрольной точке $КТ_5$, а вход через резистор 47 ком — к контрольной точке $КТ_6$. Частотная характеристика дробного детектора показана на рис. 5-3, ж. Установка нулевой точки характеристики производится сердечником катушки $2L_{18}$, а симметрирование плеч кривой — сердечником катушки $2L_{16}$.

Проверка частотной характеристики видеосушителя. Для получения изображения частотной характеристики снимается панель с цоколя кинескопа и к ее седьмой ножке подсоединяется детекторная головка, выход ИЧХ через конденсатор 0,1 мкф подключается к контрольной точке $КТ_4$. Частотная характеристика видеосушителя показана на рис. 5-5, з.

ГЛАВА ШЕСТАЯ

ТЕЛЕВИЗОРЫ «ЛАДОГА»

6-1. ТЕЛЕВИЗОР «ЛАДОГА-1» («АТЛАНТ»)

Лампово-полупроводниковый телевизор II класса «Ладога-1» на кинескопе 47ЛК2Б является дальнейшей модернизацией телевизора «Аврора», в схему которого внесены следующие изменения: 1) повышена чувствительность УПЧИ и увеличена степень подавления мешающих сигналов на частотах 31,5 и 39,5 Мгц; 2) введена схема гашения светящейся точки при вы-

ключении телевизора; 3) каскады УПЧЗ и первый каскад УНЧ выполнены на транзисторах; 4) регуляторы громкости, тембров ВЧ и НЧ, расположенные на пульте управления, соединяются с платой канала звукового сопровождения при помощи отдельного трехконтактного разъема КР14. Принципиальная схема телевизора приведена на рис. 6-1.

Канал изображения. Канал изображения состоит из селектора каналов ПТК-5, четырехкаскадного усили-

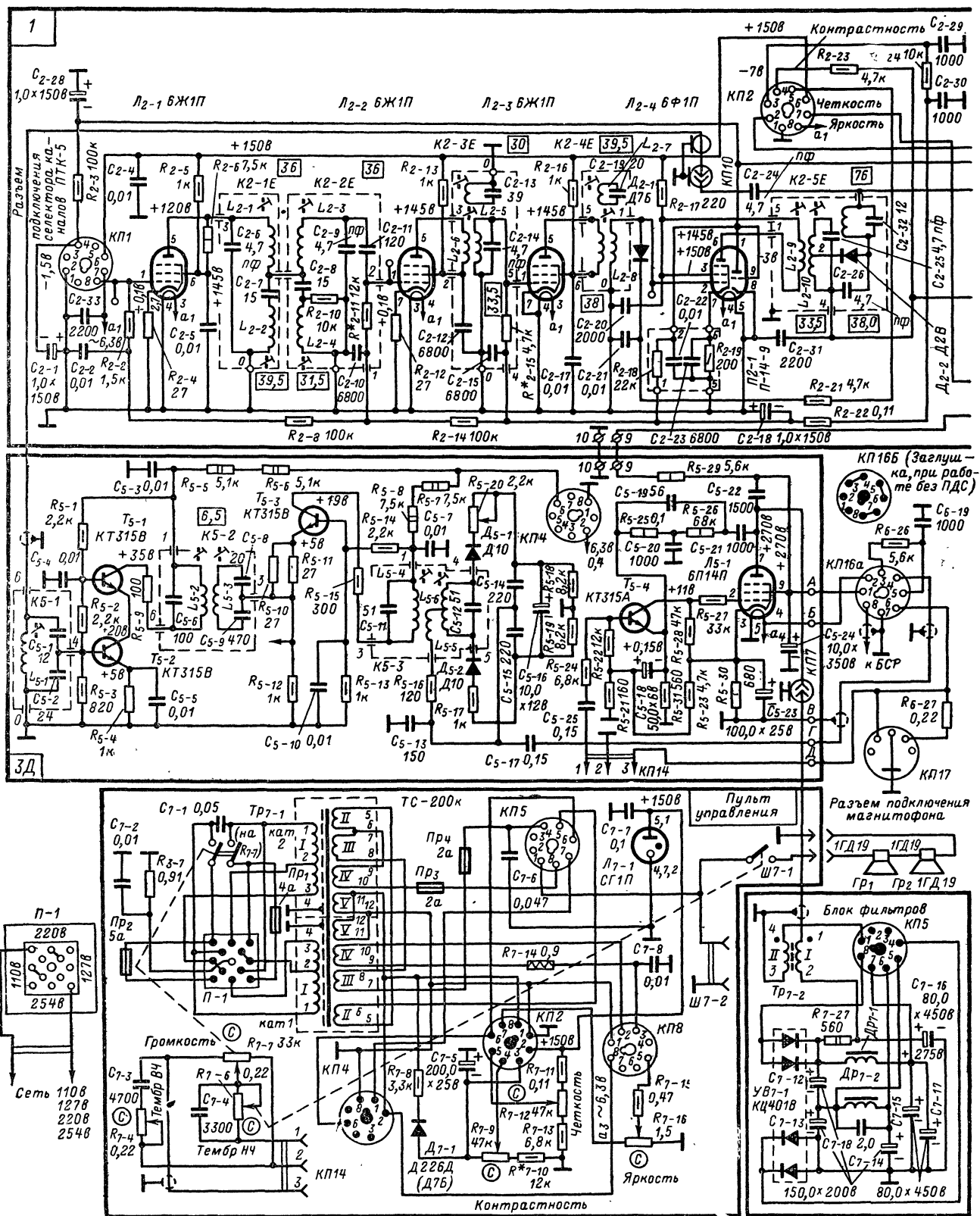
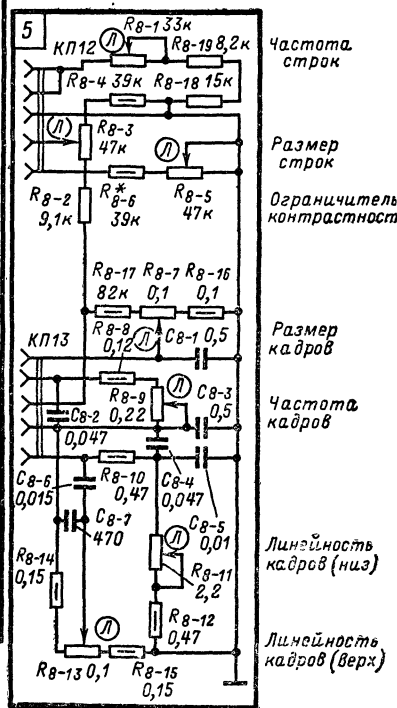
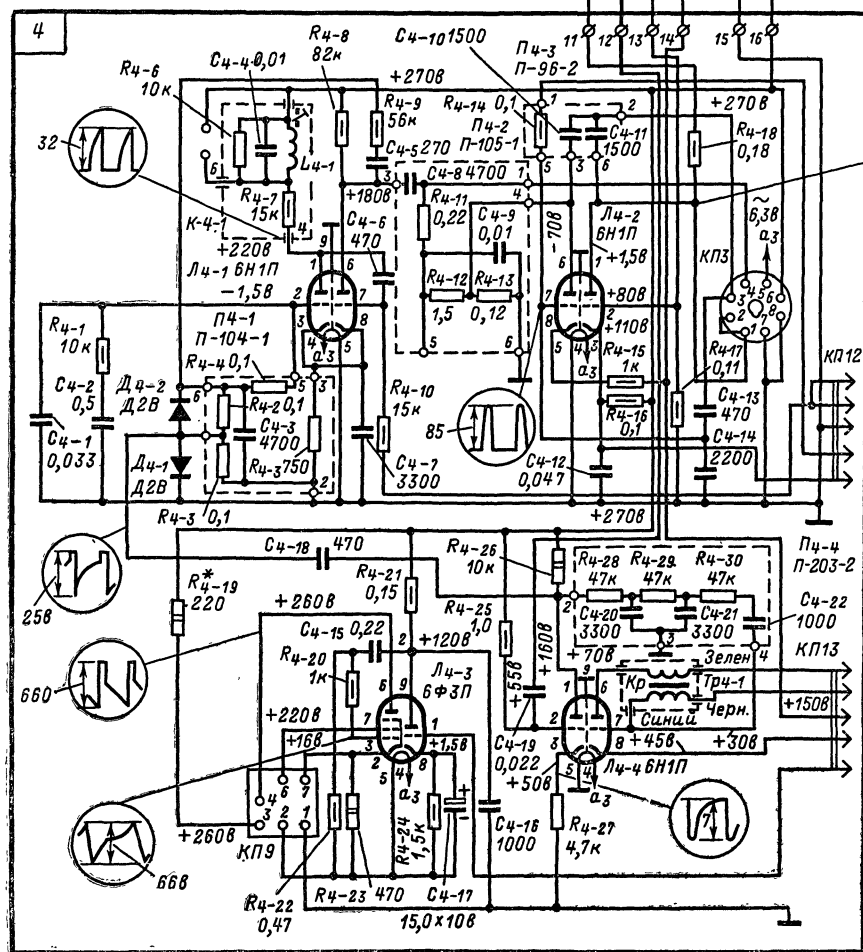
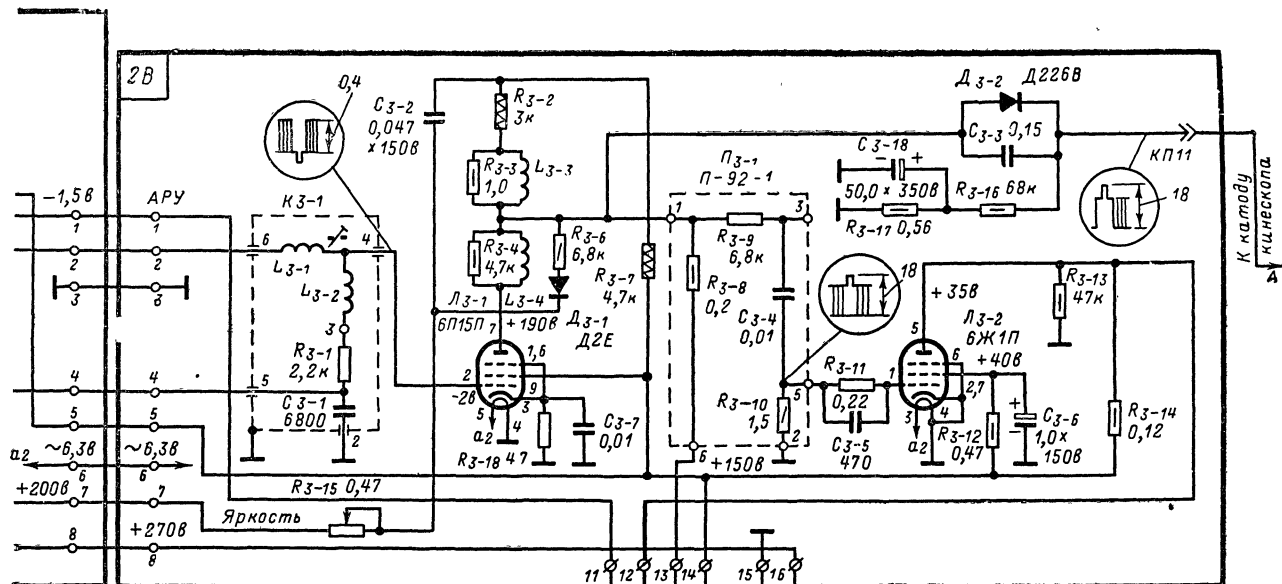


Рис 6-1. Принципиальная схема телевизора «Ладоба-1» (без блока развертки и селектора каналов).



теля промежуточной частоты (лампы $L_{2.1}$ — $L_{2.4}$); видеодетектора на диоде $D_{2.2}$ и видеоусилителя на лампе $L_{3.1}$.

Нагрузкой первого каскада служит М-фильтр ($K2-1E$ и $K2-2E$) второго и третьего каскадов — два взаимно расстроенных асимметричных контура ($K2-3E$ и $K2-4E$), с которыми индуктивно связаны два режекторных контура ($L_{2.5}$, $C_{2.13}$ и $L_{2.7}$, $C_{2.19}$), настроенные соответственно на частоты 30 и 39,5 МГц. Повышение чувствительности УПЧИ достигнуто в результате увеличения эквивалентного сопротивления М-фильтра за счет индуктивности катушек $L_{2.1}$, $L_{2.2}$, $L_{2.3}$, $L_{2.4}$, уменьшения емкости конденсаторов $C_{2.6}$, $C_{2.9}$ и исключения шунтирующих резисторов. Увеличение добротности контуров, кроме того, значительно повысило режекцию на частотах 31,5 и 39,5 МГц. Контур третьего каскада шунтирован емкостью запятого диода $D_{2.1}$. В зависимости от напряжения, подаваемого на диод с переменного резистора $R_{7.12}$ (Четкость), изменяется положение несущей частоты 38 МГц на правом склоне частотной характеристики УПЧИ.

Особенностью схемы видеоусилителя на лампе $L_{3.1}$ является применение для коррекции частотной характеристики взаимосвязанных контуров с индуктивностями $L_{3.1}$, $L_{3.2}$ в сеточной цепи лампы и дросселей $L_{3.3}$, $L_{3.4}$ в ее анодной цепи. Коэффициент усиления видеоусилителя составляет 33 дБ. Автоматическая регулировка яркости (фиксация «уровня черного») осуществляется цепью, состоящей из диода $D_{3.1}$, конденсатора $C_{3.2}$ и резисторов $R_{3.6}$ и $R_{3.15}$, а ограничение тока луча и устранение светящейся точки, возникающей в центре экрана при выключении телевизора, — цепью из диода $D_{3.2}$, резисторов $R_{3.16}$, $R_{3.17}$ и конденсатора $C_{3.18}$, действие которой аналогично описанной на стр. 15.

В телевизоре применена ключевая АРУ с задержкой на правом триоде лампы $L_{4.2}$; задержка осуществляется с помощью триодной части лампы $L_{2.4}$, включенной диодом. Регулировкой охвачены каскад УВЧ селектора каналов, первый, второй и третий каскады УПЧИ. Регулировка контрастности изображения осуществляется изменением напряжения смещения с помощью резистора $R_{7.9}$ на управляющей сетке лампы видеоусилителя. Изменение напряжения на аноде лампы $L_{3.1}$ и на сетке конденкативно связанной с ней лампы ключевой АРУ вызывает соответствующее изменение напряжения АРУ, подаваемого на регулируемые каскады.

Более подробно канал изображения описан в [Л. 1, 5].

Канал звукового сопровождения. Канал звукового сопровождения состоит из двухкаскадного УПЧЗ на транзисторах $T_{5.1}$, $T_{5.2}$, $T_{5.3}$, частотного детектора и двухкаскадного УНЧ на транзисторе $T_{5.4}$ и лампе $L_{5.1}$. Первый каскад УПЧЗ собран по каскадной схеме. Напряжение частоты 6,5 МГц с контура $L_{5.1}$, $C_{5.1}$, $C_{5.2}$ поступает на базу транзистора $T_{5.2}$. В коллекторной цепи транзистора $T_{5.1}$ включен полосовой фильтр $L_{5.2}$, $C_{5.6}$ и $L_{5.3}$, $C_{5.8}$, $C_{5.9}$. Для уменьшения влияния входных цепей транзисторов $T_{5.2}$ и $T_{5.3}$ на параметры подсоединенных к ним контуров применена схема неполного включения этих контуров, осуществляемая при помощи емкостных делителей $C_{5.1}$, $C_{5.2}$ и $C_{5.8}$, $C_{5.9}$ соответственно.

В коллекторную цепь транзистора $T_{5.3}$ включен фазосдвигающий трансформатор $L_{5.4}$, $C_{5.11}$ и $L_{5.5}$, $L_{5.6}$, $C_{5.12}$ дробного детектора, с выхода которого (точка

соединения конденсаторов $C_{5.15}$, $C_{5.14}$ и $C_{5.13}$) сигнал низкой частоты поступает на контакт 4 разъема КР16а для подключения приставки двухречевого сопровождения (ПДС). Последняя включается в разрыв цепи, соединяющей выход дробного детектора с регулятором громкости $R_{7.7}$. При отсутствии ПДС контакт 4 в разъеме КР16а переключается с контактом 6 заглушкой КР16б.

Транзисторы $T_{5.1}$, $T_{5.2}$ и $T_{5.3}$ питаются от источника питания напряжения 150 в через делители, состоящие из резисторов $R_{5.5}$, $R_{5.6}$, $R_{5.7}$ и $R_{5.8}$ и резисторов, включенных в базовые цепи этих транзисторов. Питание транзистора $T_{5.4}$ производится напряжением, создаваемым анодным током лампы $L_{5.1}$ на резисторе $R_{5.30}$, а напряжение смещения на базу этого транзистора снимается с делителя, образованного резисторами $R_{5.23}$ и $R_{5.21}$. Резистор $R_{5.22}$ служит для увеличения входного сопро-

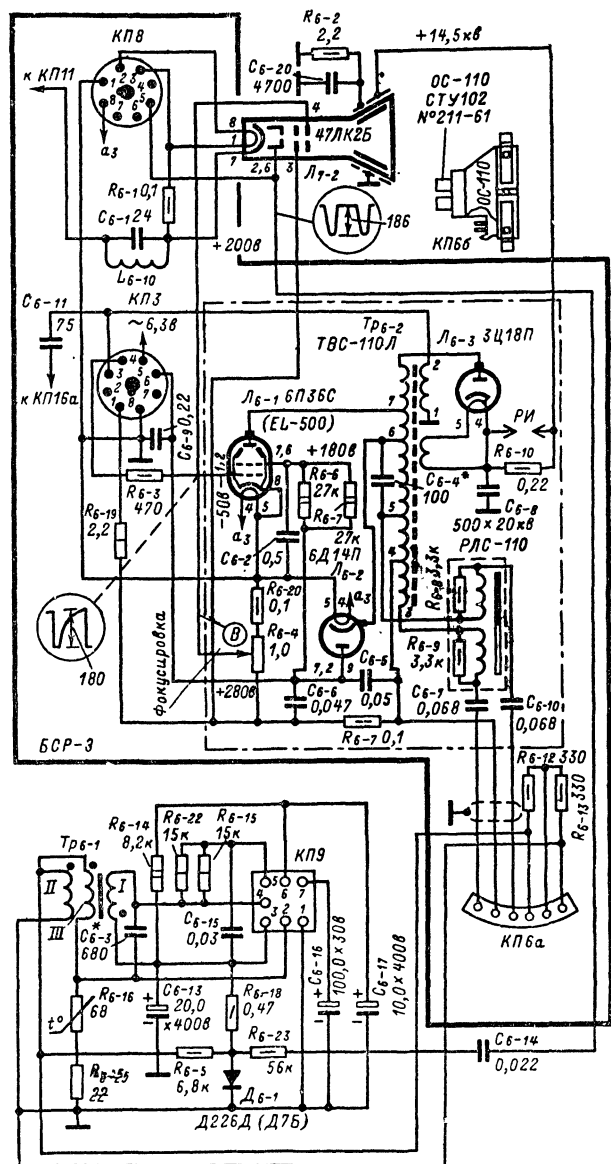


Рис. 6-2. Принципиальная схема блока развертки телевизора «Ладoga-1» ($T_{6.1}$ TBK-110L4).

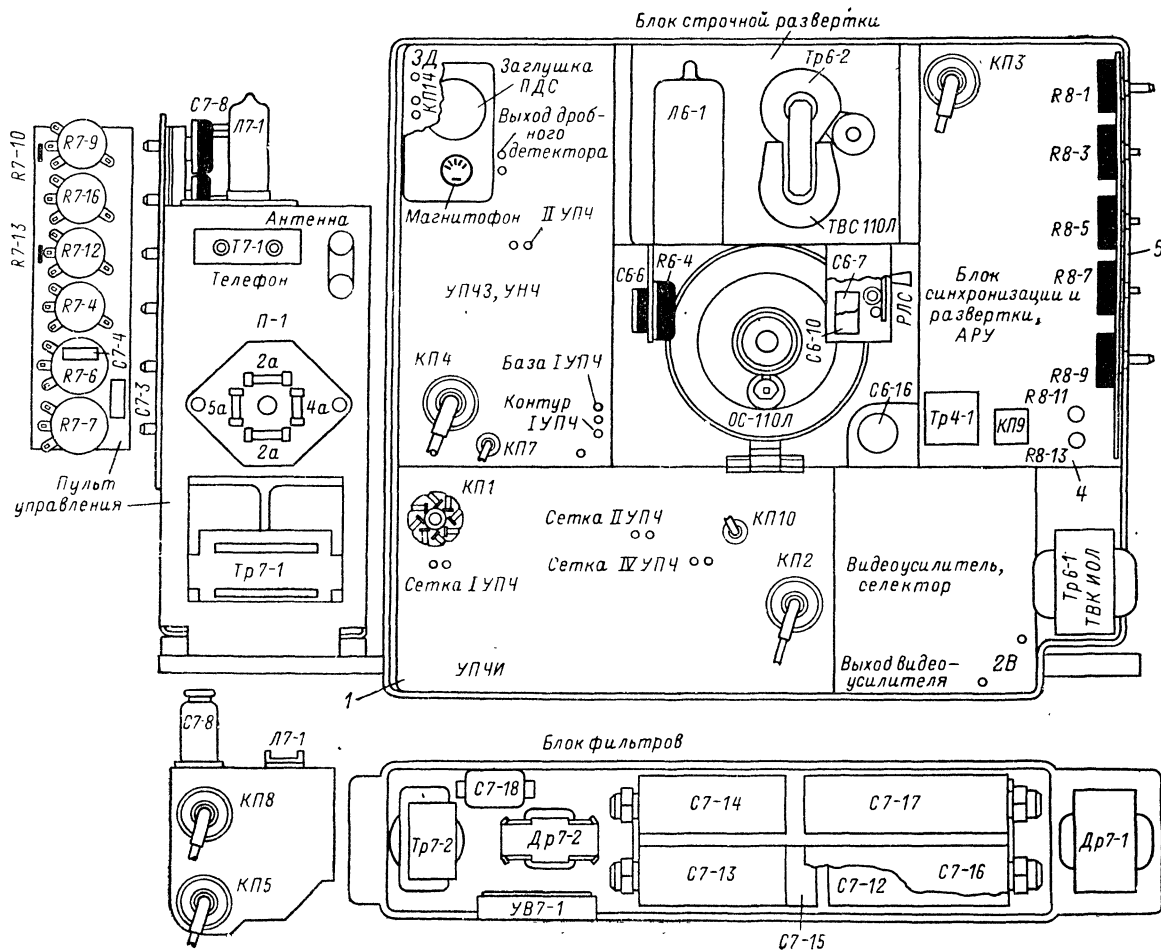


Рис. 6-3. Блоки телевизора «Ладога-1».

тивления каскада. Конденсаторы C_{5-21} , C_{5-19} , C_{5-20} и резисторы R_{5-25} , R_{5-26} используются для подачи напряжения отрицательной обратной связи с анода лампы L_{5-1} на эмиттер транзистора T_{5-4} . Глубина обратной связи определяется результирующим сопротивлением между эмиттером транзистора и шасси для токов звуковой частоты. Первичная обмотка выходного трансформатора Tr_{7-2} , установленного в блоке фильтров, подсоединяется к аноду лампы L_{5-1} при помощи разъема $KП7$.

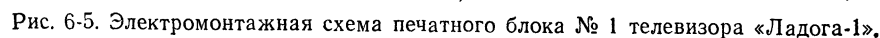
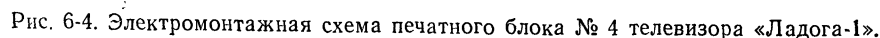
Блок синхронизации. Блок синхронизации состоит из амплитудного селектора на пентоде L_{3-2} , усилителя-ограничителя синхронизирующих импульсов на левом триоде лампы L_{4-4} интегрирующего фильтра и схемы АПЧиФ.

Для лучшего ограничения вершин синхроимпульсов резистор R_{4-25} утечки сетки лампы усилителя-ограничителя подключен к плюсу анодного источника; каскад охвачен отрицательной обратной связью по току. С анода лампы синхронизирующие импульсы через конденсатор C_{4-18} поступают на фазовый детектор АПЧиФ. Кадровые синхронизирующие импульсы, выделенные интегрирующим фильтром R_{4-28} , C_{4-20} , R_{4-29} , C_{4-21} , R_{4-30} , подаются на сетку правого триода лампы $4L_{4-4}$ блокинг-генератора кадровой развертки.

Строчная развертка. Задающий генератор строчной развертки выполнен на лампе L_{4-1} по схеме мульти-

вibratorа с катодной связью и стабилизирующим контуром L_{4-1} , C_{4-4} , R_{4-6} в ее анодной цепи. В выходном каскаде строчной развертки, принципиальная схема которого показана на рис. 6-2, применены лампы L_{6-1} (выходная), L_{6-2} (демпфер), L_{6-3} (высоковольтный кенотрон) и унифицированные узлы ТВС-110Л и ОС-110. Необходимая линейность развертки по горизонтали достигается применением регулятора линейности РЛС-110, выполненного в виде двух отдельных катушек, и корректирующих конденсаторов C_{6-7} и C_{6-10} . Стабилизация размера по горизонтали осуществляется левым триодом лампы L_{4-2} . Более подробно работа выходного каскада строчной развертки описана в [Л. 1].

Кадровая развертка. Кадровая развертка телевизора состоит из блокинг-генератора на правом триоде лампы L_{4-4} , предварительного усилителя и выходного каскада на триодной и пентодной частях лампы L_{4-3} . пилообразное напряжение с частотой кадров формируется конденсатором C_{8-3} резисторами R_{8-13} , R_{8-14} и R_{8-15} , включенными в катодную цепь лампы блокинг-генератора. При отпирании лампы импульс анодного тока заряжает конденсатор C_{8-3} до напряжения на катоде лампы, когда лампа заперта, конденсатор разряжается. Полученное таким путем напряжение в виде «падающей пилы» после поворота фазы на 180° в предварительном усилителе поступает на управляющую сетку лампы выходного каскада в требуемой полярности.



осуществляется с помощью цепи отрицательной обратной связи, для чего используется ТВК с тремя обмотками (Tr_{6-1}). Обмотки II и III этого трансформатора намотаны в два провода и имеют одинаковое число витков. Начала этих обмоток соединены вместе, в то время как конец обмотки II, нагруженной на кадровые отклоняющие катушки, соединяется с шасси непосредственно, а конец обмотки III соединяется через терморезистор R_{6-16} . При отсутствии нагрузки э. д. с., наводимые в каждом из этих обмоток, равны, и разность потенциалов между их концами равна нулю. В реаль-

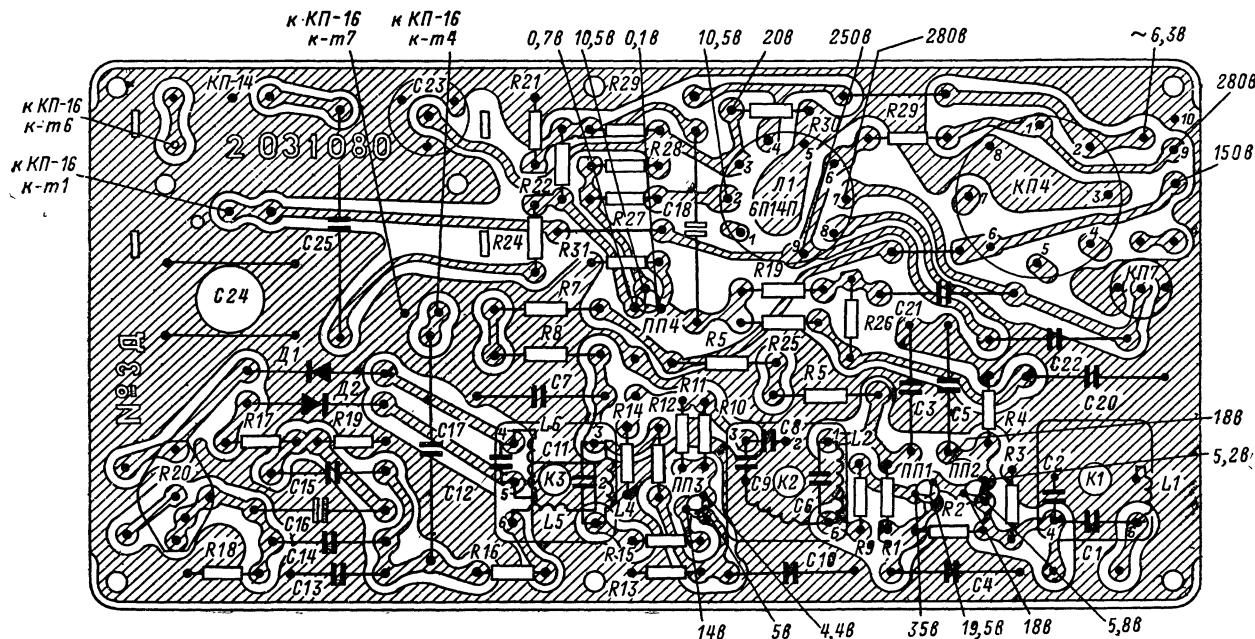
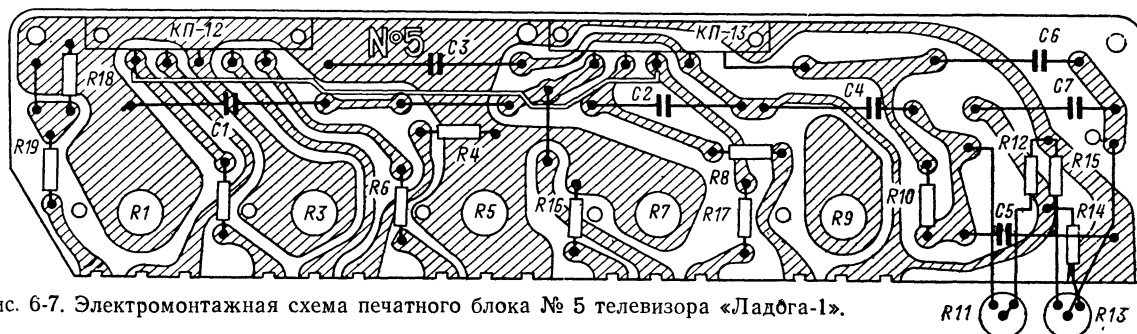


Рис. 6-6. Электромонтажная схема печатного блока № 3Д телевизора «Ладoga-1».



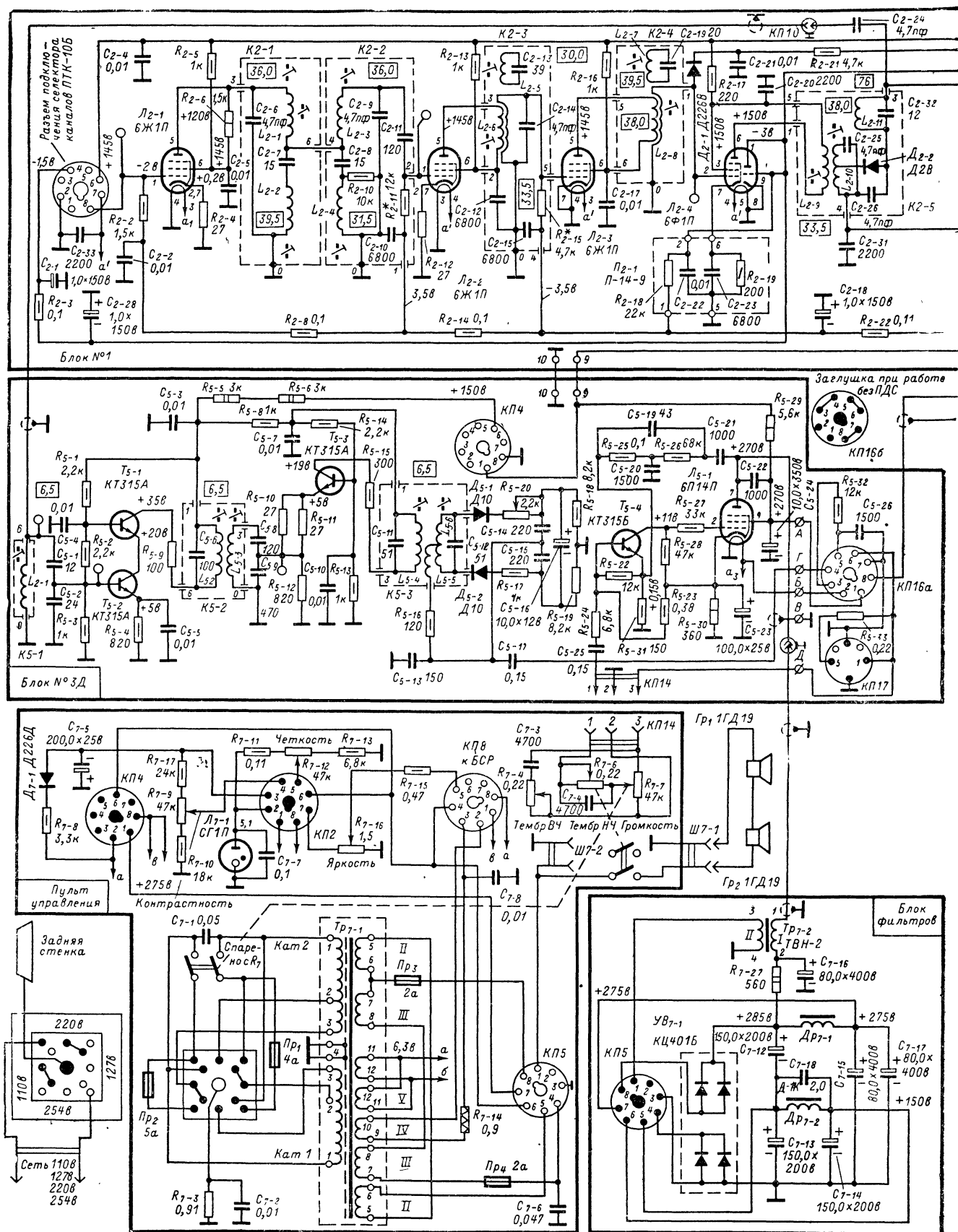
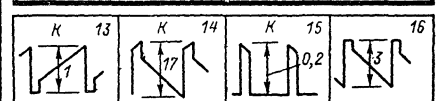
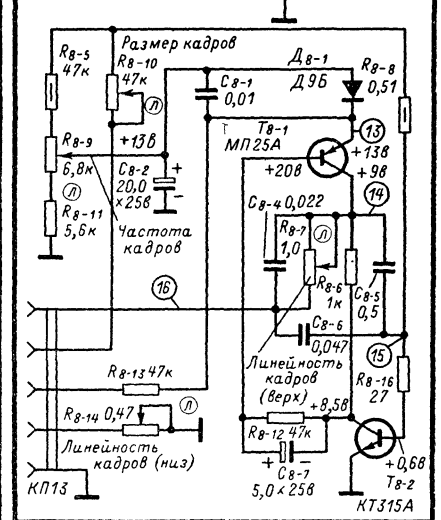
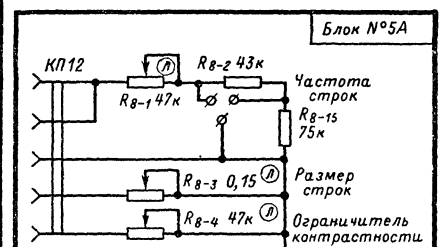
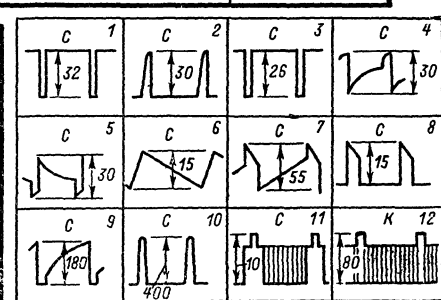
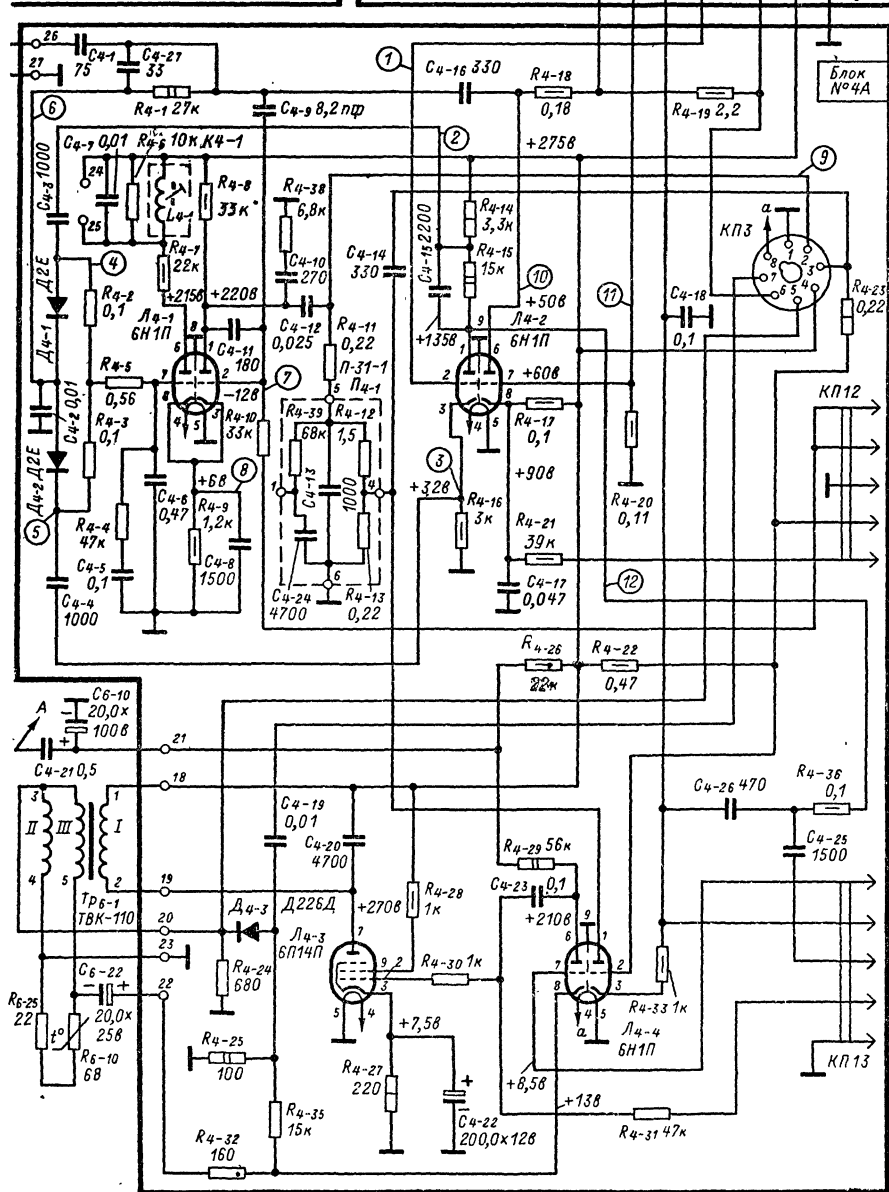
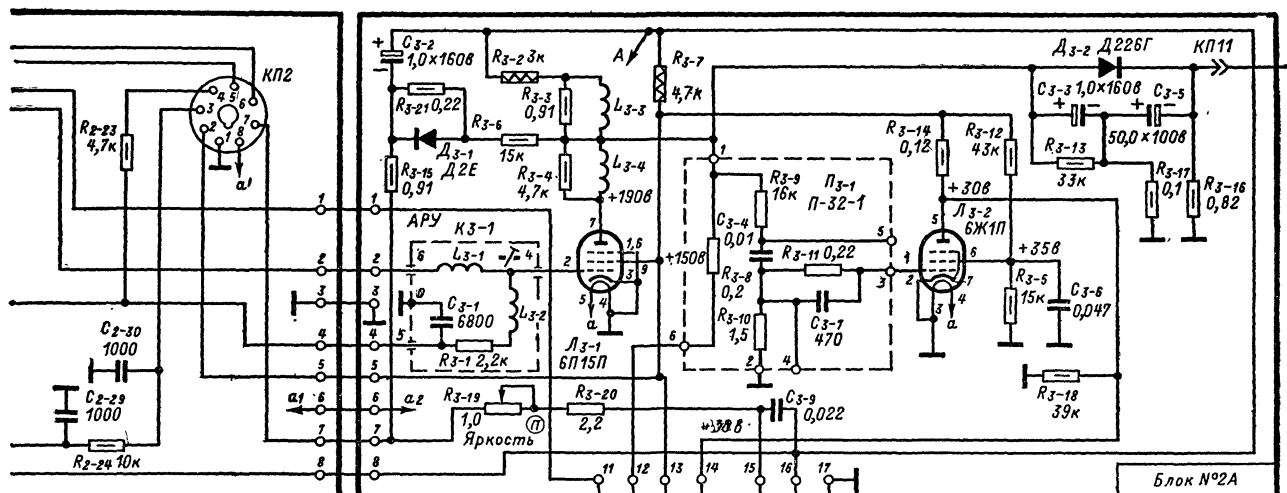


Рис. 6-9. Принципиальная схема телевизора «Ладога-203» (без блока строчной развертки и селектора каналов).



Блок питания. Выпрямитель собран на кремниевом столбе $УВ_{7.1}$ по схеме удвоения напряжения. С конденсаторов $C_{7.15}$, $C_{7.17}$ снимается напряжение 275 в; с конденсатора $C_{7.13}$ — напряжение 150 в, со стабилизатора $Л_{7.1}$ — стабилизированное напряжение 150 в. Отрицательное напряжение 9 в получается путем выпрямления напряжения накала диодом $Д_{7.1}$.

Конструкция. Конструкция телевизора «Ладога-1» (рис. 6-3) не отличается от конструкции телевизора «Аврора». Печатные блоки и блок строчной развертки смонтированы на вертикальном шасси, закрепленном в футляре телевизора на выдвижной доске. На этой же доске установлены два отдельных блока: пульт управления с силовым трансформатором и блок фильтров с выпрямительными диодами, конденсаторами и дросселями. Блок фильтров расположен в нижней части телевизора.

Электромонтажные схемы печатных блоков показаны на рис. 6-4—6-8.

С-2. ТЕЛЕВИЗОР ЛПТ-59-11 («ЛАДОГА-203»)

Основные отличия лампово-полупроводникового телевизора II класса «Ладога-203» от телевизора «Ладога-201» — заключаются в следующем: 1) установлен кинескоп 59ЛК2Б (вместо 47ЛК2Б); 2) используется селектор каналов типа ПТК-10Б (вместо ПТК-5); 3) введена схема защиты экрана кинескопа от прожога при выходе из строя строчной развертки; 4) изменена схема выходного каскада строчной развертки, что обусловлено применением новых унифицированных узлов ТВС-110ЛЗ, РЛС-110Л1 и ОС-110ЛА; 5) в кадровый развертку телевизора наряду с лампами используются транзисторы; 6) в схему синхронизации введен инвер-

сный каскад с разделенной нагрузкой и применен фазовый детектор с симметричной подачей синхронизирующих импульсов.

Принципиальная схема телевизора показана на рис. 6-9.

Видеоусилитель. Защита экрана кинескопа от прожога при выходе из строя строчной развертки (например, при межэлектродных пробоях внутри лампы) осуществляется подачей через резисторы $R_{3.19}$ и $R_{3.20}$ напряжения «вольтодобавки» на регулятор яркости $R_{7.16}$. В случае пропадания строчной развертки напряжение «вольтодобавки» падает до нуля, кинескоп запирается и свечение люминофора экрана прекращается. При возобновлении развертки появляется напряжение «вольтодобавки», и кинескоп отпирается.

Строчная развертка. В схеме задающего генератора изменены номиналы некоторых элементов, а также режим работы лампы $Л_{4.1}$. Регулировка частоты строк осуществляется изменением сопротивления переменного резистора $R_{8.1}$, включенного в цепь сетки правого триода лампы $Л_{4.1}$ и подключением с помощью перемычки резисторов $R_{8.2}$ либо $R_{8.15}$.

Изменения в выходном каскаде строчной развертки обусловлены применением отклоняющей системы ОС-110ЛА и строчного трансформатора ТВС-110ЛЗ (рис. 6-10). Строчный трансформатор типа ТВС-110ЛЗ отличается от ТВС-110Л1 моточными данными анодной обмотки, сопротивлением обмотки накала высоковольтного кенотрона (7 ом вместо 5), отсутствием дополнительной обмотки и рассчитан на совместную работу с отклоняющей системой типа ОС-110ЛА.

Последовательно со строчными отклоняющими катушками включен регулятор линейности строк РЛС-110Л1 и корректирующий конденсатор $C_{6.6}$. Кон-

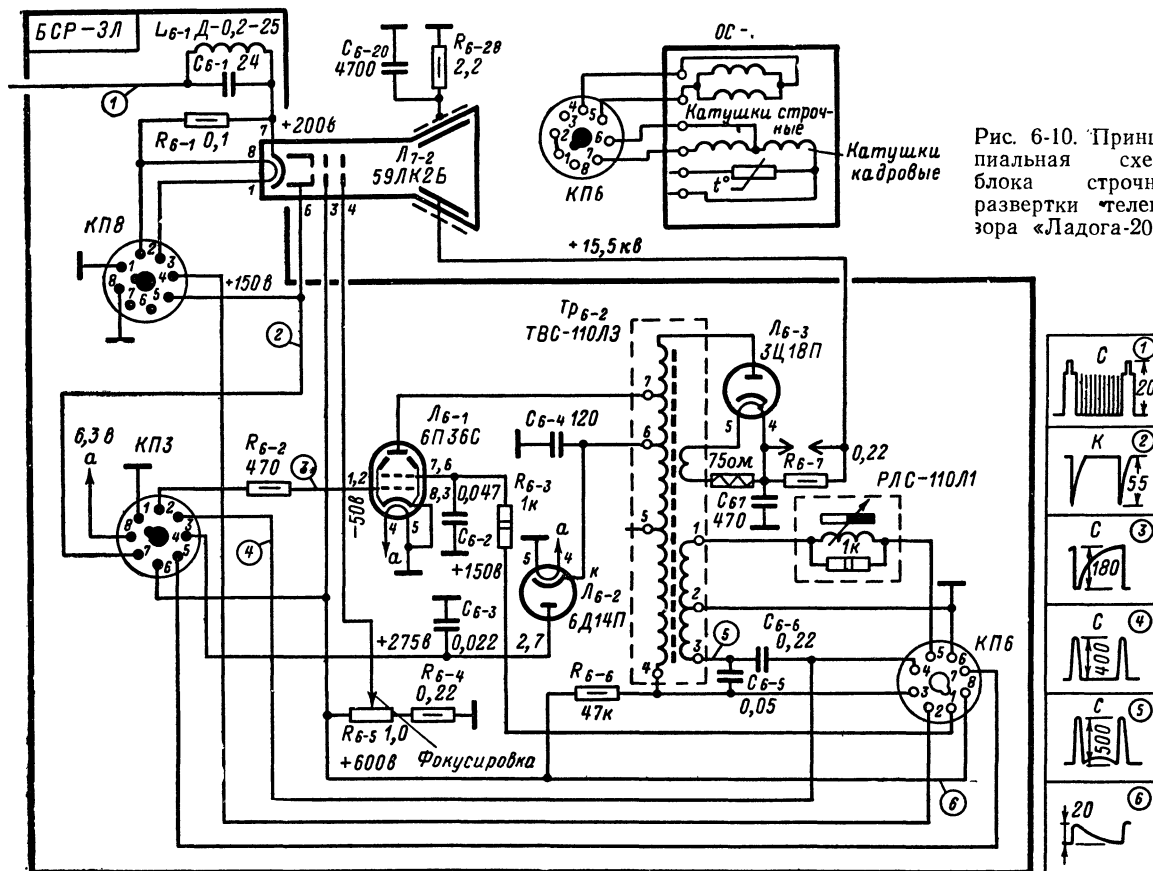


Рис. 6-10. Принципиальная схема блока строчной развертки телевизора «Ладога-203».

денсатор «вольтодобавки» $C_{6.5}$ включен в разрыв анодной обмотки трансформатора ТВС-110ЛЗ между выводами 4—3. Это позволило заземлить среднюю точку (вывод 2) обмотки 1—3 трансформатора и снять с одной ее половины напряжение импульсов для схем АРУ, АПЧФ и стабилизации размера изображения по горизонтали (и напряжения на втором аноде кинескопа) при колебаниях напряжения сети и старении ламп.

Схема стабилизации выполнена на правом триоде лампы $Л_{4.4}$. На анод и сетку этой лампы подаются импульсы положительной полярности с обмотки 2—3 ТВС. Кроме того, на сетку поступает отрицательное (по отношению к катоду) напряжение с переменного резистора $R_{8.3}$ *Размер строк*. Напряжение на катоде лампы поддерживается постоянным при помощи стабилизатора СГП ($Л_{7.1}$), а амплитуда импульсов обратного хода на сетке лампы меняется в зависимости от тока, протекающего в отклоняющих катушках, т. е. от ширины растра. При отпирании лампы импульсами обратного хода в ее анодной цепи возникает ток, заряжающий конденсатор $C_{4.14}$. При этом обкладка конденсатора, соединенная через фильтр $R_{4.12}$, $R_{4.13}$, $C_{4.13}$ с управляющей сеткой выходной лампы строчной развертки $Л_{6.1}$, приобретает отрицательный потенциал. При уменьшении ширины растра напряжение на сетке регулирующей лампы падает, конденсатор $C_{4.14}$ заряжается до меньшего напряжения, отрицательное напряжение на управляющей сетке выходной лампы уменьшается, и амплитуда отклоняющего тока возрастает. В результате восстанавливаются первоначально установленный размер изображения и напряжение на втором аноде кинескопа.

Кадровая развертка. Кадровая развертка состоит из задающего генератора на транзисторах $T_{8.1}$ и $T_{8.2}$ с разной проводимостью (*p-n-p* и *n-p-n*), предварительного усилителя на левом триоде лампы $Л_{4.4}$ и выходного каскада на лампе $Л_{4.3}$.

Транзистор $T_{8.1}$ работает в ключевом режиме, а транзистор $T_{8.2}$ во время обратного хода находится в насыщении, во время формирования линейно падающего участка выходного напряжения работает в усилительном режиме с глубокой отрицательной обратной связью. пилообразное напряжение формируется на конденсаторе $C_{8.5}$, который быстро заряжается через открытый до насыщения транзистор $T_{8.1}$, резистор $R_{8.16}$ и переход эмиттер — база транзистора $T_{8.2}$, а затем медленно разряжается через резистор $R_{8.6}$, коллекторно-базовый переход транзистора $T_{8.2}$ и резистор $R_{8.16}$. Возможность протекания тока через транзистор $T_{8.2}$ определяется тем, что к его базе через резистор $R_{8.8}$ приложено постоянное отпирающее напряжение, а к коллектору (через резистор $R_{8.6}$) — напряжение с конденсатора $C_{8.5}$. Величина тока через транзистор при постоянном базовом потенциале не зависит от напряжения на коллекторе, пока оно не уменьшится до 0,5—1 в. В данном случае ток транзистора определяется током разряда конденсатора $C_{8.5}$. Постоянство величины этого тока обуславливает линейный закон разряда конденсатора $C_{8.5}$ в отличие от экспоненциального закона, присущего схемам, где разряд конденсатора происходит через активное сопротивление.

Транзистор $T_{8.1}$ во время прямого хода развертки заперт положительным напряжением на конденсаторе $C_{8.7}$ и в формировании пилообразного напряжения не участвует. Когда напряжение на коллекторе транзистора $T_{8.2}$ вследствие разряда конденсатора $C_{8.5}$ понизится до некоторого уровня, при котором еще не появилась нелинейность, транзистор $T_{8.1}$ открывается, так как по-

ложительный запирающий потенциал на его базе уменьшился. Происходит лавинообразный процесс увеличения тока через транзистор $T_{8.1}$ и заряд конденсатора $C_{8.5}$ через этот транзистор и промежуток база—эмиттер транзистора $T_{8.2}$. При этом заряд конденсатора $C_{8.5}$ имеет экспоненциальный характер, т. е. по мере приближения напряжения на его обкладках к напряжению на конденсаторе $C_{8.2}$ ток заряда уменьшается, напряжение эмиттер—база транзистора $T_{8.2}$ также уменьшается. Это вызывает уменьшение тока через транзистор $T_{8.2}$ и возрастание напряжения на его коллекторе, которое через цепь $C_{8.7}$, $R_{8.12}$ передается на базу транзистора $T_{8.1}$, что еще больше уменьшает ток через транзисторы $T_{8.1}$ и $T_{8.2}$; в результате транзистор $T_{8.1}$ запирается, и начинается процесс формирования пилообразного напряжения за счет разряда конденсатора $C_{8.5}$.

Частота кадров определяется величиной напряжения, до которого может зарядиться конденсатор $C_{8.5}$, и регулируется изменением напряжения на эмиттере транзистора $T_{8.1}$ при помощи переменного резистора $R_{8.9}$. Регулировка размера изображения по вертикали производится изменением напряжения питания генератора при помощи переменного резистора $R_{8.10}$. Чтобы при этом не менялась частота колебаний, одновременно изменяется напряжение на резисторе $R_{8.9}$ и базе транзистора $T_{8.2}$. Синхронизация колебаний генератора осуществляется импульсами положительной полярности, поступающими на эмиттер транзистора $T_{8.1}$. Синхронизирующий импульс повышает напряжение на эмиттере запертого транзистора $T_{8.1}$, ускоряя его отпирание.

Пилообразное напряжение с конденсатора $C_{8.5}$ подается на сетку левого триода лампы $Л_{4.4}$ при помощи емкостного делителя $C_{8.4}$, $C_{8.6}$ и включенного параллельно конденсатору $C_{8.4}$ переменного резистора $R_{8.7}$, обеспечивающего совместно с $C_{8.5}$ введение в выходное пилообразное напряжение параболической составляющей. Изменяя ее величину резистором $R_{8.7}$, регулируют линейность в верхней части растра. Стабилизация размера по вертикали осуществляется при помощи обмотки III ТВК, с которой снимается напряжение обратной связи, пропорциональное току отклонения и через конденсатор $C_{6.22}$ и резистор $R_{4.32}$ подается на резисторы $R_{4.35}$ и $R_{4.25}$ в катод левого триода лампы $Л_{4.4}$. Питание анодной цепи этого триода производится через развязывающую цепь $R_{4.25}$, $C_{6.10}$.

Для регулировки линейности в нижней части растра в цепь управляющей сетки лампы выходного каскада $Л_{4.3}$ включен переменный резистор $R_{8.14}$. Ограничение импульсов обратного хода достигается подсоединением параллельно первичной обмотке ТВК конденсатора $C_{4.20}$. Импульсы гашения отрицательной полярности снимаются на модулятор кинескопа с резистора $R_{4.25}$, подсоединенного через диод $D_{4.3}$ параллельно вторичной обмотке ТВК.

Блок синхронизации. Блок синхронизации состоит из амплитудного селектора на пентоде $Л_{3.2}$, инверсного каскада с разделенной нагрузкой на левом триоде лампы $Л_{4.2}$ и схемы АПЧФ.

С нагрузки в катод (резистор $R_{4.16}$) и аноде (резистор $R_{4.14}$) триода синхроимпульсы соответственно отрицательной и положительной полярности подаются через конденсаторы $C_{4.4}$ и $C_{4.3}$ на фазовый детектор, выполненный на диодах $D_{4.1}$ и $D_{4.2}$. В точку соединения диодов поступает пилообразное напряжение сравнения, которое формируется из импульсов обратного хода строчной развертки при помощи интегрирующей цепи

R_{4-1} , C_{4-2} . Управляющее напряжение с выхода детектора через фильтр нижних частот R_{4-5} , C_{4-6} , R_{4-4} , C_{4-5} поступает на задающий генератор строчной развертки, выполненный на лампе L_{4-1} по схеме несимметричного мультивибратора.

Кадровые синхронизирующие импульсы выделяются интегрирующей цепью R_{4-35} , C_{4-26} , R_{8-13} , C_{8-1} , после чего поступают на эмиттер транзистора T_{8-1} .

Конструкция. Отличительной особенностью конструкции телевизора «Ладога-203» является крепление отдельных функциональных блоков и кинескопа непосредственно к футляру телевизора. Выходной каскад строчной развертки выполнен в виде отдельного блока, в котором радиолампы размещены над выходным трансформатором.

6-3. ТЕЛЕВИЗОРЫ ЛПТ-59-И-1 («ЛАДОГА-204»), ЛПТ-61-И-1 («ЛАДОГА-205Д») И ЛПТ-61-И-2 («ЛАДОГА-205»)

Лампово-полупроводниковые телевизоры II класса ЛПТ-59-И-1 и ЛПТ-61-И-2 отличаются только типом кинескопа (59ЛК2Б и 61ЛК1Б соответственно), а также тем, что в телевизоре ЛПТ-61-И-1 («Ладога-205Д») установлен селектор каналов дециметрового диапазона СК-Д-1, а в телевизоре ЛПТ-61-И-2 предусмотрена возможность установки этого селектора.

Телевизор состоит из 11 блоков, соединенных жгутами с контактными разъемами на концах. Видеоусилитель (блок № 3), канал звукового сопровождения (блок № 5), синхронизация развертывающих устройств (блоки № 3 и 4), строчная (блоки № 4, 6, 8) и кадровая (блоки № 4 и 8) развертки выполнены по принципиальной схеме телевизора ЛПТ-59-И («Ладога-203»); изменены только обозначения блоков и элементов схемы.

Видеоусилитель выполнен на лампе $3L_1$, УПЧЗ — на транзисторах $5T_1$ и $5T_2$ и УНЧ — на транзисторе $5T_4$ и лампе $5L_1$. Амплитудный селектор синхронизирующих импульсов собран на лампе $3L_2$, инверсный каскад — на левом триоде лампы $4L_1$, фазовый детектор схемы АПЧИФ — на диодах $4D_1$ и $4D_2$. В строчной развертке используются лампы $6L_2$ (задающий генератор), $6L_1$ (выходная), $6L_2$ (демпфер) и $6L_3$ (высоковольтный кенотрон); схема стабилизации размера выполнена на левом триоде лампы $4L_3$. Задающий генератор кадровой развертки выполнен на транзисторах $8T_1$ и $8T_2$, предварительный усилитель — на правом триоде лампы $4L_3$, выходной каскад — на лампе $4L_4$.

Входные устройства. Селектор каналов ПТК-11Д и регуляторы контрастности, яркости, четкости, громкости и подстройки гетеродина (блок № 1) установлены на общем кронштейне и подключены к остальной схеме при помощи разъемов $1Ш2$, $1Ш2Б$, $1Ш5$ (рис. 6-11). Блок № 10 объединяет селектор каналов СК-Д-1 (устанавливается в телевизоре «Ладога-205Д»), переключатель МВ-ДМВ и печатную плату № 10.

Переключатель $10B_1$ в положении ДМВ снимает напряжение 150 в с контакта разъема $2Ш1$, откуда оно поступает на аноды ламп УВЧ и гетеродина селектора каналов ПТК-11Д, а с 4-го контакта этого разъема — напряжение АРУ. В печатной плате блока № 10 напряжение 150 в с помощью гасящих резисторов $10R_6$ и $10R_7$ и стабилитрона $10D_1$ понижается до 12 в, необходимых для питания селектора каналов СК-Д-1. Каскад на транзисторе $10T_3$ изменяет полярность напряжения АРУ. Регулировка усиления УВЧ селектора каналов СК-Д-1 производится положительным напряжением, подаваемым на базу его транзистора. Переменный резистор $10R_{11}$ предназначен для установки режима транзистора $10T_3$.

Усилитель промежуточной частоты изображения. Как видно из принципиальной схемы (рис. 6-12), сигнал

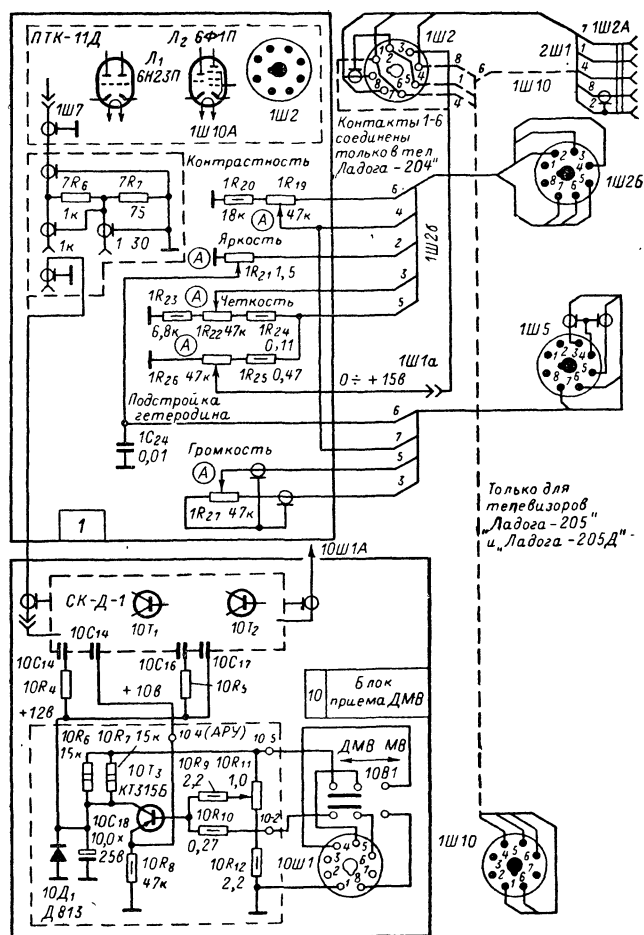
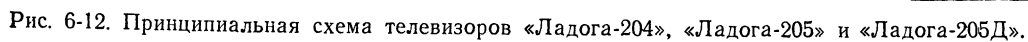


Рис. 6-11. Входные устройства телевизоров «Ладога-204», «Ладога-205» и «Ладога-205Д».

Принято следующее обозначение разъемов: первая цифра указывает номер блока, которому принадлежит разъем, буква Ш — символ разъема, а следующая за ней цифра — номер блока, к которому разъем подключается; если соединение между блоками осуществляется двумя или более разъемами, то к их обозначению добавляется буква (А, Б).

с выхода селектора каналов ПТК-11Д поступает на управляющую сетку лампы первого каскада УПЧИ (блок № 2) через резонансный контур, образованный катушкой индуктивности $2L_1$ и входной емкостью лампы $2L_1$. Сигнал при этом усиливается в 3—5 раз. К сеточной цепи лампы подсоединен режекторный контур $2L_2$, $2C_2$, настроенный на частоту 41 МГц. В остальной схеме не отличается от схемы УПЧИ телевизора «Ладога-1».

Триодная часть лампы $2L_4$ используется для устранения перегрузки канала изображения при включении телевизора. Ключевая АРУ, выполненная на правом триоде лампы $4L_1$ (блок № 4), имеет отдельные цепи подачи регулирующего напряжения на УПЧИ и на селекторы каналов. Задержка АРУ по второй цепи осуществляется при помощи диода $2D_3$, для чего в эту цепь с переменного резистора $2R_{23}$ подается от стабилизированного источника 150 в положительное напряжение. Пока сигнал на входе телевизора мал и отрицательное напряжение АРУ меньше положительного по абсолютной величине, снимаемого с резистора $2R_{23}$, диод открыт, регулирующее напряжение на селекторы каналов не поступает и они



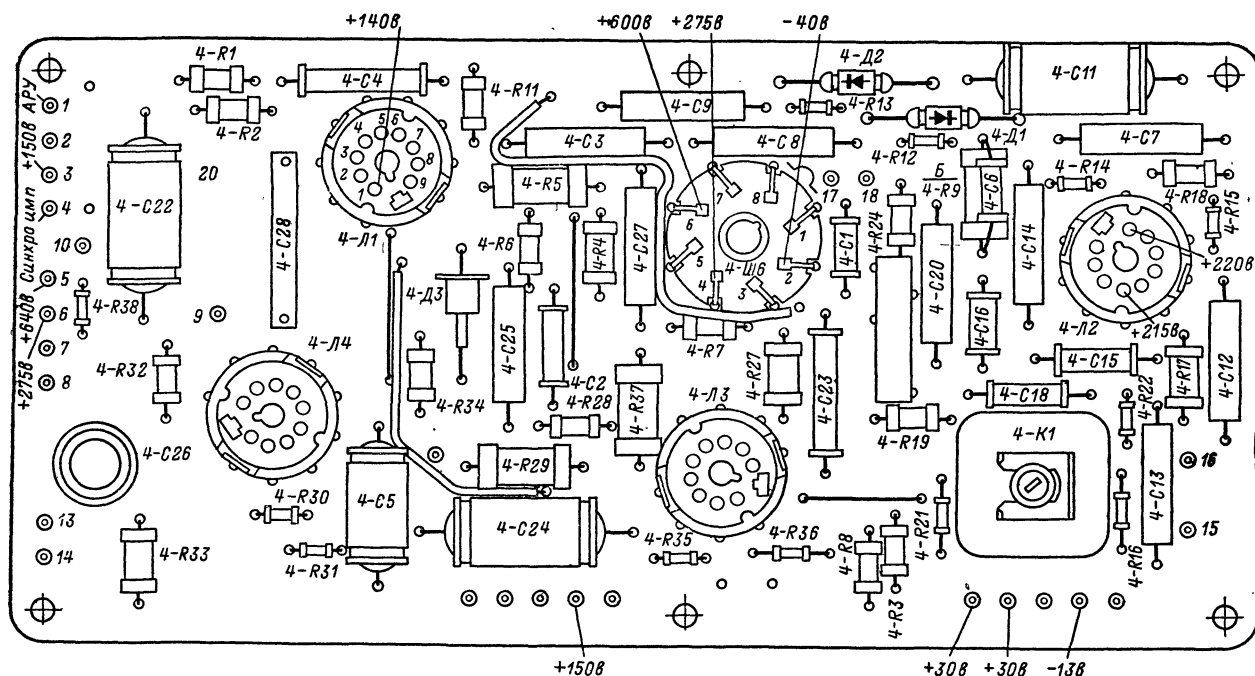


Рис. 6-15. Расположение деталей печатного блока 4 телевизоров «Ладога-204», «Ладога-205» и «Ладога-205Д».

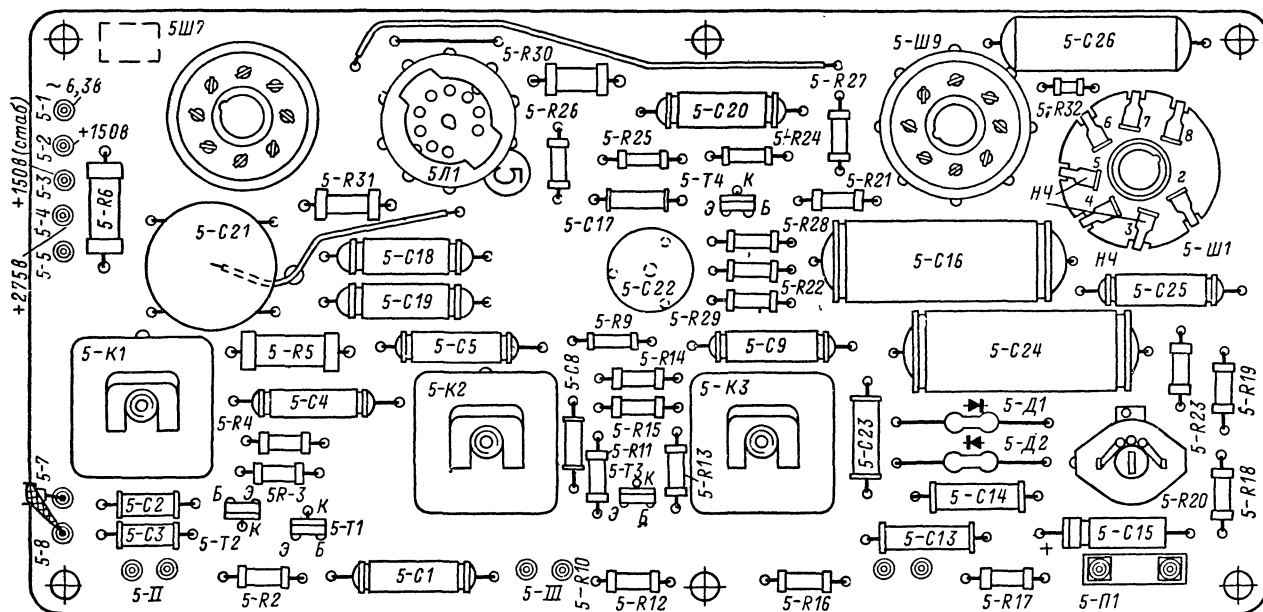


Рис. 6-16. Расположение деталей печатного блока 5 телевизоров «Ладога-204», «Ладога-205» и «Ладога-205Д».

работают в режиме наибольшего усиления. С увеличением сигнала до 200 мкв напряжение АРУ возрастает, диод запирается и на селекторы каналов начинает поступать регулирующее напряжение, определяемое уровнем сигнала на входе телевизора.

Выпрямитель на диоде 2Д₄ создает отрицательное напряжение 7 в, которое подается на регулятор контрастности 1R₁₉ и триодную часть лампы 2Л₄.

Защита экрана кинескопа от прожога при выходе из

строения кадровой развертки. В телевизор введена схема защиты экрана кинескопа от прожога его узкой горизонтальной линией, возникающей при выходе из строя кадровой развертки (блок № 11). Защита достигается тем, что питание ускоряющего электрода кинескопа производится от выпрямителя на диодах 11Д₁—11Д₄, который выпрямляет импульсы обратного хода кадровой развертки; при выходе развертки из строя напряжение на ускоряющий электрод не подается и экран гаснет.

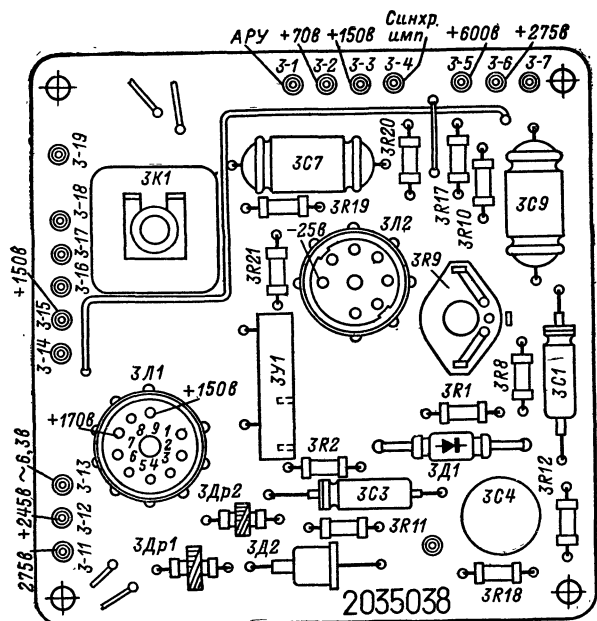


Рис. 6-17. Расположение деталей печатного блока 3 телевизоров «Ладога-204», «Ладога-205» и «Ладога-205Д»

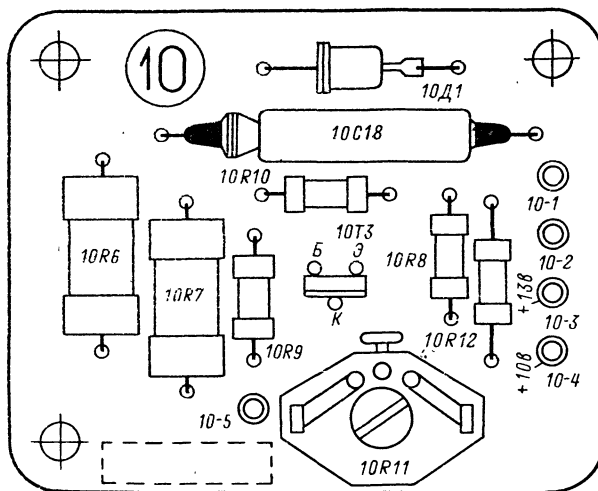


Рис. 6-18. Расположение деталей печатной платы блока 10 телевизоров «Ладога-204», «Ладога-205» и «Ладога-205Д».

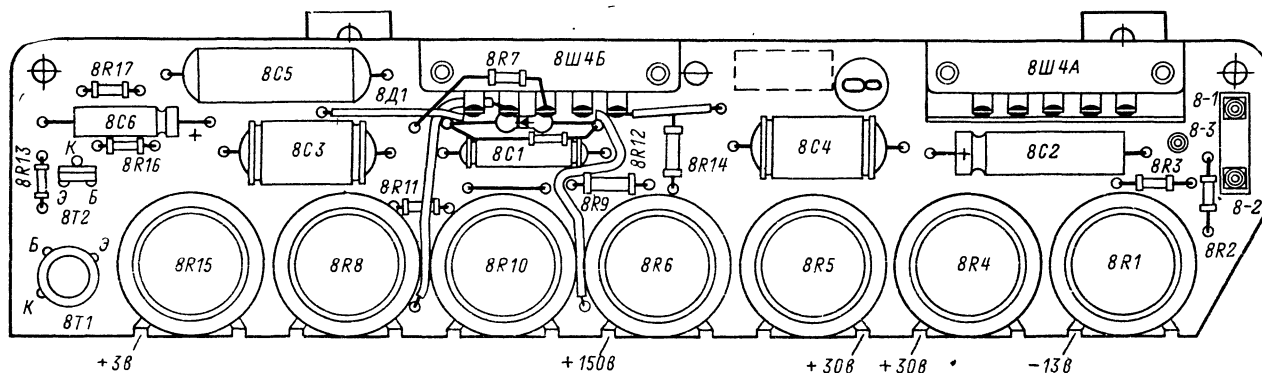


Рис. 6-19. Расположение деталей печатного блока 8 телевизоров «Ладога-204», «Ладога-205» и «Ладога-205Д».

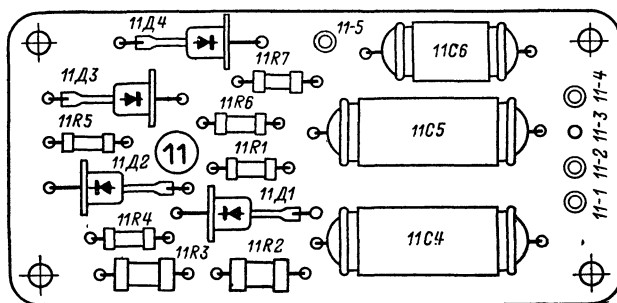


Рис. 6-20. Расположение деталей печатного блока 11 телевизоров «Ладога-204», «Ладога-205» и «Ладога-205Д».

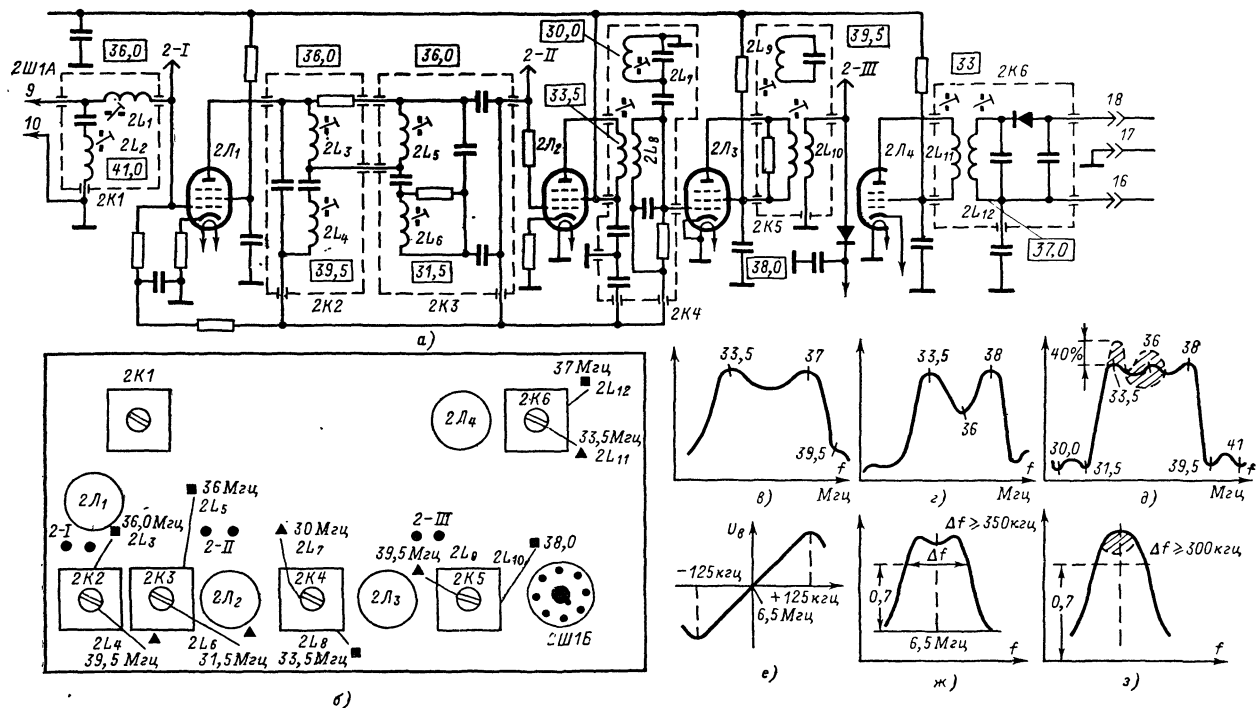


Рис. 6-21. Настроечная карта телевизоров «Ладоба-204», «Ладоба-205» и «Ладоба-205Д».

а — упрощенная схема УПЧИ; б — расположение органов настройки контуров (сердечники контуров, настраиваемых со стороны деталей, обозначены треугольниками, со стороны печати — квадратами); в — частотная характеристика четвертого каскада УПЧИ; г — результирующая частотная характеристика второго — четвертого каскадов УПЧИ; д — результирующая частотная характеристика УПЧИ; е — частотная характеристика дробного детектора; ж — частотная характеристика УПЧИЗ; з — частотная характеристика УПЧИЗ с входным контуром.

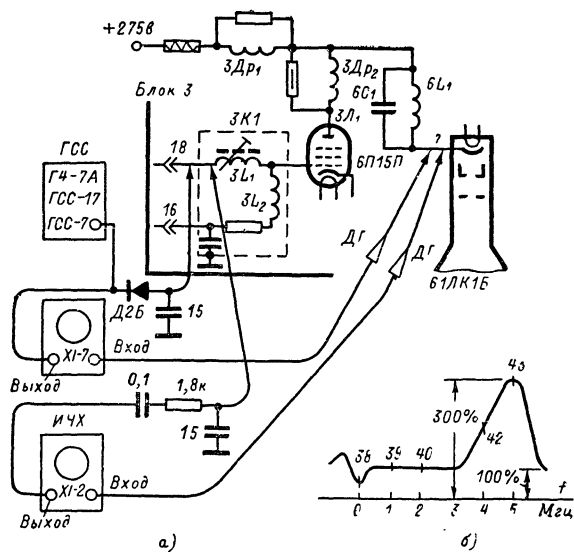


Рис. 6-22. Подключение приборов:

а — при настройке видеосушителя; б — его частотная характеристика.

Блок питания. Выпрямитель блока питания (блок № 7) собран на кремниевом столбе 7Д1 по схеме удвоения выпрямленного напряжения. С конденсатора 7С9 в одном из плеч схемы снимается напряжение 150 в, а напряжение на выходе фильтра 7Др1, 7С11, 7С12 со-

ставляет 275 в. Стабилизированное напряжение 150 в снимается со стабилитрона 7Л1, подключенного к выходу этого фильтра через резистор 3Р6.

Конструкция. Шасси, блок питания, кронштейн с селектором каналов ПТК-11Д и основными органами управления и блок приема ДМВ крепятся непосредственно к футляру телевизора. Блок строчной развертки, выполненный в виде отдельной конструкции, прикреплен к шасси. Блоки телевизора представлены на рис. 6-13, а, расположение деталей печатных блоков показано на рис. 6-14—6-20.

Указания по настройке и проверке частотных характеристик. Усилитель промежуточной частоты изображен. Перед настройкой усилителя ручки регуляторов четкости и контрастности поворачиваются до упора, первая против, а вторая — по часовой стрелке; селектор каналов ПТК-11Д отключается. Порядок настройки: четвертый каскад, второй и третий каскады, первый каскад, входной контур.

Для настройки четвертого каскада выход ИЧХ через конденсатор емкостью 1000 пФ подсоединяется к контрольной точке 2-III (рис. 6-21, а), а вход ИЧХ — к выходу видеодетектора (контрольная точка 18 — вторая сверху перемычка между блоками 2 и 3). После настройки четвертого каскада (рис. 6-21, в) выход ИЧХ соединяют с контрольной точкой 2-II, вход ИЧХ остается подсоединенным к выходу видеодетектора. Настройку второго и третьего каскадов производят по результирующей частотной характеристике трех каскадов (рис. 6-21, г). Для настройки первого каскада сигнал с выхода ИЧХ подают на контрольную точку 2-I, а для настройки входного контура — на штырь 9 разъема Ш1А; вход ИЧХ по-прежнему остается подключенным к выходу видеодетектора. Форма результирующей частотной характеристики УПЧИ показана на рис. 6-21, д.

Таблица 6-1

Моточные данные контурных катушек и корректирующих дросселей телевизора Ладога-1» («Атлант»)

Обозначение на схеме	Число витков	Провод	Индуктив- ность, <i>мкГн</i>	Тип намотки	
<i>K2-1</i> {	<i>L</i> ₂₋₁	10	ПЭЛ 0,35	0,59	Рядовая
	<i>L</i> ₂₋₂	11	ПЭЛО 0,64	0,7	»
<i>K2-2</i> {	<i>L</i> ₂₋₃	9	ПЭЛ 0,35	0,64	»
	<i>L</i> ₂₋₄	12	ПЭЛО 0,64	1,16	»
<i>K2-3</i> {	<i>L</i> ₂₋₅	9	ПЭЛО 0,64	0,62	Рядовая
	<i>L</i> ₂₋₆ {	12	ПЭЛ 0,35	0,91	Рядовая в два провода
		12	ПЭВ-2 0,35		
<i>K2-4</i> {	<i>L</i> ₂₋₇	10	ПЭЛО 0,64	0,68	Рядовая
	<i>L</i> ₂₋₈ {	7	ПЭЛ 0,35	0,47	Рядовая в два провода
		7	ПЭВ-2 0,35		
<i>K2-5</i> {	<i>L</i> ₂₋₉	12	ПЭЛ 0,35	1,63	Рядовая на манжетке, отвод от 5-го витка
	<i>L</i> ₂₋₁₀	15	ПЭЛ 0,35	1,82	
		<i>L</i> ₂₋₁₁	—	ПЭЛ 0,23	0,33
<i>K3-1</i> {	<i>L</i> ₃₋₁	78	ПЭЛО 0,23	65	«Универсаль» на манжетке
	<i>L</i> ₃₋₂	110	ПЭЛО 0,23	125	«Универсаль»
<i>K3-3</i> {	<i>L</i> ₃₋₃	124	ПЭЛО 0,23	160	«Универсаль», намотана на ре- зисторе <i>R</i> ₃₋₃
	<i>L</i> ₃₋₄	72	ПЭЛО 0,23	57	«Универсаль», намотана на ре- зисторе <i>R</i> ₃₋₄
<i>K4-1</i>	<i>L</i> ₄₋₁	1 090	ПЭВ 0,12	9 300	«Универсаль»
<i>K5-1</i>	<i>L</i> ₅₋₁	36	ПЭЛО 0,23	12,5	«Универсаль»
<i>K5-2</i> {	<i>L</i> ₅₋₂	22	ПЭЛО 0,23	5 ± 10%	»
	<i>L</i> ₅₋₃	21	ПЭЛО 0,23	5 ± 10%	»
<i>K5-3</i> {	<i>L</i> ₅₋₄	42	ПЭЛ 0,23	—	Рядовая
	<i>L</i> ₅₋₅	14	ПЭВ-2 0,23	—	»
	<i>L</i> ₅₋₆ {	15	ПЭЛ 0,23	—	Рядовая в два провода
		15	ПЭВ-2 0,23		

Примечание. Дроссель L_{6-1} типа Д-0,2-25, индуктивность его 5 $\mu\text{кГн}$.

Таблица 6-2

Моточные данные контурных катушек и корректирующих дросселей телевизоров «Ладога-204», «Ладога-205» и «Ладога-205Д»

Обозначение на схеме	Число витков	Провод	Индуктив- ность, <i>мкГн</i>	Тип намотки
$2KO-1 \left\{ \begin{array}{l} 2L_1 \\ 2L_2 \end{array} \right.$	10 20	ПЭЛШО 1,0 ПЭЛШО 0,64	0,7	Рядовая »
$2KO-2 \left\{ \begin{array}{l} 2L_3 \\ 2L_4 \end{array} \right.$	10 10	ПЭЛ 0,35 ПЭЛО 0,64	1,07 0,7	» »
$2KO-3 \left\{ \begin{array}{l} 2L_5 \\ 2L_6 \end{array} \right.$	9 11	ПЭЛ 0,35 ПЭЛ 0,35	0,91 1,24	» »
$2KO-4 \left\{ \begin{array}{l} 2L_7 \\ 2L_8 \end{array} \right.$	9 {12 {12	ПЭЛО 0,64 ПЭЛ 0,35 ПЭВ-2 0,35	0,62 0,91 }	» Рядовая в два провода

Обозначение на схеме	Число витков	Провод	Индуктив- ность, мкГн	Тип намотки
2КО-5 { $2L_9$ $2L_{10}$	10	ПЭЛ 0,64	0,68	Рядовая
	{ 7 7	ПЭЛ 0,35 ПЭЛ-2 0,35	{ 0,47	Рядовая в два провода
2КО-6 { $2L_{11}$ $2L_{12}$	12	ПЭЛ 0,35	1,63	Рядовая
	15	ПЭЛ 0,35	1,82	Рядовая на манжетке, отвод от 5-го витка
3КО-1 { $3L_1$ $3L_2$	78	ПЭЛ 0,23	65	«Универсаль»
	110	ПЭЛО 0,23	125	»
3Др ₁	173	ПЭЛО 0,15	160	«Универсаль» намотан на резисторе 3R ₃
3Др ₂	115	ПЭЛО 0,15	73	«Универсаль» намотан на резисторе 3R ₄
4КО-1 4L ₁	1 360 ± 10%	ПЭВ-2 0,12	10 500 ± 8%	«Универсаль»
5КО-1 5L ₁	36	ПЭЛО 0,23	12,5	То же
5КО-2 { $5L_2$ $5L_3$	22	ПЭЛО 0,23	5 ± 10%	«Универсаль» на манжетке
	21	ПЭЛО 0,23	5 ± 10%	«Универсаль»
5КО-3 { $5L_4$ $5L_5$ $5L_6$	45	ПЭЛО 0,21	8,3 ± 10%	Рядовая
	15	ПЭЛ 0,2	1,6 ± 10%	»
	{ 17	ПЭЛ 0,2	2,2 ± 10%	»
	{ 17	ПЭЛО 0,2	2,2 ± 10%	»

Примечание. Дроссель 6L₁ типа Д-0,2-25, индуктивность его 25 мкГн.

Дробный детектор. Движок переменного резистора 5R₂₀ устанавливают в среднее положение. Выход ИЧХ через конденсатор емкостью 0,01 мкФ подсоединяют к контрольной точке 5-III, а вход ИЧХ подключают к выходу дробного детектора (контрольная точка 5-IV). Форма частотной характеристики показана на рис. 6-21, е. Нулевая точка кривой устанавливается на частоту 6,5 Мгц сердечником катушки индуктивности 5L₆, а симметрия вершин кривой относительно оси обеспечивается с помощью сердечника катушки индуктивности 5L₄. Более точная настройка дробного детектора производится по ГСС и ламповому вольтметру [Л. 6].

Усилитель промежуточной частоты звука. Выход ИЧХ подключается через конденсатор 0,01 мкФ к базе транзистора 5T₂ (контрольная точка 5-II), а детекторная головка ИЧХ — к контрольной точке 5-III. Настройка каскада производится сердечниками катушек 5L₂ и 5L₃ (рис. 6-21, ж). Для настройки входного контура выход ИЧХ подключают к контрольной точке 5-I через конденсатор емкостью 0,01 мкФ (или к контрольной точке 18 —

вторая сверху перемычка между блоками 2 и 3). Вход ИЧХ остается подключенным к контрольной точке 5-III. Настройка производится сердечником катушки 5L₁ (рис. 6-21, з). Настройку входного контура можно также производить, подавая сигнал на контрольную точку 5-II; настройка на частоту 6,5 Мгц производится по минимуму усиления (пунктир на рис. 6-21, з).

Видеоусилитель. Настройка видеоусилителя может производиться при помощи ИЧХ либо ИЧХ и ГСС (Г4-7А, ГСС-17, ГСС-7 и др.); подключение приборов показано на рис. 6-22. Межплатную перемычку 18 снимают, напряжение на вход ИЧХ снимается через детекторную головку с катода кинескопа.

Частоту ГСС устанавливают равной 38 Мгц; точная подстройка производится по частотной метке ИЧХ (рис. 6-22, б). Вращением сердечника катушки 3L₁ регулируют частоту максимального подъема, который должен быть на участке 4,8—5,2 Мгц. Моточные данные контуров и корректирующих дросселей телевизора приведены в табл. 6-1 и 6-2.

ГЛАВА СЕДЬМАЯ ТЕЛЕВИЗОР ПТ («ЭЛЕКТРОНИКА ВЛ-100»)

Портативный телевизор «Электроника ВЛ-100» собран на кинескопе 16ЛК1Б с диагональю экрана 16 см и углом отклонения 70°.

Принципиальная схема телевизора (второй выпуск) представлена на рис. 7-1.

Усилитель промежуточной частоты состоит из трех каскадов, выполненных на транзисторах T₁, T₂ и T₃ по схеме с общим эмиттером. Сигнал с выхода селектора каналов поступает на вход усилителя через фильтр сосредоточенной селекции, который состоит из ряда после-

довательных резонансных контуров. Четыре из них являются режекторными: L₂, C₂; L₃, C₃; L₅, C₅ и L₂₁, C₁₀₇ (настроены соответственно на частоты 39,5, 30, 39,5 и 31,5 Мгц); три контура: C₁, L₁; C₄, L₄ и L₂₂, C₁₀₈ формируют плоскую часть характеристики (частоты настройки 36, 37 и 36 Мгц соответственно). Резистор R₂ предназначен для согласования выхода ФСС с входным сопротивлением транзистора T₁.

Первый и второй каскады по своей схеме совершенно идентичны. Коллекторной нагрузкой служат в них

индуктивно-связанные контуры с катушками индуктивности L_6 , L_7 и L_8 , L_9 . Для расширения полосы пропускания применено шунтирование контуров резисторами R_7 и R_{14} . Делители R_1 , R_3 и R_8 , R_9 в цепи базы определяют режим транзистора по постоянному току, а резисторы R_5 и R_{12} в цепи эмиттера обеспечивают стабилизацию режима при изменении температуры. В обоих каскадах применена нейтрализация внутренней обратной связи, что позволяет значительно повысить усиление. Нейтрализация осуществляется при помощи внешней обратной связи, равной по величине внутренней, но противоположной ей по знаку. Напряжение для нейтрализации подается на базы транзисторов через конденсаторы C_7 и C_{11} . В базовые цепи транзисторов поступает также напряжение АРУ.

Третий каскад УПЧИ нагружен на полосовой фильтр L_{11} , C_{18} , L_{12} , C_{21} с внешнеемкостной связью через конденсатор C_{19} . Коллектор транзистора T_3 подсоединен к контуру L_{11} , C_{18} через резистор R_{18} , который уменьшает влияние коллекторной емкости на его настройку. К базе транзистора подсоединены режекторные контуры C_{16} , L_{23} и C_{15} , L_{10} , настроенные соответственно на частоты 41 и 31,5 МГц.

Видеоусилитель. Двухкаскадный видеоусилитель собран на транзисторах T_4 и T_5 . Первый каскад выполнен по схеме эмиттерного повторителя и предназначен для согласования выходного сопротивления видеодетектора с входным сопротивлением второго каскада. Режим транзистора T_4 по постоянному току определяется резисторами R_{21} , R_{23} и R_{24} . С резистора R_{25} в эмиттере транзистора T_4 сигнал поступает на базу транзистора T_5 через контур L_{14} , C_{25} , представляющий собой фильтр-пробку для частоты 6,5 МГц и препятствующий ее прохождению на катод кинескопа. С катушки L_{13} разностная частота снимается на вход усилителя промежуточной частоты звукового сопровождения.

Выходной каскад собран на транзисторе T_5 по схеме с общим эмиттером. Коррекция в области верхних частот осуществляется дросселями Dp_2 и Dp_4 в коллекторной цепи транзистора и цепью отрицательной обратной связи R_{26} , C_{26} в его эмиттере. Регулятор контрастности — переменный резистор R_{35} включен параллельно нагрузочным резисторам (R_{31} и R_{32}) выходного каскада. Поскольку при таком способе регулировки контрастности перемещение движка переменного резистора R_{35} приводит к изменению вносимой в выходной каскад емкости, в схему введены элементы коррекции частотной характеристики — резистор R_{36} и конденсаторы C_{30} и C_{31} .

Автоматическая регулировка усиления. Автоматическая регулировка усиления осуществляется схемой, состоящей из ключевого каскада на транзисторе T_6 и усилителя постоянного тока на транзисторе T_7 и охватывает только первый и второй каскады УПЧИ.

На коллектор транзистора T_6 подаются импульсы обратного хода строчной развертки, а на его базу — видеосигнал в негативной полярности. При совпадении во времени синхронимпульсов и импульсов обратного хода транзистор отпирается через резистор R_{42} и в его эмиттере протекает ток, создающий падение напряжения, пропорциональное уровню сигнала на входе приемника. Это напряжение поступает на базу транзистора T_7 через фильтр C_{34} , R_{45} , C_{35} , определяющий постоянную времени АРУ. При отпирации транзистора T_7 его коллекторный ток возрастает, что приводит к уменьшению регулирующего напряжения на базах транзисторов T_1 и T_2 каскадов УПЧИ. При этом усиление регулируемых каскадов уменьшается за счет приближения к режиму насыщения транзисторов. Порог срабатывания АРУ устанавливается с помощью переменного резистора R_{39} .

Схема АРУ поддерживает постоянный уровень сигнала на выходе канала изображения с точностью 3 дБ при изменении его на входе приемника на 30 дБ.

Канал звукового сопровождения. Канал звукового сопровождения состоит из двухкаскадного усилителя промежуточной частоты на транзисторах T_8 и T_9 , вклю-

ченных по схеме с общим эмиттером, дробного детектора на диодах D_2 и D_3 и усилителя низкой частоты на транзисторах T_{10} , T_{11} , T_{12} , T_{28} и T_{29} .

Нагрузкой первого каскада УПЧЗ является контур L_{15} , C_{40} , L_{16} , индуктивно связанный со входом второго каскада. В коллекторную цепь транзистора T_9 включена первичная обмотка фазовращающего трансформатора дробного детектора L_{17} , L_{18} , L_{19} . В выходном каскаде УНЧ применена двухтактная схема на транзисторах T_{28} , T_{29} с бестрансформаторным выходом.

Блок синхронизации. Блок синхронизации состоит из амплитудного селектора на транзисторе T_{21} , инверсного каскада с разделенной нагрузкой на транзисторе T_{22} и эмиттерного повторителя кадровых синхронимпульсов на транзисторе T_{13} . Цепь R_{30} , C_{29} служит для подавления кратковременных импульсных помех. Кадровые синхронизирующие импульсы выделяются при помощи интегрирующей цепи R_{101} , C_{62} , R_{100} , C_{61} и через эмиттерный повторитель подаются (в отрицательной полярности) на задающий генератор кадровой развертки.

На фазовый детектор, выполненный на диодах D_4 и D_5 , синхронизирующие импульсы разной полярности подаются с резисторов R_{102} — в коллекторной и R_{104} — в эмиттерной цепях транзистора T_{22} . В точку соединения этих диодов поступает пилообразный импульс, сформированный интегрирующей цепью R_{116} , C_{76} из импульсов обратного хода строчной развертки. Управляющее напряжение с выхода фазового детектора через фильтр нижних частот R_{106} , C_{67} , R_{110} , C_{69} поступает на базу транзистора T_{23} задающего генератора строчной развертки.

Строчная развертка. Строчная развертка состоит из задающего генератора, предварительного усилителя и выходного каскада. Задающий генератор собран на транзисторе T_{23} по схеме блокинг-генератора с эмиттерно-базовой связью и стабилизирующим контуром L_{20} , C_{68} в цепи базы. Предварительный усилитель выполнен на транзисторе T_{24} по схеме с общим эмиттером. Благодаря различной проводимости транзисторов T_{23} и T_{24} ($p-n-p$ и $n-p-n$) предварительный усилитель работает в режиме ключа. Во время прямого хода строчной развертки транзистор T_{24} закрыт, а когда на его базу поступает положительный импульс с блокинг-генератора, открыт.

В коллекторную цепь транзистора включена первичная обмотка трансформатора Tp_4 , со вторичной обмотки которого импульсы поступают на базу транзистора T_{25} выходного каскада строчной развертки, работающего в режиме двустороннего ключа. Во время прямого хода строчной развертки транзистор находится в насыщении и через обмотки выходного строчного трансформатора и строчные отклоняющие катушки проходит большой ток. В начале обратного хода на базу транзистора через согласующий трансформатор подается положительный импульс с крутым передним фронтом, который запирает транзистор. Возникающий при этом положительный импульс обратного хода строчной развертки используется для питания накала кинескопа и подается на выпрямители, питающие его второй анод, ускоряющий и фокусирующий электроды.

В качестве демпфера используется диод D_6 . Выпрямитель питания второго анода кинескопа собран на селективных столбах D_{10} , D_{11} и D_{18} типа 3ГЕ220АФ и конденсаторах C_{83} и C_{86} , выпрямитель питания ускоряющего и фокусирующего электродов — на диоде D_7 , а выходного каскада видеоусилителя — на диоде D_9 .

Кадровая развертка. Задающий генератор кадровой развертки выполнен на транзисторах T_{14} и T_{15} по схеме мультивибратора с эмиттерно-базовой связью, в котором транзистор T_{15} включен по схеме с общим коллектором. В его эмиттерной цепи включен транзистор T_{16} , который улучшает линейность пилообразного напряжения на зарядном конденсаторе C_{57} . Регулировка линейности производится при помощи резистора R_{89} . Выходной каскад выполнен на составных транзисторах T_{17} , T_{19} и T_{18} , T_{20} .

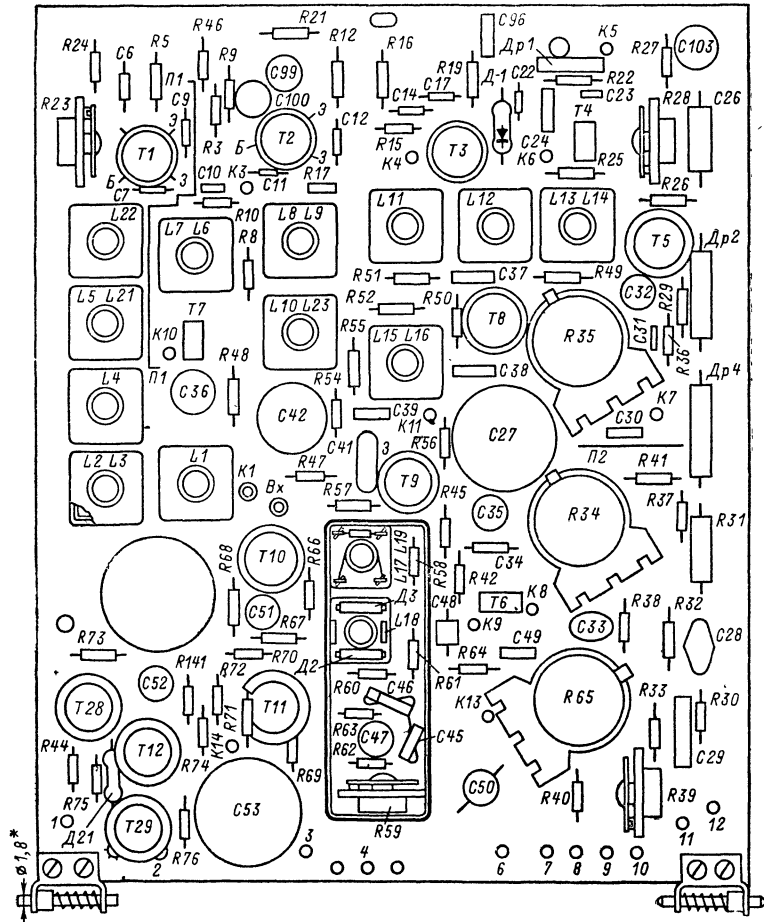


Рис. 7-2. Расположение деталей на печатной плате А телевизора «Электроника ВЛ-100».

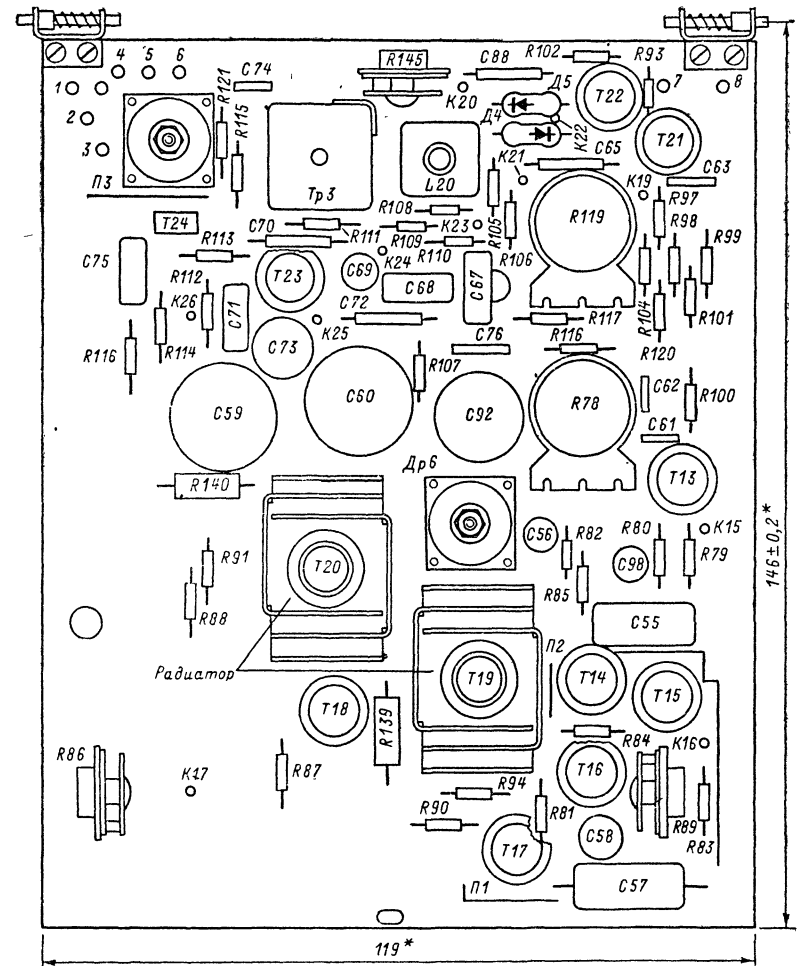


Рис. 7-3. Расположение деталей на печатной плате Б телевизора «Электроника ВЛ-100».

по двухтактной бестрансформаторной схеме и работает в режиме класса В. Для температурной стабилизации каскада используются терморезисторы R_{90} , R_{91} типа СТ3-23.

Блок питания. Телевизор рассчитан на питание как от сети переменного тока, которое производится с помощью отдельного малогабаритного выпрямителя, так и от специальной аккумуляторной батареи типа 10 КРГ-1,5, или же от бортовой сети напряжением 12 в.

Напряжение, поступающее от внешнего источника через разъем Ш7, поддерживается постоянным с помощью электронного стабилизатора на транзисторах T_{26} , T_{27} . Работа его основана на изменении сопротивления транзистора T_{27} , включенного последовательно в цепь минуса источника питания. Это сопротивление определяется схемой сравнения на транзисторе T_{26} , на базу которого поступает напряжение источника питания и опорное напряжение, создаваемое выпрямителем импульсов обратного хода строчной развертки на диоде D_{12} и стабилизируемое стабилитроном D_{13} . Более подробно работа схемы описана на стр. 26.

Выносной сетевой блок состоит из малогабаритного силового трансформатора Tr_6 , выпрямительных диодов D_{14} — D_{17} и конденсатора фильтра C_{95} .

Конструкция. Телевизор состоит из следующих основных блоков:

- 1) селектор каналов;
- 2) печатная плата приемников (плата А) с ФСС, УПЧИ, видеодетектором, видеоуслителем, УПЧЗ, дробным детектором, УНЧ и схемой АРУ (рис. 7-2);
- 3) печатная плата развертки (плата Б). На плате расположен амплитудный селектор, схема АПЧФ, кадровая развертка, задающий генератор и предварительный усилитель строчной развертки (рис. 7-3);
- 4) печатная плата высоковольтного выпрямителя (плата В), на которой расположены ТВС, схема удвое-

ния выпрямленного напряжения, выпрямитель на селеновых столбах ЗГЕ220АФ, модуль высоковольтного выпрямителя и стабилизатор напряжения питания (рис. 7-4);

5) печатная плата фильтров (плата Г), показанная на рис. 7-5, б;

6) блок питания (рис. 7-5, а).

Платы установлены на каркасе и соединяются между собой жгутом. Платы А и Б расположены вертикально по обе стороны кинескопа, плата Г со вспомогательными выпрямителями и селектором каналов установлена сверху. Имеется возможность поворота плат на 90°.

На верхней стенке футляра укреплена ручка со встроенной телескопической антенной. Громкоговорители 0,1ГД-6 расположены в рупорной акустической системе в нижней части футляра.

Указания по настройке и проверке частотных характеристик. Усилитель промежуточной частоты изображения. Настройка начинается с третьего каскада. Выход ИЧХ через конденсатор емкостью 6 800 пф подключается к контрольной точке K_4 , а вход ИЧХ через резистор сопротивлением 47 ком — к контрольной точке K_6 . При помощи переменного резистора R_{39} устанавливают на контрольной точке K_{10} напряжение, равное 0,5 в. Максимумы характеристики устанавливают на частоты 37 и 33 Мгц при помощи сердечников катушек L_{12} и L_{11} соответственно, подавление на частоте 31,5 Мгц — сердечником катушки L_{10} , а равномерность характеристики и наибольшее усиление — переменным резистором R_{23} (рис. 7-6, а). Для получения осциллограммы результирующей частотной характеристики выход ИЧХ подсоединяют через конденсатор емкостью 6 800 пф к контрольной точке K_1 .

Для настройки результирующей частотной характеристики УПЧИ необходимо отпаять перемычку Π_1 (см. рис. 7-2) и в общую точку соединения резисторов R_3 и R_9 через резистор сопротивлением 47 ком подать напряжение 9 в с шины питания платы А. Вращением сердечников катушек L_6 , L_7 и L_8 , L_9 добиваются максимального усиления. Настройкой контуров ФСС добива-

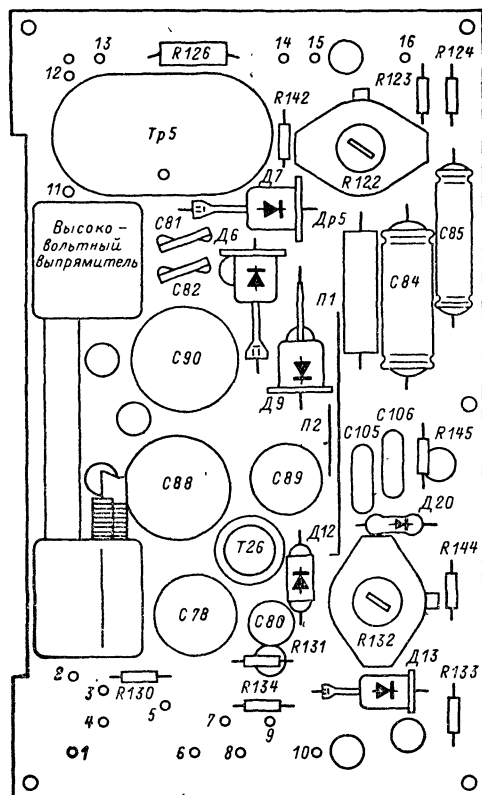


Рис. 7-4. Расположение деталей на печатной плате В телевизора «Электроника ВЛ-100».

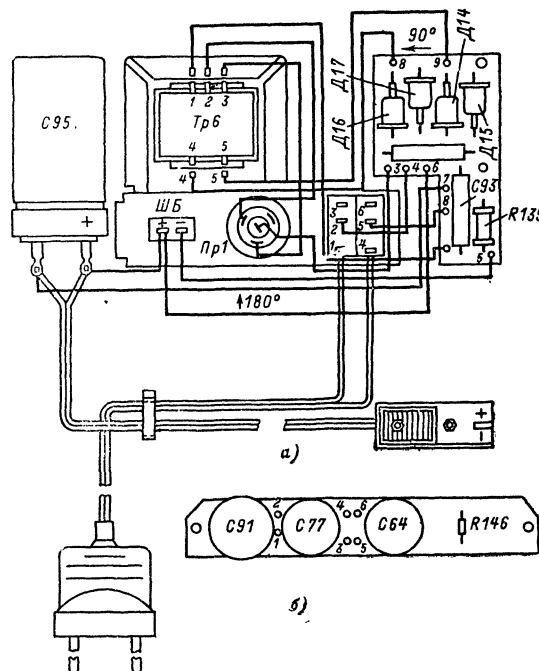


Рис. 7-5. Электромонтажная схема выпрямителя (а) и расположение деталей на печатной плате Г телевизора «Электроника ВЛ-100».

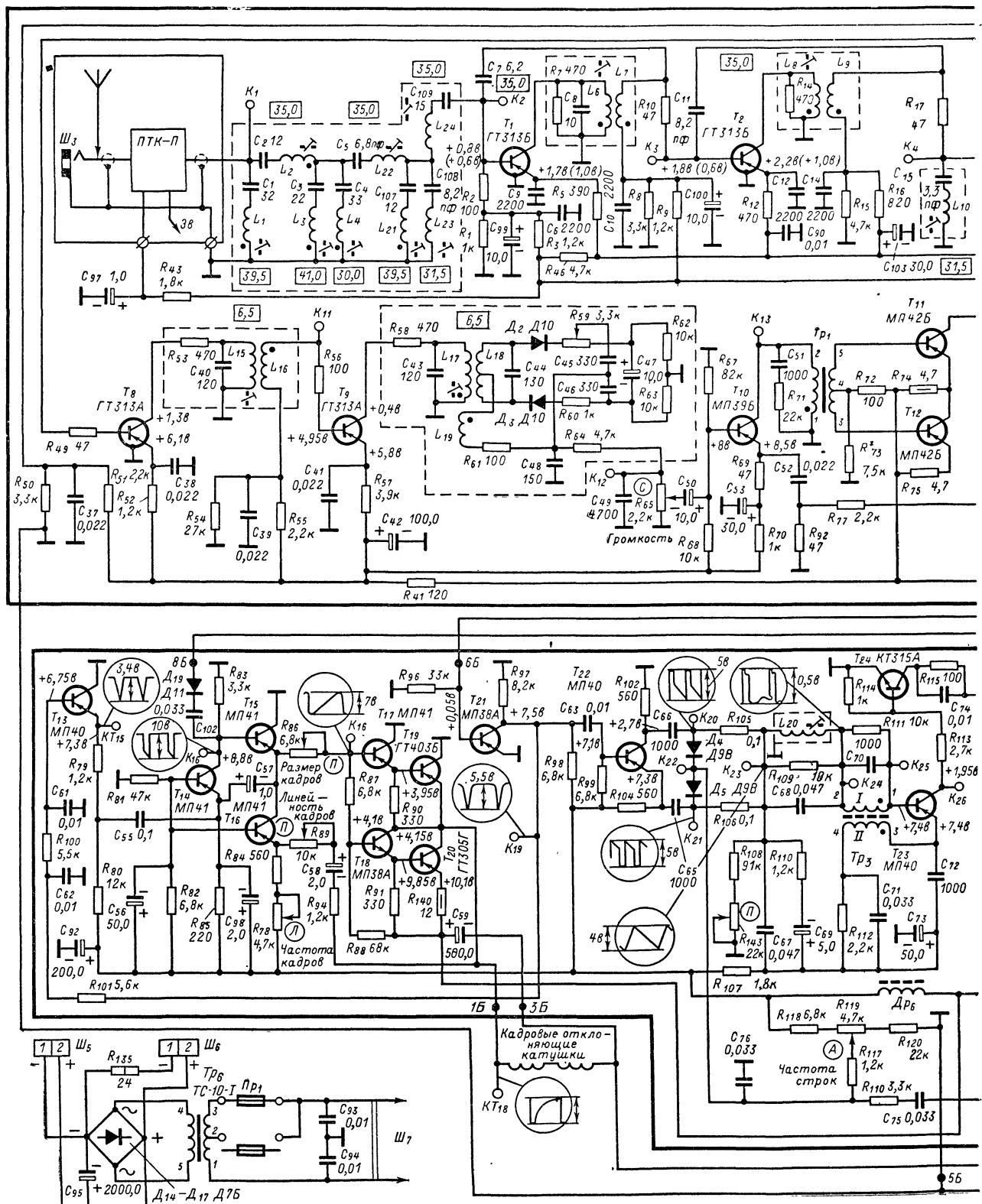
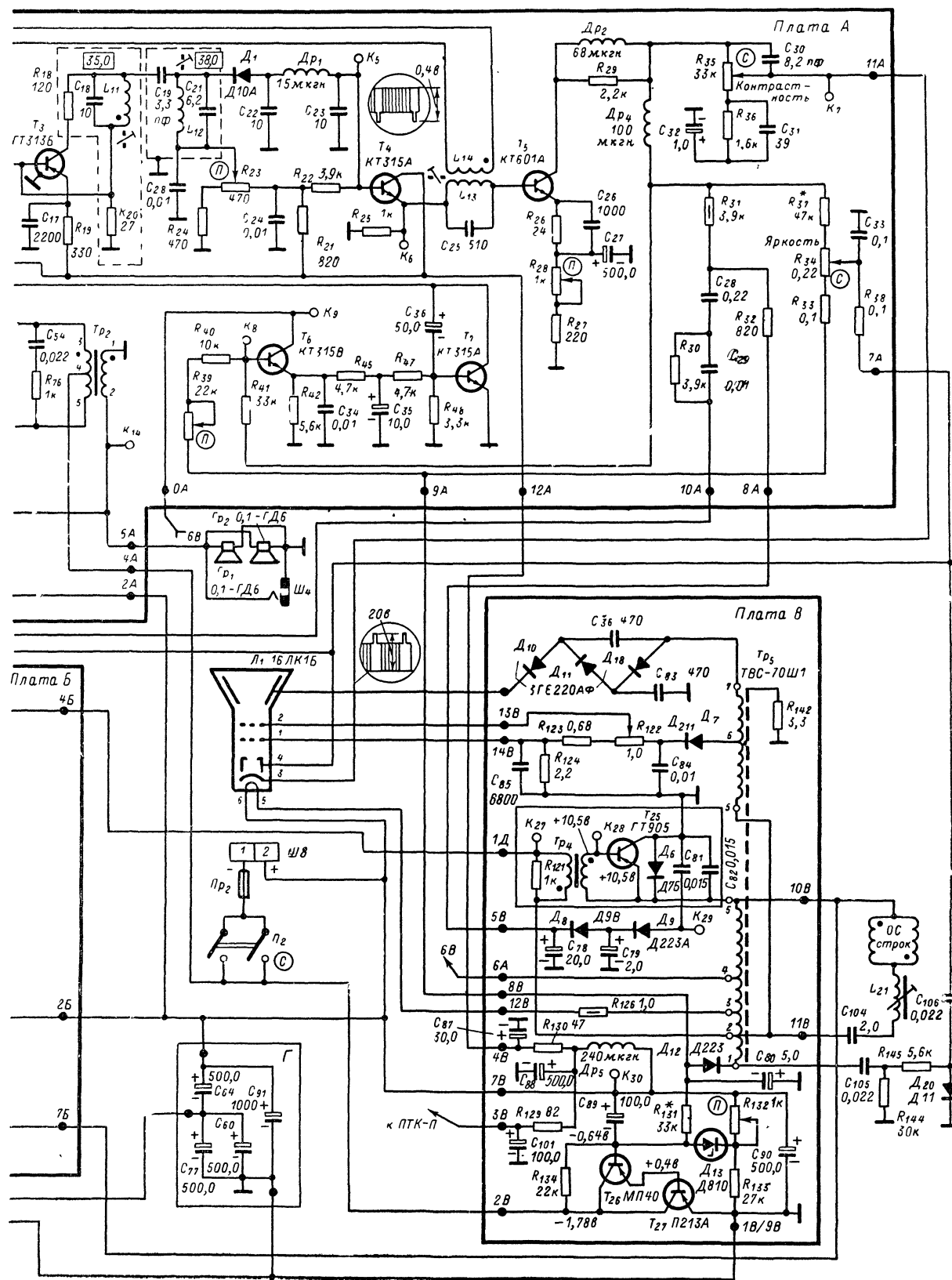


Рис. 7-7. Принципиальная схема (первый выпуск) телевизора «Электроника ВЛ-100»:



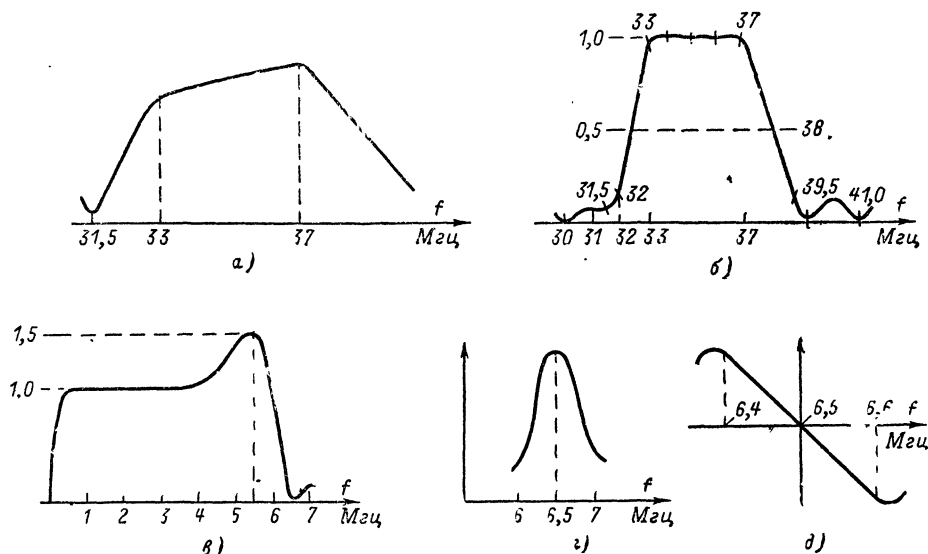


Рис. 7-6. Частотные характеристики телевизора «Электроника ВЛ-100».

а — третьего каскада УПЧИ; б — результирующая УПЧИ; в — видеоусилителя; г — УПЧЗ; д — дробного детектора.

ются наибольшего подавления на частотах: 39,5 МГц (C_2 , L_2 и L_5 , C_5), 30 МГц (L_3 , C_3), 31,5 МГц (L_{21} , C_{137}), а настройкой контуров ФСС L_1 , C_1 , L_4 , C_4 и L_{22} , C_{108} выравнивают кривую в полосе частот 33—37 МГц (рис. 7-6, б).

Совместной настройкой контуров L_{21} , C_{107} и L_{10} , C_{15} добиваются получения горизонтальной площадки достаточного подавления на частоте 31,5 МГц.

Видеоусилитель. Для получения частотной характеристики видеоусилителя выход ИЧХ через конденсатор емкостью 0,01 мкФ подсоединяется к контрольной точке K_5 , детекторная головка ИЧХ — к контрольной точке K_7 . Регулятор контрастности R_{35} устанавливается в положение наибольшего усиления, а панелька кинескопа снимается с его цоколя. Форма частотной характеристики видеоусилителя показана на рис. 7-6, в. Вращением сердечника катушек L_{13} , L_{14} добиваются максимального подавления на частоте 6,5 МГц. При этом

подъем частотной характеристики на частоте 5—5,5 МГц не должен превышать более чем в полтора раза размах кривой на средних частотах. Величина подъема регулируется подбором сопротивления резистора R_{29} . Частотную характеристику в области низких частот выравнивают с помощью переменного резистора R_{28} .

Моточные данные трансформаторов и ОС приведены для рис. 7-1 на стр. 105.

На рис. 7-7 приведена схема этого телевизора, соответствующая более ранней модели. Она отличается моточными данными некоторых деталей, схемой уси-

Таблица 7-2

Моточные данные трансформаторов и дросселей телевизора «Электроника ВЛ-100»

Обозначение (рис. 7-7)	Магнитопровод	Вывод	Число витков	Провод
Tr_1	Пермаллой 45Н, Ш4×5	1—2 2—4 4—5	2 100 290 290	ПЭВ-1 0,06 ПЭВ-1 0,06 ПЭВ-1 0,06
Tr_2	То же	1—2 3—4 4—5	450 450 80	ПЭВ-1 0,09 ПЭВ-1 0,09 ПЭВ-1 0,23
Tr_3	Оксифер М1500, тип Б14	1—2 3—4	250 50	ПЭВ-1 0,08 ПЭВ-1 0,23
Tr_5	Оксифер М2000, Ш7×7	1—3 3—2 2—6 6—4 4—5 5—7	25 5 10 36 600 2 700	ПЭВ-2 0,15 ПЭВ-2 0,35 ПЭВ-2 0,35 ПЭВ-2 0,35 ПЭВ-2 0,05 ПЭВ-2 0,05
Tr_6	Сталь Э-310, ШЛ12×20	1—2 2—3 4—5	1 607 1 160 175	ПЭВ-1 0,22 ПЭВ-1 0,15 ПЭВ-1 0,64
Dr_6	Сталь Э-10, ШЛ12×20		120	ПЭВ-2 0,12
Dr_7	Феррит 600НН (от РЛС-70)		60	ПЭВ-2 0,23

Таблица 7-1

Моточные данные контурных катушек телевизора «Электроника ВЛ-100»

Обозначение (рис. 7-7)	Число витков	Провод	Обозначение	Число витков	Провод
L_1	25	ПЭЛШО 0,2	L_{11}	20	ПЭЛШО 0,35
L_2	10	ПЭЛШО 0,2	L_{12}	20	ПЭЛШО 0,35
L_3	15	ПЭЛШО 0,2	L_{13}	15	ПЭЛШО 0,2
L_4	35	ПЭЛШО 0,2	L_{14}	10	ПЭЛШО 0,2
L_5	25	ПЭЛШО 0,2	L_{15}	31	ПЭЛШО 0,2
L_6	15	ПЭЛШО 0,2	L_{16}	6	ПЭЛШО 0,2
L_7	5	ПЭЛШО 0,2	L_{17}	35	ПЭЛШО 0,1
L_8	15	ПЭЛШО 0,2	L_{18}	18×2	ПЭЛШО 0,1
L_9	5	ПЭЛШО 0,2	L_{19}	15	ПЭЛШО 0,1
L_{10}	35	ПЭЛШО 0,2	L_{20}	650	ПЭВ 0,13

Примечание. Все катушки намотаны в один слой на каркасах диаметром 6 мм; катушки L_{17} и L_{19} намотаны на одном каркасе, а катушка L_{18} намотана в два провода. Катушка L_{20} намотана на ферритовом сердечнике КНФ-13, все остальные — на сердечниках типа СБ-12а.

лителя низкой частоты канала звукового сопровождения (плата А), компоновкой плат развертки (плата Б) и высоковольтного выпрямителя (плата В).

Усилитель низкой частоты состоит из двух каскадов. Первый каскад, собранный на транзисторе T_{10} , нагружен на согласующий трансформатор Tr_1 . Выходной каскад работает в режиме класса В на транзисторах

T_{11} и T_{12} , включенных по схеме с общим эмиттером. Он собран по двухтактной схеме с трансформаторным выходом и нагружен на параллельно соединенные громкоговорители 0,1ГД-6. Питание выходного каскада производится нестабилизированным напряжением 12,5 в. Моточные данные контурных катушек телевизора приведены в табл. 7-1, а трансформаторов — в табл. 7-2:

ГЛАВА ВОСЬМАЯ

ТЕЛЕВИЗОР ППТ-23-2 («ЮНОСТЬ-2»)

Переносный полупроводниковый телевизор на кинескопе 23ЛК9Б с диагональю экрана 23 см и углом отклонения луча 90° разработан на базе телевизора «Юность» [Л.1].

Принципиальная схема телевизора показана на рис. 8-1:

Усилитель промежуточной частоты изображения. С выхода селектора каналов ПТКП-3 сигнал поступает на вход усилителя через фильтр сосредоточенной селекции, состоящий из семи последовательных контуров. Контур $C_{29}, L_{55}; C_{32}, L_{53}; C_{38}, L_{61}$ формируют плоскую часть частотной характеристики в полосе частот 32—38 Мгц, а контуры $C_{30}, L_{56}; C_{31}, L_{57}; C_{35}, L_{58}; C_{36}, L_{60}$ являются режекторными и настроены соответственно на частоты 41, 30, 39,5 и 31,5 Мгц.

Усилитель состоит из двух каскадов, каждый из которых выполнен по каскодной схеме. Транзисторы T_5 и T_7 включены по схеме с общим эмиттером, а транзисторы T_6 и T_8 — по схеме с общей базой. Резисторы R_{24} и R_{28} обеспечивают необходимую температурную стабилизацию режима. Напряжение АРУ на первый каскад усилителя подается через управляемый аттенуатор, выполненный на диодах D_4 и D_5 . С коллекторной нагрузкой первого каскада, — одиночного контура, образованного индуктивностью катушки L_{62} и выходной емкостью каскада, сигнал через конденсатор C_{43} снимается на базу транзистора T_7 второго каскада.

Конденсаторы C_{41} и C_{45} шунтируют по переменному току базы транзисторов T_6 и T_8 на шасси.

Нагрузкой второго каскада является полосовой фильтр L_{63}, C_{46} и L_{64}, C_{50} с емкостной связью через конденсатор C_{49} .

Напряжение питания УПЧИ поступает через фильтр, образованный резисторами R_{27}, R_{29} и конденсаторами $C_{34}, C_{42}, C_{47}, C_{48}$.

Видеодетектор. Видеодетектор выполнен на диоде D_6 , нагрузкой которого служит резистор R_{38} . Конденсаторы C_{52}, C_{53} и дроссель Dr_3 являются элементами П-образного фильтра, обеспечивающего необходимую коррекцию частотной характеристики в области верхних частот и подавление промежуточной частоты.

Видеоусилитель. Двухкаскадный видеоусилитель собран на транзисторах T_9 и T_{10} . Первый каскад выполнен по схеме эмиттерного повторителя, режим которого по постоянному току обеспечивается резисторами R_{40}, R_{41} и R_{43} . С R_{43} сигнал через конденсатор C_{60} подается на базу второго каскада. Последовательный контур C_{59}, L_{66} препятствует попаданию на катод кинескопа разностной частоты 6,5 Мгц. Коррекция частотной характеристики видеоусилителя в области верхних частот производится дросселями Dr_4 и Dr_5 , включенными в коллекторную цепь транзистора T_{10} и цепью отрицательной обратной связи R_{50}, C_{61} в его эмиттере. Нагрузкой второго каскада видеоусилителя является резистор R_{54} ; режим транзистора по постоянному току определяется резисторами R_{46}, R_{47}, R_{48} , а температурная стабилизация — резисторами R_{49} и R_{50} . Подбор режима

работы каскада осуществляется переменным резистором R_{46} . Регулировка контрастности производится переменным резистором R_{51} , включенным в эмиттерную цепь транзистора второго каскада путем изменения коэффициента усиления последнего. Через конденсатор C_{64} видеосигнал подается на катод кинескопа.

Питание видеоусилителя производится напряжением 70—80 в, которое подается через сглаживающий фильтр R_{177}, C_{62} с выпрямителя импульсов строчной развертки, выполненного на диоде D_{18} .

Канал звукового сопровождения. Канал звукового сопровождения состоит из усилителя промежуточной частоты на транзисторах T_{21}, T_{22} , дробного детектора на диодах D_{11}, D_{12} и усилителя низкой частоты на транзисторах T_{11}, T_{12}, T_{13} и T_{14} . Сигнал на вход УПЧЗ поступает с контура L_{65}, C_{58} в коллекторной цепи транзистора видеоусилителя.

Первый каскад УПЧЗ собран по каскодной схеме: транзистор T_{22} включен по схеме с общим эмиттером, а транзистор T_{21} — по схеме с общей базой. В коллекторную цепь последнего включена первичная обмотка фазовращающего трансформатора дробного детектора L_{69}, L_{70}, L_{71} . Резистор R_{100} предотвращает паразитное самовозбуждение каскада. Коррекция частотной характеристики УНЧ осуществляется контуром L_{67}, C_{72} , включенным в эмиттерную цепь транзистора T_{12} .

Конденсаторы C_{74} и C_{75} уменьшают искажения на верхних частотах. Выходной каскад УНЧ собран по двухтактной схеме на транзисторах T_{13} и T_{14} с авто-трансформаторным выходом Tr_1 и работает в режиме класса АБ.

Блок синхронизации. Блок синхронизации состоит из амплитудного селектора на транзисторе T_{20} , инверсного каскада с разделенной нагрузкой на транзисторе T_{19} , двухзвенного интегрирующего фильтра $R_{90}, C_{86}, R_{89}, C_{85}$, усилителя кадровых синхронизирующих импульсов на транзисторе T_{18} и схемы АПЧФ на диодах D_{16}, D_{17} . С резисторов R_{91} и R_{92} через конденсаторы C_{122} и C_{123} синхронизирующие импульсы разной полярности поступают на фазовый детектор схемы АПЧФ, сюда же через конденсатор C_{128} и интегрирующий фильтр R_{164}, C_{126} подаются импульсы обратного хода строчной развертки. Управляющее напряжение с выхода фазового детектора через фильтр нижних частот $R_{162}, C_{124}, C_{125}$ подается на базу транзистора T_{27} задающего генератора строчной развертки.

Кадровый синхронизирующий импульс с коллектора транзистора T_{18} через резистор R_{83} и конденсатор C_{107} подается на базу транзистора T_{23} задающего генератора кадровой развертки.

Автоматическая регулировка усиления. Автоматической регулировкой усиления охвачены УВЧ селектора каналов ПТКП-3 и первый каскад УПЧИ. Она состоит из ключевого каскада на транзисторе T_{17} и усилителя постоянного тока на транзисторе T_{16} .

На базу транзистора T_{17} ($p-n-p$) подается видеосигнал в позитивной полярности, а его коллекторная

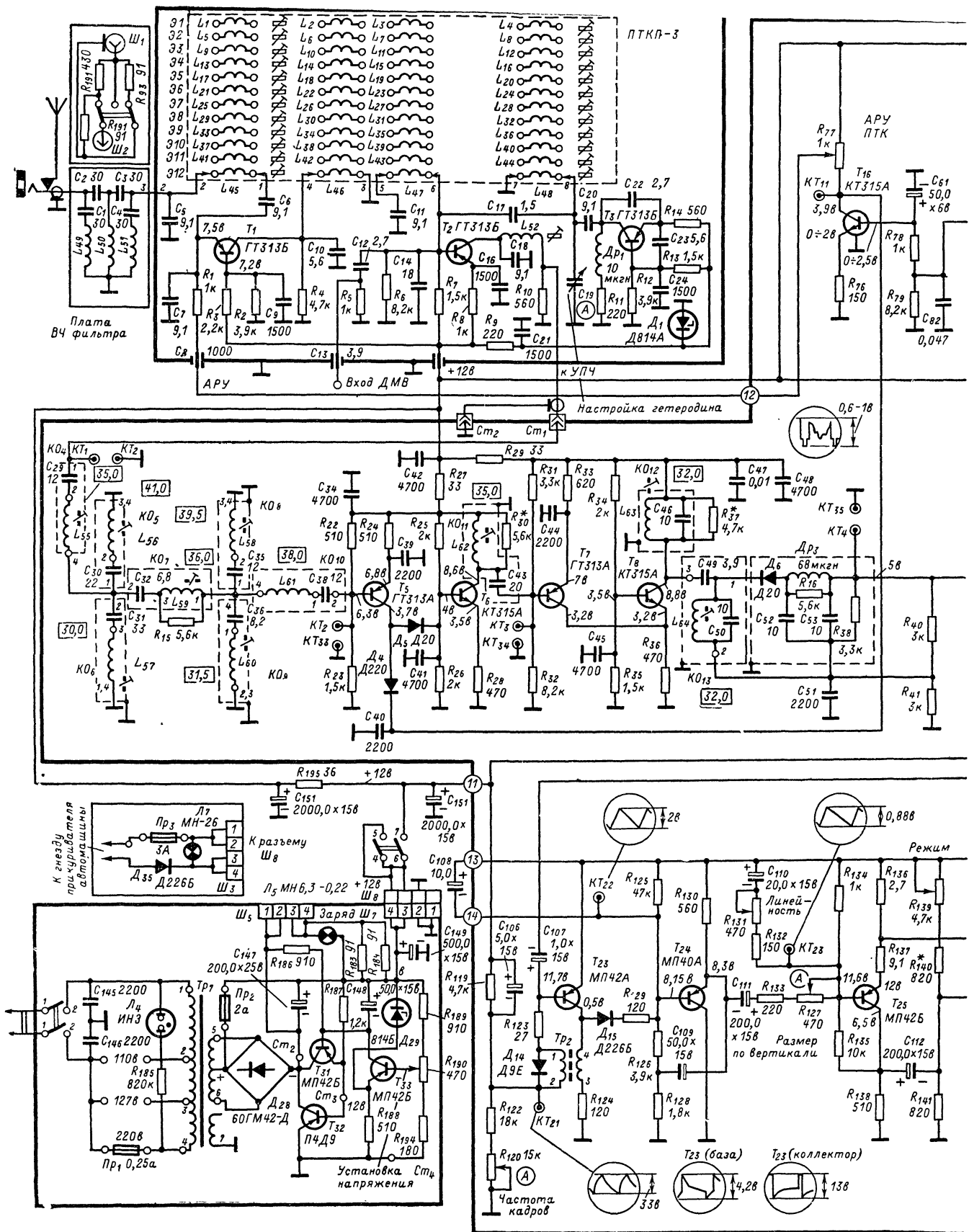
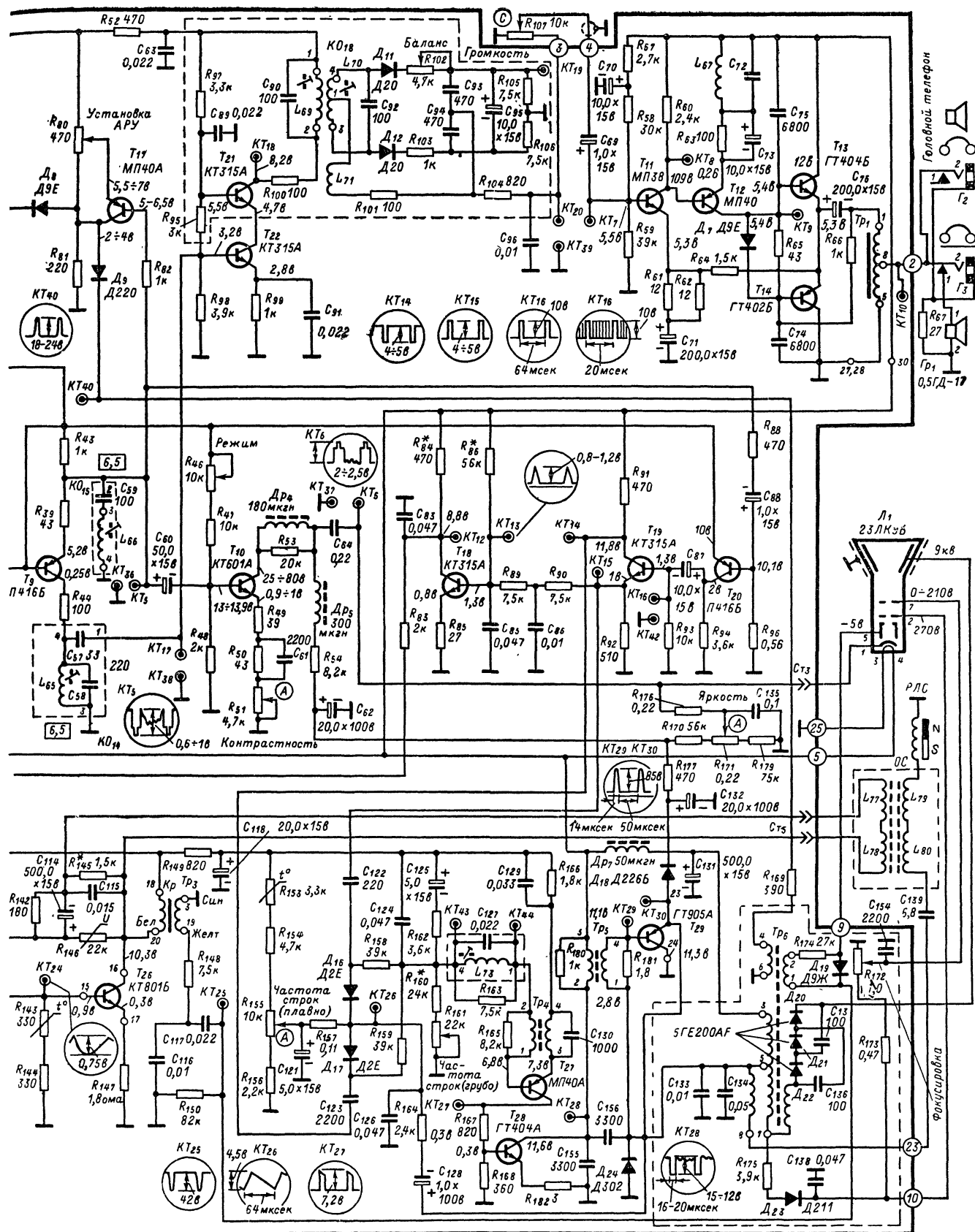


Рис. 8-1. Принципиальная схема телевизора ППТ-23-2 («Юность-2»).



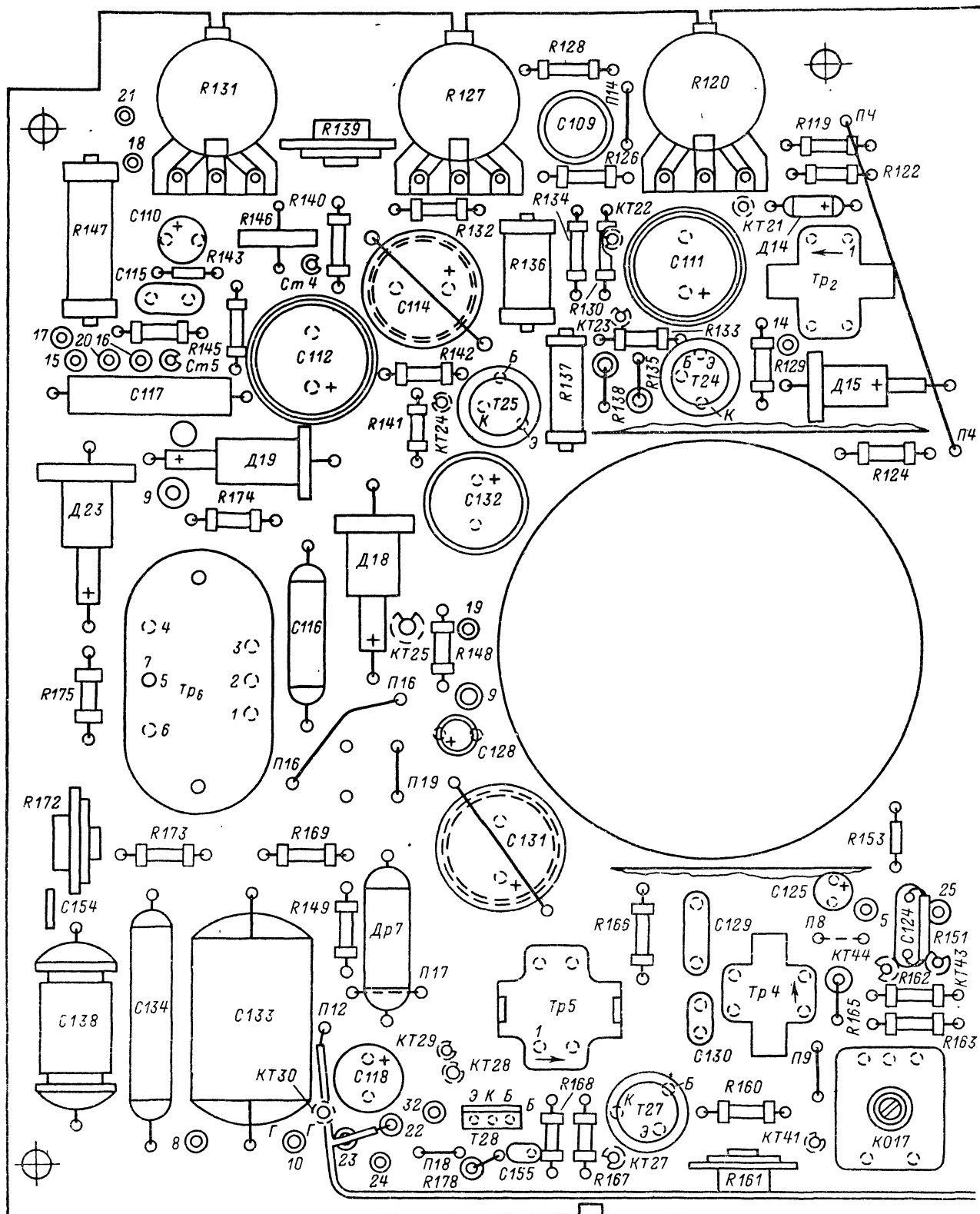
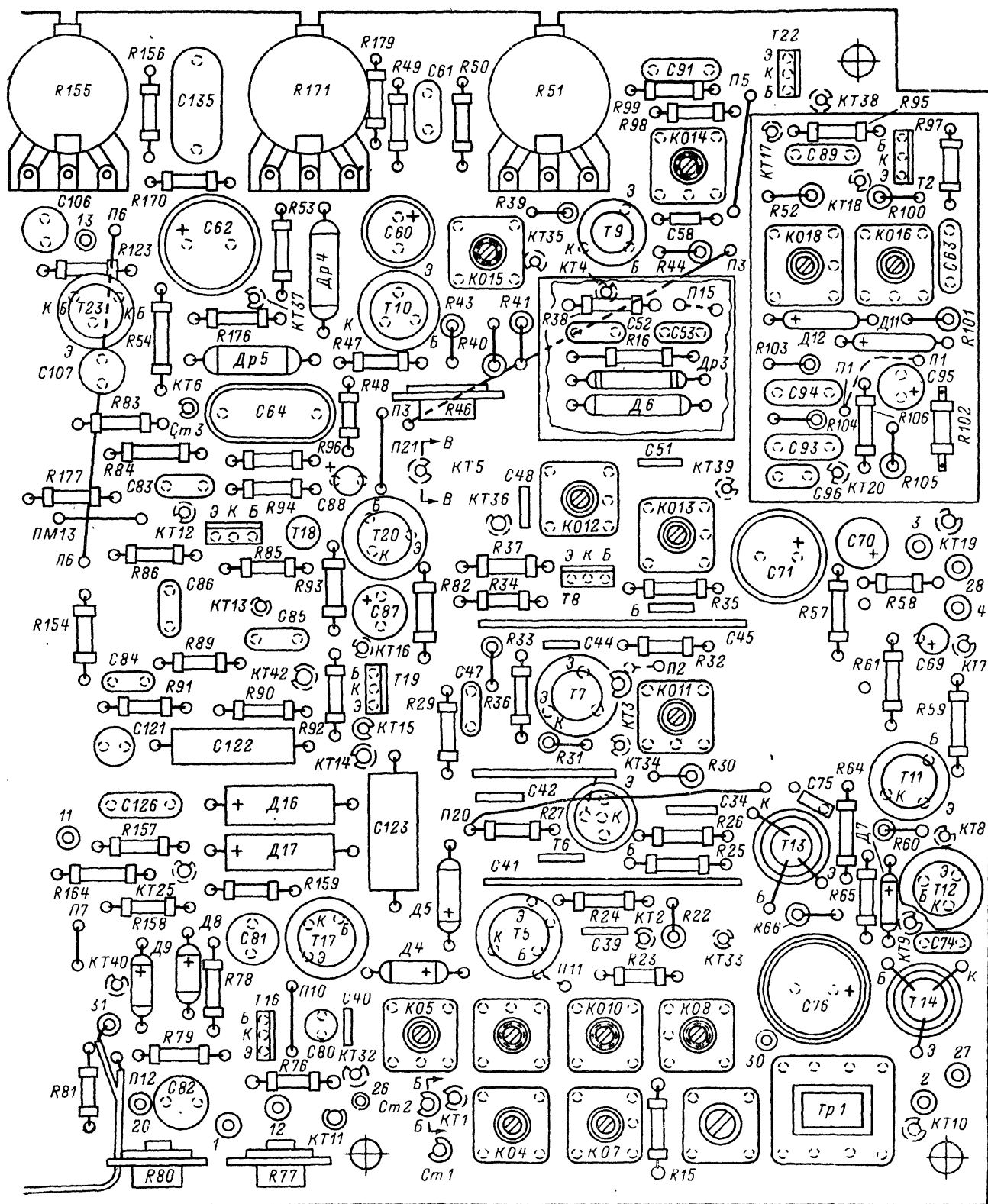


Рис. 8-2. Расположение деталей на печатной плате УПЧИ и развертки телевизора ППТ-23-2 («Юность-2»).



цепь через диод D_9 и резистор R_{169} связана с обмоткой 4—6 ТВС.

В промежутках между импульсами обратного хода строчной развертки диод D_9 открыт и своим малым сопротивлением шунтирует резистор R_{81} в коллекторной цепи транзистора T_{17} . В момент совпадения синхрипульсов и импульсов обратного хода диод D_9 запирается и на резисторе R_{81} выделяется напряжение, пропорциональное величине сигнала на входе приемника. Это напряжение через диод D_8 подается на базу транзистора T_{16} ($n-p-n$) и отпирает его. Напряжение на его коллекторе при этом падает, что приводит к уменьшению регулирующего напряжения, подаваемого на каскад УВЧ селектора каналов и на диод D_4 . Последний отпирается, в результате чего изменяется соотношение сопротивлений между плечами управляемого аттенуатора, выполненного на диодах D_5 , D_4 , и сигнал промежуточной частоты через конденсатор C_{40} частично шунтируется на землю. Таким образом, изменение усиления регулируемых каскадов зависит от величины сигнала на входе приемника.

С помощью переменного резистора R_{77} устанавливается порог срабатывания схемы АРУ: напряжение на коллекторе транзистора T_{16} устанавливается такой величины, при которой УВЧ работает в режиме максимального усиления при малом уровне сигнала на входе телевизора, а диод D_4 — заперт.

Схема АРУ обеспечивает постоянный уровень напряжения видеосигнала на катоде кинескопа с точностью 3 дБ (1,4 раза) при изменении сигнала на входе приемника на 30 дБ (30 раз).

Кадровая развертка. Кадровая развертка состоит из задающего генератора на транзисторе T_{23} , эмиттерного повторителя на транзисторе T_{24} , усилительного и выходного каскадов на транзисторах T_{25} и T_{26} . Задающий генератор собран по схеме блокинг-генератора с коллекторно-базовой связью. Частота колебаний генератора определяется конденсатором C_{106} , резисторами R_{119} , R_{122} и переменным резистором R_{120} .

Пилообразное напряжение формируется на конденсаторе C_{108} , который заряжается от источника питания через резисторы R_{126} , R_{128} , а разряжается через переход эмиттер — коллектор открытого транзистора T_{23} , диод D_{15} и резистор R_{129} .

Регулировка размера по вертикали производится переменным резистором R_{127} . Усилительный каскад собран по схеме с общим эмиттером. Подсоединенная к его базе цепь C_{110} , R_{131} , R_{132} обеспечивает в верхней части раstra необходимую линейность, регулировка которой осуществляется переменным резистором R_{131} . С резистора R_{138} через конденсатор C_{112} пилообразное напряжение подается на базу транзистора выходного каскада кадровой развертки, в коллекторную цепь которого включены кадровые отклоняющие катушки и первичная обмотка трансформатора Tr_3 . Со вторичной обмотки этого трансформатора снимается импульс гашения луча при обратном ходе кадровой развертки; импульс формируется цепью R_{148} , C_{116} , C_{117} , R_{150} . Режим транзистора устанавливается переменным резистором R_{139} , а резисторы R_{141} , R_{143} , R_{144} , R_{147} обеспечивают температурную стабилизацию режима каскада.

Для повышения устойчивости работы кадровой развертки с коллектора транзистора выходного каскада в эмиттерную цепь транзистора T_{25} подается напряжение отрицательной обратной связи. Варистор R_{146} ограничивает амплитуду импульсов, возникающих на коллекторе транзистора T_{26} при обратном ходе кадровой развертки и тем самым защищает его от пробоя.

Строчная развертка. Строчная развертка состоит из задающего генератора на транзисторе T_{27} , предварительного усилителя на транзисторе T_{28} и выходного каскада на транзисторе T_{29} .

Задающий генератор собран по схеме блокинг-генератора с эмиттерно-базовой связью и стабилизиру-

ющим контуром L_{73} , C_{127} , R_{163} . На базу транзистора через фильтр нижних частот R_{162} , C_{124} , C_{125} поступает упорядоченное напряжение с выхода фазового детектора.

Регулировка частоты строк производится при помощи переменных резисторов R_{161} (грубо) и R_{155} (плавно) путем изменения режима базы транзистора по постоянному току.

Предварительный каскад собран по схеме с общим эмиттером, в коллекторную цепь транзистора включена первичная обмотка трансформатора Tr_5 .

Выходной каскад строчной развертки собран по схеме с общим коллектором. К эмиттеру транзистора через корректирующий конденсатор C_{139} подключены строчные отклоняющие катушки L_{79} , L_{80} , выходной строчный трансформатор Tr_6 , демфирующий диод D_{24} , конденсаторы C_{133} и C_{134} , определяющие длительность обратного хода строчной развертки.

Выпрямитель для питания второго анода кинескопа собран по схеме утробия выпрямленного напряжения на селеновых столбах типа 5ГЕ200АФС (D_{20} , D_{21} и D_{22}) и конденсаторах C_{13} , C_{136} .

Питание ускоряющего и фокусирующего электродов кинескопа производится от выпрямителя, собранного на диоде D_{23} , а питание оконечного каскада видеопередатчика и цепи регулировки яркости кинескопа R_{170} , R_{171} , R_{179} — от выпрямителя, собранного на диоде D_{18} .

Импульс гашения луча при обратном ходе строчной развертки снимается с обмотки 1—2 Tr_6 . Диод D_{19} ограничивает положительные выбросы напряжения, возникающие в начале прямого хода строчной развертки.

Блок питания. Телевизор можно питать как от сети переменного тока с напряжением 110, 127 или 220 В, так и от отдельного аккумулятора напряжением 12 В. При питании телевизора от сети переменного тока используется трансформатор Tr_7 и выпрямитель, собранный по мостовой схеме на диодах D_{28} и электронный стабилизатор. Электронная стабилизация осуществляется с помощью составного транзистора T_{31} — T_{32} и схемы сравнения на транзисторе T_{33} . Транзистор T_{32} рассчитан на пропускание всего потребляемого тока и включен последовательно в цепь источника выпрямленного напряжения, а транзистор T_{31} управляет током в его базовой цепи.

Работает эта схема следующим образом: на базу транзистора T_{33} подается напряжение с делителя, образованного резисторами R_{189} , R_{190} и R_{194} , а напряжение на эмиттере поддерживается постоянным при помощи стабилизатора D_{29} . Увеличение напряжения на выходе стабилизатора вызовет увеличение положительного напряжения на базе транзистора T_{33} ($p-n-p$) и соответственно уменьшение падения напряжения на резисторе R_{186} , что в свою очередь приведет к увеличению положительного напряжения на базе транзистора T_{31} ($p-n-p$). Напряжение на базе транзистора T_{32} и его сопротивление протекающему току возрастут, что приведет к соответствующему уменьшению напряжения на выходе стабилизатора.

Конструкция. Телевизор смонтирован на вертикальном шасси, выполненном в виде рамы, к которой крепится печатная плата с элементами основной части схемы. На передней панели телевизора закреплены динамический громкоговоритель, кинескоп и селектор каналов.

Расположение деталей на печатной плате телевизора «Юность-2» показано на рис. 8-2.

Указания по настройке и проверке частотных характеристик. Усилитель промежуточной частоты изображений (УПЧИ). Для настройки второго каскада следует снять перемычку между транзисторами T_6 и T_7 .

Выход ИЧХ подключается к контрольной точке $КТ_3$, а вход ИЧХ (без детекторной головки) через резистор 47 ком — к $КТ_4$. Частотная характеристика второго каскада УПЧИ показана на рис. 8-3, а. Настрой-

Моточные данные узлов телевизора «Юность-2»

Обозначение на схеме	Наименование	Обмотка	Вывод	Число витков	Провод	Магнитопровод	Тип намотки
Tr ₁	Автотрансформатор звука выходной		5—8	215	ПЭВ-1 0,23	Ш4×8, 50Н	Многослойная
Tr ₂	Трансформатор блокинг-генератора кадров (БТК-П23)	I	8—1 1—2	155 400	ПЭВ-1 0,23 ПЭВ-1 0,15	ОШ4×4	То же Левая, плотная, виток к витку
Tr ₃	Трансформатор выходной кадров (ТВК)	II	3—4	80	ПЭВ-1 0,15	M2000, НМ-1	То же
Tr ₄	Трансформатор блокинг-генератора строк	I	1—2	800	ПЭВ-2 0,41	Витой 5×10×20 (тип 0,08×4)	Многослойная
		II	3—4	1 000	ПЭВ-2 0,1	ОШ4×4	То же
		I	1—2	400	ПЭВ-1 0,15	ОШ4×4	Левая, многослойная
		II	3—4	80			То же
Tr ₅	Трансформатор переходный (ТПС-3-П23)	I	2—3	240,5	ПЭВ-1 0,15	M2000, НМ-1	То же
		II	4—1	20,5	ПЭВ-2 0,15	ОШ4×4	» »
					ПЭВ-2 0,15	M2000, НМ-1	» »
Tr ₆	Трансформатор выходной строчный (ТВС)	I	3—4	46+4	ПЭВ-2 0,57	—	Многослойная виток к витку
		II	1—2	32	ПЭВ-2 0,16		То же
		III	4—6	14	ПЭВ-2 0,16		» »
		IV	5—7	150	ПЭВ-2 0,16		» »
		V	7—5к	1 900	ПЭВШО 0,08		«Универсаль»
Tr ₇	Силовой трансформатор	I	1—2	685	ПЭВ-1 0,23	Ш20×30, сталь Э-310	Многослойная, виток к витку
			1—3	810	ПЭВ-1 0,23		То же
			3—4	664	ПЭВ-1 0,19		» »
		II	5—6	120	ПЭВ-1 0,59		» »
OC-1	Отклоняющая система OC-90ПЗ	Катушки строчные		22	ПЭВ-1 0,31	—	
		Катушки кадровые		750	ПЭВ-2 0,25	Феррит M600НН	Седлообразная

ГЛАВА ДЕВЯТАЯ

ТЕЛЕВИЗОР ЛПТ-61-II-2 («ТЕМП-209»)

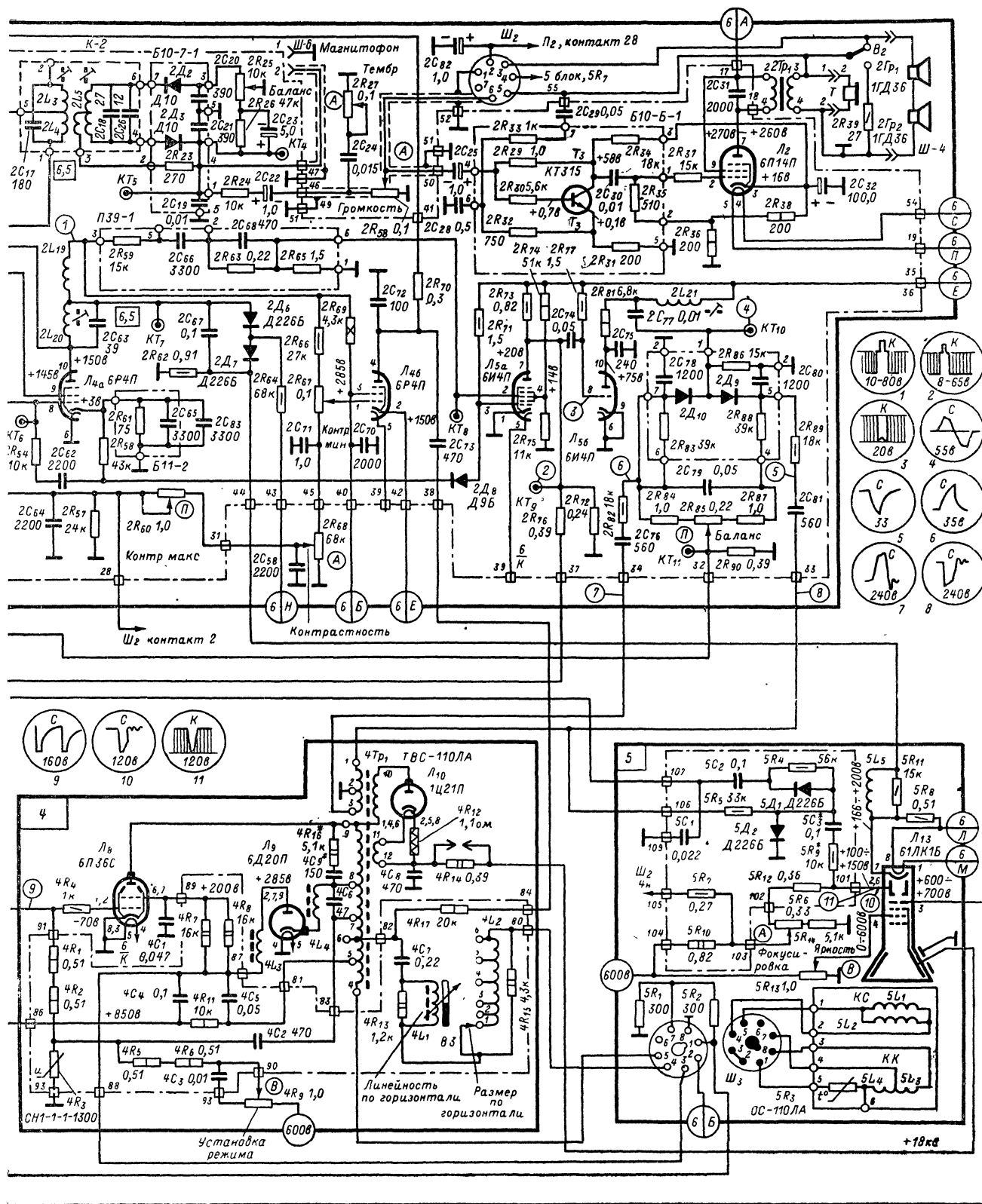
Лампово-полупроводниковый телевизор II класса «Темп-209» собран на кинескопе 61ЛК1Б с диагональю экрана 61 см и углом отклонения 110°. В телевизоре используется селектор каналов ПТК-11Д.

Принципиальная схема телевизора показана на рис. 9-1.

Усилитель промежуточной частоты сигналов изображения. В телевизоре применен трехкаскадный УПЧИ, в котором два каскада выполнены на лампах и один — на транзисторе. Первый каскад собран на лампе Л₁ (6К13П), на управляющую сетку которой подано напряжение АРУ. Катушка индуктивности 2L₆ в цепи этой сетки образует с входной емкостью лампы резонансный контур, настроенный на среднюю частоту полосы пропускания и предназначенный для согласования низкоомного выхода селектора каналов ПТК-11Д со входом УПЧИ и увеличения напряжения сигнала в 2—3 раза. Последовательный контур 2C₃₅, 2L₇, 2C₃₆, 2R₄₃ ослабляет сигнал промежуточной частоты звука примерно на 20 дБ. Анодной нагрузкой первого каскада служит М-фильтр 2L₈, 2L₁₀, 2L₉, 2L₁₁, 2C₃₇, 2C₂₇, 2C₃₈, 2C₃₉, 2C₄₀. Нагрузкой второго каскада на транзисторе Т₄ (ГТ313А) является одиночный контур, образованный катушкой индуктивности 2L₁₂ и конденсатором 2C₄₄. На управляющую сетку лампы Л₃ (6Ж5П) третьего каскада сигнал поступает через фильтр-пробку (параллельный резонансный контур 2L₁₃, 2C₄₈), рассчитанный на подавление помехи с частотой 41 МГц.

Подключенная параллельно контуру цепь из диода 2Д₄ (стабилитрона) и конденсатора 2C₄₇ позволяет в небольших пределах изменять положение промежуточной частоты сигнала изображения на склоне частотной характеристики. На катод стабилитрона с переменного резистора 2R₄₉ (Четкость) подается запирающее напряжение, величина которого плавно изменяется от 9,5 в до нуля, что приводит к изменению проводимости диода и вносимой в контур емкости. В анодной цепи лампы третьего каскада Л₃ (6Ж5П) включен полосовой фильтр 2L₁₄, 2C₅₃ и 2L₁₅, 2C₅₇ с внешнеемостной связью через конденсатор 2C₅₅. В схеме видеодетектора на диоде 2Д₅ применена параллельно-последовательная схема коррекции частотной характеристики (дрессели 2L₁₆, 2L₁₇ и 2L₁₈).

Видеоусилитель. Однокаскадный видеоусилитель собран на мощном (левом по схеме) пентоде лампы Л₄ (6Р4П). Параллельный, резонансный контур 2L₂₀, 2C₆₃ в его анодной цепи препятствует попаданию разностной частоты на катод кинескопа и одновременно используется как нагрузка, с которой снимается сигнал на вход УПЧЗ. Коррекция частотной характеристики видеоусилителя производится при помощи дросселей 2L₁₉, 5L₅ и цепи частотно-зависимой отрицательной обратной связи (2R₆₁, 2C₆₅ и 2C₈₃) в катоде лампы. С резистора анодной нагрузки видеоусилителя 2R₆₉ видеосигнал снимается: через цепь ограничения тока луча — на катод кинескопа, через резистор 2R₅₉ и конденсатор 2C₆₆ — на ам-



ва — цепь этого блока, к которой подсоединяется данный вывод.

лампы выходного каскада УНЧ. Нагрузкой выходного каскада служат два громкоговорителя 1ГД-36, соединенных последовательно.

Блок синхронизации. Особенностью блока синхронизации телевизора «Темп-209» является применение помехоустойчивого амплитудного селектора и схемы автоматической синхронизации строчной развертки с частотно-фазовым дискриминатором.

Видеосигнал в негативной полярности подается на вторую управляющую сетку лампы L_{5a} (6И4П) через помехоподавляющую цепь $2C_{68}$, $2R_{63}$. Низкое анодное напряжение (20—25 в), соответствующий выбор емкости разделительного конденсатора $2C_{66}$ и сопротивления резистора утечки сетки $2R_{65}$ обеспечивают работу лампы по этой сетке в режиме амплитудного селектора.

Управляющая сетка лампы через резистор $2R_{71}$ соединена с источником положительного напряжения, из-за чего лампа по этой сетке в обычных условиях всегда открыта. Видеосигнал, снимаемый с нагрузки видеодетектора, поступает на эту сетку в позитивной полярности. Резистор $2R_{54}$ необходим для устранения влияния малого входного сопротивления промежутка управляющая сетка — катод лампы селектора на детектор.

Помехоподавляющие свойства селектора на гептоде в несколько упрощенном виде можно объяснить тем, что при появлении больших импульсных помех, создаваемых системами зажигания автомобилей и бытовыми электроприборами, лампа селектора запирается по первой управляющей сетке и помехи не могут нарушить синхронизацию. Более подробно работа подобных схем описана в [Л. 7]. С анода лампы селектора синхронизирующие импульсы поступают через интегрирующую ($2R_{76}$, $3C_9$) и дифференцирующую ($3C_{10}$, $3R_{12}$) цепи на усилитель кадровых импульсов, а через конденсатор $2C_{74}$ — на усилитель строчных импульсов.

В частотно-фазовом дискриминаторе, выполненном на диодах $2D_9$ и $2D_{10}$, сравниваются S-образный сигнал, сформированный звенящим контуром $2L_{21}$ из строчных синхронизирующих импульсов, и разнополярные импульсы обратного хода строчной развертки, поступающие через конденсаторы $2C_{76}$, $2C_{81}$ с выводов обмотки 1—3 ТВС. Величина напряжения, приложенного к каждому из диодов, определяется взаимным расположением импульсов обратного хода на S-образной кривой, которое зависит от фазового сдвига между синхроимпульсами и колебаниями задающего генератора строчной развертки. При наличии синхронизации, когда оба диода открыты, происходит заряд конденсатора $2C_{79}$ таким образом, что возникающее на нем напряжение будет приложено к каждому из них в запирающем направлении. Из-за большой постоянной времени цепи разряда напряжение на конденсаторе практически сохраняет свою величину в промежутке времени между синхроимпульсами. Благодаря этому отпереть диод могут только пиковые значения приложенного суммарного напряжения синхроимпульсов и импульсов обратного хода. Импульсы помех, поступающие в промежутках между синхроимпульсами, могут воздействовать на регулирующее напряжение только в том случае, если их амплитуда превысит запирающее напряжение.

При наличии синхронизации напряжения на обоих конденсаторах $2C_{78}$ и $2C_{80}$ имеют одинаковую величину, а на переменном резисторе $2R_{85}$ (при правильной его регулировке) — равно нулю. Если же при временном нарушении синхронизации импульсы обратного хода не совпадают по фазе с импульсами синхронизации, то благодаря наличию постоянного запирающего напряжения на диодах последние заперты, и в это время сохраняется управляющее напряжение, которое было в момент нарушения синхронизации. При отсутствии синхронизации ток через диоды возможен только при совпадении во времени синхроимпульсов с импульсами обратного хода строчной развертки. Этот ток будет заряжать конденсатор $2C_{79}$, вызывая появление положительного или отрицательного напряжения на выходе фильтра нижних ча-

стот $3C_1$, $3R_1$, $3C_2$, которое изменяет частоту колебаний задающего генератора строчной развертки в нужном направлении. Наличие конденсатора $2C_{79}$, создающего запирающее напряжение на диодах и препятствующего их отпиранию при появлении кратковременных импульсных помех, позволяет уменьшить постоянную времени фильтра нижних частот, а это, как известно, приводит к увеличению полосы схватывания, которая в подобных схемах превышает ± 1000 гц.

Строчная развертка. Строчная развертка состоит из задающего генератора на пентодной части лампы L_6 (6Ф12П) и выходного каскада на лампах L_8 (выходная), L_9 (демпфер) и L_{10} (высоковольтный кенотрон).

В качестве задающего генератора используется генератор синусоидальных колебаний, контур которого, образованный катушкой индуктивности $3L_1$ и конденсаторами $3C_4$, $3C_6$, включен между управляющей и экранирующей сетками лампы. Генератор собран по схеме индуктивной трехточки (анодом генераторной лампы служит ее экранирующая сетка), режим работы его выбран таким, чтобы положительные полупериоды синусоидального напряжения заходили в область сеточных токов. При этом за счет заряда конденсатора $3C_4$ током управляющей сетки (разряд его происходит через большое сопротивление резистора $3R_4$) к ней приложено отрицательное напряжение, смещающее рабочую точку так, что имеет место двустороннее ограничение колебаний. Напряжение на аноде лампы будет иметь форму импульсов с крутым передним фронтом, используемых для запирающего выходной лампы строчной развертки при обратном ходе луча. В формировании управляющего напряжения участвуют также конденсаторы $3C_7$ и $3C_8$, заряд которых происходит через резисторы $3R_9$, $3R_{10}$ и $3R_{11}$ при закрытой лампе. Разряд этих конденсаторов происходит при отпирании лампы положительным полупериодом синусоидального напряжения. Управляющее напряжение имеет при этом пилообразно-импульсную форму. Первоначальная установка частоты задающего генератора осуществляется изменением индуктивности катушки $3L_1$.

Управление частотой задающего генератора производится при помощи реактивной лампы (триодная часть лампы L_6). Промежуток анод — катод этой лампы подсоединен параллельно колебательному контуру генератора и изменяет частоту его настройки, так как вносит реактивное сопротивление. Емкостный характер этого сопротивления (анодный ток опережает анодное напряжение) определяется фазосдвигающей цепью $3C_5$, $3R_3$, а его величина зависит от смещения на управляющей сетке, которое поступает со схемы АПЧФ. Таким образом, реактивная лампа преобразует изменение постоянного напряжения на выходе схемы АПЧФ в изменение емкости, подключенной к контуру задающего генератора.

Выходной каскад строчной развертки собран на унифицированных узлах: выходном трансформаторе ТВС-110ЛА и отклоняющей системе ОС-110ЛА. Ширина раstra и высокое напряжение на втором аноде кинескопа поддерживаются в заданных пределах автоматически при помощи цепи обратной связи, образованной конденсатором $4C_2$, варистором $4R_3$ и резисторами $4R_2$, $4R_1$, $4R_4$. Отклоняющие катушки включены симметрично относительно вывода 5 обмотки ТВС, который по переменному току имеет нулевой потенциал.

Напряжение «вольтодобавки», образующееся на конденсаторе $4C_5$, на выходе фильтра $4R_{11}$, $4C_4$ составляет около 850 в; при помощи гасящего резистора $3R_{21}$ оно снижается до 600 в. Это напряжение используется для питания фокусирующего электрода кинескопа, в цепях регулировки яркости и защиты приемного тракта от перегрузки в схемах стабилизации горизонтального размаха и режима работы задающего генератора кадровой развертки и т. д.

Последовательно со строчными отклоняющими катушками включены конденсатор $4C_7$, корректирующий

бран по трансформаторной схеме и нагружен на кадровые отклоняющие катушки $5L_3$ и $5L_4$.

ного хода, возникающие на анодной обмотке выходного трансформатора $3Tr_1$, выпрямляются диодом $3D_1$ (5ГЕ40Ф) и используются для питания ускоряющего электрода кинескопа. При выходе кадровой развертки из строя напряжение на ускоряющем электроде исчезает и экран кинескопа гаснет, что устраняет опасность его прожога горизонтальной линией, возникающей при отсутствии этой развертки. С вывода 6 обмотки трансформатора $3Tr_1$ снимаются импульсы обратного хода отрицательной полярности, которые формируются цепью $5C_1, 5C_2, 5R_4, 5D_1, 5D_2$, после чего поступают на модулятор кинескопа для гашения обратного хода луча по кадру (рис. 9-2, а).

Рис. 9-5. Расположение печатных плат и деталей телевизора ЛПТ-61-II-2 («Темп-209»).

Вид на откинутое шасси сверху.

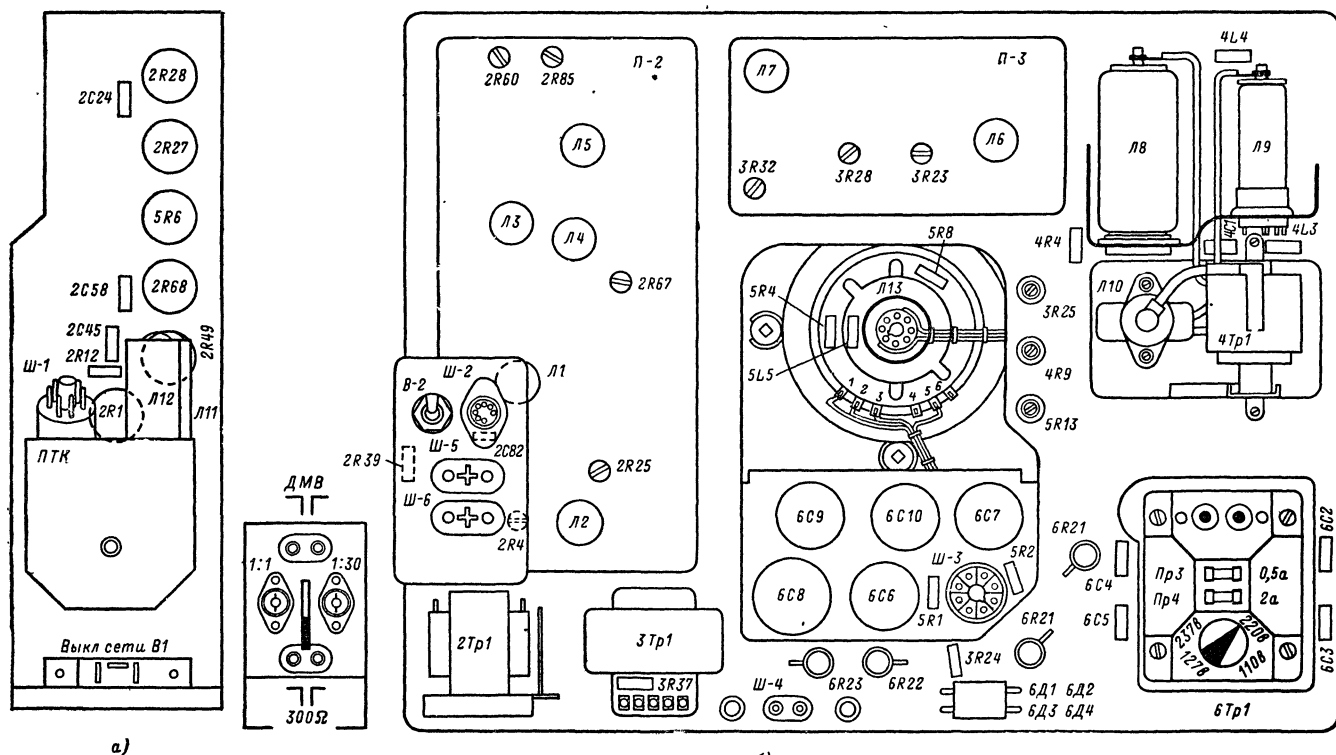


Рис. 9-6. Расположение деталей на кронштейне управления (а) и на шасси (б) телевизора ЛПТ-61-11-2 («Темп-209»). Вид со стороны задней стенки.

На рис. 9-4 показана схема распылки и коммутации обмоток силового трансформатора.

Конструкция. Телевизор смонтирован на вертикальном шасси, которое может быть откиннуто и закреплено под углом 60 или 90° (рис. 9-5 и 9-6). На шасси размещены пять печатных плат.

Платы № 1 и 2 (блок радиоканала) включают в себя УПЧИ, УПЧЗ, амплитудный селектор, усилитель строчных синхронимпульсов, схему автоматической синхронизации строчной развертки и УНЧ. Плата № 3 состоит из задающих генераторов строчной и кадровой развертки и выходного каскада кадровой развертки. Плата № 4 содержит элементы выходного каскада строчной развертки, а плата № 5 — элементы фильтра питания и цепи формирования импульсов гашения обратного хода луча кинескопа. Особенностью телевизора являются катушки индуктивности УПЧИ, выполненные печатным способом; настройка их производится с помощью дисковых карбоновых сердечников.

Указания по настройке и проверке частотных характеристик УПЧИ. Для проверки частотной характеристики выход ИЧХ подсоединяют к гнезду ДМВ селектора каналов ПТК-11Д, а вход ИЧХ через резистор сопротивлением 47—82 ком — к контрольной точке КТ₆. Поворачивают до упора ручки регуляторов контрастности (по часовой стрелке) и четкости (против часовой стрелки). Если частотная характеристика УПЧИ выходит за пределы заштрихованной области рис. 9-7, а, то сердечниками катушек 2L₆, 2L₈, 2L₁₂, 2L₁₄ и 2L₁₅ производят подстройку усилителя, предварительно убедившись, что резекторные врезки правильно установлены на частоты 30, 31,5 и 39,5 МГц. Установку несущей частоты изображения на правом склоне частотной характеристики производят, повернув по часовой стрелке до упора ручку регулятора четкости; несущую частоту устанавливают на уровень 0,15—0,3 вращением сердечника катушки 2L₁₃ (рис. 9-7, б).

Видеоусилитель. Для проверки частотной характеристики выход ИЧХ подсоединяют к контрольной точке КТ₆, а его детекторную головку — к седьмой ламели ламповой панельки кинескопа, предварительно снятой

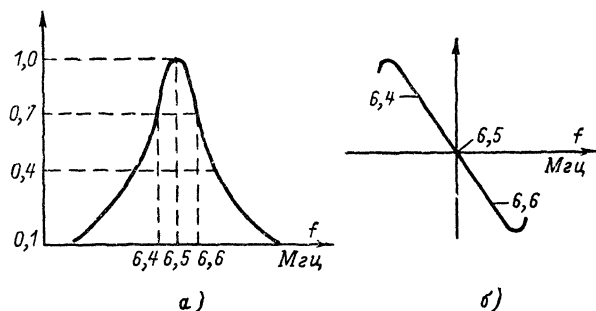


Рис. 9-8. Частотные характеристики: а — УПЧЗ; б — дробного детектора.

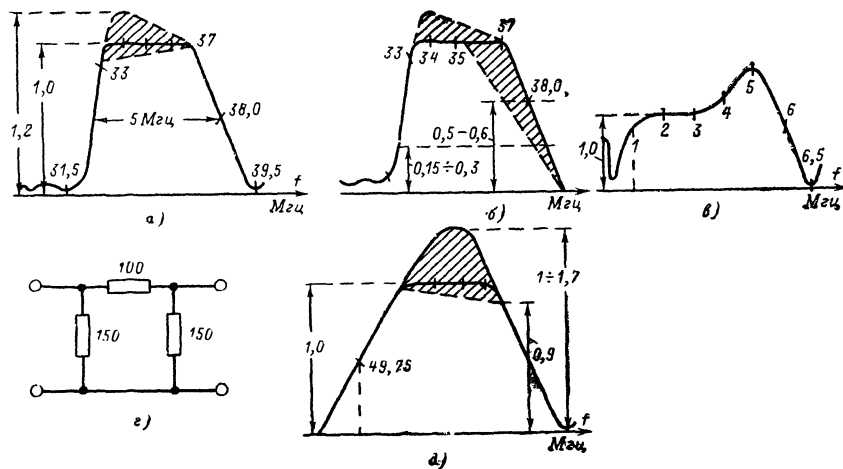


Рис. 9-7. Частотные характеристики телевизора ЛПТ-61-II-2 («Темп-209»).

а — частотная характеристика УПЧИ; б — изменение частотной характеристики при повороте ручки Четкость; в — частотная характеристика видеоусилителя; г — согласующее устройство; д — частотная характеристика со входа телевизора.

с его покоя. Форма частотной характеристики видеоусилителя показана на рис. 9-7, в.

При наличии искажений характеристики следует убедиться в исправности элементов коррекции 2R₆₁, 2C₆₅ и произвести настройку фильтра пробки 2L₂₀, 2C₆₃ на частоту 6,5 МГц до получения наименьшего усиления на этой частоте. Подъем частотной характеристики на частоте 4,5—5 МГц регулируется подбором сопротивления резистора 5R₁₁.

Усилитель промежуточной частоты звука. Для проверки частотной характеристики УПЧЗ выход ИЧХ подсоединяется через конденсатор емкостью 6800 пф к контрольной точке КТ₆, а его вход — к контрольной точке КТ₄. Форма частотной характеристики показана на рис. 9-8, а. Для проверки усиления УПЧЗ к контрольной точке КТ₆ подсоединяется выход ГСС, а к контрольной точке КТ₄ (через резистор сопротивлением 100 ком) — электронный вольтметр постоянного тока. Чувствительность УПЧЗ определяется по показанию аттенюатора ГСС, при котором напряжение на контрольной точке КТ₄ равно 10 в. Она составляет 8—10 мВ.

Частотный детектор. Для проверки характеристики частотного детектора выход ИЧХ подсоединяется к контрольной точке КТ₃, а вход — к контрольной точке КТ₅ или к гнезду Магнитофон. Форма частотной характеристики показана на рис. 9-8, б. Сердечником катушки 2L₃ устанавливается симметрия и наибольший размах кривой, а сердечником катушки 2L₅ — положение на оси частот ее нулевой точки.

Проверка телевизора со входа. Для проверки частотной характеристики со входа телевизора выход ИЧХ через согласующее устройство рис. 9-7, г подсоединяется к антенному входу, а вход ИЧХ через резистор сопротивлением 47—82 ком — к контрольной точке КТ₆. Ручкой подстройки гетеродина несущую частоту данного телевизионного канала устанавливают таким образом, чтобы она находилась на уровне 0,5 левого склона частотной характеристики (рис. 9-7, д).

Моточные данные контурных катушек телевизора ЛПТ-61-II-2 («Темп-209») приведены в табл. 9-1.

Величины индуктивностей корректирующих дросселей телевизора ЛПТ-61-II-2 («Темп-209») приведены в табл. 9-2.

Моточные данные узлов телевизора ЛПТ-61-II-2 («Темп-209») приведены в табл. 9-3.

Таблица 9-1

Моточные данные контурных катушек телевизора ЛПТ-61-И-2 («Темп-209»)

Обозначение на схеме	Число витков	Провод	Обозначение на схеме	Число витков	Провод
$2L_1$	77	ПЭВ-1 0,15	$2L_4$	9	ПЭЛ 0,15
$2L_2$	51	ПЭВ-1 0,15	$2L_5$	2×20	ПЭВ-1 0,15
$2L_3$	2×9	ПЭВ-1 0,15 ПЭЛШО 0,15	$2L_{18}$	143	ПЭЛ 0,12
			$2L_{20}$	36	ПЭВ-1 0,31

Примечание. $2L_6-2L_{15}$ выполнены печатным способом на плате 2.

Таблица 9-2

Величины и маркировка индуктивностей корректирующих дросселей телевизора ЛПТ-61-И-2 («Темп-209»)

Обозначение на схеме	Индуктивность, мкГн	Маркировка	Обозначение на схеме	Индуктивность, мкГн	Маркировка
$2L_{16}$	115	Коричневый	$2L_{19}$	172	Желтый
$2L_{17}$	60,5	Синий	$5L_5$	115	Коричневый

Таблица 9-3

Моточные данные узлов телевизора ЛПТ-61-И-2 («Темп-209»)

Обозначение на схеме	Наименование	Обмотка или выводы	Число витков	Провод	Сопротивление, Ом	Сердечник	Индуктивность
$2L_{21}$	Контур «звонящий»		1 700	ПЭВ-1 0,1	105	СЦР-1 (2 шт.)	Без сердечника 8,8 мГн, настроенный 12 мГн
$3L_1$	Катушка генератора синусоидальных колебаний	Первая секция Вторая секция	3 300 1 500	ПЭВ-1 0,1	260 150	СЦР-1 (2 шт.)	Без сердечника $L_1=43,5$ мГн $L_2=17,5$ мГн
$4L_1$	Катушка регулятора линейности строк		144	ПЭВ-2 0,38	0,55	Сердечник Л107.077.002	0,04 мГн
$4L_2$	Катушка регулятора горизонтального размера	1—2 2—3 3—4 4—5 5—6	52 54 56 58 60	ПЭВ-2 0,38	$R_{общ}$ 2,2	— —	$590 \cdot 10^3$

Примечание. Моточные данные трансформаторов $2Tr_1$, $3Tr_1$, $4Tr_1$, $6Tr_1$ и отклоняющей системы приведены в гл. 10.

ГЛАВА ДЕСЯТАЯ

СПРАВОЧНЫЕ ТАБЛИЦЫ

Таблица 10-1

Трансформаторы силовые

Наименование телевизоров	Тип трансформатора	Магнитопровод	Обмотка и номер выводов	Число витков	Провод
Телевизоры II класса на унифицированных шасси («Рубин-205», «Электрон-205» и др.)	ТС-180-2	Стержневой, ленточный СЛ21×45	I 1—2 2—3 II 5—6 III 7—8 IV 9—10 V 11—12	375 58 214 157 23 23	ПЭВ-1 0,69 ПЭВ-1 0,69 ПЭВ-1 0,51 ПЭВ-1 0,41 ПЭВ-1 0,45 ПЭВ-1 0,64

Наименование телевизоров	Тип трансформатора	Магнитопровод	Обмотка и номер выводов	Число витков	Провод
Телевизоры III класса на унифицированных шасси («Рекорд-В301» — «Рекорд-В310», «Рекорд-332» и др.)	ТСШ-160	УШ 30×60 Э320—0,35	I 1—3 II 4—6 III 7—8 IV 9—10 V 11—12 VI 13—14 1—2	200+30 30+200 139 242 12,5 12 100	ПЭЛ 0,69 ПЭЛ 0,69 ПЭЛ 0,51 ПЭЛ 0,59 ПЭЛ 1,25 ПЭЛ 0,51
«Электрон-206», «Электрон-207»	ТС-180-2В	ПЛ21×45	I 1—2—3 II 5—6 III 7—8 IV 9—10 V 11—12	393 195 143 21 21	ПЭВ 0,69 ПЭВ-1 0,51 ПЭВ-1 0,48 ПЭВ-1 1,53 ПЭВ-1 0,21
«Ладога-1», «Атлант», «Ладога-203», «Ладога-204», «Ладога-205»	ТС-200к	Сталь Э310 Магнитопровод Ш25×40	I 1—2 2—3 4—экранирующая II 5—6 III 7—8 IV 9—10 V 11—12	346 54 160 40 22 22	ПЭЛ 0,8 ПЭЛ 0,8 фольга 0,05 (медь М-2) ПЭЛ 0,8 ПЭЛ 0,51 ПЭЛ 1,5
«Темп-209»	ТС-200	Стержневой ленточный СЛ21×45	I 1—3 1—2 II 5—13 14—6 III 7—8 III 7'—8' IV 9—10 V 11—12	405 351 203 203 64 22 22×2 22	ПЭВ-1 0,69 ПЭВ-1 0,69 ПЭВ-1 0,55 ПЭВ-1 0,55 ПЭВ-1 0,31 ПЭВ-1 0,69 ПЭВ-1 0,96 ПЭВ-1 0,44
«Старт-308»	—	—	I 1, 2, 3 1 3, 2, 1 II 5, 6, 7, 8, 9 III 10, 11 IV 12, 13, 14	348 348 19 763 98	ПЭВ-1 0,55 ПЭВ-1 0,55 ПЭВ-1 1,74 ПЭВ-1 0,38 ПЭВ-1 0,27

Примечание. В тех случаях, когда обмотка выполнена двумя одинаковыми катушками и обозначения их в схеме различаются штрихами, в таблице приведены данные только для одной из них.

Таблица 10-2

Дроссели фильтра выпрямителя

Наименование телевизора	Обозначение на схеме	Выводы	Число витков	Провод	Сопротивление, ом	Индуктивность, гн	Магнитопровод
Унифицированные телевизоры II класса типа «Рубин-205», «Электрон-205» и др.	Др ₅₀₁	I 1—2 II 3—4	1 220 570	ПЭВ-1 0,25 ПЭВ-1 0,15	52 80	2,3 0,6	БЛ16×32
«Ладога-1», «Ладога-203», «Ладога-204»	Др ₇₋₁		1 300	ПЭЛ 0,29		не менее 1,7	Пластины Ш-16, набор пакета 32 мм (сборка встык, с зазором 0,15 мм)
«Ладога-205»	Др ₇₋₂		1 600	ПЭЛ 0,21		не менее 2,5	ШЛ16×32

Таблица 10-3

Трансформаторы выходные строчные

Наименование	Магнито-провод	Обмотка и вывод	Число витков	Провод	Наименование	Магнито-провод	Обмотка и вывод	Число витков	Провод
TBC-110Л	Феррит НМ-2000	I—2 3—4 4—5 5—6 6—7 7—K	90 280 273 427 320 940	ПЭВ-2 0,23 ПЭВ-2 0,23 ПЭВ-2 0,23 ПЭВ-2 0,23 ПЭВ-2 0,23 ПЭЛШО 0,1	TBC-110ЛЗ	Феррит НМ-2000	7—8 8—9 12—K 1—2 2—3 4—5 5—6 6—7 7—K	100 450 1300 90 90 130 270 225 940	ПЭМ-2 0,33 ПЭМ-2 0,33 ПЭМ-2 0,09 ПЭ-2 0,41 ПЭВ-2 0,41 ПЭВ-2 0,41 ПЭВ-2 0,23 ПЭВ-2 0,23 ПЭЛШО 0,1
TBC-110ЛА	Феррит НМ-2000	I 1—2 II 2—3 III 4—5 IV 5—6 V 6—7 VI 7—8 VII 8—9 VIII 9—K	45 45 70 70 150 435 186 1100	ПЭВ-2 0,23 ПЭВ-2 0,23 ПЭВ-2 0,41 ПЭВ-2 0,29 ПЭВ-2 0,29 ПЭВ-2 0,23 ПЭВ-2 0,23 ПЭВ-1 0,17	TBC-110Л4	М3000 ПМС-1 ПК30×16	I 2—3 3—4 II 5—6 6—7 III 8—9 9—11 11—13 13—14	20 8 75 75 125 450 186 1290	ПЭВ-2 0,33 ПЭВ-2 0,41 ПЭВ-2 0,41 ПЭВ-2 0,41 ПЭВ-2 0,25 ПЭВ-2 0,23 ПЭВ-2 0,23 ПЭМ-2 0,1
TBC-110Л1	Феррит ФМ-2000	2—3 2—4 5—6 6—7	35 35 70 70	ПЭМ-2 0,33 ПЭМ-2 0,33 ПЭМ-2 0,33 ПЭМ-2 0,33					

Таблица 10-4

Отклоняющие системы

Наименование	Магнитопровод	Катушка	Число витков	Провод	Сопротивление, ом
ОС-110	Феррит Ф-600	Строчная	240+240	ПЭВ 0,35	12+12
ОС-110ЛА	Феррит Ф-600	Кадровая	170+170	ПЭВ-2 0,51	4+4
ОС-110Л1	Феррит	Строчная	180+180	ПЭВ-ДД 0,33	—
(ОС-110Л1Т)		Кадровая	375+375	ПЭВ-2 0,44	—
		Строчная	180+180	ПЭМ-ДД 0,33	6,0+6,0
		Кадровая	375+375	ПЭВ-2 0,44	7,8+7,8

Таблица 10-5

Трансформаторы выходные кадровые

Наименование трансформатора (или телевизора, в котором он установлен)	Магнитопровод	Обмотка	Выводы	Число витков	Провод	Сопротивление, ом	Индуктивность, гн
ТВК-110Л2 (ТВК-110Л2В)	УШ16×32	I II III	1—2 3—4 5—6	2240 138 224	ПЭВ-1 0,13 ПЭВ 0,59 ПЭВ 0,13	280 1,05 30	15+3
ТВК-110ЛЗ	БЛШЛ-16×20	I II III	1—2 3—4 4—5	2050 124 205	ПЭВ 0,13 ПЭВ 0,59 ПЭВ 0,13	280 1,05 34	15±4 — —
ТВК-110Л4	УШ16×32, сборка встык, с зазором	I II III	1—2 3—4 3—5	3000 146 146	ПЭВ-1 0,22 ПЭВ-1 0,47 ПЭВ-1 0,12		Не менее 20 — —
ТВК-110ЛМ	—	I II III	1—2 3—5 5—6	3400 210 260	ПЭВ-2 0,16 ПЭВ-2 0,8 ПЭВ-2 0,16	208 10 27	— — —
«Темп-209»	Ш19×29		1—2 3—4 4—5	1850 176 280	ПЭВ-1 0,15 ПЭВ-1 0,55 ПЭВ-1 0,15	330 1,3 3,5	15 (при токе 60 ма) — —

Трансформаторы выходные звука

Наименование трансформатора (или телевизора, в котором он установлен)	Магнитопровод	Обмотки	Число витков	Провод	Сопротивление, <i>ом</i>	Индуктивность, <i>гн</i>
ТВЗ-1-1	БЛ16×25	<i>I</i> <i>II</i>	2 400 86	ПЭВ-1 0,17 ПЭВ-1 0,62	245 0,74	— 10
ТВ-2Ш-1 ТВК-70Л2 («Ладога-1», «Ладога-203», «Ладога-204», «Ладога-205»)	УШ16×52	<i>I</i> <i>II</i>	3 000 146	ПЭВ-1 0,12 ПЭВ-1 0,47		— —
ТВЗ-1-1 («Темп-209»)	УШ16×24	<i>I</i> <i>II</i>	2 580 92	ПЭВ-1 0,15 ПЭВ-1 0,41	290 ± 15% 13 ± 15%	Не менее 9,6 (при токе 40 <i>ма</i>) —
ТВ-3Ш («Старт-308»)	УШ16×24	<i>I</i> <i>II</i>	3 000 91	ПЭЛ 0,12 ПЭЛ 0,51	450 6	— —
ТВ-2Ш-2В («Электрон-206», «Электрон-207»)	УШ16×24	<i>I</i> 1—2 <i>II</i> 3—4 4—5	2 150 2×29 40	ПЭЛ 0,15 ПЭЛ 0,47 ПЭЛ 0,35	235 ± 15%	7,0

Таблица 10-7

Моточные данные трансформаторов и дросселей телевизора «Электроника ВЛ-100»

Обозначение (рис. 7-1)	Магнитопровод	Выводы	Число витков	Провод	Сопротивление, <i>ом</i>	Индуктивность, <i>мкгн</i>
<i>Tr</i> ₃	Феррит М2000НМ-4; чашка Ф15	1—2 3—4	500 100	ПЭВ-1 0,08 ПЭВ-1 0,08	42 10	103 4,3
<i>Tr</i> ₄	Феррит М2000НМ-4; чашка Ф15	1—2 3—4	250 50	ПЭВ-1 0,08 ПЭВ-1 0,23	25 0,5	85 300
<i>Tr</i> ₆	Сталь Э310 УШ4×21	1—2 2—3 4—5	1318 2400 164	ПЭВ-1 0,12 ПЭВ-1 0,12 ПЭВ-1 0,41	185 165 3	
ОС-70П1	Феррит 60НН	Строчные катушки 4—5 Кадровые катушки 1—2—3	66×2 130×2	ПЭВД 0,27 ПЭВД 0,25	1,0 18	250 6000

Примечание. Моточные данные *Tr*₁, *Tr*₂ и *Tr*₅ приведены в табл. 7-2.

ПРИЛОЖЕНИЕ

ТЕЛЕВИЗОРЫ УЛПТ-61-И-21, УЛПТ-61-И-23 («ЭЛЕКТРОН-206Д» И «ЭЛЕКТРОН-207Д») И УЛПТ-61-И-22, УЛПТ-61-И-24 («ЭЛЕКТРОН-206» И «ЭЛЕКТРОН-207»).

Телевизоры УЛПТ-61-И-21, УЛПТ-61-И-23 («Электрон-206Д», «Электрон-207Д») и УЛПТ-61-И-22, УЛПТ-61-И-24 («Электрон-206», «Электрон-207») являются модернизацией телевизоров УЛПТ-61-И-11 и УЛПТ-61-И-12 (см. § 3-2). Все они выполнены по одной электрической схеме и отличаются внешним оформлением.

Наиболее существенными изменениями, внесенными при модернизации, являются: применение новой схемы видеосуилителя на лампе 6Р4П, использование в выходном каскаде строчной развертки лампы 6П44С с выходным строчным трансформатором ТВС-110Л4 и отклоняющей системой ОС-110Л1, изменение способа регулировки контрастности, замена в задающем генераторе кадровой развертки схемы на тиратроне-мультивибратором на лампе 6Н1П, улучшение акустической системы.

Далее приводится краткое описание схемных изменений.

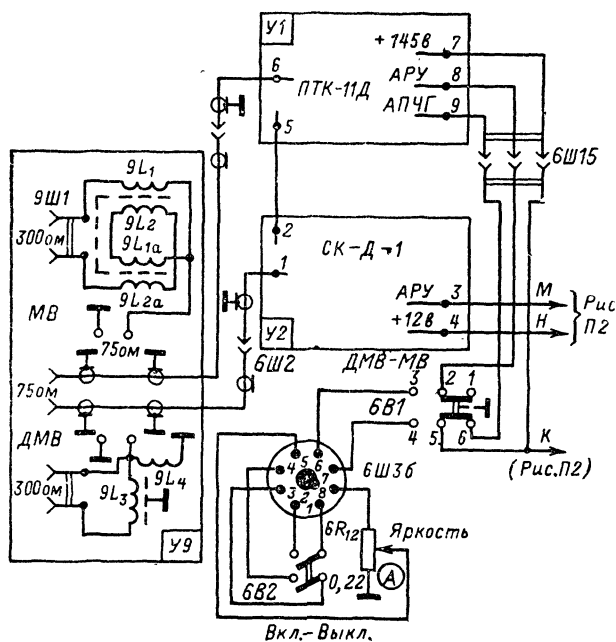
Блок селекторов каналов. Переход с приема программ метрового диапазона на дециметровый диапазон производится при помощи переключателя 6В1. В поло-

жение ДМВ напряжение +145 в отключается от анодных цепей ламп УВЧ и гетеродина блока ПТК-11Д, понижается до 12 в при помощи резисторов $3R_6$, $3R_7$ (рис. П-1), стабилизируется стабилитроном $3D_2$ и подается к блоку СК-Д-1. Изменение полярности напряжения АРУ, необходимое для регулировки усиления СК-Д-1, производится при помощи эмиттерного повторителя на транзисторе $3T_1$, смонтированном на печатной плате блока УПЧИ.

Видеосуилитель. Видеосуилитель собран на левом по схеме пентоде лампы $3L_4$ 6Р4П (рис. П-3). Коррекция частотной характеристики в области высоких и средних частот осуществляется путем включения в анодную цепь лампы видеосуилителя корректирующих дросселей $3Dp_4$, $3Dp_5$, а в области низких частот, — цепью отрицательной обратной связи, создаваемой резистором $3R_{49}$ и конденсатором $3C_{54}$ в ее катодной цепи. Изменение степени этой отрицательной обратной связи путем шунтирования резистора $3R_{49}$ последовательной цепью, образованной переменным резистором $6R_{25}$ и конденсатором $3C_{56}$, позволяет дополнительно корректировать фазовые искажения, возникающие при приеме сигналов различных телевизионных передатчиков (регулятор «Четкость»).

Регулировка контрастности производится по цепи АРУ изменением напряжения смещения на управляющей сетке лампы видеосуилителя. Для этой цели используется регулируемое отрицательное напряжение, создаваемое отдельным выпрямителем на диоде $3D_8$ с фильтром $3C_{47}$, $3R_{81}$ и $3C_{48}$ и положительным напряжением от источника +145 в, поступающее в цепь управляющей сетки через делитель, образованный резисторами $6R_{22}$ и $6R_{23}$. Это позволяет получить напряжение смещения на управляющей сетке от -1,5 в (при максимальной контрастности) до -6 в (при минимальной). Основное преимущество такой схемы состоит в том, что емкость проводника, соединяющего регулировку контрастности с видеосуилителем, не сказывается на форме его частотной характеристики; это позволяет вынести регулировку на лицевую панель телевизора. Для уменьшения разброса напряжений на экранирующей сетке при замене лампы $3L_4$ она подсоединена к делителю, образованному резисторами $3R_{46}$ и $3R_{44}$, один из которых подключен к источнику +145 в, а другой +230 в. С анодной нагрузкой лампы $3R_{47}$ видеосигнал через резистор $3R_{43}$ снимается на амплитудный селектор на лампе $4L_3$, а через резистор $3R_{56}$ — на правый пентод лампы $3L_4$, работающий в схеме ключевой частично задержанной АРУ.

Строчная развертка. Выходной каскад строчной развертки собран на лампах $6L_2$ 6П44С (выходная лампа) и $6L_3$ 6Д20П (демпфер). Для питания второго анода кинескопа используется выпрямитель на селеновом столбе $5D_1$ ВТ18-0,2. Для предотвращения возможности прожога люминофора при выходе из строя задающего гене-



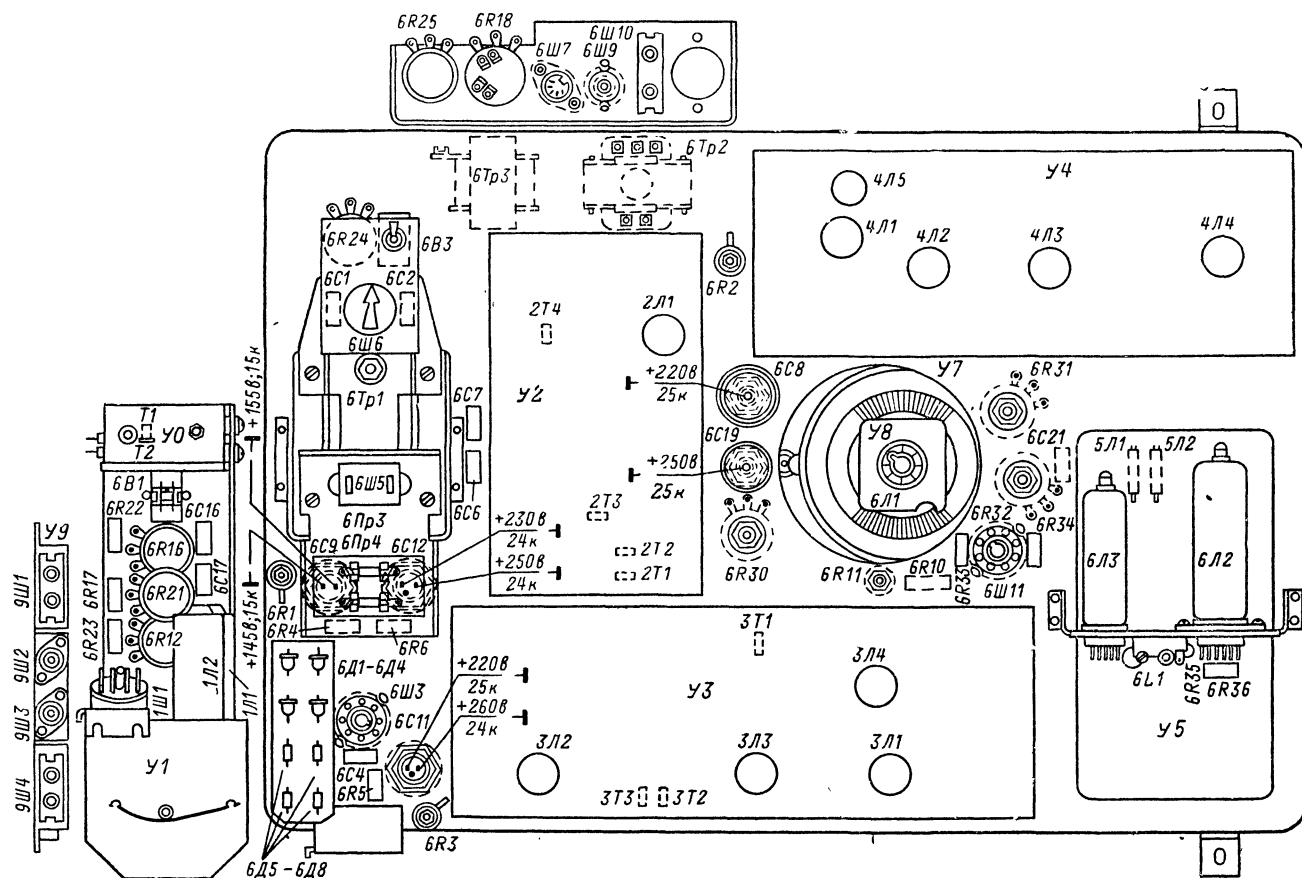


Рис. П-2. Размещение блоков и основных узлов на шасси телевизоров «Электрон-206Д», «Электрон-207Д», «Электрон-206» и «Электрон-207».

ратора строчной развертки применяется схема защиты, в которой с исчезновением напряжения вольтодобавки мгновенно уменьшается постоянная времени цепи разряда конденсатора в цепи регулировки яркости. Это достигается питанием цепей регулировки яркости от напряжения вольтодобавки (рис. П-1) и подсоединением диода $4D_5$ параллельно резистору $4R_{48}$. Когда задающий генератор строчной развертки исправен, диод $4D_2$ заперт напряжением, снимаемым с резистора $6R_{12}$ (через контакт 5 разъема $6Ш36$). При выходе из строя задающего генератора напряжение вольтодобавки исчезает и диод отпирается. Это приводит к резкому уменьшению цепи разряда конденсатора $4C_{32}$ (цепь разряда — резисторы $4R_{45}$, $6R_{12}$, $4R_{47}$, диод $4D_5$ и обмотка ТВК). В результате положительное напряжение на модуляторе спадает до нуля и кинескоп быстро запирается.

Кадровая развертка. Задающий генератор кадровой развертки собран по схеме несимметричного мультивибратора на лампе $4Л_2$. пилообразное напряжение формируется цепью $4R_{13}4C_6$. Конденсатор $4C_8$ и резисторы $4R_{18}6R_{20}$ определяют собственную частоту колебаний мультивибратора. Для получения заданного размера по вертикали и хорошей линейности анод генератора питается напряжением $+400$ в, которое поступает от источника вольтодобавочного напряжения (конденсатор $5C_4$) через резистор $5R_{13}$ и стабилизируется варистором $4R_{17}$. Диод $4D_2$ препятствует прохождению положительных импульсов напряжения с сеточной цепи правого триода

лампы $4Л_2$ в анодную цепь усилителя синхронимпульсов (правый триод лампы $4Л_2$).

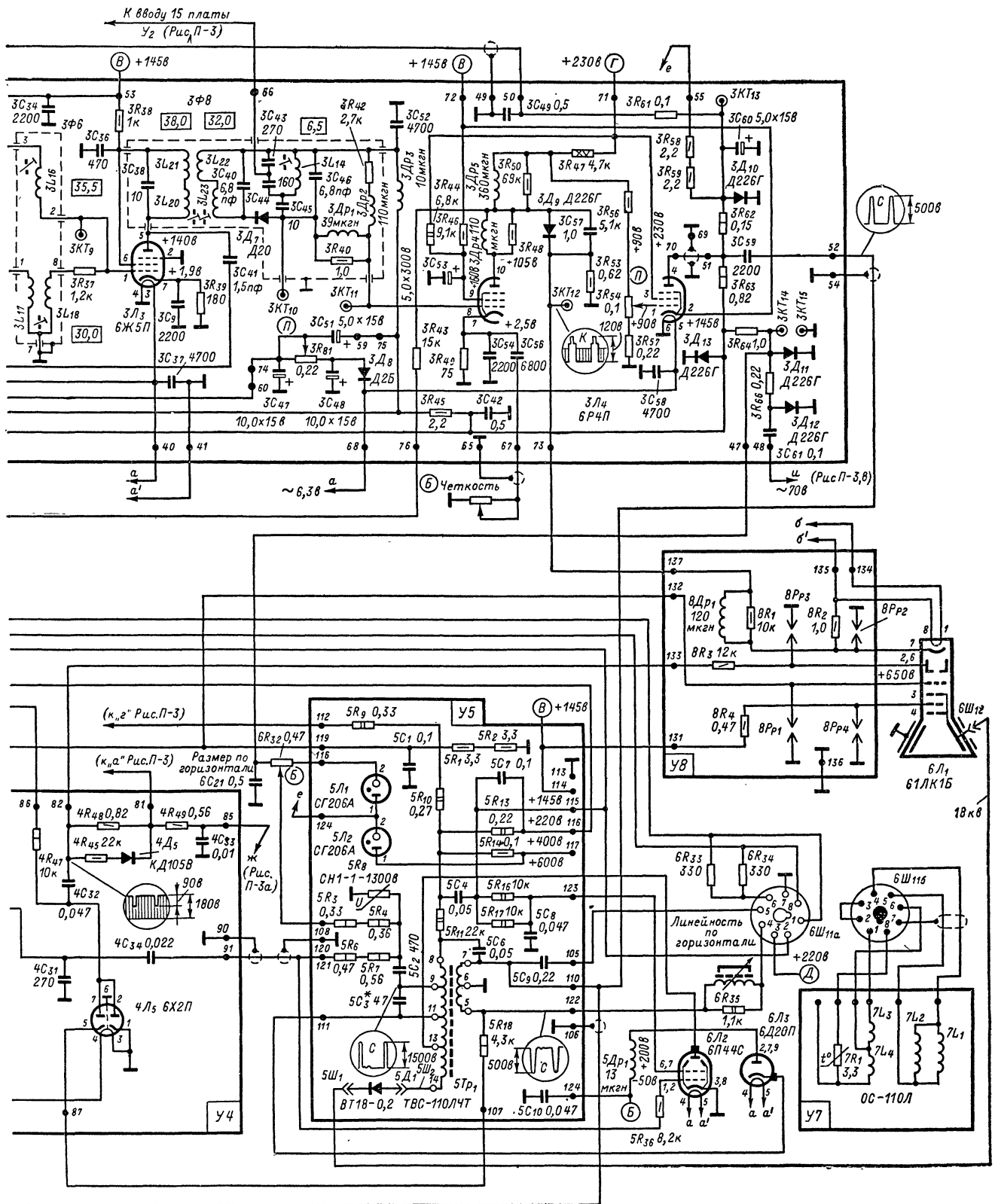
Канал звукового сопровождения. На рис. П-4, а приведена схема канала звукового сопровождения, основным отличием которой от приводимой на рис. 3-10 является отсутствие входного контура УПЧЗ и исключение из схемы одного из регуляторов тембра. На рис. П-4, б представлен вариант канала изображения, в котором применена интегральная схема.

Конструкция телевизора. Размещение блоков телевизора, основных узлов и ламп показано на рис. П-2.

В заключение следует сказать, что проведенные изменения в схеме видеоусилителя позволили увеличить размах сигнала на катоде кинескопа до 80—90 в, а в схеме строчной развертки поднять величину напряжения на втором аноде до 18—20 кВ.

Все это привело к существенному увеличению контрастности и яркости изображения, которое стало более «сочным», улучшило фокусировку, устранило зависимость между регулировкой яркости и размером изображения и благоприятно сказалось на сроке службы кинескопа.

С применением новой акустической системы на громкоговорителях ЗГД-38 и 2ГД-36 неискаженная выходная мощность звука возросла с 1,5 до 2,5 вт. Данные ТВС-110Л4, ОС-110Л1 и ТВ-3Ш приведены соответственно в табл. 10-3, 10-4, 10-6.



блока ТВС (блок 5) телевизоров «Электрон-206», «Электрон-207», «Электрон-206Д» и «Электрон-207Д».

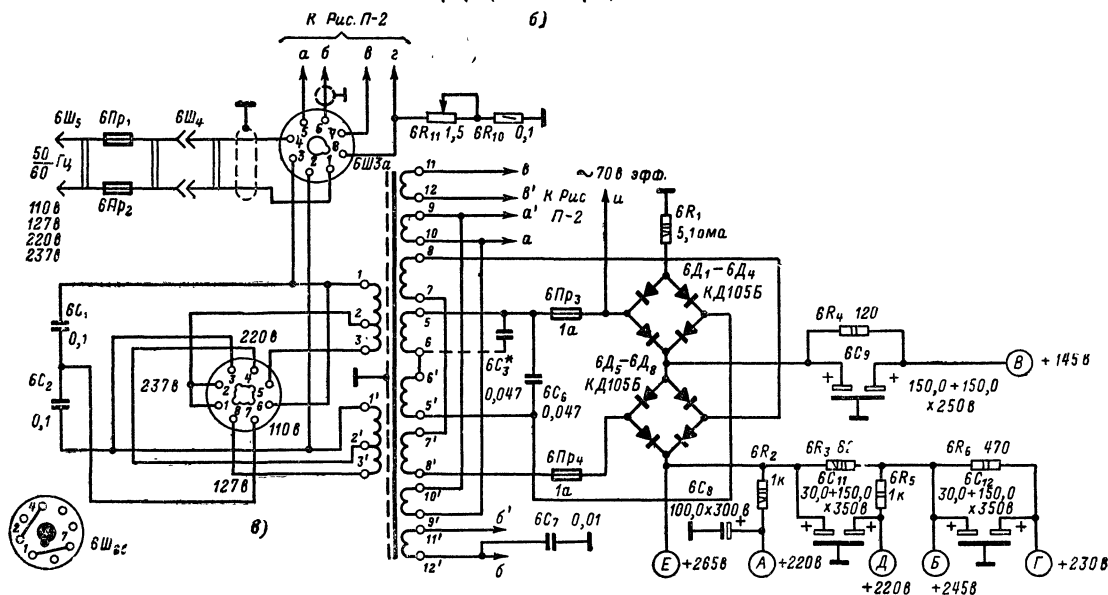
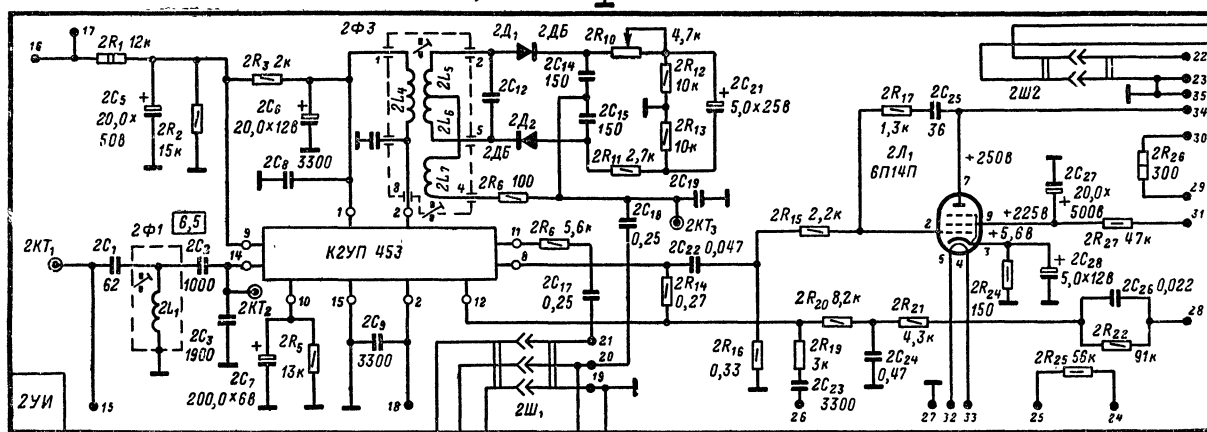
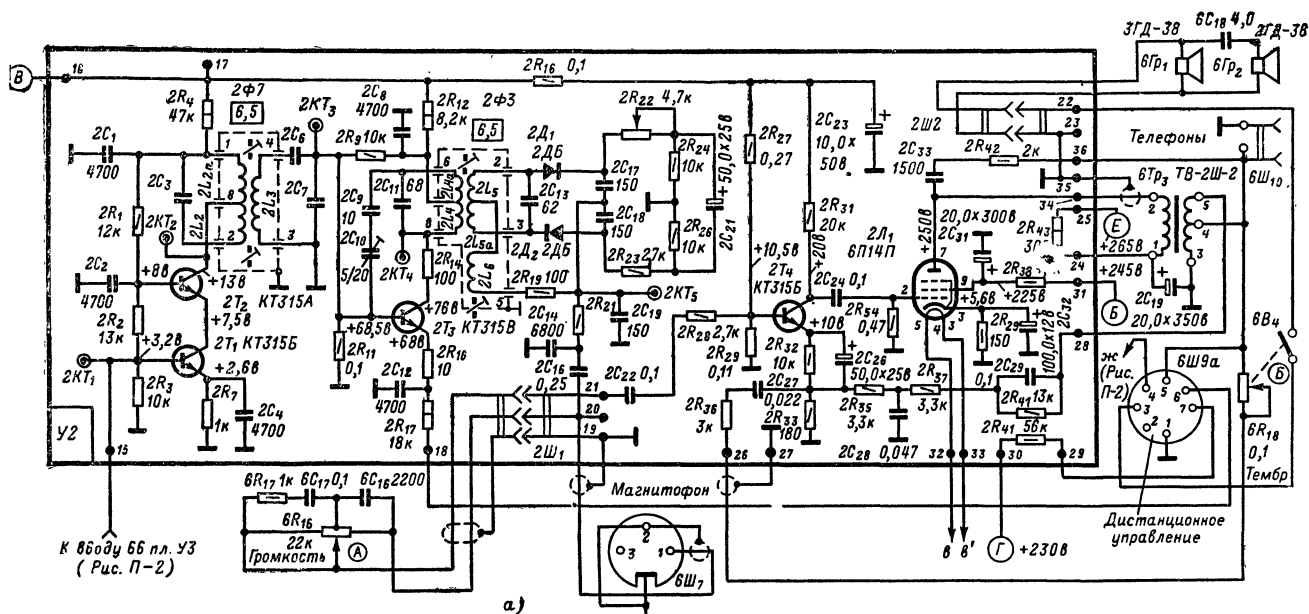


Рис. П-4. Принципиальная схема блока УПЧЗ (на транзисторах — а, на интегральной схеме — б) и блок питания телевизора (в)

ТЕЛЕВИЗОРЫ УПТ-61-II-3 И УПТ-61-II-4 («ЭЛЕКТРОН-216Д» И «ЭЛЕКТРОН-216»)

Телевизоры УПТ-61-II-3 и УПТ-61-II-4 («Электрон-216Д» и «Электрон-216») являются аналогом телевизоров «Электрон-215Д» и «Электрон-215». Их схема имеет следующие отличия от приведенной на рис. 3-2.

1. Транзистор КТ-805А ($3T_{10}$) в выходном каскаде строчной развертки заменен транзистором КТ-808А.

2. Для защиты кинескопа от прожога при плохих контактах в блоке строчной развертки, изменена схема подачи постоянного напряжения на регулятор яркости.

3. Введен новый высоковольтный умножитель напряжения УН-8/18 0,3.

СПИСОК ЛИТЕРАТУРЫ

1. Ельяшкевич С. А. Телевизоры (Справочные материалы). М., «Энергия», 1971, с. 288.

2. Тарасов В. С. Унифицированные телевизоры второго класса. М., «Связь», 1969, с. 95.

3. Телевизоры «Электрон-215» (УПТ-61-II-2), «Электрон-215Д» (УПТ-61-II-1). Инструкция по ремонту и настройке. Львов, 1971, с. 90.

4. Телевизор «Электрон-205» (УЛПТ-61-II). Дополнение к инструкции по ремонту и регулировке телевизоров «Огонек-2» и «Электрон-2» (УЛППТ-47/59), с. 64.

5. Инструкция по обслуживанию телевизоров «Ладога-204», «Ладога-205» и «Ладога-205Д». Ленинград, 1971, с. 80.

6. Ельяшкевич С. А. Практика визуальной настройки телевизоров. М., «Связь», 1968, с. 146.

7. Нейман В. Е., Певзнер И. М. Новое в технике приема телевидения. М.—Л., «Энергия», 1964, с. 316.

8. Ельяшкевич С. А. Автоматическое управление в телевизорах. М., «Энергия», 1968, с. 200.

О Г Л А В Л Е Н И Е

	Стр.		Стр.
Предисловие	3	Глава шестая. Телевизоры «Ладога»	59
Введение	4	6-1. Телевизор «Ладога-1» («Атлант») . . .	59
Глава первая. Селекторы каналов	7	6-2. Телевизор ЛПТ-59-II («Ладога-203») .	68
1-1. Селектор каналов метрового диапазона		6-3. Телевизоры ЛПТ-59-II-1 («Ладо-	
ПТК-11Д	7	га-204»), ЛПТ-61-II-1 («Ладога-205Д») и	
1-2. Селектор каналов метрового диапазона		ЛПТ-61-II-2 («Ладога-205»)	70
СК-М-15	9		
1-3. Селектор каналов метрового диапазона		Глава седьмая. Телевизор ПТ («Электро-	
ПТКП-3	11	ника ВЛ-100»)	78
1-4. Селектор каналов дециметрового диапа-		Глава восьмая. Телевизор ППТ-23-2	
зона СК-Д-1	12	(«Юность-2»)	87
Глава вторая. Телевизоры I класса	13		
2-1. Телевизор ЛПТ-65-I-2 («Горизонт-102»)	13	Глава девятая. Телевизор ЛПТ-61-II-2	
2-2. Телевизор ЛПТ-65-I-1 («Горизонт-101»)	22	(«Темп-209»)	94
Глава третья. Унифицированные телевизоры		Глава десятая. Справочные таблицы . .	102
II класса	22	Трансформаторы силовые	102
3-1. Телевизоры УПТ-61-II («Электрон-215Д»		Дроссели фильтра выпрямителя	103
и «Электрон-215»)	22	Трансформаторы выходные строчные . . .	104
3-2. Телевизоры УЛПТ-61-II-11 («Электрон-		Отклоняющие системы	104
205Д») и УЛПТ-61-II-12 («Электрон-		Трансформаторы выходные кадровые . . .	104
205»)	33	Трансформаторы выходные звука	105
3-3. Телевизоры УЛТ-59-II («Рубин-203Д»,		Моточные данные трансформаторов и дроссе-	
«Рубин-203») и УЛТ-61-II («Рубин-205Д»,		лей телевизора «Электроника ВЛ-100» . . .	105
«Рубин-205»)	40	Приложение. Телевизоры УЛПТ-61-II-21,	
Глава четвертая. Унифицированные теле-		УЛПТ-61-II-23 («Электрон-206Д») и «Элек-	
визоры III класса УЛТ-47-III-2 («Рекорд-		трон-207Д») и УЛПТ-61-II-22, УЛПТ-61-II-24	
332») и УЛТ-50-III-2 («Рекорд-В302», «Ре-		(«Электрон-206» и «Электрон-207»). Теле-	
корд-В304»)	50	визоры УПТ-61-II-3 и УПТ-61-II-4 («Элект-	
Глава пятая. Телевизор УЛПТ-50-III-1		рон-216Д», и «Электрон-216»)	106
(«Старт-308»)	53	Список литературы	111

Цена 60 коп.